



This is a digital copy of a book that was preserved for generations on library shelves before it was carefully scanned by Google as part of a project to make the world's books discoverable online.

It has survived long enough for the copyright to expire and the book to enter the public domain. A public domain book is one that was never subject to copyright or whose legal copyright term has expired. Whether a book is in the public domain may vary country to country. Public domain books are our gateways to the past, representing a wealth of history, culture and knowledge that's often difficult to discover.

Marks, notations and other marginalia present in the original volume will appear in this file - a reminder of this book's long journey from the publisher to a library and finally to you.

Usage guidelines

Google is proud to partner with libraries to digitize public domain materials and make them widely accessible. Public domain books belong to the public and we are merely their custodians. Nevertheless, this work is expensive, so in order to keep providing this resource, we have taken steps to prevent abuse by commercial parties, including placing technical restrictions on automated querying.

We also ask that you:

- + *Make non-commercial use of the files* We designed Google Book Search for use by individuals, and we request that you use these files for personal, non-commercial purposes.
- + *Refrain from automated querying* Do not send automated queries of any sort to Google's system: If you are conducting research on machine translation, optical character recognition or other areas where access to a large amount of text is helpful, please contact us. We encourage the use of public domain materials for these purposes and may be able to help.
- + *Maintain attribution* The Google "watermark" you see on each file is essential for informing people about this project and helping them find additional materials through Google Book Search. Please do not remove it.
- + *Keep it legal* Whatever your use, remember that you are responsible for ensuring that what you are doing is legal. Do not assume that just because we believe a book is in the public domain for users in the United States, that the work is also in the public domain for users in other countries. Whether a book is still in copyright varies from country to country, and we can't offer guidance on whether any specific use of any specific book is allowed. Please do not assume that a book's appearance in Google Book Search means it can be used in any manner anywhere in the world. Copyright infringement liability can be quite severe.

About Google Book Search

Google's mission is to organize the world's information and to make it universally accessible and useful. Google Book Search helps readers discover the world's books while helping authors and publishers reach new audiences. You can search through the full text of this book on the web at <http://books.google.com/>



Über dieses Buch

Dies ist ein digitales Exemplar eines Buches, das seit Generationen in den Regalen der Bibliotheken aufbewahrt wurde, bevor es von Google im Rahmen eines Projekts, mit dem die Bücher dieser Welt online verfügbar gemacht werden sollen, sorgfältig gescannt wurde.

Das Buch hat das Urheberrecht überdauert und kann nun öffentlich zugänglich gemacht werden. Ein öffentlich zugängliches Buch ist ein Buch, das niemals Urheberrechten unterlag oder bei dem die Schutzfrist des Urheberrechts abgelaufen ist. Ob ein Buch öffentlich zugänglich ist, kann von Land zu Land unterschiedlich sein. Öffentlich zugängliche Bücher sind unser Tor zur Vergangenheit und stellen ein geschichtliches, kulturelles und wissenschaftliches Vermögen dar, das häufig nur schwierig zu entdecken ist.

Gebrauchsspuren, Anmerkungen und andere Randbemerkungen, die im Originalband enthalten sind, finden sich auch in dieser Datei – eine Erinnerung an die lange Reise, die das Buch vom Verleger zu einer Bibliothek und weiter zu Ihnen hinter sich gebracht hat.

Nutzungsrichtlinien

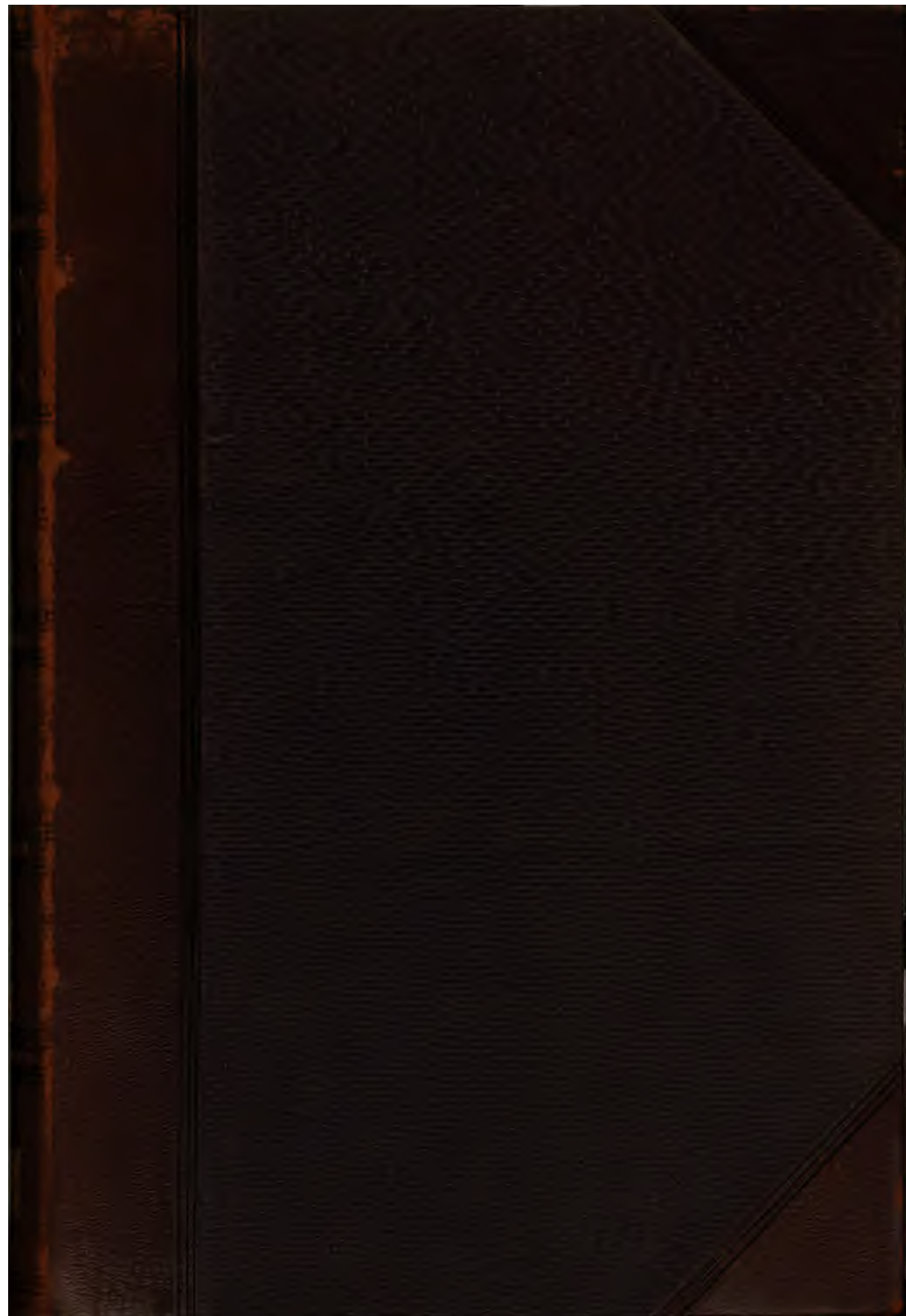
Google ist stolz, mit Bibliotheken in partnerschaftlicher Zusammenarbeit öffentlich zugängliches Material zu digitalisieren und einer breiten Masse zugänglich zu machen. Öffentlich zugängliche Bücher gehören der Öffentlichkeit, und wir sind nur ihre Hüter. Nichtsdestotrotz ist diese Arbeit kostspielig. Um diese Ressource weiterhin zur Verfügung stellen zu können, haben wir Schritte unternommen, um den Missbrauch durch kommerzielle Parteien zu verhindern. Dazu gehören technische Einschränkungen für automatisierte Abfragen.

Wir bitten Sie um Einhaltung folgender Richtlinien:

- + *Nutzung der Dateien zu nichtkommerziellen Zwecken* Wir haben Google Buchsuche für Endanwender konzipiert und möchten, dass Sie diese Dateien nur für persönliche, nichtkommerzielle Zwecke verwenden.
- + *Keine automatisierten Abfragen* Senden Sie keine automatisierten Abfragen irgendwelcher Art an das Google-System. Wenn Sie Recherchen über maschinelle Übersetzung, optische Zeichenerkennung oder andere Bereiche durchführen, in denen der Zugang zu Text in großen Mengen nützlich ist, wenden Sie sich bitte an uns. Wir fördern die Nutzung des öffentlich zugänglichen Materials für diese Zwecke und können Ihnen unter Umständen helfen.
- + *Beibehaltung von Google-Markenelementen* Das "Wasserzeichen" von Google, das Sie in jeder Datei finden, ist wichtig zur Information über dieses Projekt und hilft den Anwendern weiteres Material über Google Buchsuche zu finden. Bitte entfernen Sie das Wasserzeichen nicht.
- + *Bewegen Sie sich innerhalb der Legalität* Unabhängig von Ihrem Verwendungszweck müssen Sie sich Ihrer Verantwortung bewusst sein, sicherzustellen, dass Ihre Nutzung legal ist. Gehen Sie nicht davon aus, dass ein Buch, das nach unserem Dafürhalten für Nutzer in den USA öffentlich zugänglich ist, auch für Nutzer in anderen Ländern öffentlich zugänglich ist. Ob ein Buch noch dem Urheberrecht unterliegt, ist von Land zu Land verschieden. Wir können keine Beratung leisten, ob eine bestimmte Nutzung eines bestimmten Buches gesetzlich zulässig ist. Gehen Sie nicht davon aus, dass das Erscheinen eines Buchs in Google Buchsuche bedeutet, dass es in jeder Form und überall auf der Welt verwendet werden kann. Eine Urheberrechtsverletzung kann schwerwiegende Folgen haben.

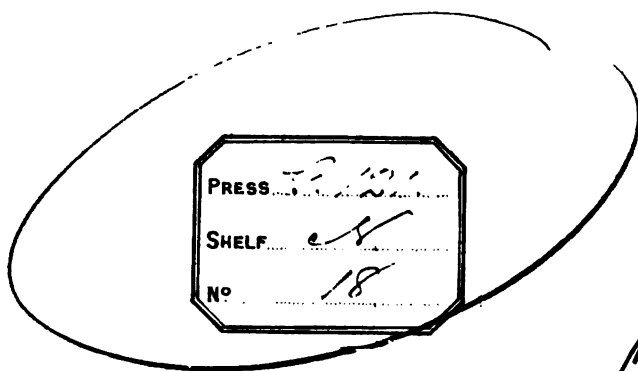
Über Google Buchsuche

Das Ziel von Google besteht darin, die weltweiten Informationen zu organisieren und allgemein nutzbar und zugänglich zu machen. Google Buchsuche hilft Lesern dabei, die Bücher dieser Welt zu entdecken, und unterstützt Autoren und Verleger dabei, neue Zielgruppen zu erreichen. Den gesamten Buchtext können Sie im Internet unter <http://books.google.com> durchsuchen.



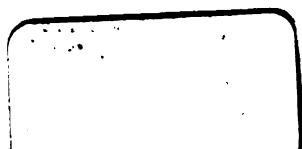


600015238P



16544 d.

$$\begin{array}{r} 149 \\ \hline 2 \end{array}$$



1

2

3

4

5

6

7

8

9

10

GRUNDRISS
DER
ANATOMIE
DES
MENSCHEN.

ATLAS.

Holzstiche
aus dem xylographischen Atelier
von Friedrich Vieweg und Sohn
in Braunschweig.

P a p i e r
aus der mechanischen Papier-Fabrik
der Gebrüder Vieweg zu Wendhausen
bei Braunschweig.

GRUNDRISS
DER
A N A T O M I E
DES
MENSCHEN.

VON

DR. J. HENLE,
PROFESSOR DER ANATOMIE IN GÖTTINGEN.



A T L A S.

ENTHALTEND 286 TAFELN, ZUM THEIL IN FARBENDRUCK.

ZWEITE VERBESSERTE AUFLAGE.

BRAUNSCHWEIG,
DRUCK UND VERLAG VON FRIEDRICH VIEWEG UND SOHN.
1883.

Alle Rechte vorbehalten.

I.

OSTEOLOGISCHER THEIL.

Fig. 1. Mediandurchschnitt der Knochen des Stammes.

Fig. 2. Wirbelsäule, von hinten.

Fig. 3. Brustwirbel, Profil, um die Anordnung der Rippenpfannen zu zeigen.

Fig. 4. Fünfter bis siebenter Halswirbel und erster Brustwirbel, von hinten.

Fig. 5. Zehnter bis zwölfter Brustwirbel und erster Bauchwirbel, von hinten.

Fig. 4.

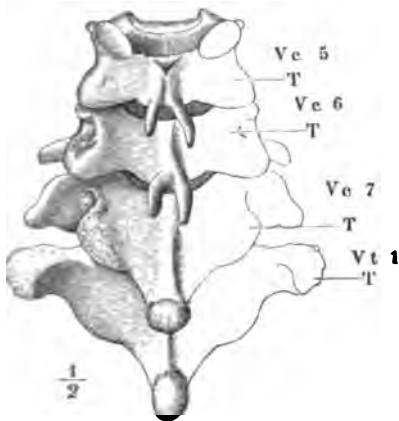
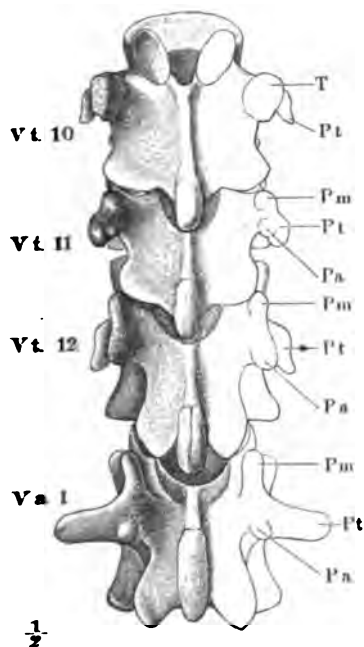


Fig. 5.



Pa Proc. accessorius.
Pm Proc. mamillaris.
Pt Proc. transversus.

Fig. 1.

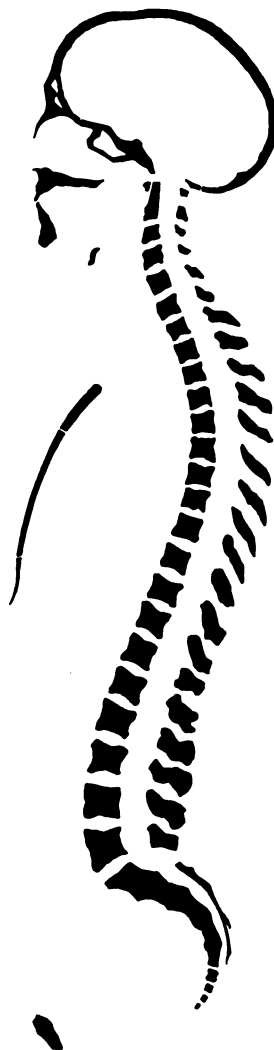


Fig. 2.

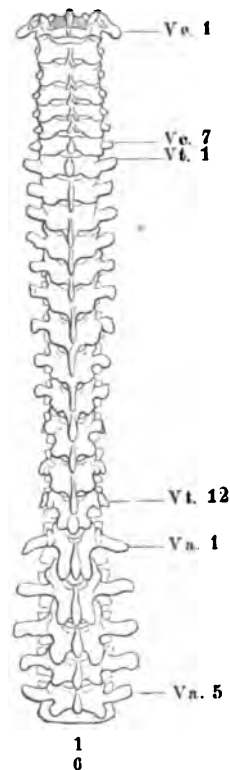
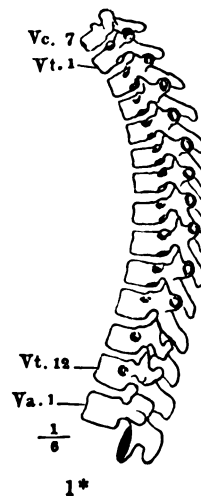


Fig. 3.



T Tuberositas vertebralis.
Va Vertebra abdominalis.
Vc Vertebra cervicalis.
Vt Vertebra thoracica.

- Fig. 1. Halswirbel, schräg von oben und seitlich.
 Fig. 2. Fünfter Halswirbel, von unten.
 Fig. 3. Frontalschnitt der Körper des vierten und fünften Halswirbels.
 Fig. 4. Medianschnitt der Körper des vierten und fünften Halswirbels.
 Fig. 5. Brustwirbel, Profil.
 Fig. 6. *A.* Brustwirbel, von hinten. *B.* Frontalschnitt des Wirbeldorns.
 Fig. 7. Vierter Brustwirbel, von unten.
 Fig. 8. Brustwirbelbogen von vorn. † Durchschnitt des Bogenhalses.
 Fig. 9. Bauchwirbel, Profil.
 Fig. 10. Dritter und vierter Bauchwirbel, von hinten.
 Fig. 11. Bauchwirbel, von unten.

| | |
|------------|--------------------------|
| <i>A</i> | Arcus. |
| <i>C</i> | Corpus. |
| <i>Fci</i> | Fossa costalis inf. |
| <i>Fcs</i> | Fossa costalis sup. |
| <i>Fi</i> | Foramen intervertebrale. |
| <i>Fit</i> | Foramen transversarium. |
| <i>Ft</i> | Fossa transversalis. |
| <i>Fv</i> | Foramen vertebrale. |
| <i>Ii</i> | Incisura vertebr. inf. |
| <i>Is</i> | Incisura vertebr. sup. |
| <i>Pa</i> | Proc. accessorius. |
| <i>Pai</i> | Proc. articularis inf. |
| <i>Pas</i> | Proc. articularis sup. |
| <i>Pm</i> | Proc. mamillaris. |
| <i>Ps</i> | Proc. spinosus. |
| <i>Pt</i> | Proc. transversus. |
| <i>T</i> | Tuberositas vertebralis. |

Fig. 1.

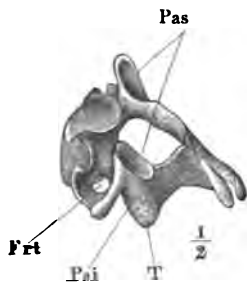


Fig. 2.

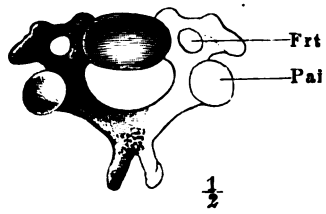


Fig. 3.

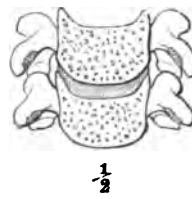


Fig. 4.

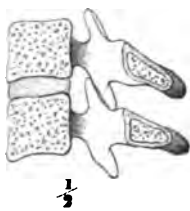


Fig. 5.

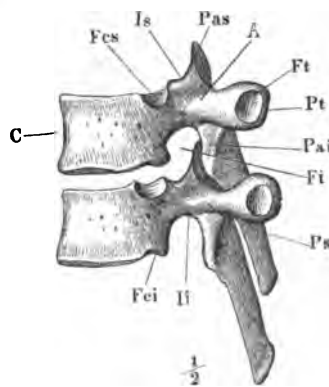


Fig. 6.

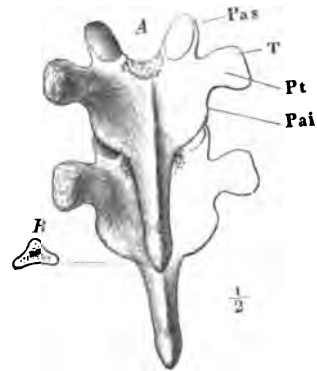


Fig. 7.

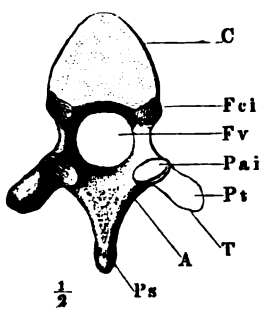


Fig. 8.

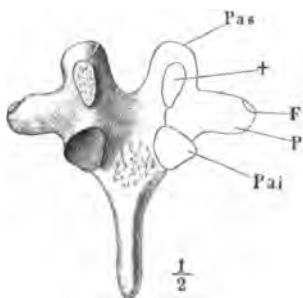


Fig. 11.

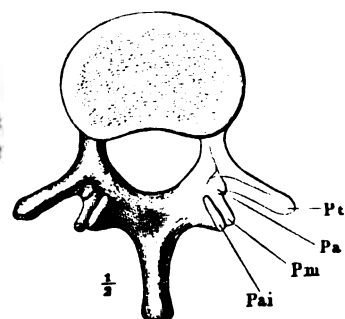


Fig. 9.

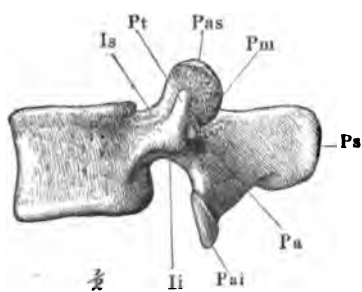
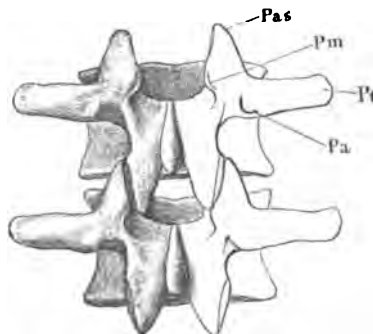


Fig. 10.



- Fig. 1. Atlas und Epistropheus, von oben.
 Fig. 2. Epistropheus, im Profil.
 Fig. 3. Epistropheus, von oben.
 Fig. 4. Kreuzbein mit dem letzten Bauchwirbel, von vorn.
 Fig. 5. Dasselbe, von hinten.
 Fig. 6. Kreuzbein, Profil.
 Fig. 7. Erster Kreuzwirbel, von unten.
 Fig. 8. Steissbein, von hinten.

| | | |
|-------------|--|---------------|
| <i>Aa</i> | Arcus ant. atlantis. | |
| <i>Ap</i> | Arcus post. atlantis. | |
| <i>Cc</i> | Cornua coccygea. | |
| <i>Cs</i> | Cornu sacrale. | |
| <i>D</i> | Dens epistrophei. | |
| <i>Fa</i> | Facies auricularis. | |
| <i>Faa</i> | Fossa articularis ant. dentis epistrophei. | |
| <i>Fap</i> | Fossa artic. post. atlantis. | |
| <i>Fas</i> | Fossa articularis sup. | |
| <i>Fi</i> | Foramen intervertebrale. | |
| <i>Frt</i> | Foramen transversarium. | |
| <i>Fsa</i> | Foramina sacralia antt. | |
| <i>Fsp</i> | Foramina sacralia post. | |
| <i>L</i> | Lig. transversum dentis. | |
| <i>Ma</i> | Massa lateralis atlantis. | |
| <i>Pai</i> | Processus articularis inf. | |
| <i>Pas</i> | Processus articularis sup. | |
| <i>Pasp</i> | Processus articulares spurii | } Osis sacri. |
| <i>Pss</i> | Processus spinosi spurii | |
| <i>Pts</i> | Processus transversi spurii | |
| <i>Ta</i> | Tuberculum anterius atlantis. | |
| <i>Tp</i> | Tuberculum posterius. | |

Fig. 1.

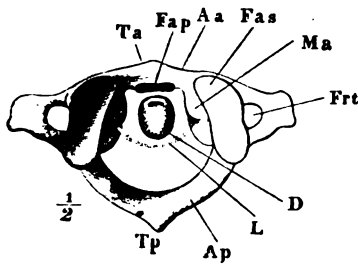


Fig. 2.

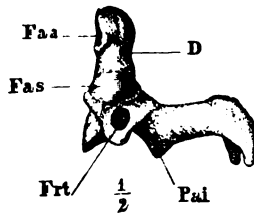


Fig. 3.

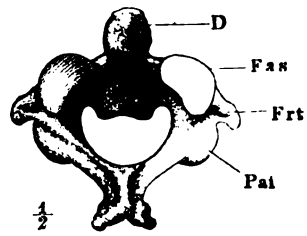


Fig. 4.

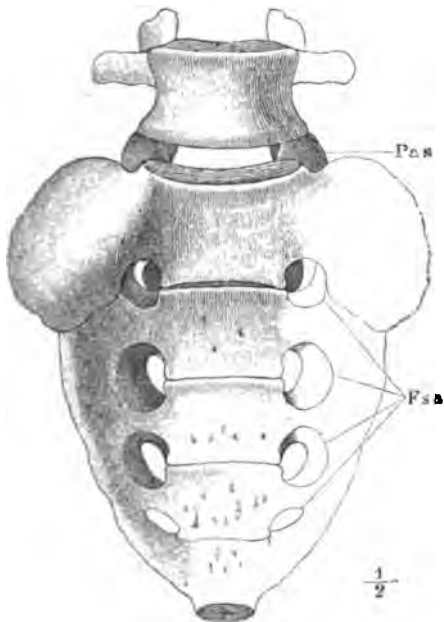


Fig. 5.

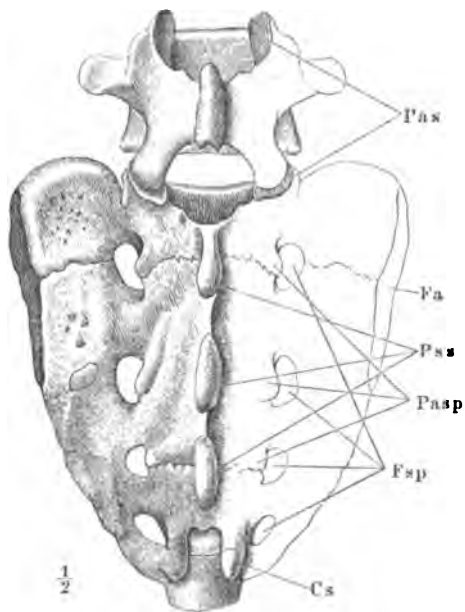


Fig. 6.

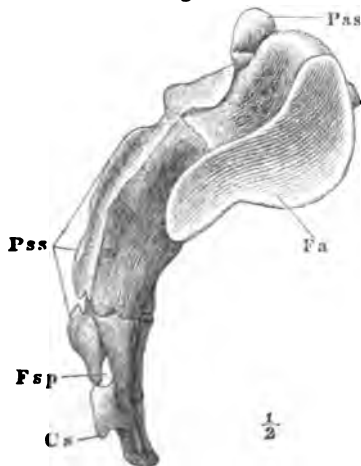


Fig. 7.

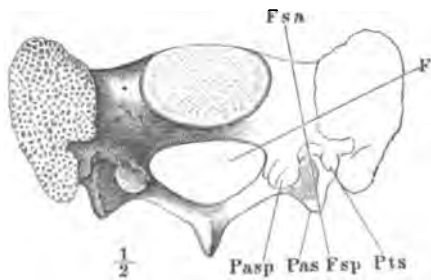


Fig. 8.



8 Tafel IV. Brustkorb. Brustbein. Rippen.

- Fig. 1. Brustkorb, von vorn, rechte Hälfte.
 Fig. 2. Frontalschnitt des Brustkorbs, ebenso.
 Fig. 3. Brustbein, von vorn.
 Fig. 4. Horizontalschnitt des Brustbeins.
 Fig. 5. Brustwirbel und Rippe, von unten.
 Fig. 6. Zwölfter Brustwirbel mit der Rippe, von unten.

Fig. 1.

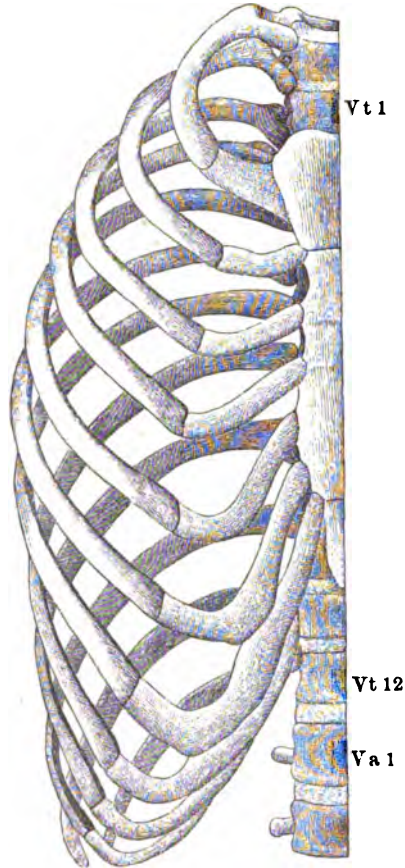


Fig. 2.

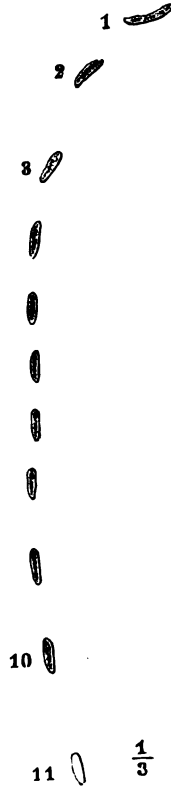


Fig. 3.

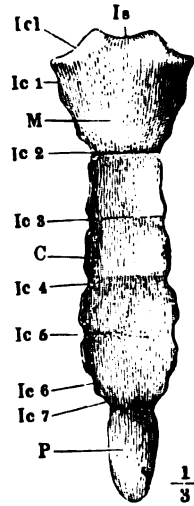


Fig. 4.



Fig. 5.

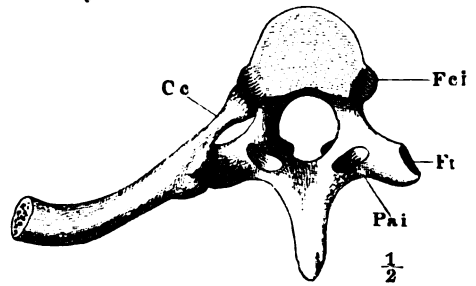
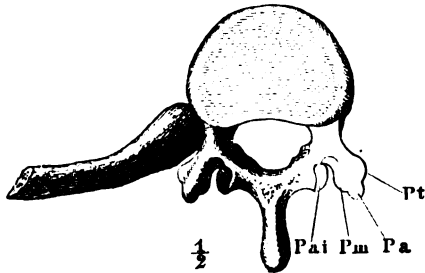


Fig. 6.



C Corpus sterni.
 Cc Collum costae.
 Fci Fossa costalis inf.

Ft Fossa transversalis.
 Ic Incisura costalis.
 Ici Incisura clavicularis.

Is Incisura semilunaris.
 M Manubrium sterni.
 P Processus ensiformis.
 Pa Proc. accessorius.
 Pai Proc. articularis inf.
 Pm Proc. mamillaris.
 Pt Proc. transversus.
 Va Vertebra abdominalis.
 Vt Vertebra thoracica.

Fig. 1. Brustkorb, von hinten.

Fig. 2. Derselbe, Profil.

Fig. 3. Horizontalschn. d. vierten Rippe.

Fig. 4. Vierte Rippe, von vorn.

Fig. 5. Vierte Rippe, von hinten.

Fig. 6. A. Verticalschnitt des Halses.

B. " des Körpers einer rechten Rippe.

Fig. 1.

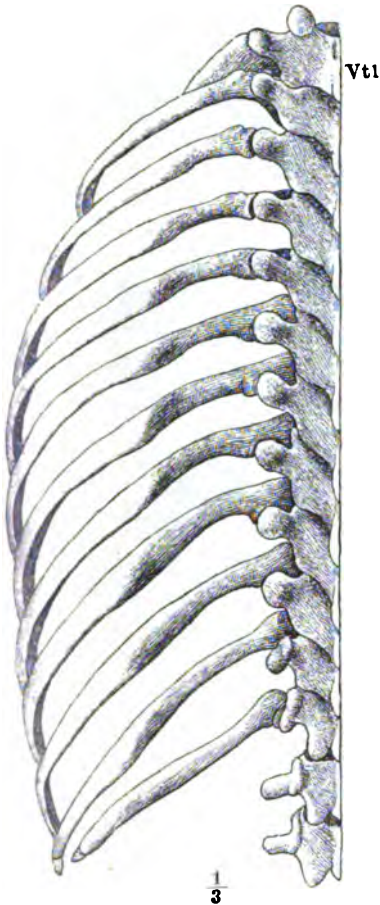


Fig. 6.

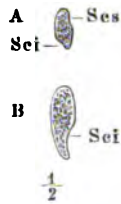


Fig. 2.

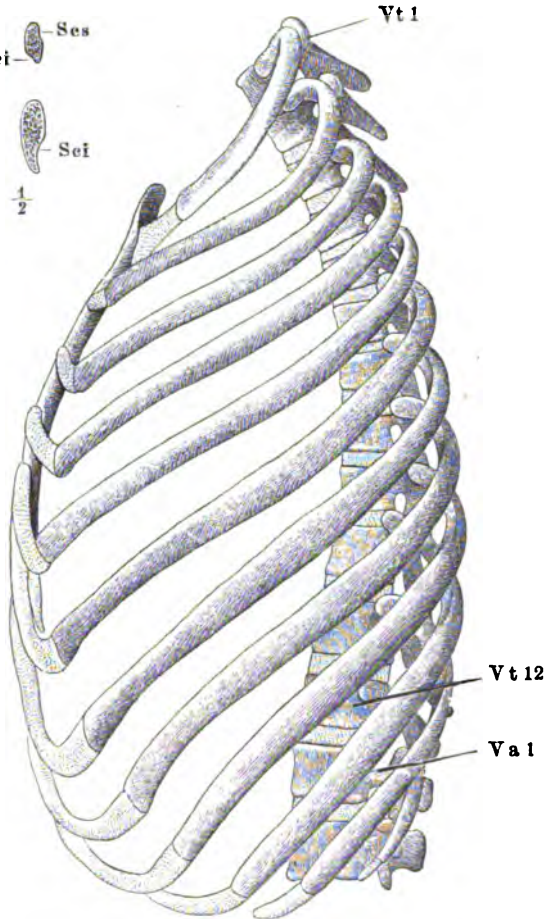


Fig. 3.

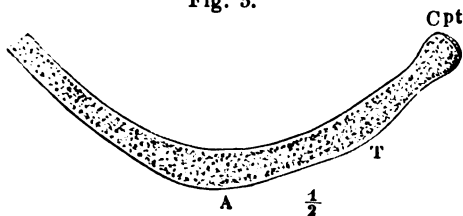


Fig. 4.

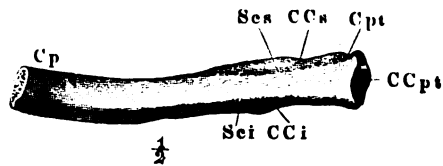


Fig. 5.

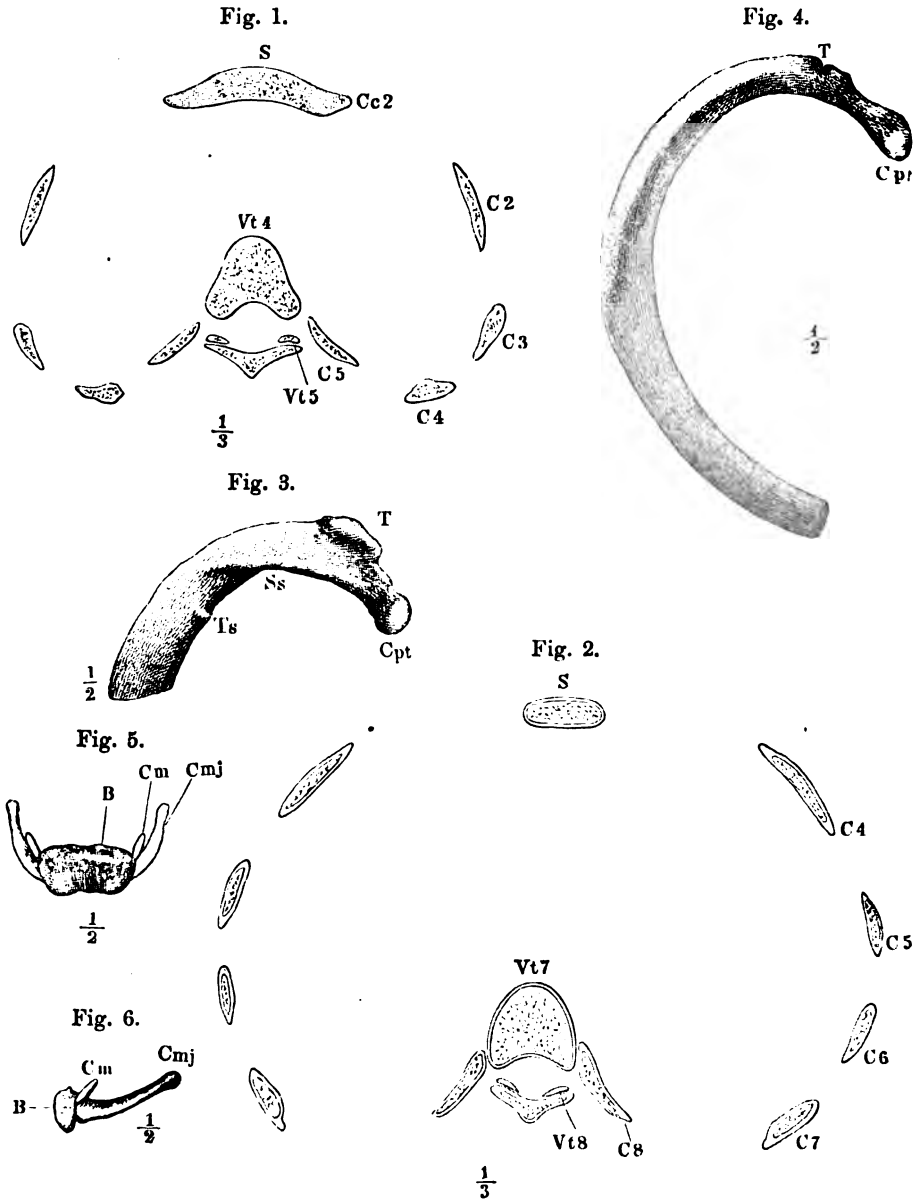


A Angulus costae,
CCi Crista colli inf.
CCPt Crista capituli.
CCs Crista colli sup.
Cp Corpus costae.
Cpt Capitulum costae.

Sci Sulcus cost. inf.
Scs Sulcus cost. sup.
T Tuberculum costae.
Va Vertebra abdomin.
Vt Vertebra thoracica.

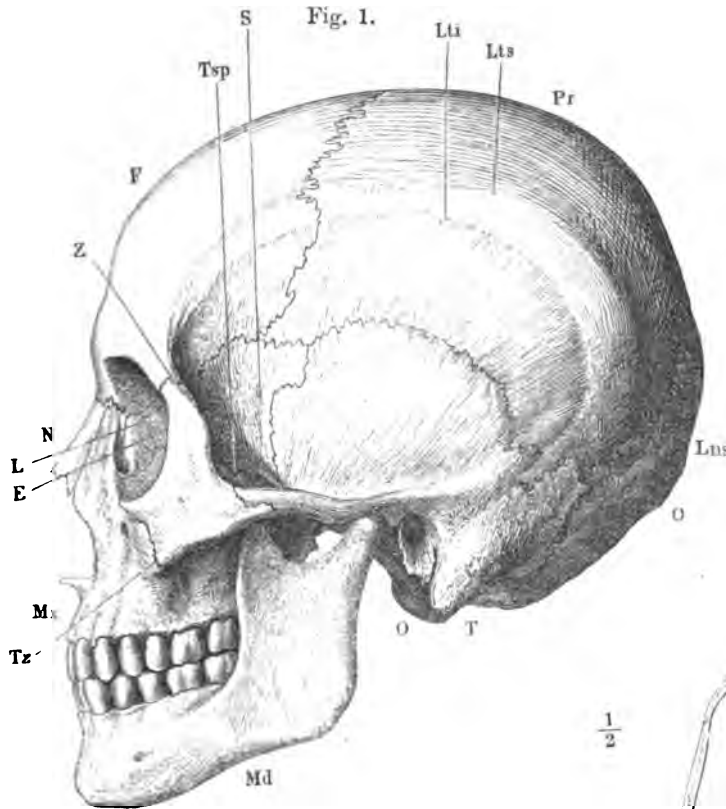
10 Tafel VI. Brustkorb. Rippen. Zungenbein.

- Fig. 1. Horizontalschnitt des Brustkorbs durch die Mitte des vierten Brustwirbels.
 Fig. 2. Horizontalschnitt durch den siebenten Brustwirbel, nahe dem untern Rande.
 Fig. 3. Erste Rippe, von oben.
 Fig. 4. Zweite Rippe, von oben.
 Fig. 5. Zungenbein, von vorn.
 Fig. 6. Zungenbein, Profil.



- | | | | |
|------------|----------------------|-----------|---------------------|
| <i>B</i> | Basis ossis hyoidel. | <i>Cp</i> | Capitulum costae. |
| <i>C</i> | Costa. | <i>S</i> | Sternum. |
| <i>Cc</i> | Cartilago costalis. | <i>Ss</i> | Sulcus subclaviae. |
| <i>Cm</i> | Cornu minus. | <i>T</i> | Tuberculum costae. |
| <i>Cmj</i> | Cornu majus. | <i>Ts</i> | Tuberculum scalei. |
| | | <i>Vt</i> | Vertebra thoracica. |

Fig. 1. Schädel, Profil. — Fig. 2. Horizontalschnitt des Hirnschädels. —
 Fig. 3. Frontalschnitt desselben. — Fig. 4. Medianschnitt desselben. —
 Fig. 5. Profilsansicht des Hirnschädels ohne Jochbogen.



- Az* Arcus zygomaticus.
Cri Crista intratemporalis.
E Os ethmoideum.
F Os frontale.
L Os lacrymale.
Lns Linea nuchae suprema.
Lti Linea temporalis inf.
Lts Linea temporalis sup.
Md Mandibula.
Ms Margo supraorbitalis.
Mx Maxilla.
N Os nasale.
O Os occipitis.
Pae Porus acust externus.
Plt Planum temporale.
Poe Protuberantia occip. ext.
Pr Os parietale.
Prm Proc. mastoideus.
Rn Radix nasi.
S Os sphenioideum.
T Os temporum.
Tsp Tuberculum spinosum.
Tz Tuber zygomaticum.
x Sagittale Axe.
y Transversale Axe.
Z Os zygomaticum.

Fig. 2.

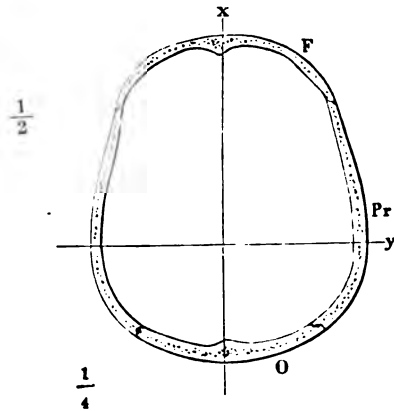


Fig. 5.

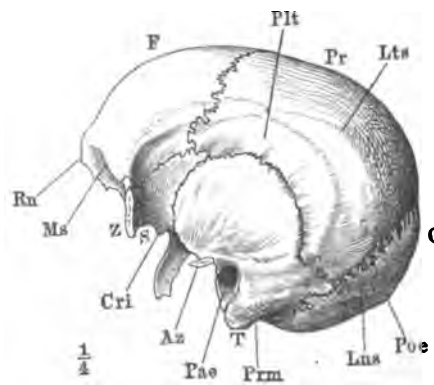


Fig. 3.

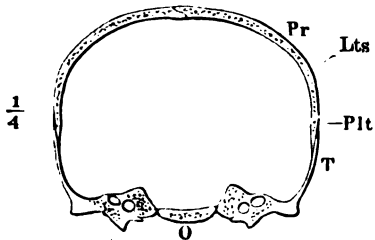
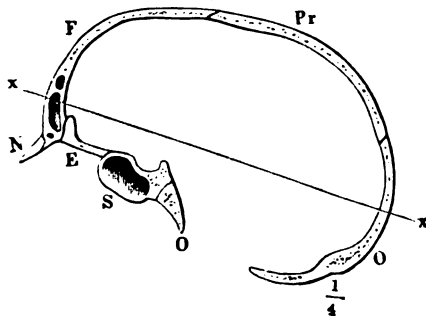


Fig. 4.



Ansicht der Schädelhöhle, von innen. Fig. 1. Basis. Fig. 2. Decke.

Fig. 1.

- Ans* Angulus sup. (partis petrosae ossis temporum).
Ao Ala orbitalis (*Ala parva*) ossis sphenoid.
Ce Canalis condyloideus (*For. condyloid. post.*).
Cg Crista galli.
Ch Canalis hypoglossi (*For. condyloid. ant.*).
Co Canalis opticus (*For. opticum*).
Coi Crista occipit. interna.
Cr Canalis rotundus (*For. rotundum*).
Ds Dorsum sellae.
E Os ethmoideum.
F Os frontis.
Fcr Foramina cribrosa.

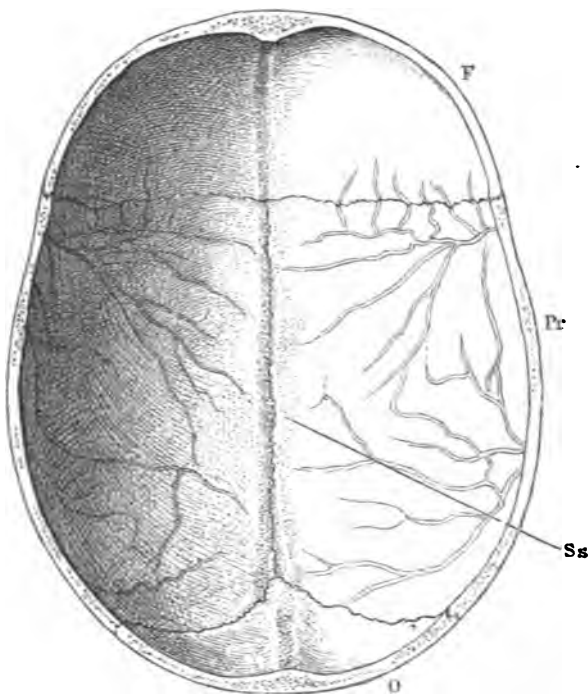
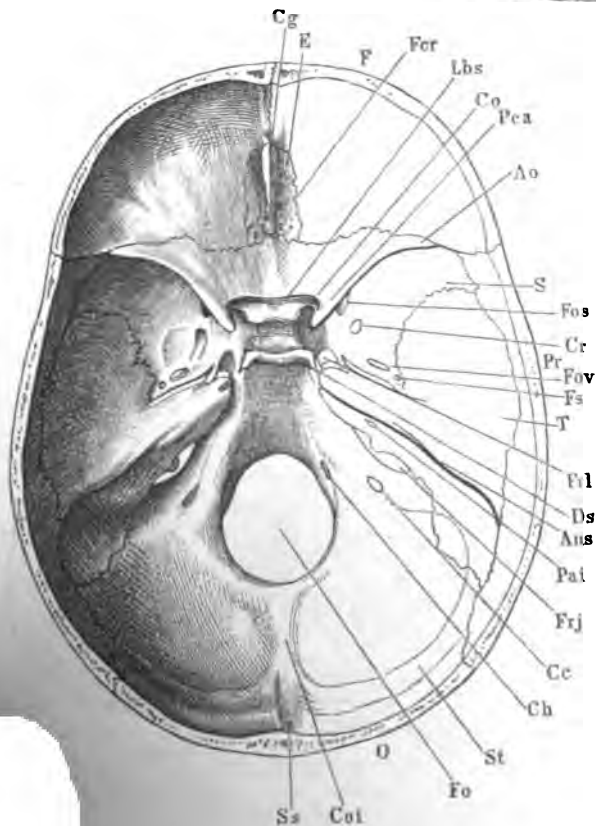


Fig. 2.



- Fo* Foramen occipitale.
Fos Fissura orbit. sup.
For Foramen ovale.
Frj Foramen jugulare.
Frl Foramen lacerum.
Fs Foramen spinosum.
Lbs Limbus sphenoidalis.
O Os occipitis.
Pai Porus acust. int.
Pca Proc. clinoideus ant.
Pr Os parietale.
S Os sphenoidale.
Ss Sulcus sagittalis (*S. longitudinal. sup.*).
St Sulcus transversus.
T Os temporum.

Fig. 1. Basis des Schädels, von aussen; die Gaumenflügel des Wespenbeins an der Basis quer abgesägt.

Fig. 2. Schläfenpyramide und Umgebung, von unten, mit dem knorpeligen Gehörgang und dem Knorpel der Tuba; die mediale Wand des Knorpels der Tuba mit dem unteren Rande medianwärts umgebogen. Proc. pterygoideus (+) und Proc. styloideus (++) an der Basis abgesägt.

Fig. 1.

- Cca* Canalis caroticus.
Ch Canalis hypoglossi.
Cr Can. rotundus.
Cri Crista infratemporalis.
Cro Crista orbitalis alae temporales oss. sphenoid.
E Os ethmoideum.
F Os frontis.
Fmd Fossa mandibularis.
Fo Foramen occipitale.
Fos Fissura orbit. sup.
Fov Foramen ovale.
Fpb Fissura petrobasilaris.
Frj Foramen jugulare.
Fr1 Foramen lacerum.
Fs Foramen spinosum.
Fsm For. stylomastoideum.
Lns Linea nuchae suprema.
O Os occipitis.
P Pyramis ossis temporum.
Pae Porus acust. ext.
Pc Proc. condyloideus oss. occip.
Pj Proc. jugularis.
Poc Protuberantia occip. ext.
Ppt Processus pterygoideus.
Prm Processus mastoideus.
S Os sphenoidum.
Sa Spina angularis.
T Os temporum.
Tp Tuberc. pharyngeum.
V Vomer.
 1 Knorpeliger Gehörgang.
 2 Knorpel der Tuba.

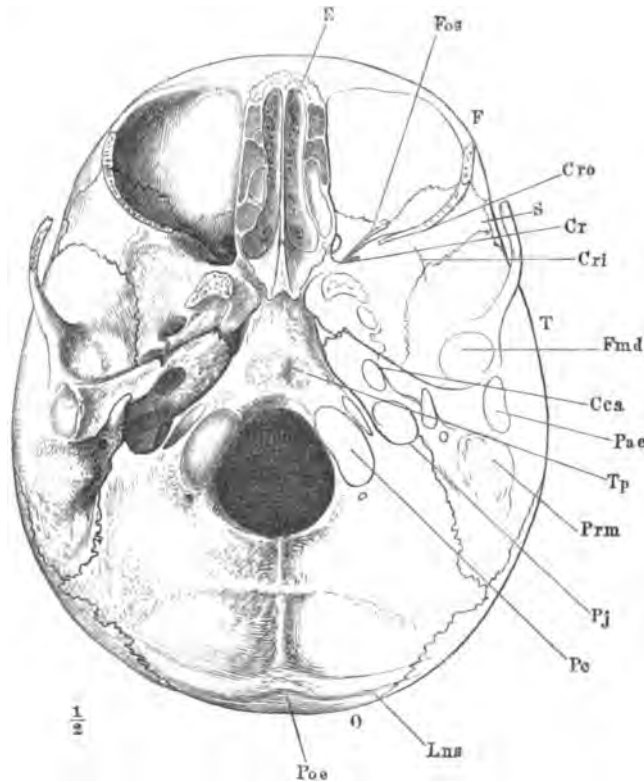
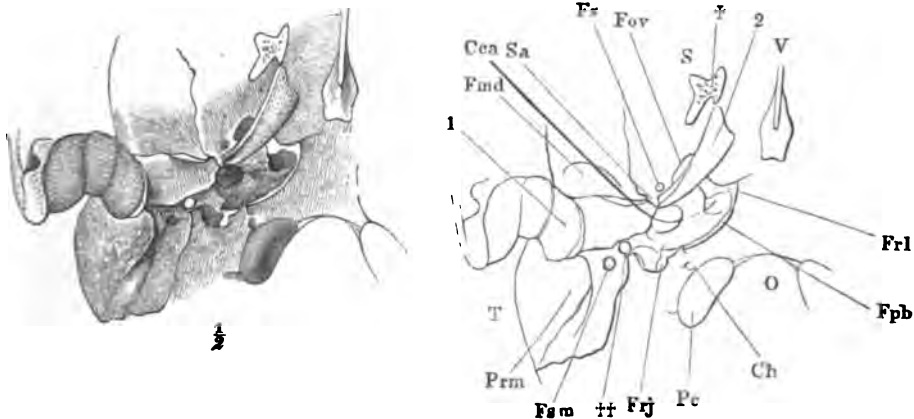


Fig. 2.



- Fig. 1. Schädel, von vorn.
 Fig. 2. Frontalschnitt des Schädels durch den dritten Backzahn.
 Fig. 3. Frontalschnitt des Gesichtsschädels vor dem ersten Backzahn.
 Fig. 4. Schädel, von hinten, um die transversale Axe vorwärts gedreht.

| | |
|------------|---------------------------------|
| <i>Aii</i> | Apertura inf. canalis incisivi. |
| <i>C</i> | Concha (inferior). |
| <i>Cai</i> | Canalis infraorbitalis. |
| <i>Cl</i> | Canalis lacrymalis. |
| <i>Cm</i> | Concha media. |
| <i>E</i> | Os ethmoideum. |
| <i>F</i> | Os frontis. |
| <i>Fop</i> | Fossa pterygoidea. |
| <i>L</i> | Os lacrymale. |
| <i>Lc</i> | Lamina cribrosa. |
| <i>Md</i> | Mandibula. |
| <i>Mni</i> | Meatus narium inf. |
| <i>Mnm</i> | Meatus narium medius. |
| <i>Mx</i> | Maxilla. |
| <i>N</i> | Os nasi. |
| <i>O</i> | Os occipitis. |
| <i>Pd</i> | Proc. dentalis maxillae. |
| <i>Pl</i> | Os palatinum. |
| <i>Pr</i> | Os parietale. |
| <i>R</i> | Ramus mandibulae. |
| <i>S</i> | Os sphenoid. |
| <i>Sf</i> | Sinus frontalis. |
| <i>T</i> | Os temporum. |
| <i>V</i> | Vomer. |
| <i>Z</i> | Os zygomat. |
| 1 | Sinus frontalis. |
| 2 | Orbita. |
| 3 | Sinus maxillaris. |
| 4 | Cavum narium. |

Fig. 1.

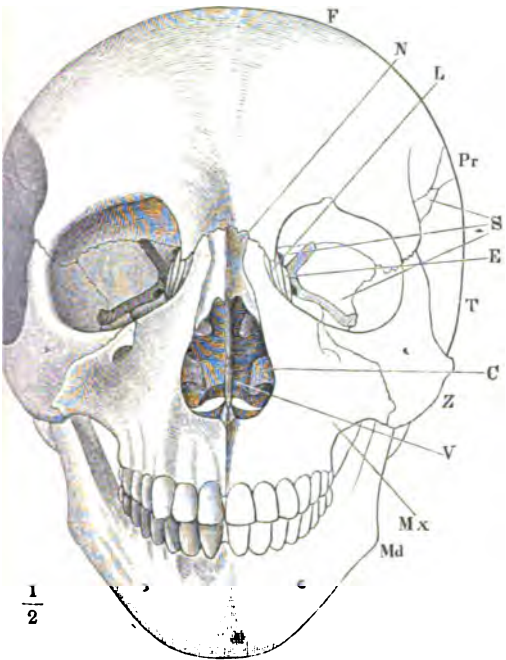


Fig. 2.

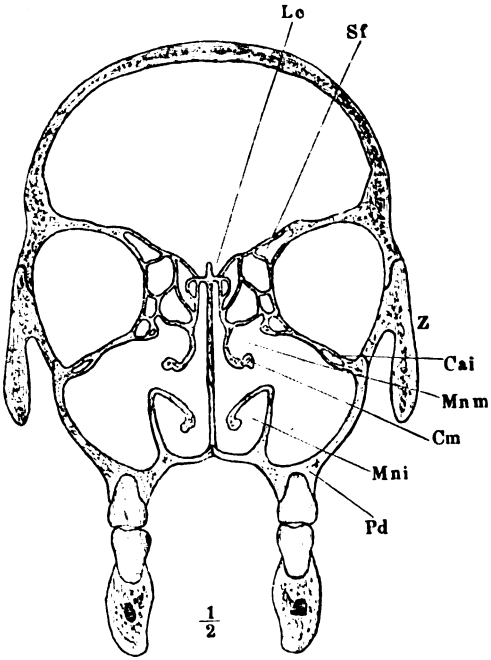


Fig. 4.

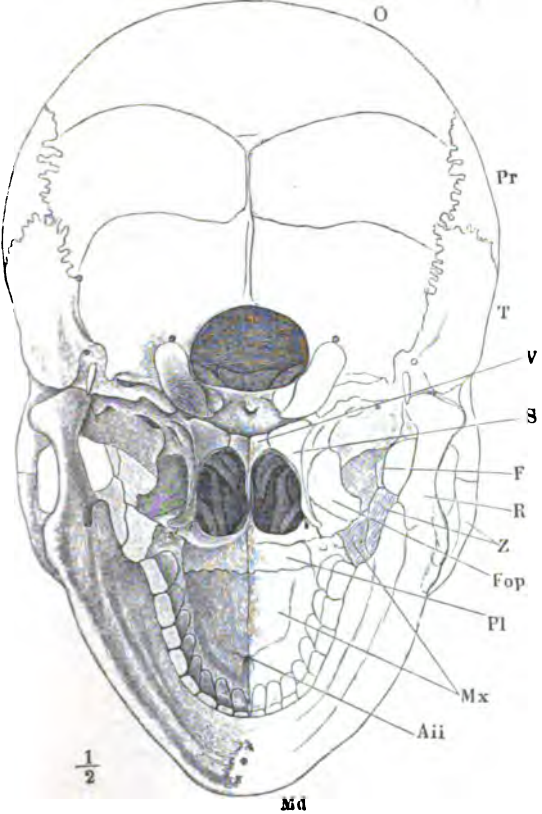


Fig. 3.

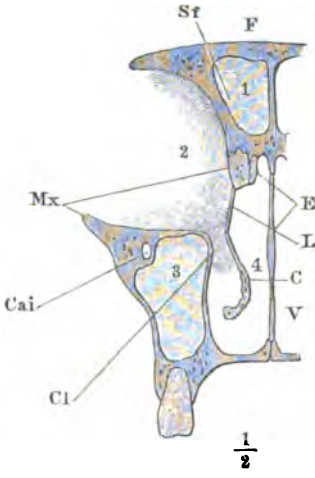


Fig. 1. Medianschnitt des Schädels links neben der Nasenscheidewand.

Fig. 2. Seitenwand der Nasenhöhle.

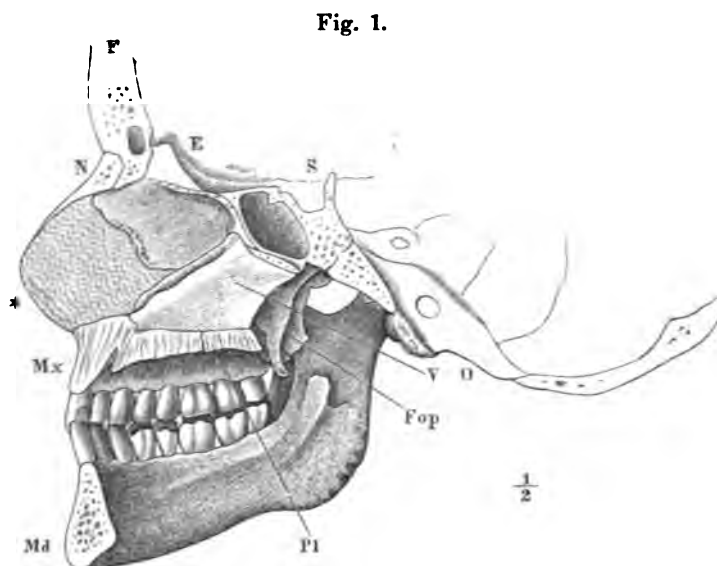
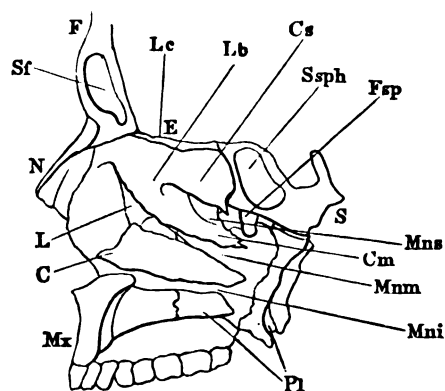


Fig. 1.



Fig. 2.


 $\frac{1}{2}$

Cm Concha media.
Cs Concha superior.
E Os ethmoideum.
F Os frontis.
Fop Fossa pterygoidea.
Fsp Foramen sphenopalatinum.
L Os lacrymale.
Lb Labyrinthus.
Lc Lamina cribrosa.
Md Mandibula.
Mni Meat. nar. inf.

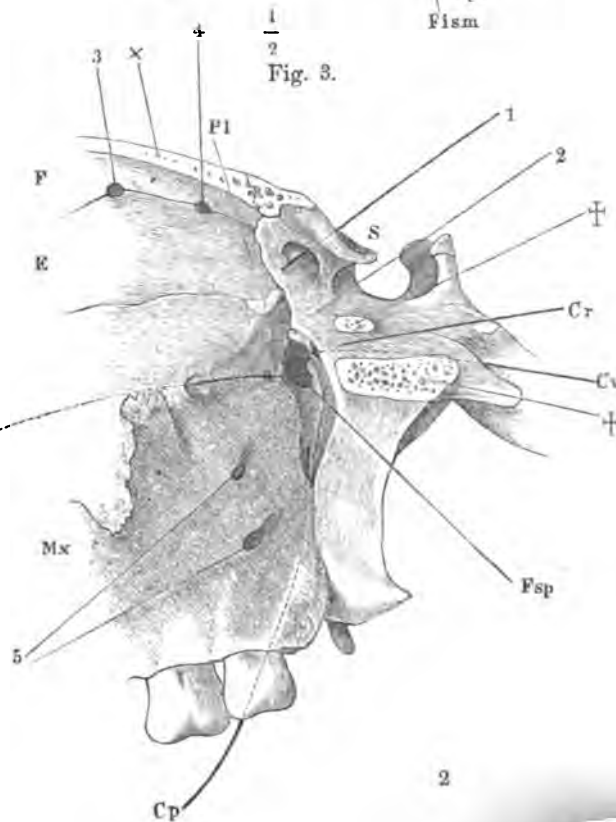
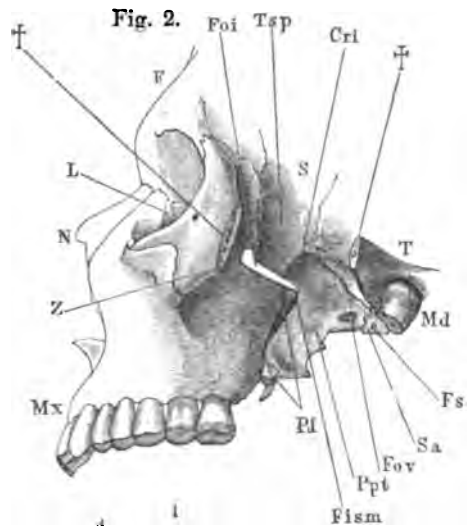
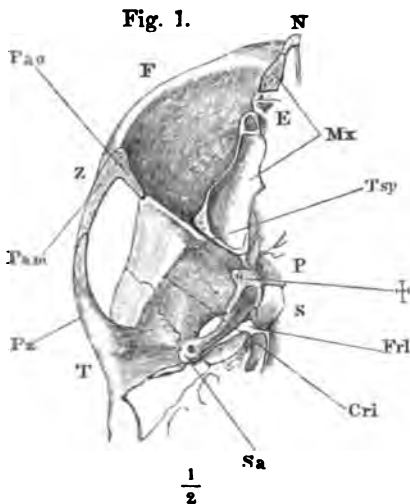
Mnm Meat. nar. medius.
Mns Meat. nar. superior.
Mx Maxilla.
N Os nasi.
O Os occipitis.
Pl Os palatinum.
S Os phenoideum.
Sf Sinus frontalis.
Ssph Sinus sphenoidalis.
V Vomer.
*** Knorpel der Nasenscheidewand.

Tafel XII. Schädel. Fossa infratemporalis u. sphenomaxillaris. 17

Fig. 1. Horizontalschnitt des Gesichtsschädels durch den vorderen Theil des Jochbogens. † Schnittfläche des Proc. pterygoideus.

Fig. 2. Profilsansicht des Gesichtsschädels mit geringer Drehung um die verticale Axe nach rechts und um die sagittale Axe mit der linken Fläche aufwärts; Jochbogen und Unterkiefer entfernt. †† Schnittflächen des Jochbogens.

Fig. 3. Seitenansicht der die Fossa sphenomaxillaris umgrenzenden Theile. × Schnittfläche der Decke der Augenhöhle. †† Schnittflächen, wodurch der Temporalflügel des Wespenebens von dem Körper dieses Knochens getrennt wurde.



- Cai* Can. infraorbitalis.
- Cp* Can. pterygopalatinus.
- Cr* Can. rotundus.
- Cri* Crista infratemporalis.
- Cv* Canalis vidianus.
- E* Os ethmoid.
- F* Os frontis.
- Fism* Fissura sphenomaxillaris.
- Foi* Fissura orbitalis inf.
- Fov* Foramen ovale.
- Frl* Foramen lacerum.
- Fs* Foramen spinosum.
- Fsp* Foram. sphenoplatinum.
- L* Os lacrymale.
- Md* Mandibula.
- Mx* Maxilla.
- N* Os nasi.
- P* Pyramis oss. temp.
- Pam* Pars malar. oss. zygomat.
- Pao* Pars orbit. oss. zygomat.
- Pl* Os palatinum.
- Ppt* Proc. pterygoideus.
- Ps* Proc. zygomaticus.
- S* Os sphenoid.
- Sa* Spina angularis.
- T* Os temporum.
- Tsp* Tuberculum spinos.
- Z* Os zygomat.
- 1 Canalis opticus.
- 2 Mediale Begrenzung der Fiss. orbital. sup.
- 3 For. ethmoid. ant.
- 4 For. ethmoid. post.
- 5 Foramina alveolaria supp. postt.

- Fig. 1. Hinterhauptsbein, von hinten.
 Fig. 2. Hinterhauptsbein, von unten.
 Fig. 3. Hinterhauptsbein, von vorn.
 Fig. 4. Mediandurchschnitt des Hinterhauptsbeins.

-
- C* Corpus oss. occip.
Cc Canalis condyloideus (*For. condyloid. post.*).
Ch Canalis hypoglossi (*For. condyloid. ant.*).
Coi Crista occipitalis int.
Fc Fossa condyloidea.
Ij Incisura jugularis.
Lni Linea nuchae inferior (*Linea semicirc. oss. occip. inf.*).
Lnm Linea nuchae mediana (*Crista occipitalis ext.*).
Lns Linea nuchae suprema.
Lns' Linea nuchae super.
Pc Processus condyloideus.
Pij Processus intrajugularis.
Pj Processus jugularis.
Poe Protuberantia occipit. ext.
Poi Protuberantia occipit. int.
Ss Sulcus sagittalis.
Spi Semisulcus petrosus inf.
Spo Superficies articul. petro-occip.
Sq Squama oss. occip.
St Sulcus transversus.
Tj Tuberculum jugulare.
Tp Tuberculum pharyngeum.
 * Ansatzfläche des *M. rect. cap. lateralis*.
 ** Firste, welche die innere Fläche des *proc. jugularis* theilt.
 *** Hintere Spitze der rauhen Seitenfläche des Körpers,
 welche sich an die Schläfenpyramide anlegt und das
For. jugulare von vornher begrenzt.

Fig. 1.

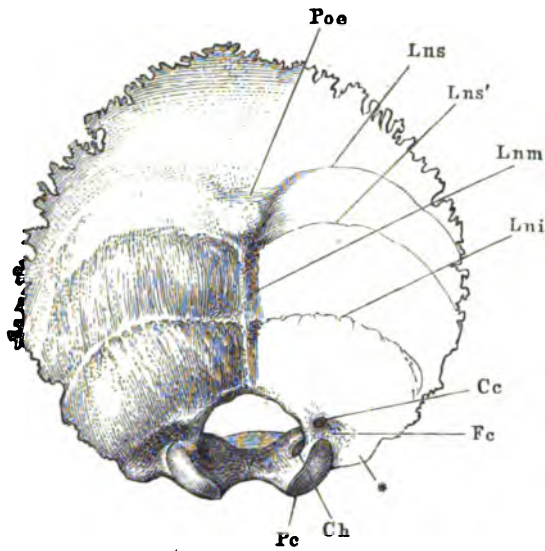


Fig. 2.

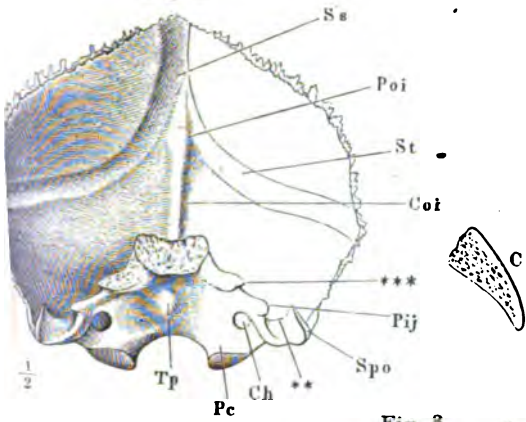


Fig. 4.

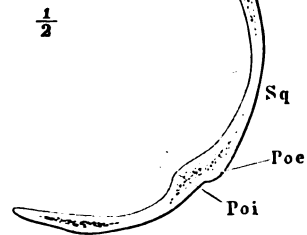
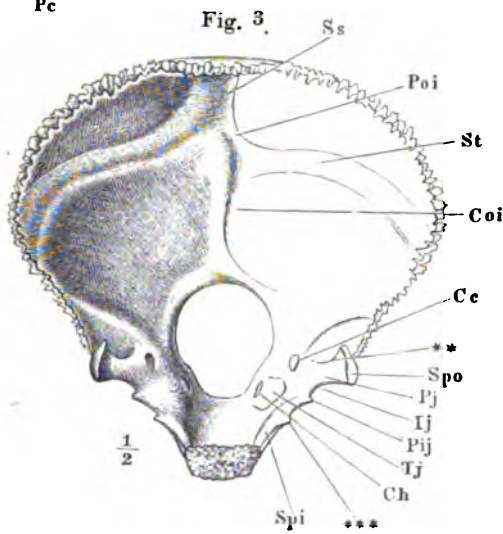


Fig. 3.



- Fig. 1. Wespenbein, von oben.
 Fig. 2. Dasselbe. Orbitalflügel abgesägt.
 Fig. 3. Dasselbe, von vorn.
 Fig. 4. Dasselbe, von hinten.
 Fig. 5. Dasselbe, von unten. † Schnittfläche der an der Wurzel abgesägten Gaumenflügel.
 Fig. 6. Seitenansicht des Wespenbeinkörpers, Orbital- und Temporalflügel an den Wurzeln abgesägt.
 Fig. 7. Medianschnitt des Wespenbeins.
 Fig. 8. Temporalflügel, von aussen.
 Fig. 9. Horizontalschnitt des Temporalflügels.
 Fig. 10. Horizontalschnitt der Gaumenflügel.

| | | | |
|--------------|--|------------|--|
| <i>Co</i> | Can. opticus (<i>For. opt.</i>). | <i>Mt</i> | Margo temporalis alae temp. |
| <i>Cos</i> | Concha sphenoidalis. | <i>Ma</i> | Maxilla. |
| <i>Cr</i> | Can. rotundus (<i>Foramen rotundum</i>). | <i>O</i> | Os occipitis. |
| <i>Cri</i> | Crista infratemporalis alae temp. | <i>Pca</i> | Processus clinoides ant. |
| <i>Cro</i> | Crista orbitalis alae temp. | <i>Pcp</i> | Processus clinoides post. |
| <i>Crs</i> | Crista sphenoidalis. | <i>Pl</i> | Os palatinum. |
| <i>Crs m</i> | Crista sphenomaxillaris alae temp. | <i>Pv</i> | Processus vaginalis. |
| <i>Crs</i> | Crista zygomatica alae temp. | <i>Ra</i> | Radix ant. alae temporalis. |
| <i>Cv</i> | Can. vidianus. | <i>Ri</i> | Radix inf. alae orbitalis. |
| <i>Ds</i> | Dorsum sellae. | <i>Rm</i> | Radix media alae temporalis. |
| <i>Fci</i> | Facies infratemporalis alae temp. | <i>Rp</i> | Radix posterior alae temporalis. |
| <i>Fco</i> | Facies orbitalis alae temp. | <i>Rs</i> | Rostrum sphenoidale. |
| <i>Fcs</i> | Facies sphenomaxillaris alae temp. | <i>Sa</i> | Spina angularis. |
| <i>Fct</i> | Facies temporalis alae temp. | <i>Sc</i> | Sulcus caroticus. |
| <i>Fh</i> | Fossa hypophyseos. | <i>Sph</i> | Sulcus hamuli pterygoidei. |
| <i>Fip</i> | Fissura pterygoidea. | <i>So</i> | Sulcus opticus. |
| <i>Fop</i> | Fossa pterygoidea. | <i>Spp</i> | Sulcus pterygopalatinus. |
| <i>Fos</i> | Fissura orbitalis sup. | <i>T</i> | Os temporale. |
| <i>Fov</i> | Foramen ovale. | <i>Ts</i> | Tuberculum sellae. |
| <i>Frs</i> | Foramen sphenoidale. | <i>Tsp</i> | Tuberculum spinosum. |
| <i>Fs</i> | Foramen spinosum. | <i>V</i> | Vomer. |
| <i>Hp</i> | Hamulus pterygoideus. | <i>Z</i> | Os zygomat. |
| <i>Lbs</i> | Limbus sphenoidalis. | <i>*</i> | Mit der Spitze der Schläfenpyramide zusammenstossendes Knochenplättchen. |
| <i>Lgs</i> | Lingula sphenoidalis. | <i>**</i> | Freier Theil des vorderen Randes der Ala temporalis. |
| <i>Ll</i> | Lamina lateralis des Proc. pterygoid. | <i>***</i> | Kante, welche die Fissura orbit. sup. von oben her begrenzt. |
| <i>Lm</i> | Lamina medialis des Proc. pterygoid. | | |
| <i>Mf</i> | Margo frontalis alae temp. | | |
| <i>Mp</i> | Margo parietalis alae temp. | | |

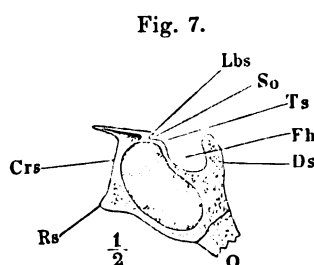
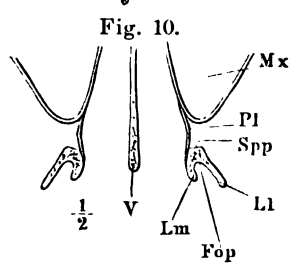
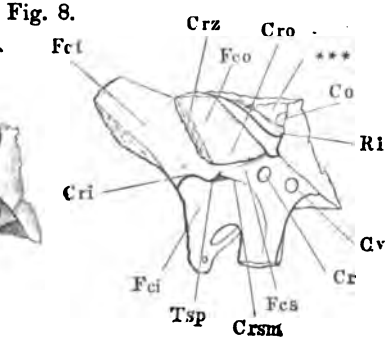
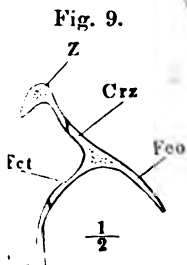
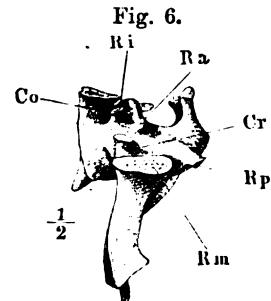
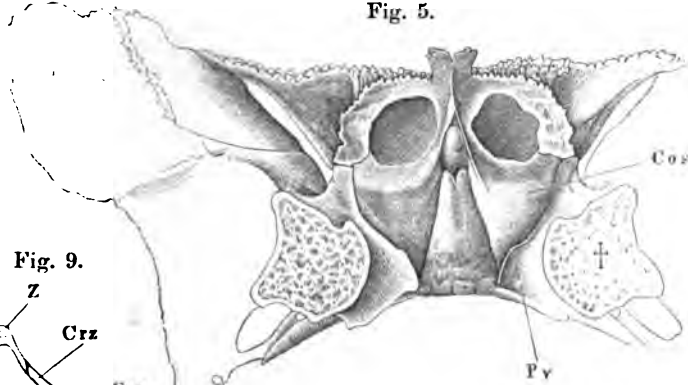
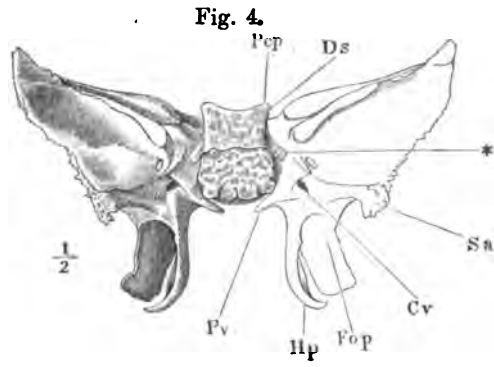
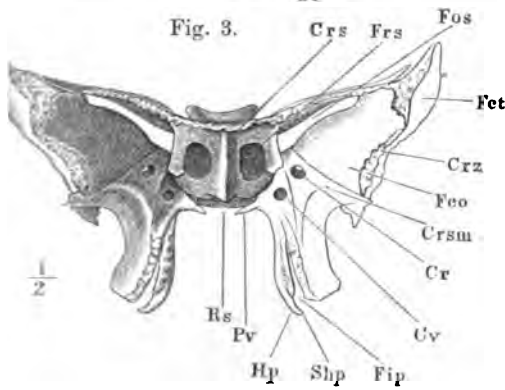
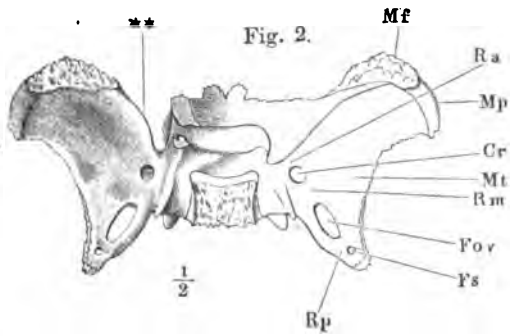
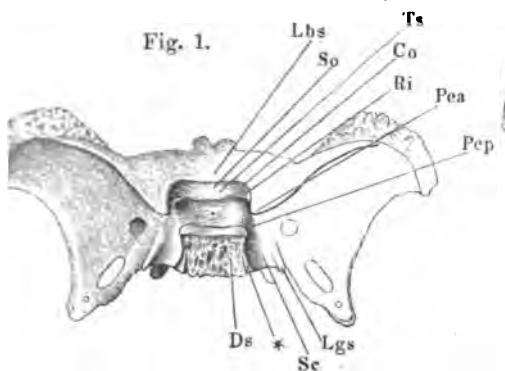
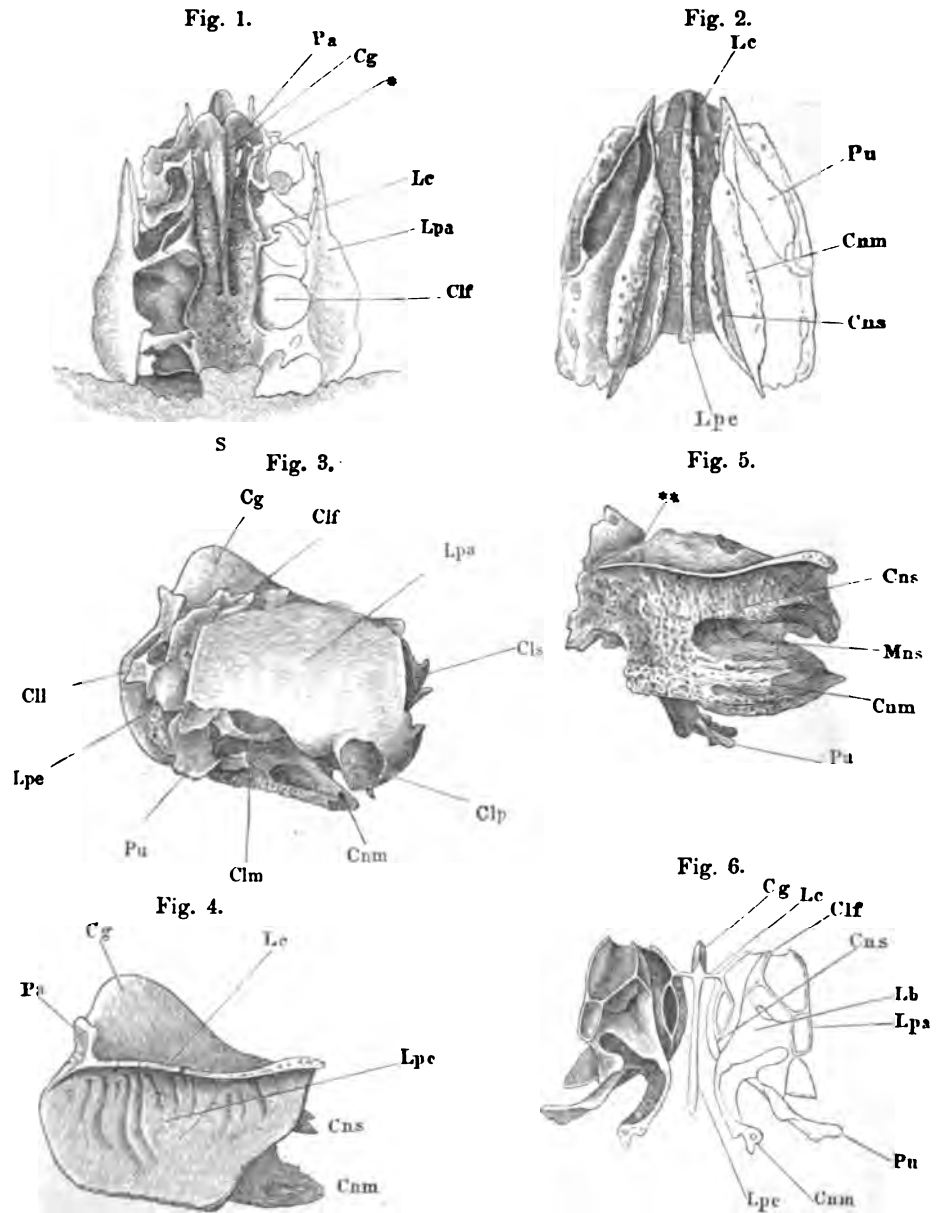


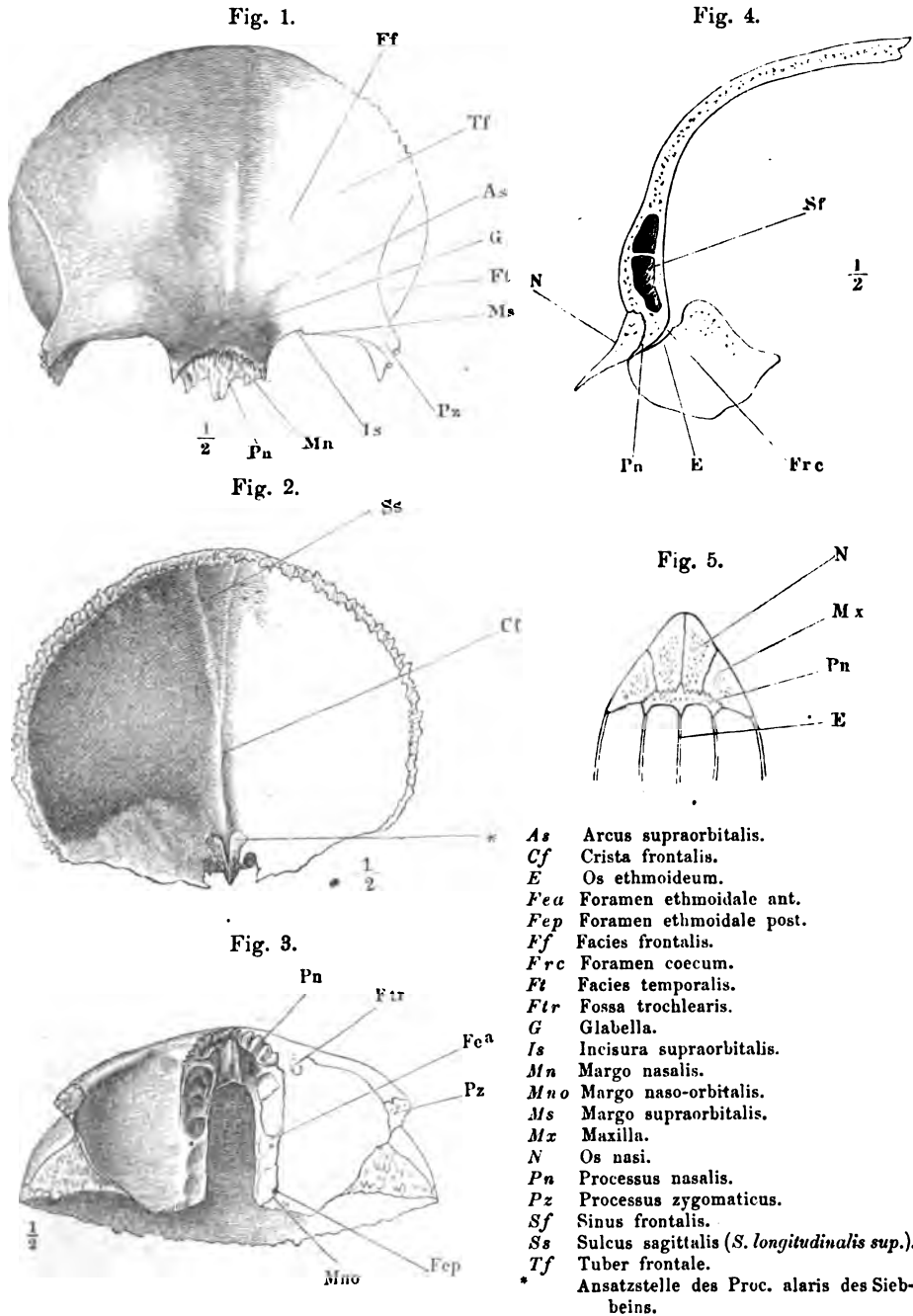
Fig. 1. Siebbein, von oben. — Fig. 2. Dasselbe, von unten. — Fig. 3. Dasselbe, Profilsansicht. — Fig. 4. Dasselbe, Profilsansicht, das linke Labyrinth entfernt. — Fig. 5. Dasselbe, Profilsansicht, das linke Labyrinth und die Lam. perpend. entfernt. — Fig. 6. Dasselbe, Frontaldurchschnitt.



Cg Crista galli.
Clf Cellulae frontales.
Cll Cellulae lacrimales.
Clm Cellulae maxillares.
Clp Cellulae palatinae.
Clis Cellulae sphenoidales.
Cnm Concha media.
Cns Concha superior.
Lb Labyrinthus.
Lc Lamina cribrosa.
Lpa Lamina papyracea.
Lpe Lamina perpendicularis.

Mns Mentus narium sup.
Pa Processus alaris.
Pu Processus uncinatus.
 * Durchtrittsöffnung des N. ethmoidal.
 ** Furche, welche vom Stirnbein zum Can. ethmoidalis ergänzt wird.

- Fig. 1. Stirnbein, von vorn.
 Fig. 2. Dasselbe, von innen.
 Fig. 3. Dasselbe, von unten.
 Fig. 4. Mediandurchschnitt des Stirnbeins mit dem Sieb- und Nasenbein.
 Fig. 5. Querschnitt des Proc. nasalis des Stirnbeins.



- Fig. 1. Linkes Schläfenbein, von der Seite, bei einer geringen Drehung des Schädels um die sagittale Axe mit der linken Fläche aufwärts.
 Fig. 2. Rechtes Schläfenbein, von innen. † Schnittfläche, durch welche die Pyramide abgetrennt ist.
 Fig. 3. Rechter Schuppentheil, von innen. † Schnittfläche, wodurch der Warzenthail abgetrennt ist.
 Fig. 4. Rechtes Schläfenbein, von unten, ohne den Paukenthail. † Schnittfläche, wodurch der Paukenthail entfernt wurde. †† Schnittfläche des Processus styloideus.
 Fig. 5. Dasselbe, mit dem Paukenthail.
 Fig. 6. Rechtes Schläfenbein, Horizontalschnitt. † Horizontalschnitt der vordern Wand des Paukenthails.
 Fig. 7. Rechtes Schläfenbein, von unten; der Schädel um seine sagittale Axe mit der linken Seite aufwärts gedreht.
 Fig. 8. Linkes Schläfenbein, von hinten; der Kopf um die verticale Axe mit dem Gesicht stark nach rechts und zugleich abwärts gedreht.
 Fig. 9. Linkes Schläfenbein, von oben; der obere Theil der Partes squamosa und mastoidea durch einen horizontalen Schnitt entfernt.
 Fig. 10. Rechtes Schläfenbein, von unten; der Schädel um seine sagittale Axe mit der rechten Seite aufwärts gedreht.

| | | | |
|------------|---|-------------|---|
| <i>Aee</i> | Apertura externa aquaeduct. cochleae. | <i>l</i> | Leistchen, welches den Eingang des Gehörganges von oben begrenzt. |
| <i>Aev</i> | Apertura externa aquaeduct. vestibuli. | <i>La</i> | Labyrinth des Schläfenbeins. |
| <i>Ait</i> | Apertura inf. canalis tympanici. | <i>Lti</i> | Linea temporalis inf. |
| <i>Ama</i> | Antrum mastoideum. | <i>Mac</i> | Meatus acust. ext. |
| <i>Asc</i> | Apertura sup. canalis tympanici. | <i>Mty</i> | Margo tympanicus (des Schuppentheils). |
| <i>Cea</i> | Canalis caroticus. | <i>p</i> | Hintere Kante der Pyramide. |
| <i>Um</i> | Canalis musculo-tubarius. | <i>Pai</i> | Porus acust. int. |
| <i>Cri</i> | Crista infratemporalis. | <i>Pij</i> | Processus intrajugularis. |
| <i>Crp</i> | Crista petrosa. | <i>Ppet</i> | Pars petrosa. |
| <i>Ctt</i> | Canalis tensoris tympani. | <i>Prm</i> | Processus mastoideus. |
| <i>Cot</i> | Cavum tympani. | <i>Pst</i> | Processus styloideus. |
| <i>Ea</i> | Ementia arcuata. | <i>Pt</i> | Pars tympanica. |
| <i>Fci</i> | Facies infratemporalis. | <i>Ps</i> | Processus zygomaticus. |
| <i>Fj</i> | Fossa jugularis. | <i>s</i> | Obere Kante der Pyramide. |
| <i>Fmd</i> | Fossa mandibularis. | <i>Sao</i> | Sulcus arteriae occipitalis. |
| <i>Foc</i> | Foramen carotico-tympanicum. | <i>Spj</i> | Semigulcus petrosus inf. |
| <i>Fps</i> | Fissura petrosquamosa. | <i>Spo</i> | Superf. artic. petro-occipitalis. |
| <i>Fpt</i> | Fissura petrotympanica. | <i>Sra</i> | Sulcus rami auricularis vagi. |
| <i>Fst</i> | Foramen stylomastoideum. | <i>Sst</i> | Sulcus sinus transversi. |
| <i>Ftm</i> | Fissura tympanico-mastoidea. | <i>Stu</i> | Septum tubae. |
| <i>Hcf</i> | Hiatus canalis facialis (<i>Apertura spuria canalis Falloppiae</i>). | <i>Ta</i> | Tuberculum articulare. |
| <i>i</i> | Untere Kante der Pyramide. | <i>Tt</i> | Tegmen tympani. |
| <i>Ijl</i> | Incisura jugularis lateralis. | <i>Tt'</i> | Processus inf. desselben. |
| <i>Ijm</i> | Incisura jugularis medialis. | <i>Tu</i> | Tuba. |
| <i>Im</i> | Incisura mastoidea. | * | Grenze des Schuppen- und Warzenthails. |
| <i>Ipr</i> | Incisura parietalis. | ** | Rinne der Vasa meningea media. |
| <i>It</i> | Impressio trigemini. | *** | Grube unter dem oberen verticalen Bogen- gang. |
| <i>k</i> | Anheftungstelle des oberen Randes der vorderen Platte des Paukenthails. | | |

Fig. 1.

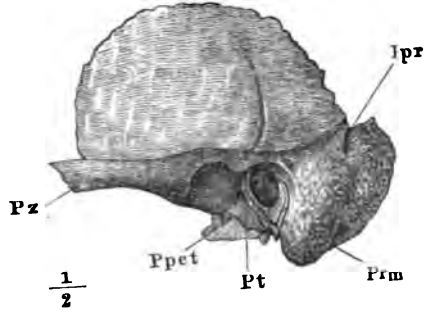


Fig. 2.

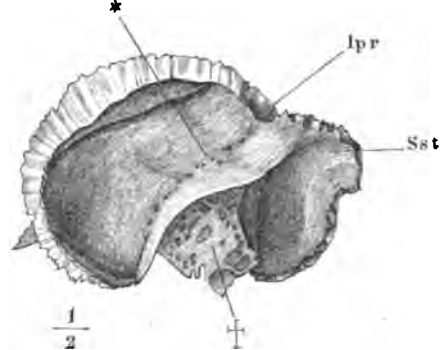


Fig. 3.

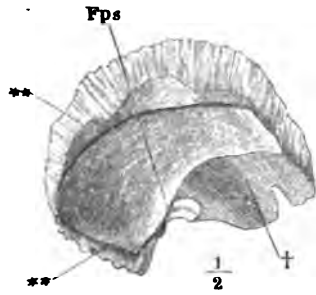


Fig. 8.

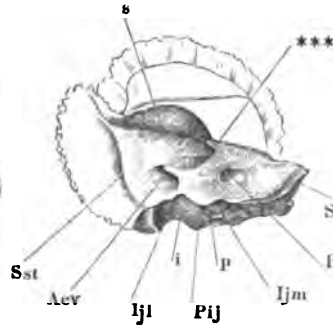


Fig. 5.

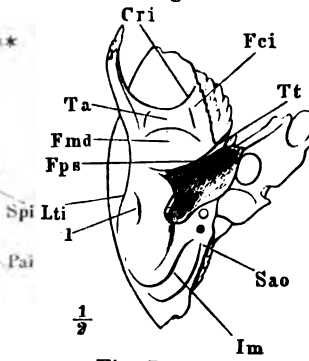


Fig. 6.

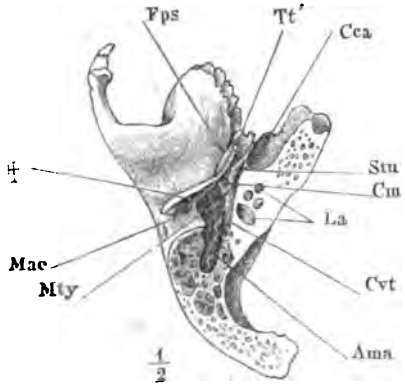


Fig. 4.

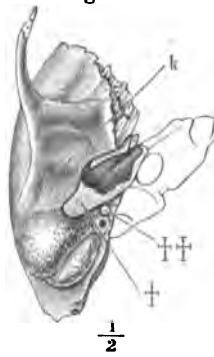


Fig. 7.

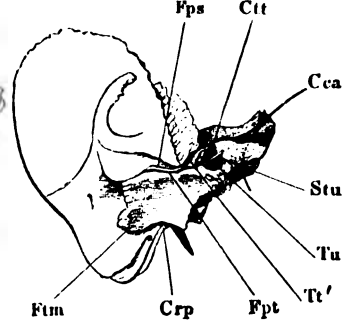


Fig. 9.

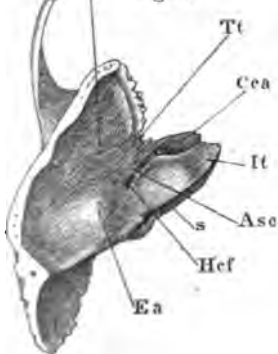


Fig. 10.

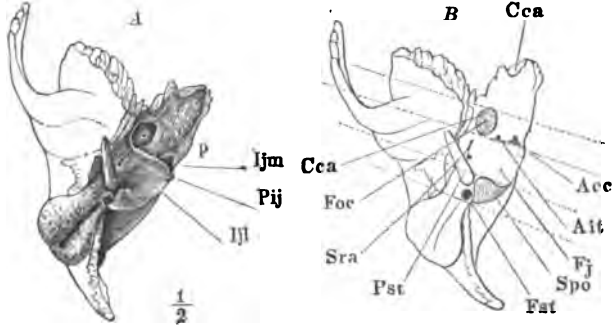


Fig. 1. Theil des linken Schläfenbeins, wie Tafel XVII, Fig. 1.

Fig. 2. Dasselbe, ohne den Paukentheil. † Schnittfläche, wodurch der Paukentheil entfernt wurde.

Fig. 3. *A* (*A'*) und *B*. Pyramide des linken Schläfenbeins, in den Felsen- und Paukentheil zerlegt; der Felsentheil (*A*) von der vorderen äussern Fläche, der Paukentheil (*B*) umgelegt, von der angewachsenen Fläche. Fig. *A*† und *B*† correspondirende Schnittflächen des Felsen- und Paukentheils. Fig. *A*†† Schnittfläche, durch welche die Schuppe abgetrennt ist.

Fig. 4. Pyramide wie Fig. 3, das Tegmen tympani entfernt. † Schnittfläche desselben. Durch einen weiter nach hinten geführten Schnitt ist ein Theil der Pars mastoidea entfernt, Can. facialis und Antr. mastoideum geöffnet.

Fig. 5 *A. B. C.* Parallele Durchschnitte des Schläfenbeins in einer auf die Längsaxe der Pyramide senkrechten Richtung. *A* Vor dem vorderen Rand des äusseren Gehörganges. *B* Vor dem Griffelfortsatz. *C* Vor dem Eingang des Can. caroticus.

| | | | |
|------------|---|-------------|---|
| <i>a</i> | Vordere Kante des Felsentheils. | <i>Ftm</i> | Fissura tympanico-mastoidea. |
| <i>Ama</i> | Antrum mastoideum. | <i>Gf</i> | Genu canalis facialis. |
| <i>Atc</i> | Apertura tympanica can. chordae. | <i>i</i> | Untere Kante der Pyramide. |
| <i>Caf</i> | Canalis facialis (<i>Can. Fallopii</i>). | <i>ia</i> | Innere vordere Fläche des Felsentheils. |
| <i>Cca</i> | Canalis caroticus. | <i>ip</i> | Innere hintere Fläche der Pyramide. |
| <i>Cch</i> | Canalis chordae. | <i>Mty</i> | Margo tympanicus (des Schuppentheils). |
| <i>Cm</i> | Canalis musculotubarius. | <i>p</i> | Hintere Kante der Pyramide. |
| <i>Cma</i> | Canalis mastoideus, Oeffnung i. d. Can. facial. | <i>Pae</i> | Porus acusticus ext. |
| <i>Cnp</i> | Canalis nervi petrosi superf. majoris. | <i>Pr</i> | Promontorium. |
| <i>Crp</i> | Crista petrosa. | <i>Pro</i> | Processus cochleariformis. |
| <i>Ctt</i> | Canalis tensoris tympani. | <i>Pst</i> | Processus styloideus. |
| <i>Cvt</i> | Cavum tympani. | <i>Pt</i> | Pars tympanica. |
| <i>Cty</i> | Furchen oder Canäle in der Fortsetzung des Canalis tympanicus. | <i>Pz</i> | Processus zygomaticus. |
| <i>ea</i> | Äussere vordere Fläche des Felsentheils. | <i>s</i> | Obere Kante der Pyramide. |
| <i>ep</i> | Äussere hintere Fläche der Pyramide. | <i>Sct</i> | Sulci carotico-tympanici. |
| <i>Es</i> | Eminentia stapedii (<i>E. pyramidalis</i>). | <i>Snpp</i> | Sulcus nervi petrosi prof. min. |
| <i>Fec</i> | Fenestra cochleae (<i>F. rotunda</i>). | <i>Stu</i> | Septum tubae. |
| <i>Fev</i> | Fenestra vestibuli (<i>F. ovalis</i>). | <i>Sty</i> | Sulcus tympanicus. |
| <i>Fps</i> | Fissura petrosquamosa. | <i>Tt</i> | Tegmen tympani. |
| <i>Fpt</i> | Fissura petrotympanica. | <i>Tt'</i> | Processus inf. desselben. |
| <i>Fst</i> | Foramen stylomastoideum. | <i>*</i> | Mediale Mündung des Can. n. petr. prof. min. |

Fig. 1.

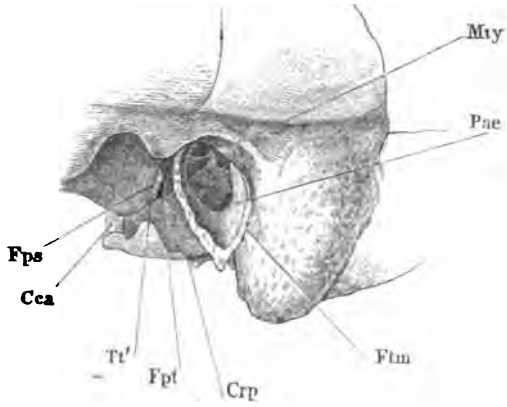


Fig. 2.

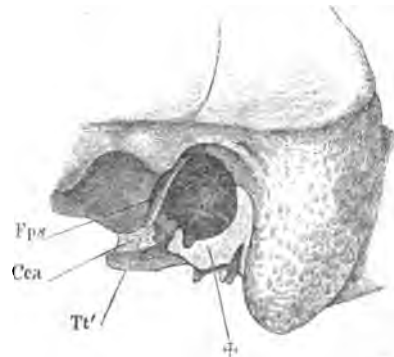


Fig. 3 A.

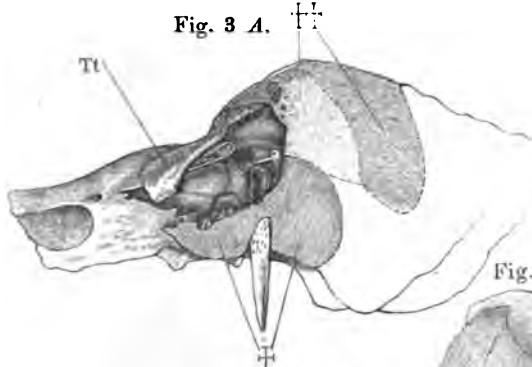


Fig. 3 B.



Fig. 3 A'.

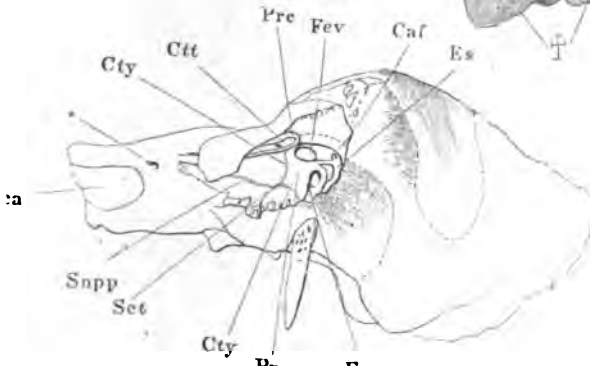


Fig. 4.

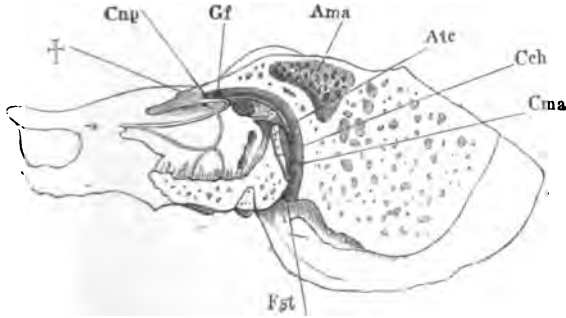


Fig. 5 A.

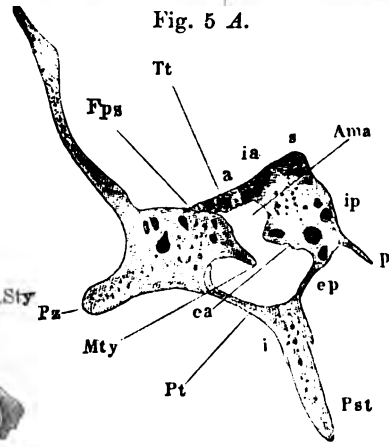


Fig. 5 B.

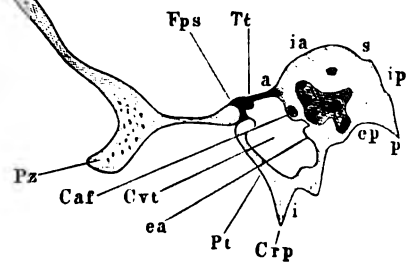


Fig. 5 C.

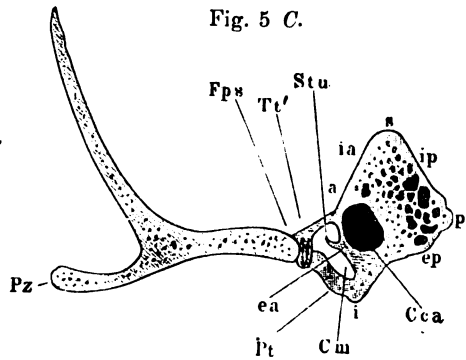


Fig. 1. Schläfenschuppe u. Paukenring eines sechsmonatl. Embryo, laterale Fläche.

Fig. 2. Dieselbe, mediale Fläche.

Fig. 3. Schläfenbein des Neugeborenen, zerlegt in den Schuppen-Paukentheil (A) u. d. Warzen-Felsentheil (B). 1. Schuppentheil. 2. Warzentheil. ††××** Correspondirende Ränder beider Theile. Die Region * des Paukentheils liegt brückenförmig über der Vertiefung * des Felsentheils und begrenzt mit dieser die Oeffnung, die sich später in den Can. musculo-tubarius und die Fissura petrotympanica scheidet.

Fig. 4. Linkes Scheitelbein, von aussen.

Fig. 5. Rechtes Scheitelbein, von innen. * Furche, welche den Sulcus sinus transv. vervollständigt.

Fig. 1.

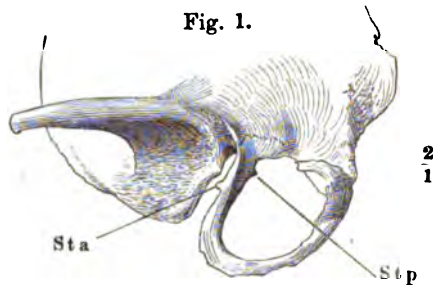


Fig. 2.

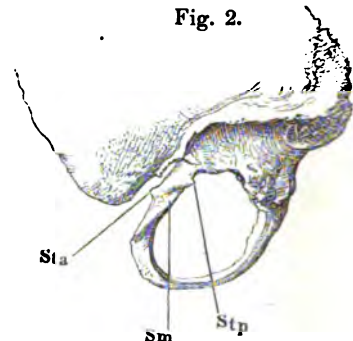


Fig. 4.

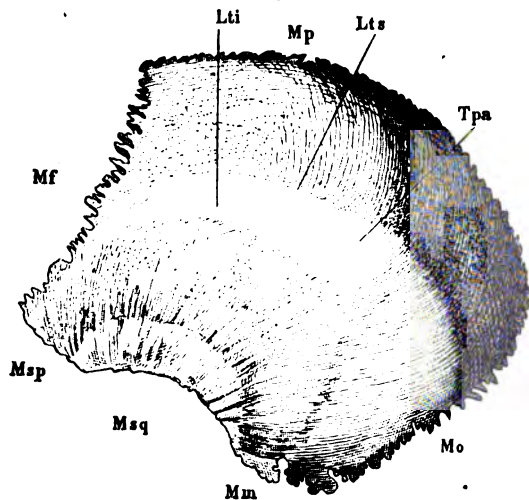


Fig. 3.

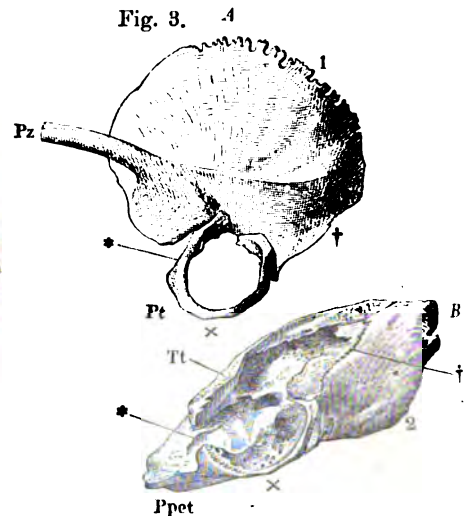
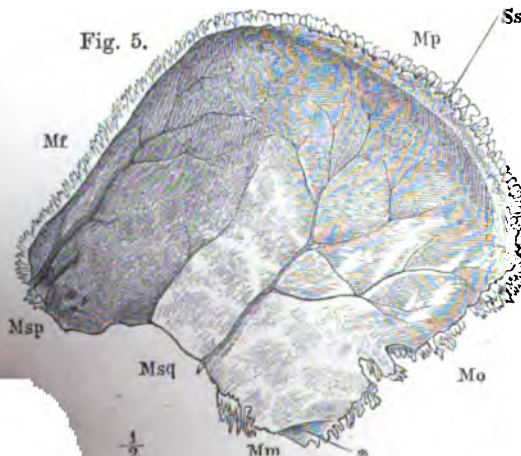
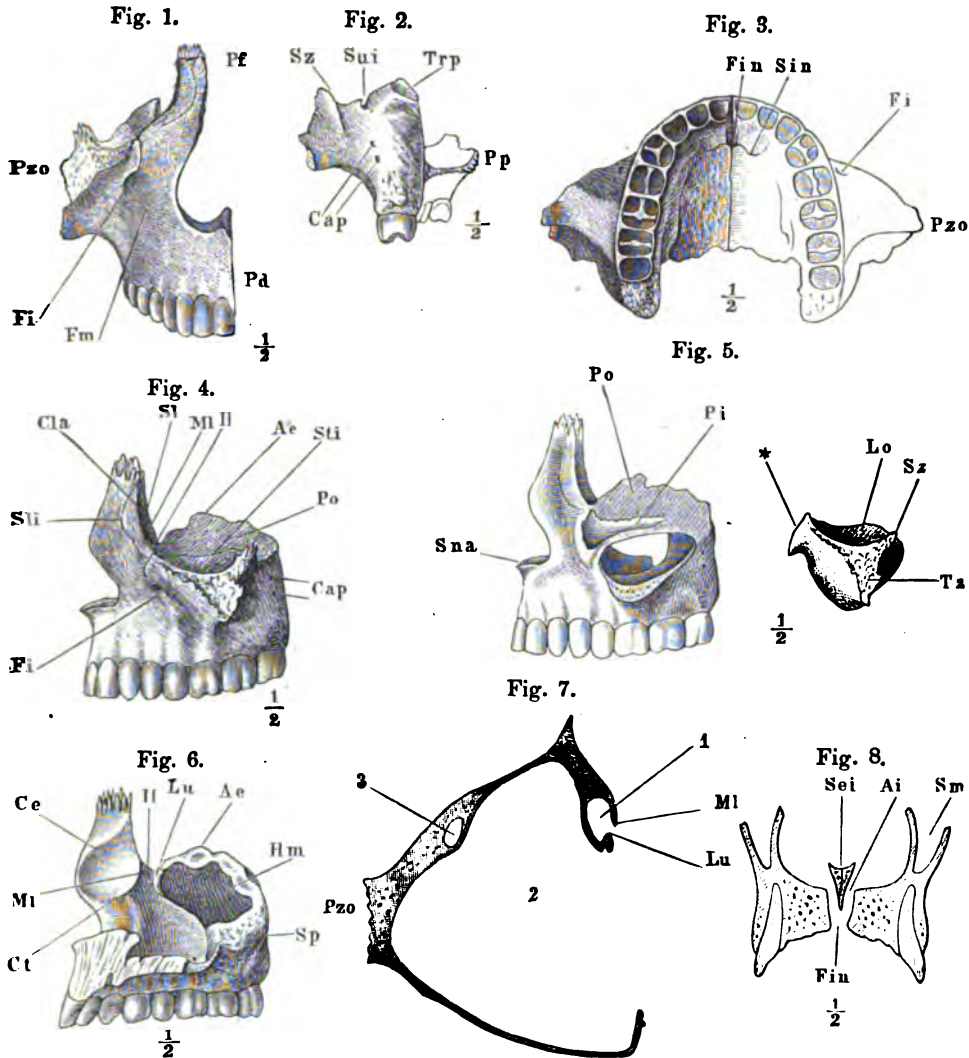


Fig. 5.



- Lti* Linea tempor. inf.
Lts Linea tempor. sup.
Mf Margo frontalis des Scheitelbeins.
Mm " mastoideus " "
Mo " occipitalis " "
Mp " parietalis " "
Msp " sphenoidalis " "
Msq " squamosus " "
Ppet Pars petrosa des Schläfenbeins.
Pt Pars tympanica desselben.
Pz Process. zygomat.
Sm Sulcus malleolaris des Paukenrings.
Ss Semisulcus sagitt. (*S. longit. sup.*).
Sta Spina tympanica ant.
Stp Spina tympanica post.
Tpa Tuberculum parietale.
Tt Tegmen tympani.

Fig. 1. Rechtes Oberkieferbein, von vorn. — Fig. 2. Linkes Oberkieferbein, von hinten. — Fig. 3. Oberkieferbeine, von unten. — Fig. 4. Linkes Oberkieferbein, Seitenansicht. — Fig. 5. Linkes Oberkieferbein; der proc. zygomatico-orbitalis mittelst eines schrägen, vom Can. infraorbitalis aus seit- und abwärts geführten Schnittes abgetrennt. — Fig. 6. Rechtes Oberkieferbein, von innen. — Fig. 7. Horizontaldurchschnitt des rechten Oberkieferbeins, dicht unter der oberen Wand. — Fig. 8. Frontaldurchschnitt des Gaumens zwischen den Eckzähnen.



- | | | |
|--|--|---|
| <i>Ae</i> Angulus ethmolacrymalis. | <i>Lu</i> Lunula lacrymalis. | <i>Sm</i> Sinus maxillaris. |
| <i>Ai</i> Apertura sup. canalis incisivi. | <i>Ml</i> Margo lacrymalis. | <i>Sna</i> Spina nasalis ant. |
| <i>Cap</i> Cann. alveolares postt. | <i>Pd</i> Processus dentalis. | <i>Sp</i> Sulcus pterygopalatinus. |
| <i>Ce</i> Crista ethmoidalis. | <i>Pf</i> Processus frontalis. | <i>Sti</i> Sutura infraorbitalis. |
| <i>Cla</i> Crista lacrymalis ant. | <i>Pi</i> Planum infraorbitale. | <i>Sui</i> Sulcus infraorbitalis. |
| <i>Ct</i> Crista turbinalis. | <i>Po</i> Planum orbitale. | <i>Sz</i> Spina zygomatica. |
| <i>Fi</i> Foramen incisivum. | <i>Pp</i> Processus palatinus. | <i>Trp</i> Trigonum palatinum. |
| <i>Fin</i> Foramen infraorbitale. | <i>Pzo</i> Processus zygomatico-orbitalis. | <i>Tz</i> Tuberositas zygomatica. |
| <i>Fm</i> Fossa maxillaris. | <i>Sei</i> Semicrista incisiva. | 1 Thränencanal. |
| <i>Hm</i> Hiatus maxillaris. | <i>Sin</i> Sutura incisiva. | 2 Kieferhöhle. |
| <i>Il</i> Incisura lacrymalis. | <i>Sl</i> Sulcus lacrymalis. | 3 Canalis infraorbitalis. |
| <i>Lo</i> Lamina orbitalis proc. zygomatico-orbitalis. | <i>Sli</i> Sutura longit. imperfecta. | * Zahnförmiger Fortsatz des Proc. zygomatico-orbitalis. |

- Fig. 1. Rechtes Gaumenbein, mediale Fläche.
 Fig. 2. Linkes Gaumenbein, laterale Fläche.
 Fig. 3. Linkes Gaumenbein, von hinten.
 Fig. 4. Rechtes Gaumenbein, von unten.
 Fig. 5. Gaumen, nebst den die Choanen begrenzenden Knochen, von unten.
 Fig. 6. Linkes Gaumenbein von der Seite, im Zusammenhang mit Sieb- und Wespenbein. † Schnittfläche der Augenhöhlenplatte des Stirnbeins.
 †† Durchschnittenen Wurzeln des Temporalflügels.
 Fig. 7. Rechtes Thränenbein, laterale Fläche.
 Fig. 8. Linkes Thränenbein in Verbindung mit dem Sieb- und Oberkieferbein. Der Schädel um seine sagittale Axe mit der linken Gesichtshälfte abwärts gedreht.
 Fig. 9. Rechtes Thränen- und Oberkieferbein, mediale Fläche. Eine Borste (†) ist unter dem unteren Rande des Thränenbeins an die mediale Fläche des Oberkieferbeins geführt.

| | | | |
|-------------|---|------------|--|
| <i>Co</i> | Crista ethmoidalis. | <i>Pf</i> | Proc. frontalis des Oberkieferbeins. |
| <i>Cla</i> | Crista lacrymalis ant. | <i>Ph</i> | Pars horizontalis des Gaumenbeins. |
| <i>Clpo</i> | Crista lacrymalis post. | <i>Por</i> | Processus orbitalis. |
| <i>Cpp</i> | Canales palatini postt. | <i>Ppe</i> | Pars perpendicularis des Gaumenbeins. |
| <i>Ct</i> | Crista turbinalis. | <i>Ppt</i> | Processus pterygoideus. |
| <i>E</i> | Os ethmoideum. | <i>Ppy</i> | Processus pyramidalis. |
| <i>F</i> | Os frontis. | <i>Prl</i> | Processus lacrymalis des Muschelbeins. |
| <i>Fl</i> | Fossa lacrymalis. | <i>Ps</i> | Processus sphenoidalis des Gaumenbeins. |
| <i>Fp</i> | Foramen pterygopalatinum. | <i>Pu</i> | Processus uncinatus des Siebbeins. |
| <i>Fpp</i> | Foramina palatina postt. | <i>S</i> | Os sphenoidum. |
| <i>Fsp</i> | Foramen sphenopalatinum. | <i>Sl</i> | Sulcus lacrymalis. |
| <i>Hl</i> | Hamulus lacrymalis. | <i>Sn</i> | Spina nasalis post. |
| <i>Ip</i> | Incisura palatina. | <i>Sp</i> | Sulcus pterygopalatinus. |
| <i>k</i> | Kante des Proc. orbitalis des Gaumenbeins, welche den unteren Rand der Fissura orbitalis inf. bilden hilft. | <i>V</i> | Vomer. |
| <i>L</i> | Os lacrymale. | * | Rinne zur Aufnahme der medialen Platte des Gaumenflügels. |
| <i>Lpa</i> | Lamina papyracea. | ** | Feld des Proc. pyramidalis des Gaumenbeins, welches in der Fossa pterygoidea frei liegt. |
| <i>Lu</i> | Lunula lacrymalis. | *** | Rinne zur Aufnahme der lateralen Platte des Gaumenflügels. |
| <i>Mx</i> | Maxilla. | | |
| <i>p</i> | Ueber den hinteren Rand des Oberkiefers vorragende Fläche des Gaumenbeins. | | |

Fig. 1.

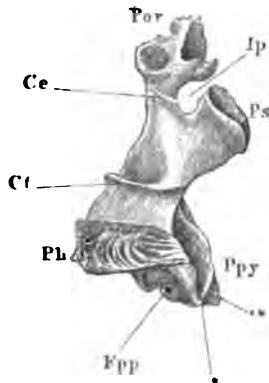


Fig. 2.

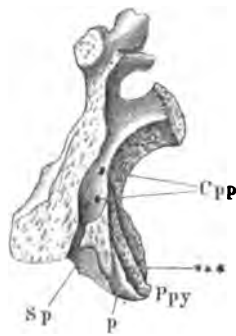


Fig. 3.

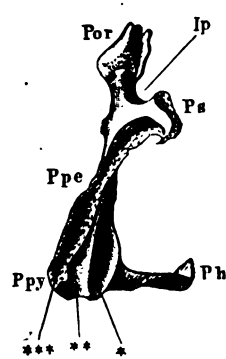


Fig. 7.

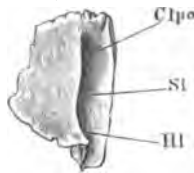


Fig. 4.

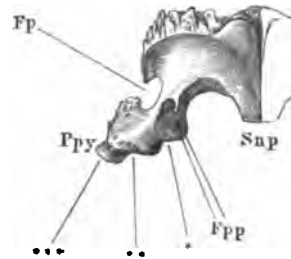


Fig. 5.

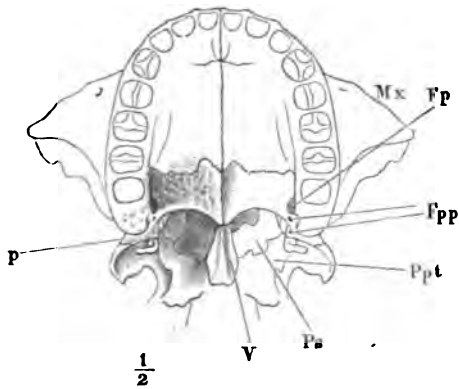


Fig. 6.

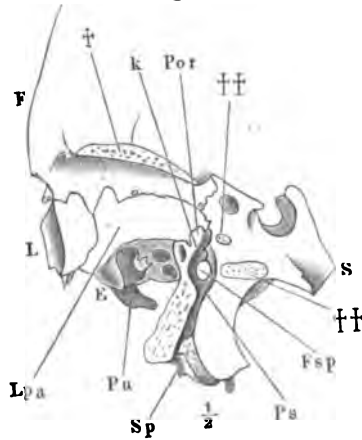


Fig. 8.

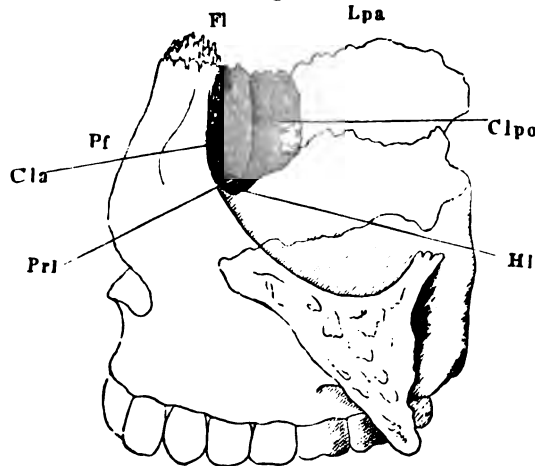
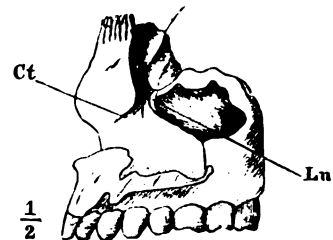


Fig. 9.



- Fig. 1. Linkes Muschelbein, laterale Fläche.
 Fig. 2. Linkes Oberkieferbein mit dem Sieb-, Gaumen- und Muschelbein; die Seitenwand der Kieferhöhle weggenommen.
 Fig. 3. Rechtes Muschelbein, in Verbindung mit dem Oberkiefer- und Gaumenbein, mediale Fläche.
 Fig. 4. Rechtes Nasenbein, vom medialen Rand.
 Fig. 5. Rechtes Nasenbein, in Verbindung mit Stirn-, Sieb- und Oberkieferbein, von vorn.
 Fig. 6. Linkes Jochbein, fast Profil.
 Fig. 7. Rechtes Jochbein, von vorn, der Schädel um die verticale Axe nach rechts gedreht.
 Fig. 8. Rechtes Jochbein, von innen.
 Fig. 9. Pflugscharbein, in Verbindung mit den übrigen Knochen der Nasenscheidewand, von der linken Seite.
 Fig. 10. Pflugscharbein, von vorn und oben.
 Fig. 11. Knöcherne Nasenscheidewand, von hinten. † Schnittfläche des Körpers, †† des Temporalflügels des Wespenbeins.
 Fig. 12. Decke der Nasenhöhle, von unten. † Horizontalschnitt des Pflugscharbeins. †† Schnittfläche der Gaumenflügel.

| | | | |
|------------|--|-----------|--|
| <i>Av</i> | Ala vomeris. | <i>Pn</i> | Processus nasalis des Stirnbeins. |
| <i>Ci</i> | Crista incisiva. | <i>Pl</i> | Processus lacrymalis des Muschelbeins. |
| <i>Csf</i> | Canalis zygomatico-facialis. | <i>Ps</i> | Processus sphenoidalis des Gaumenbeins. |
| <i>Cst</i> | Canalis zygomatico-temporalis. | <i>Pu</i> | Processus uncinatus des Siebbeins. |
| <i>E</i> | Os ethmoideum. | <i>Pv</i> | Processus vaginalis des Gaumenflügels. |
| <i>F</i> | Os frontis. | <i>S</i> | Os sphenodeum. |
| <i>Fov</i> | Foramen ovale. | <i>Se</i> | Sulcus ethmoidalis. |
| <i>Hm</i> | Hiatus maxillaris. | <i>Tm</i> | Tuberositas malaris. |
| <i>L</i> | Os lacrymale. | <i>V</i> | Vomer. |
| <i>Lpc</i> | Lamina perpendicularis des Siebbeins. | * | An die Crista zygomat. des Temporalflügels gefügter Rand des Jochbeins. |
| <i>Lu</i> | Lunula lacrymalis. | ** | Freier Theil des Jochbeinrandes. |
| <i>Mx</i> | Maxilla. | *** | An die Lamina orbitalis des Oberkiefers ge- fügter Rand des Jochbeins. |
| <i>N</i> | Os nasi. | * | Can. vomerobasilaris medianus. |
| <i>Pam</i> | Pars malaris des Jochbeins. | ** | Can. vomerobasilaris lateralis sup. |
| <i>Pao</i> | Pars orbitalis desselben. | *** | Can. vomerobasilaris lateralis inf. |
| <i>Pe</i> | Processus ethmoidalis. | | |
| <i>Pl</i> | Os palatinum. | | |
| <i>Pm</i> | Processus maxillaris des Muschelbeins. | | |

Muschelbein, Nasenbein, Jochbein, Pflugscharbein. 33

Fig. 1.

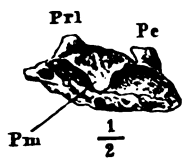


Fig. 2.

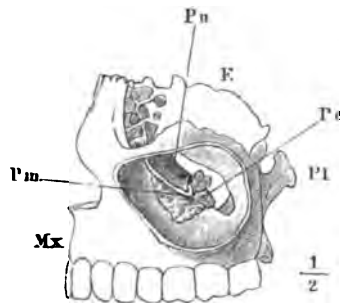


Fig. 3.

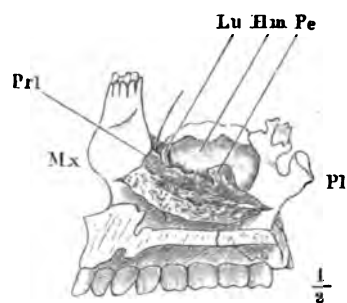


Fig. 4.



Fig. 5.

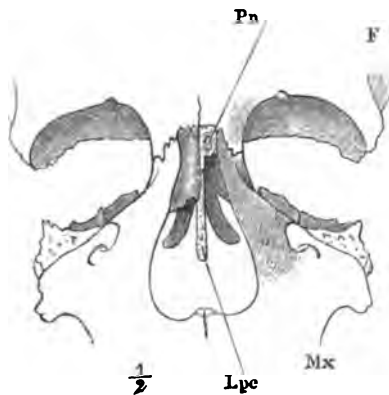


Fig. 6.

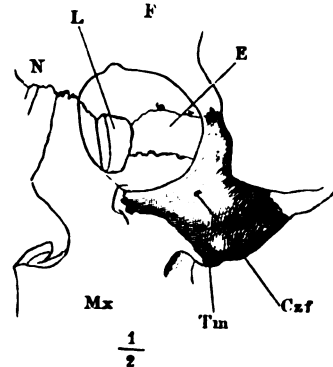


Fig. 7.

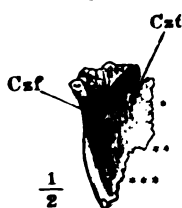


Fig. 8.

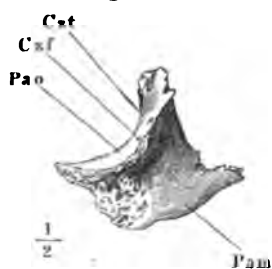


Fig. 9.

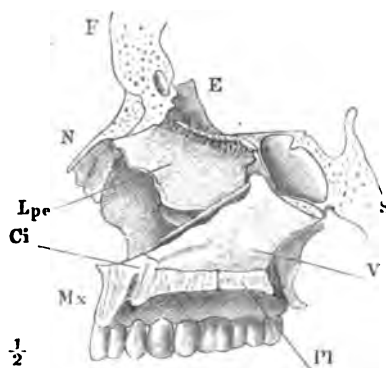


Fig. 12.

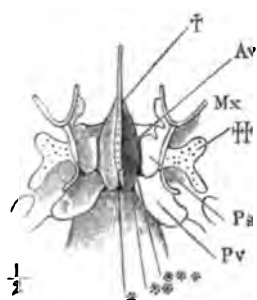
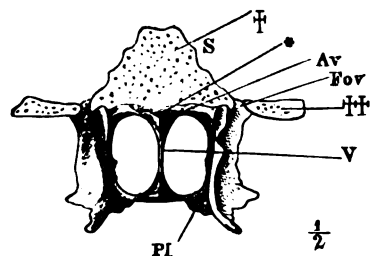


Fig. 10.



Fig. 11.



- Fig. 1. Unterkiefer, von vorn.
 Fig. 2. Unterkiefer, von hinten.
 Fig. 3. Unterkiefer, Profil.
 Fig. 4. Rechte Unterkieferhälfte, von innen.
 Fig. 5. Verticale Durchschnitte des Unterkiefers; *A* hinter dem letzten Backzahn,
B vor dem dritten Backzahn, *C* vor dem ersten Backzahn.

| | |
|------------|---|
| <i>Am</i> | Angulus mandibulae. |
| <i>Cb</i> | Crista buccinatoria. |
| <i>Cmd</i> | Canalis mandibulae. |
| <i>Fd</i> | Fossa digastrica. |
| <i>Fme</i> | Foramen mentale. |
| <i>Frm</i> | Foramen mandibulare. |
| <i>Imd</i> | Incisura mandibulae. |
| <i>Lgm</i> | Lingula mandibulae. |
| <i>Lim</i> | Linea mylohyoidea. |
| <i>Lio</i> | Linea obliqua. |
| <i>Pc</i> | Processus condyloideus. |
| <i>Pco</i> | Processus coronoides. |
| <i>Pme</i> | Protuberantia mentalis. |
| <i>Smy</i> | Sulcus mylohyoideus. |
| <i>Spm</i> | Spina mentalis. |
| <i>Tme</i> | Tuberculum mentale. |
| * | Grube zur Aufnahme der Gland. sublingualis. |

Fig. 1.

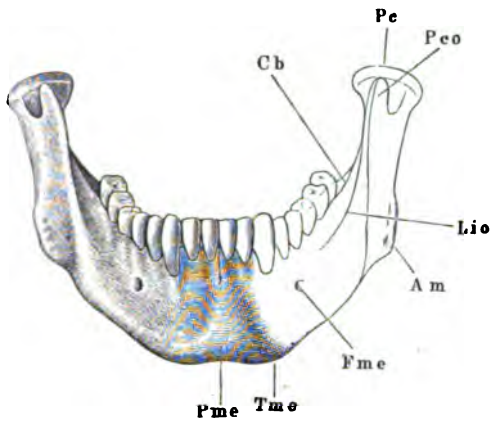


Fig. 2.

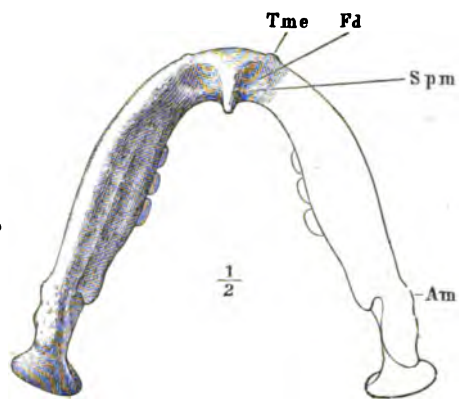


Fig. 3.

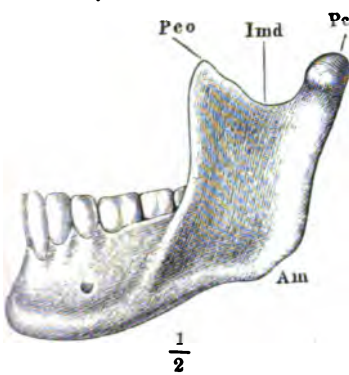


Fig. 4.

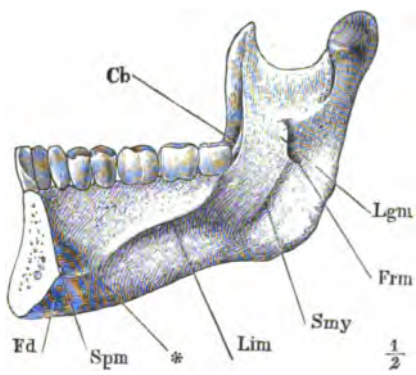
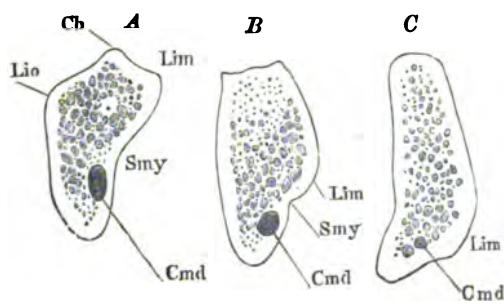


Fig. 5.



Homologie der oberen und unteren Extremität.

- Fig. 1. Rumpfskelett mit dem Gürtel der Extremitäten.
- Fig. 2. Knochen der oberen und unteren Extremität, vom Gürtel gelöst. *A* obere Extremität mit supinirter Hand, in symmetrischer Stellung zur unteren Extremität, *B*; *C* obere Extremität mit pronirter Hand, in gleichförmiger Stellung mit dem Fuss.
- Fig. 3. Knochen der Hand- und Fusswurzel mit den Basen der Mittelhand- und Mittelfussknochen, in analoge Reihen zerlegt, die homologen Knochen mit entsprechenden Ziffern bezeichnet.

| | |
|-------------|------------------------|
| <i>C</i> | Schlüsselbein. |
| <i>Cd</i> | Condylus des Armbeins. |
| <i>Fe</i> | Schenkelbein. |
| <i>Fi</i> | Fibula. |
| <i>H</i> | Armbein. |
| <i>Mc</i> | Mittelhandknochen. |
| <i>Mt</i> | Mittelfussknochen. |
| <i>O</i> | Olecranon. |
| <i>Oc</i> | Hüftbein. |
| <i>Oil</i> | Darmbein. |
| <i>Ois</i> | Sitzbein. |
| <i>Op</i> | Schambein. |
| <i>P</i> | Patella. |
| <i>Pc</i> | Processus coracoideus. |
| <i>R</i> | Radius. |
| <i>S</i> | Schulterblatt. |
| <i>T</i> | Tibia. |
| <i>Tm</i> | Tuberculum minus. |
| <i>Tmj</i> | Tuberculum majus. |
| <i>Trm</i> | Trochanter minor. |
| <i>Trmj</i> | Trochanter major. |
| <i>U</i> | Ulna. |

| | |
|------------------|----------------------------------|
| 1 Kahnbein. | I Schiffbein. |
| 2 Mondbein. | II Sprungbein. |
| 3 Pyramidenbein. | III Fersenbein. |
| 3' Erbsenbein. | III' Hintere Epiphyse desselben. |
| 4 Trapezoidbein. | IV Zweites Keilbein. |
| 5 Kopfbein. | V Drittes Keilbein. |
| 6 Hakenbein. | VI Würfelbein. |
| 7 Trapezbein. | VII Erstes Keilbein. |

Extremitätengürtel.

Fig. 1.

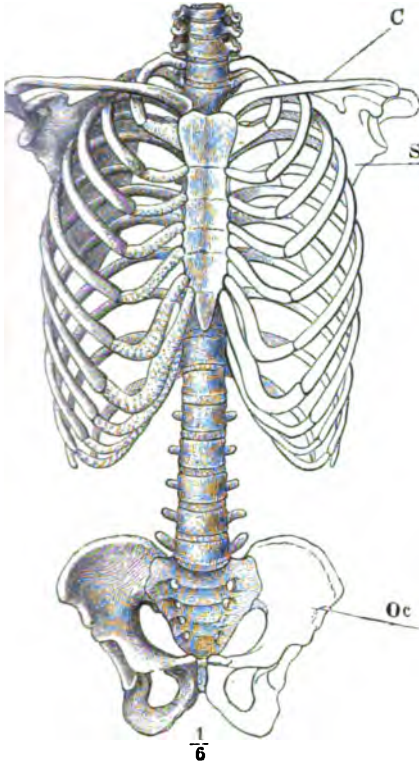


Fig. 2 A.

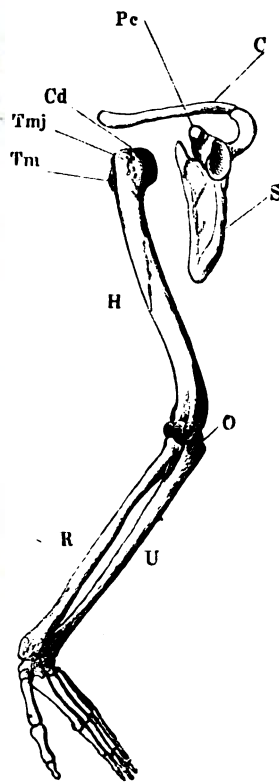


Fig. 2 B.



Fig. 3 B.

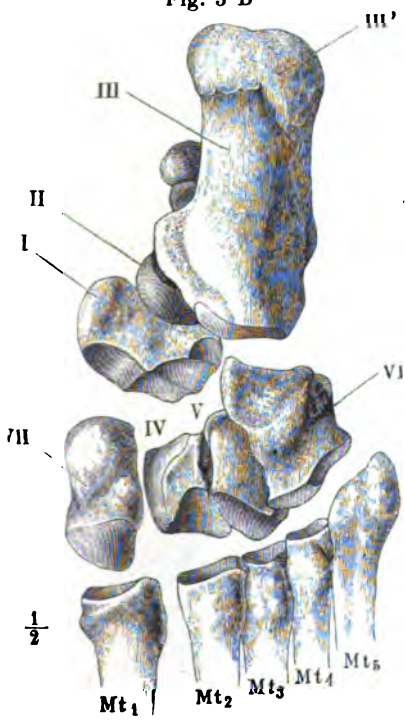


Fig. 3 A.

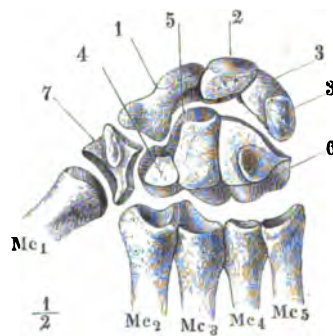
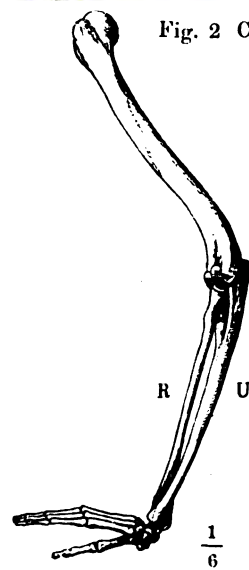


Fig. 2 C



- Fig. 1. Linkes Schulterblatt, hintere Fläche.
 Fig. 2. Linkes Schulterblatt, vordere Fläche.
 Fig. 3. Linkes Schulterblatt, laterale Kante.
 Fig. 4. Sagittaldurchschnitt des Schulterblattes.
 Fig. 5. Thorax mit dem linken Schulterblatt und Schlüsselbein und dem Armbeinkopf, von oben.
 Fig. 6. Rechtes Schlüsselbein, von unten.
 Fig. 7. Sagittalschnitte des Schlüsselbeins, senkrecht auf dessen Längsaxe nach den Linien *x*, *y*, *z* Fig. 6.

•

| | |
|-----------------------|--|
| <i>A</i> | Acromion. |
| <i>Cd</i> | Condylus scapulae. |
| <i>Cgl</i> | Cavitas glenoidae. |
| <i>Cl</i> | Collum scapulae. |
| <i>Faa</i> | Facies articularis acromii. |
| <i>Fisp</i> | Fossa infraspinata. |
| <i>Fs</i> | Fossa subscapularis. |
| <i>Fssp</i> | Fossa supraspinata. |
| <i>I</i> | Incisura scapulae. |
| <i>Pc</i> | Proc. coracoideus. |
| <i>S</i> | Spina scapulae. |
| <i>s, s', s''</i> | Insertion des <i>M. serratus anticus</i> . |
| <i>sc</i> | Insertion des <i>M. subclavius</i> . |
| <i>sm</i> | Oberer medialer Winkel des Schulterblattes. |
| <i>Tct</i> | Tuberositas costalis. |
| <i>Ti</i> | Tuberculum infraglenoidale. |
| <i>Tm</i> | Tuberculum minus des Armbeins. |
| <i>tm</i> | Ursprungsstelle des <i>M. teres min.</i> |
| <i>Tmj</i> | Tuberculum majus des Armbeins. |
| <i>tmj</i> | Ursprungsstelle des <i>M. teres maj.</i> |
| <i>Ts</i> | Tuberculum supraglenoidale. |
| <i>Tsc</i> | Tuberositas scapularis. |
| <i>Vt₁</i> | Obere Fläche des ersten Brustwirbels. |
| * | Kamm des lateralen Randes des Schulterblattes. |
| ** | Rinne desselben. |

Fig. 1.

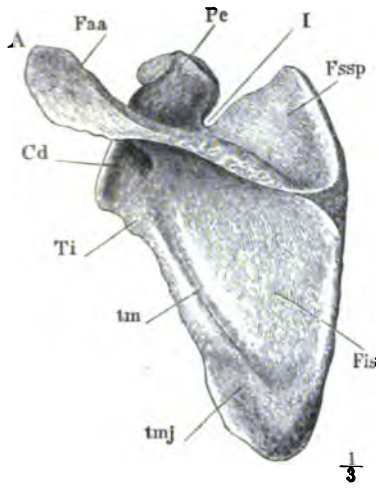


Fig. 2.

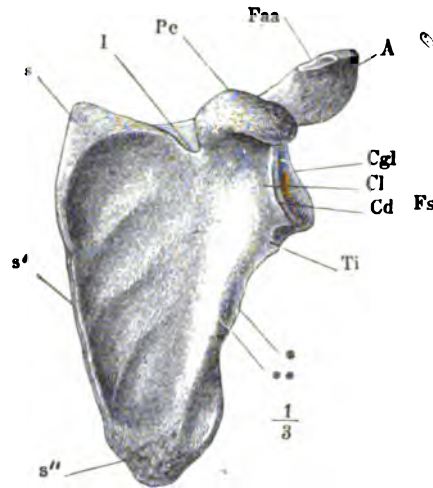


Fig. 4.

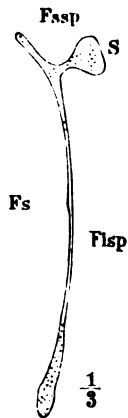


Fig. 3.

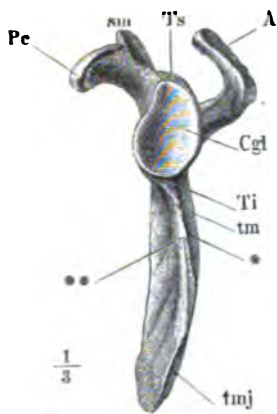


Fig. 5.

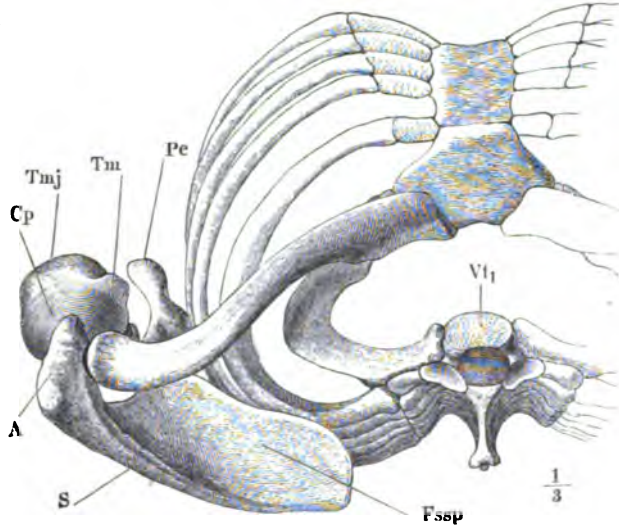


Fig. 6.

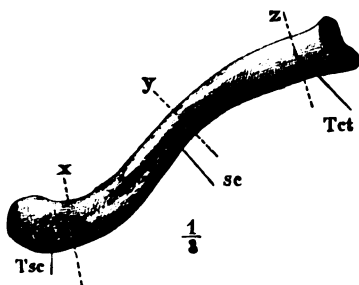
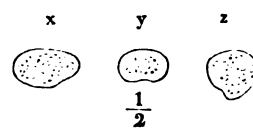


Fig. 7.



- Fig. 1. Armbein, von vorn.
 Fig. 2. Armbein, von hinten.
 Fig. 3. Armbein, Profil.
 Fig. 4. Querschnitte des Armbeins nach den Linien *x*, *y*, *z* Fig. 1.
 Fig. 5. Sagittalschnitt des unteren Endes des Armbeins mit dem oberen Ende der Ulna.

| | |
|-------------|--|
| <i>Aa</i> | Angulus ant. |
| <i>Al</i> | Angulus lateralis. |
| <i>Am</i> | Angulus medialis. |
| <i>c</i> | Insertion des <i>M. coracobrachialis</i> . |
| <i>Cl</i> | Collum humeri. |
| <i>Cp</i> | Caput humeri. |
| <i>Cpl</i> | Capitulum. |
| <i>d</i> | Insertionsstelle des <i>M. deltoideus</i> |
| <i>El</i> | Epicondylus lateralis. |
| <i>Em</i> | Epicondylus medialis. |
| <i>Fam</i> | Fossa ant. minor. |
| <i>Famj</i> | Fossa ant. major. |
| <i>Fo</i> | Fossa olecrani. |
| <i>O</i> | Olecranon. |
| <i>Pcn</i> | Processus coronoideus. |
| <i>pm</i> | Insertionsstelle des <i>M. pectoralis maj.</i> |
| <i>Si</i> | Sulcus intertubercularis. |
| <i>Stm</i> | Spina tuberculi minoris. |
| <i>Stmj</i> | Spina tuberculi majoris. |
| <i>Su</i> | Sulcus ulnaris. |
| <i>Tm</i> | Tuberculum minus. |
| <i>Tmj</i> | Tuberculum majus. |
| <i>tmj</i> | Insertion des <i>M. teres major</i> . |
| <i>Tr</i> | Trochlea. |

Fig. 1.

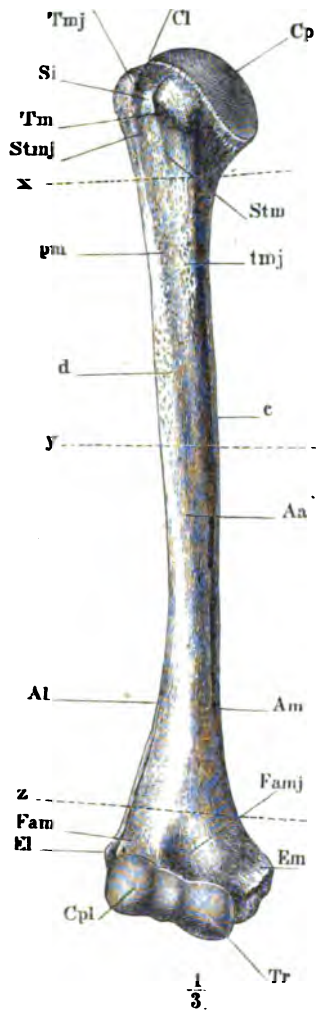


Fig. 2.

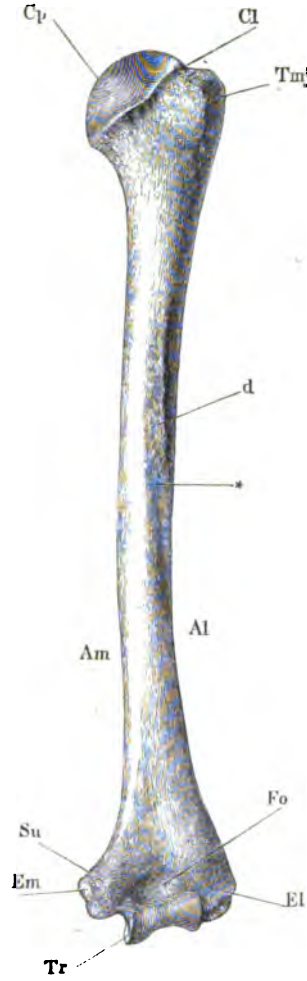


Fig. 3.



Fig. 4.

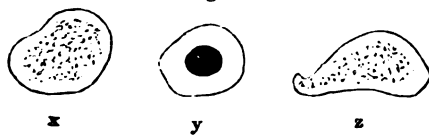
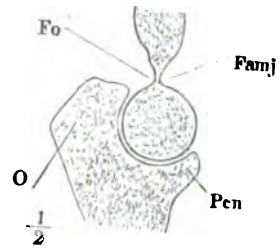


Fig. 5.



- Fig. 1. Ulna und Radius in Verbindung, von vorn.
 Fig. 2. Horizontalschnitt der Unterarmknochen mit dem Lig. interosseum.
 Fig. 3. Ulna und Radius in Verbindung, untere Endfläche.
 Fig. 4. Ulna von der medialen Seite.
 Fig. 5. Ulna von der lateralen Seite.
 Fig. 6. Oberes Ende der Ulna, von hinten.
 Fig. 7. Radius von der Rückseite.
 Fig. 8. Unteres Ende des Radius, mediale Fläche.

-
- aq* Insertion des *M. anconeus quartus*.
Ca Circumferentia articularis radii.
Ca' Circumferentia articularis ulnae.
Ci Crista interossea.
Cl Collum radii.
Cpl Capitulum radii.
Cpl' Capitulum ulnae.
epl Rinne, in welcher die Sehne des *M. extensor poll. long.* gleitet.
et Insertion des *M. extensor triceps*.
Fn Foramen nutritium des Radius.
Fn' Foramen nutritium der Ulna.
Fsi Fossa sigmoidea der Ulna.
Li Ligamentum interosseum.
O Olecranon.
Pcn Processus coronoideus.
Ps Processus styloideus radii.
Ps' Processus styloideus ulnae.
pt Insertion des *M. pronator teres*.
R Radius.
Sl Sinus lunatus radii.
Sl' Sinus lunatus ulnae.
T Tuberositas radii.
T' Tuberositas ulnae.
U Ulna.
ui Ursprung des *M. ulnaris int.*
 * Dreiseitige raue Fläche vor dem *Proc. styloid. radii*, Insertionsfläche der Bänder.

Fig. 1.

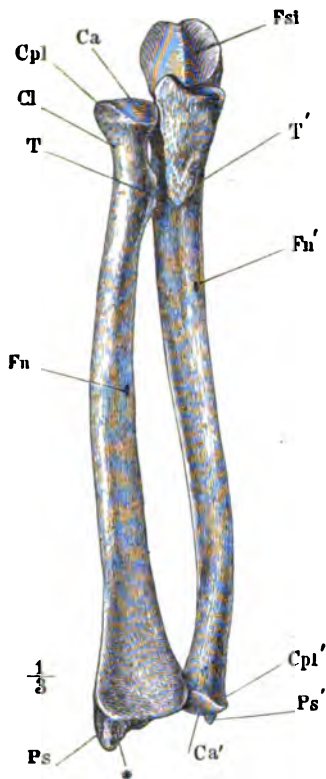


Fig. 4.

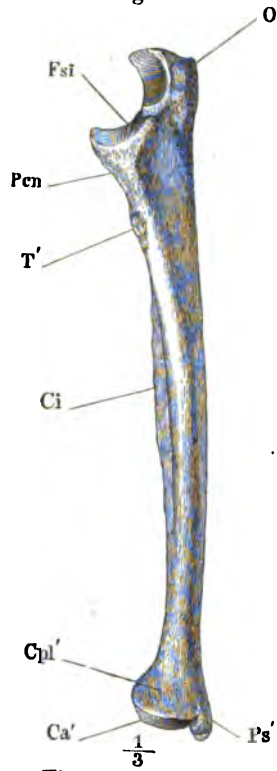


Fig. 5.



Fig. 2.

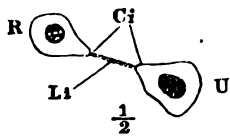


Fig. 7.



Fig. 3.

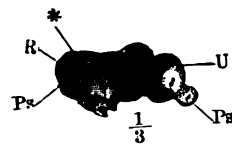


Fig. 6.



Fig. 8.



- Fig. 1. Frontalschnitt der Handwurzelknochen in Verbindung mit den unteren Enden der Unterarmknochen und den oberen Enden der Mittelhandknochen.
- Fig. 2. Handwurzel- und Mittelhandknochen, Rückseite.
- Fig. 3. Handwurzelknochen von der Volarseite, das Erbsenbein von dem Pyramidenbein getrennt und zur Seite gerückt. *s* obere Fläche, *i* untere Fläche, *d* Daumenfläche, *k* Kleinfingerfläche, *h* Hohlhandfläche.
- Fig. 4. Zweite Reihe der Handwurzelknochen, von unten. *M*₁ bis *M*₅ Gelenkflächen für den ersten bis fünften Mittelhandknochen.
- Fig. 5. Sagittalschnitt der Handwurzel durch das Mond- und Kopfbein mit dem Radius und dem dritten Mittelhandknochen, die Vorderfläche nach links.
- Fig. 6. Sagittalschnitt des Erbsen- und Pyramidenbeins.
- Fig. 7. Mittelhandknochen und Phalangen des Daumens, von vorn.
- Fig. 8. Sagittalschnitt des Köpfchens des Mittelhandknochens und der Phalangen des Daumens mit dem Sesambein, die Vorderfläche nach rechts.
- Fig. 9. Mittelhandknochen und Phalangen des Zeigefingers, von vorn.
- Fig. 10. Zweiter Mittelhandknochen, Kleinfingerseite.
- Fig. 11. Dritter Mittelhandknochen, Kleinfingerseite.
- Fig. 12. Horizontalschnitt der Körper der Mittelhandknochen. *x* in der Nähe der oberen Enden, *y* in der Nähe der unteren Enden.
- Fig. 13. Zweiter Finger, Rückenfläche.
- Fig. 14. Zweiter Finger, Profil, die Vorderfläche nach rechts.
- Fig. 15. Horizontalschnitt der Grundphalange des zweiten Fingers.
- Fig. 16. Horizontalschnitt der Mittelphalange des zweiten Fingers.

| | | | |
|---|---|------------|--|
| <i>C</i> | Kopfbein. | <i>S</i> | Kahnbein. |
| <i>H</i> | Hakenbein. | <i>Tr</i> | Trapezbein. |
| <i>L</i> | Mondbein. | <i>Trd</i> | Trapezoidbein. |
| <i>M</i> ₁ bis <i>M</i> ₅ | Mittelhandknochen des ersten bis fünften Fingers. | <i>Ts</i> | Tuberosität des Kahnbeins. |
| <i>Os</i> | Sesambein. | <i>Tt</i> | Tuberosität des Trapezbeins. |
| <i>Pi</i> | Erbsenbein. | <i>U</i> | Ulna. |
| <i>Ps</i> | Proc. styloideus des dritten Mittelhandknochens. | <i>v</i> | Haken des Hakenbeins. |
| <i>Py</i> | Pyramidenbein. | <i>*</i> | Mediale Gelenkfläche der Mittelhandknochen. |
| <i>R</i> | Radius. | <i>**</i> | Grübchen zur Anheftung des Lig. accessorium. |

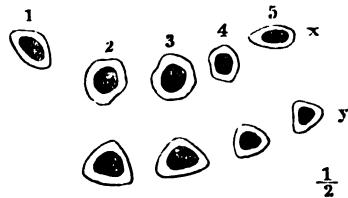
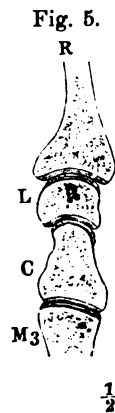
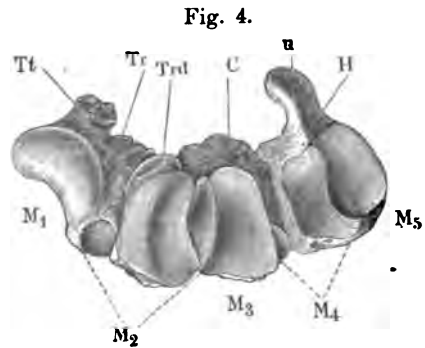
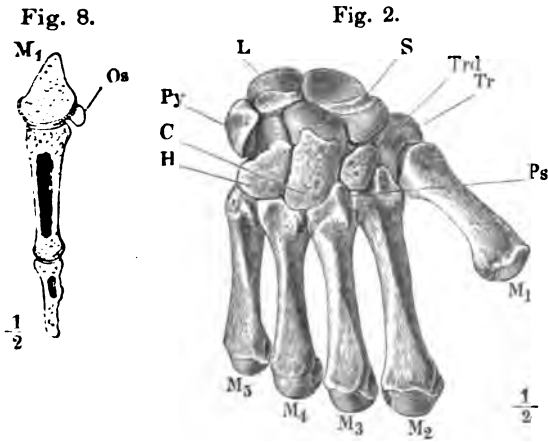
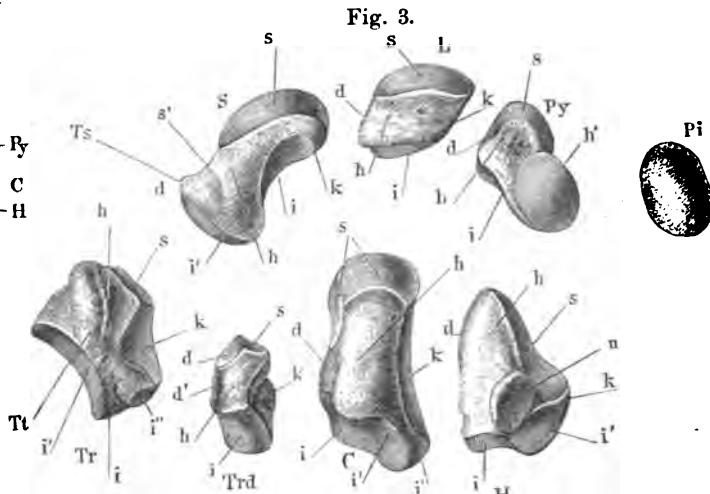
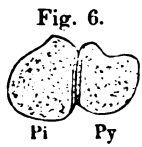
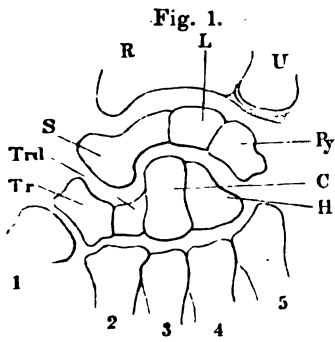


Fig. 1. Aeußere Fläche des rechten (männlichen) Hüftbeins, Seitenansicht, der Rumpf um die verticale Axe ein wenig mit der rechten Seite rückwärts gedreht. Die Buchstaben *A* bis *E* und *a* bis *e* bezeichnen die einander in umgekehrter Ordnung entsprechenden Punkte des vorderen und hinteren Randes: *a* Spina iliaca sup. *A* Tuber ischiad. *b* Incisura iliaca minor. *B* Incisura ischiad. minor. *c* Spina iliaca inf. *C* Spina ischiad. *d* Incisura iliaca maj. *D* Incisura ischiad. major. *e*, *E* entsprechende Ecken des Darm- und Leistenbeins.

Fig. 2. Rechtes Hüftbein, innere Oberfläche.

Fig. 3. Rechtes (weibl.) Hüftbein, von oben.

Fig. 4. Unterer Theil des Hüftbeins eines um die transversale Axe aufwärts und um wenig mit der rechten Seite vorwärts gedrehten Beckens.

Fig. 5. Weibliches Becken, von hinten.

Fig. 6. Durchschnitt eines weiblichen Beckens, parallel der Ebene des Beckeneingangs.

Fig. 7. Medianschnitt des weiblichen Beckens. *so* Horizontale.

| | |
|--|---|
| <i>Ap</i> Arcus pubis. | <i>Sai</i> Spina ant. inf. oss. il. |
| <i>Asi</i> Articulatio sacro-iliaca. | <i>Sas</i> Spina ant. sup. oss. il. |
| <i>Cip</i> Crista iliopectinea. | <i>Si</i> Spina ischiadica. |
| <i>Co</i> Crista obturatoria. | <i>So</i> Sulcus obturatorius. |
| <i>Eip</i> Eminentia iliopectinea. | <i>Sp</i> Synchondrosis pubis. |
| <i>Fa</i> Facies auricularis. | <i>Spi</i> Spina post. inf. oss. il. |
| <i>Fac</i> Fossa acetabuli. | <i>Sps</i> Spina post. sup. oss. il. |
| <i>Fo</i> Foramen obturatorium. | <i>Til</i> Tuberositas iliaca. |
| <i>Ia</i> Incisura acetabuli. | <i>Tis</i> Tuber ischiadicum. |
| <i>Iim</i> Incisura ischiadica maj. | <i>Toi</i> Tuberculum obturat. sup. |
| <i>Isi</i> Incisura sacro-ischiadica. | <i>Tos</i> Tuberculum obturat. inf. |
| <i>Lga</i> Linea glutea ant. | <i>Tp</i> Tuberculum pubis. |
| <i>Lgp</i> Linea glutea post. | <i>Va</i> Bauchwirbel. |
| <i>Li</i> Linea intermedia oss. il. | <i>Vc</i> Steisswirbel. |
| <i>Rii</i> Ramus inf. oss. ischii. | <i>Vs</i> Kreuzwirbel. |
| <i>Rip</i> Ramus inf. oss. pubis. | <i>α</i> Conjugata des Beckeneingangs. |
| <i>Rsi</i> Ramus sup. oss. ischii. | <i>γ</i> Conjugata des Beckenausgangs. |
| <i>Rsp</i> Ramus sup. oss. pub. | <i>z</i> Normalconjugata. |
| <i>s</i> obere Fläche der vorderen Beckenwand. | <i>*</i> Rinne zur Incisura ischiad. minor. |

Hüftknochen. Becken.

47

Fig. 1.

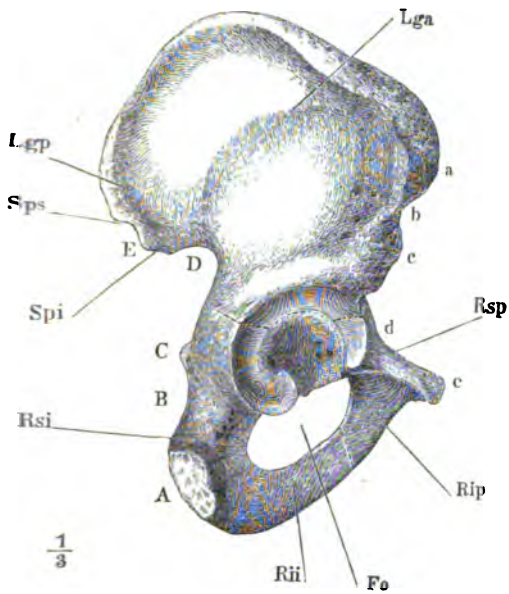


Fig. 2.

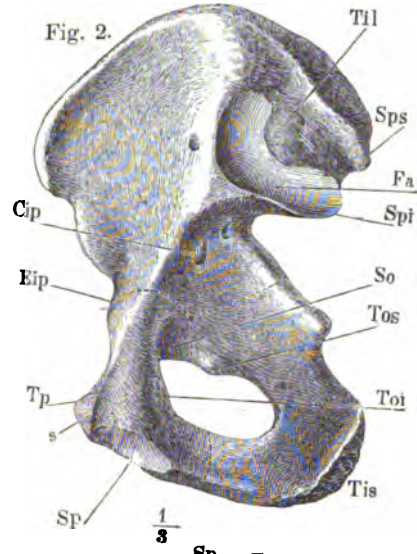


Fig. 3.

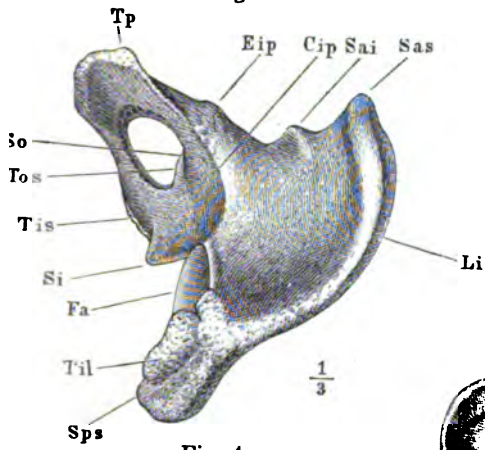


Fig. 6.

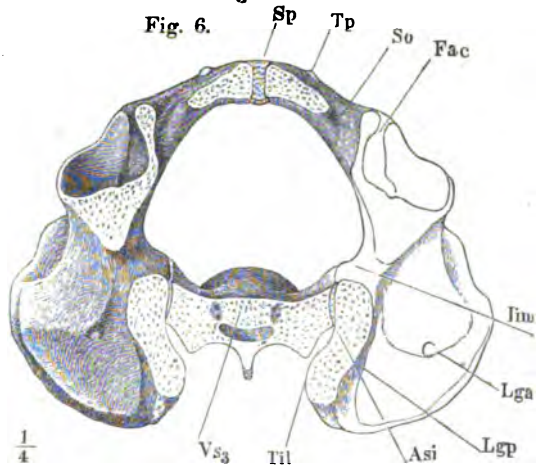


Fig. 4.

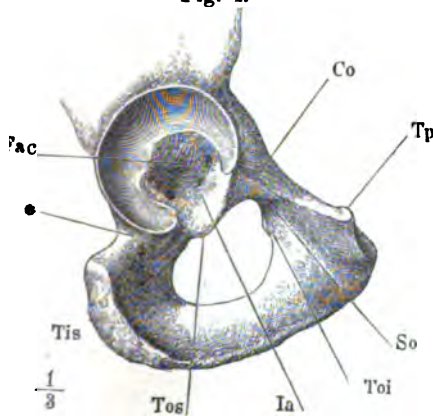


Fig. 5.

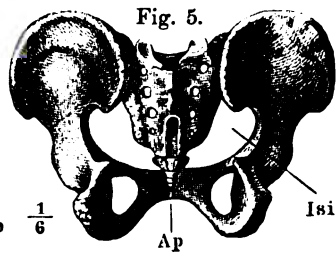
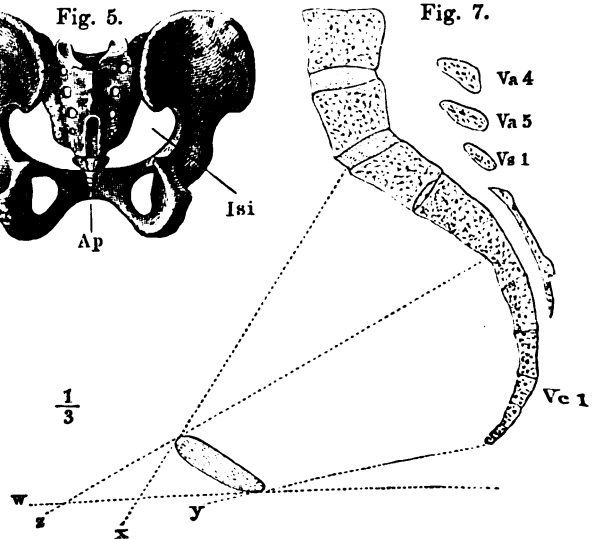
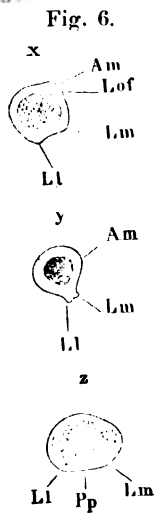
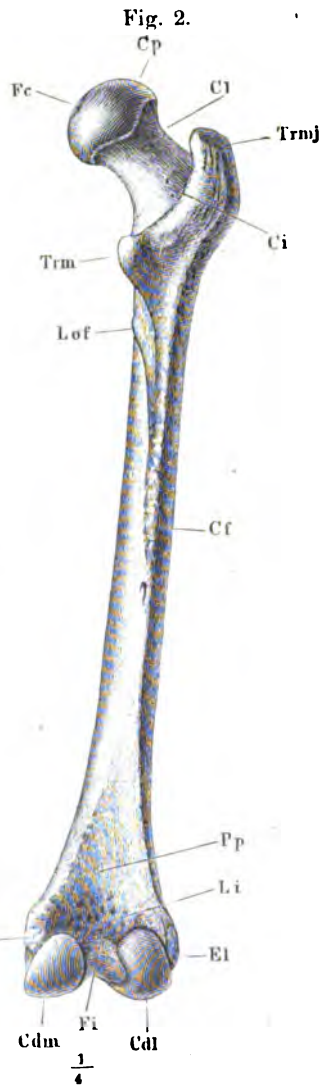
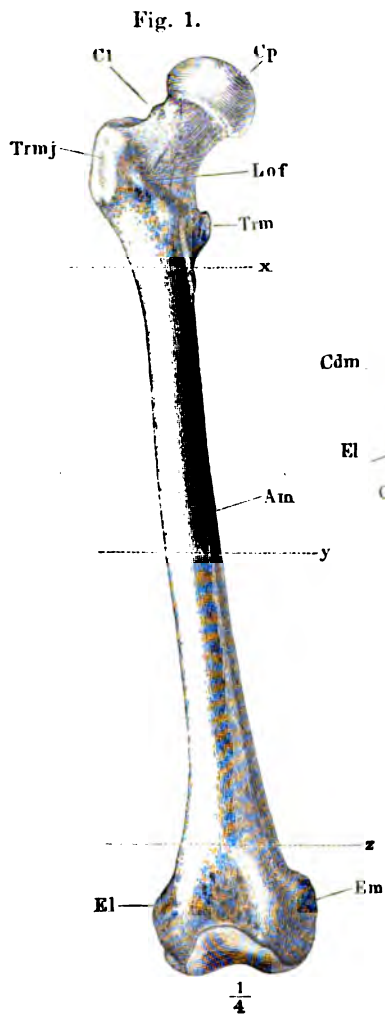
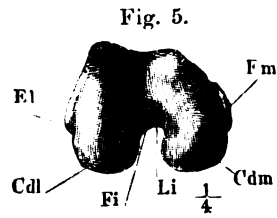
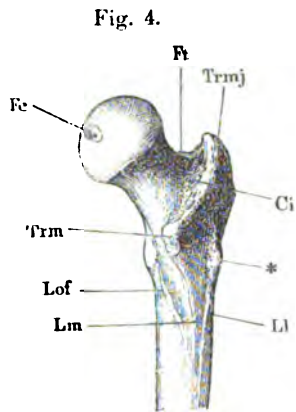


Fig. 7.



- Fig. 1. Schenkelbein, von vorn.
Fig. 2. Schenkelbein, von hinten.
Fig. 3. Schenkelbein, von der lateralen Fläche.
Fig. 4. Oberes Ende des Schenkelbeins von hinten, mit dem lateralen Rande etwas vorwärts um seine Längsaxe gedreht.
Fig. 5. Schenkelbein, von unten.
Fig. 6. Querschnitte des Schenkelbeins nach den Linien *x*, *y*, *z*. Fig. 1.

-
- Am* Angulus medialis.
Cdl Condylus lateralis.
Cdm Condylus medialis.
Cf Crista femoris.
Ci Crista intertrochanterica.
Cl Collum femoris.
Cp Caput femoris.
El Epicondylus lateralis.
Em Epicondylus medialis.
Fc Fossa capitis.
Fi Fossa intercondyloidea.
Ft Fossa trochanterica.
Li Linea intercondyloidea.
Ll Labium laterale.
Lm Labium mediale.
Lof Linea obliqua femoris.
Pp Planum popliteum.
Trm Trochanter minor.
* Trochanter tertius.



- Fig. 1. Tibia und Fibula verbunden, von vorn.
 Fig. 2. Horizontalschnitt d. Unterschenkelknochen nach den Linien *x* u. *y*. Fig. 1.
 Fig. 3. Frontaldurchschnitt der unteren Enden der Unterschenkelknochen mit den Knochen der Fusswurzel.
 Fig. 4. Patella, von vorn.
 Fig. 5. Patella, von hinten.
 Fig. 6. Patella, Sagittaldurchschnitt.
 Fig. 7. Tibia, von hinten.
 Fig. 8. Tibia, von der lateralen Fläche.
 Fig. 9. Obere Endfläche der Tibia.

-
- A* Apex patellae.
a Kante, in welcher die vordere und mediale Fläche (der Tibia u. Fibula) zusammenstoßen.
bf Insertion des *M. biceps femoris*.
Ca Fersenbein.
Ci Crista interossea.
Cpl Capitulum fibulae.
Ei Eminentia intercondyloidea.
Fia Fossa intercondyloidea ant.
Fip Fossa intercondyloidea post.
If Incisura fibularis der Tibia.
Li Lig. interosseum.
Lp Linea poplitea.
Mi Margo infraglenoidalis.
Ml Malleolus lateralis.
Mm Malleolus medialis.
pl Ursprung des *M. peroneus longus*.
s Ursprung des lateralen Kopfs des *M. soleus*.
Sof Superficies articularis fibularis.
Sat Superficies articularis tibialis.
Sml Sulcus malleoli lateralis.
Smm Sulcus malleoli medialis.
Ta Sprungbein.
Tp Tuberositas patellaris.
 * Fläche der Fibula, welche an der Incisura fibularis der Tibia liegt.
 ** Antheil der Fibula an der Pfanne des Knöchelgelenks.

Fig. 1.

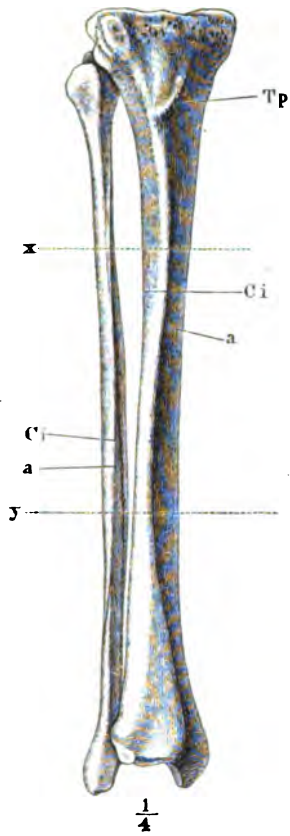


Fig. 4.



Fig. 5.



Fig. 6.



Fig. 9.

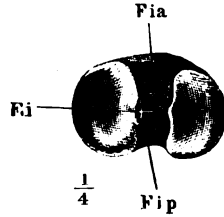


Fig. 10.

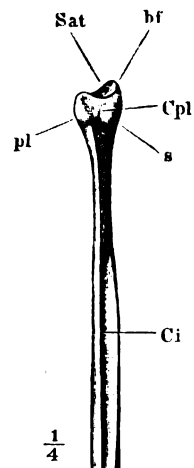


Fig. 7.



Fig. 8.



Fig. 3.

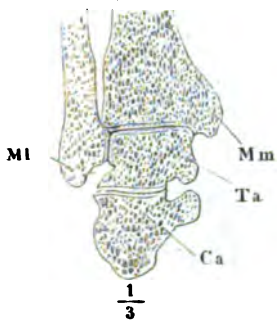
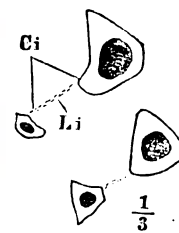


Fig. 2.



- Fig. 1. Knochen des Fusses, von oben.
 Fig. 2. Frontalschnitte des Fuss skelets nach den Linien *w—z*. Fig. 1.
 Fig. 3. Profilansicht des Fuss skelets, von der Grosszehenseite.
 Fig. 4. Profilansicht des Fuss skelets, von der Kleinzehenseite.
 Fig. 5. Knochen des Fusses, von oben, der Länge nach in zwei Abtheilungen zerlegt.
 Fig. 6. Horizontalschnitt der Fusswurzelknochen durch das Sprungbein.
 Fig. 7. Fersen- und Sprungbein, in Verbindung, von vorn.

CI-III Erstes bis drittes Keilbein.

Ca Fersenbein.

Cb Würfelbein.

Ct Canalis tarsi.

M1-5 Erster bis fünfter Mittelfussknochen.

N Schiffbein.

Os Sesambein.

P1-5 Erste bis fünfte Grundphalange.

Pl Processus lateralis des Sprungbeins.

Sfhl Sulcus *M. flexoris hallucis longi*.

Spl Sulcus *M. peronei longi*.

St Sinus tarsi.

Su Sustentaculum tali.

Ta Sprungbein.

Tn Tuberositas ossis navicularis.

****** Theil des Sprungbeinkopfs, welcher auf dem Lig. tibio-calcaneo-naviculare ruht.

Fig. 1.

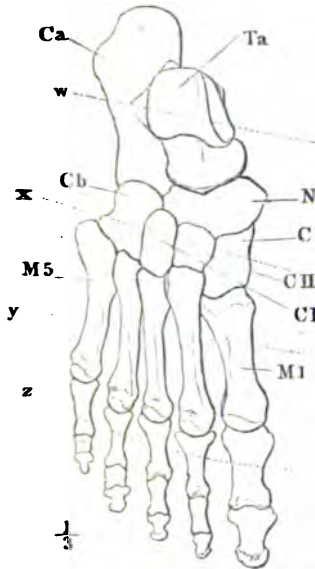


Fig. 2.

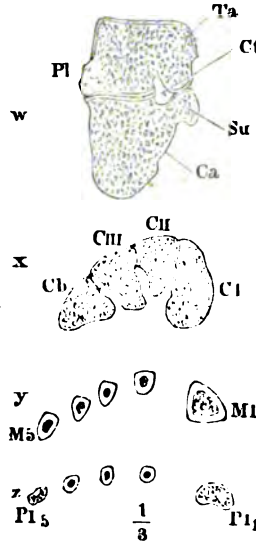


Fig. 5.

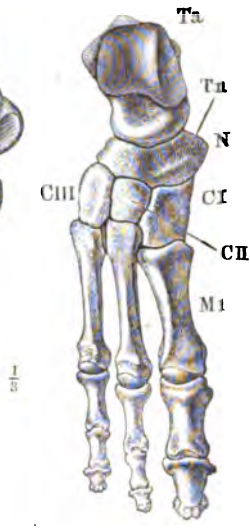


Fig. 3.

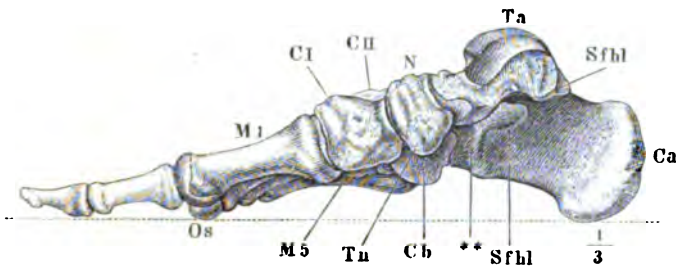


Fig. 6.

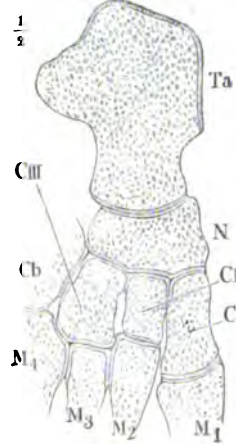


Fig. 4.

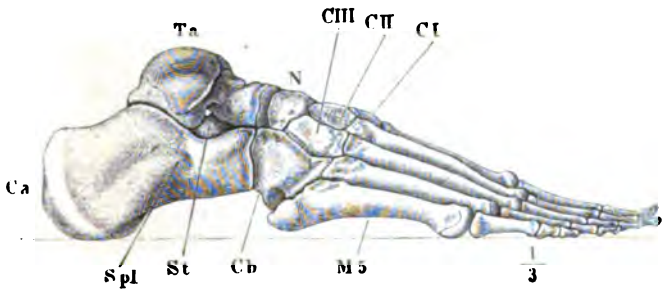
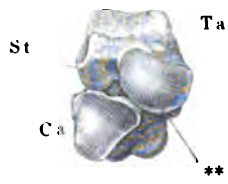


Fig. 7.



- Fig. 1. Fersenbein, von der oberen Fläche.
 Fig. 2. Fersenbein, von der Grosszehenseite.
 Fig. 3. Sprungbein, von unten.
 Fig. 4. Sprungbein, von hinten.
 Fig. 5. Sprungbein, von vorn, um die horizontale Axe wenig aufwärts gedreht.
 Fig. 6. Die drei Keilbeine, von vorn.
 Fig. 7. Erstes Keilbein, von der Kleinzehenseite.
 Fig. 8. Zweites Keilbein, von der Kleinzehenseite.
 Fig. 9. Drittes Keilbein, von der Kleinzehenseite.
 Fig. 10. Würfelbein, von vorn.
 Fig. 11. Würfelbein, von hinten.
 Fig. 12. Würfelbein, von der Grosszehenseite.

In allen Figuren bedeutet *r* die Rückenfläche, *d* die Grosszehen-, *k* die Kleinzehefläche, *a* die vordere und *p* die hintere Fläche.

CI-III Erstes bis drittes Keilbein.

Fal Facies artic. lateralis.

Fma Facies artic. medialis ant.

Fmp Facies artic. medialis post.

Pl Processus lateralis des Sprungbeins.

Sfhl Sulcus *M. flexoris hallucis longi*.

Si Sulcus interarticularis calcanei.

Sia Sulcus interarticularis accessor.

Sp Sulcus *m. peronei longi*.

Su Sustentaculum tali.

Tc Tuberositas ossis cuboidei.

* Stumpfer Höcker d. unt. Fläche des Fersenbeins.

** Theil des Sprungbeinkopfs, welcher auf dem Lig.
tibio-calcaneo-naviculare ruht.

Fig. 1.

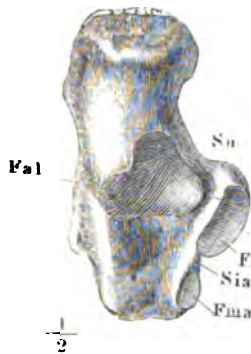


Fig. 3.

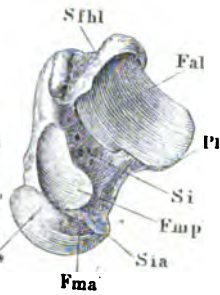


Fig. 2.

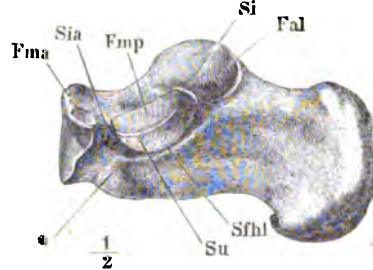


Fig. 4.

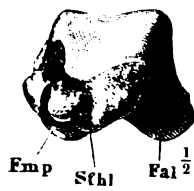


Fig. 5.

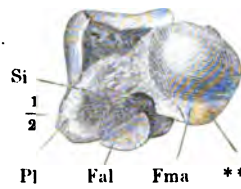


Fig. 6.

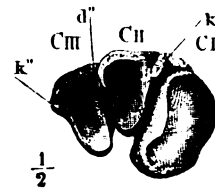


Fig. 7.

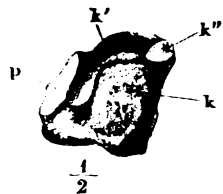


Fig. 8.

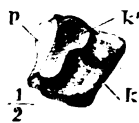


Fig. 9.

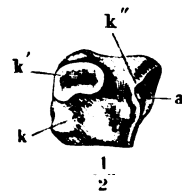


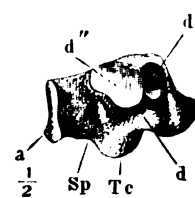
Fig. 10.



Fig. 11.



Fig. 12.



36 **Tafel XXXIV. Knochen des Fusses, einzeln.**

- Fig. 1. **Erster Mittelfussknochen mit den Sesambeinen, von unten.**
 Fig. 2. **Zweiter bis fünfter Mittelfussknochen, von der Grosszehenseite.**
 Fig. 3. **Frontalschnitte der Mittelfussknochen; x in der Nähe der hinteren Endflächen, y in der Mitte des Körpers.**
 Fig. 4. **Frontalschnitt des Köpfchens des ersten Mittelfussknochens mit den Sesambeinen.**
 Fig. 5. **Phalangen der zweiten Zehe, von unten.**
 Fig. 6. **Frontalschnitt der Grundphalange (PI) und Mittelphalange (PII) der zweiten Zehe.**

In allen Figuren bedeutet r die Rückenfläche, d die Grosszehen-, k die Kleinzehenfläche, a die vordere und p die hintere Fläche.

M 2-5 Zweiter bis fünfter Mittelfussknochen.

Os Sesambein.

T Tuberculum.

Tq Tuberositas ossis metatarsi quinti.

Fig. 1.



Fig. 2.

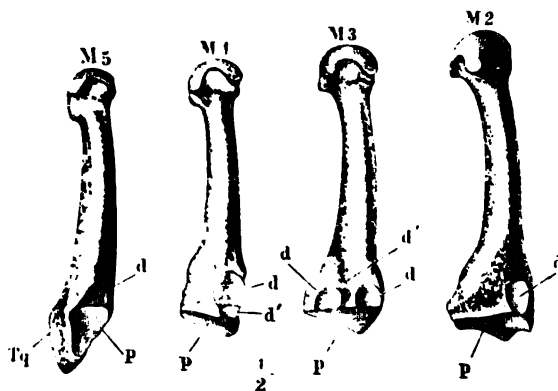


Fig. 3.

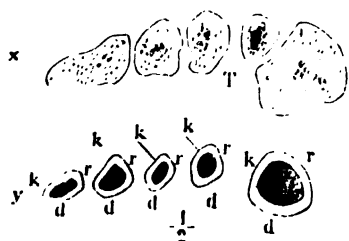


Fig. 4.

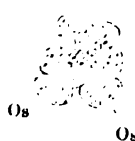
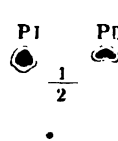


Fig. 5.



Fig. 6.



II.

SYNDESMOLOGISCHER THEIL.

1

Tafel XXXV. Synchondrosen u. Gelenke d. Wirbelsäule. 59

Fig. 1. Horizontalschnitt der Synchondrose des siebenten u. achten Brustwirbels. — Fig. 2. Medianschnitt der Körper des siebenten und achten Brustwirbels mit der Synchondrose. — Fig. 3. Horizontalschnitt des Faserrings einer Wirbelsynchondrose, mikroskopisch betrachtet, bei auffallendem Licht. — Fig. 4. Verticalschnitt einer Wirbelsynchondrose, ebenso; 1 äussere, 2 innere Abtheilung des Faserrings. — Fig. 5. Sagittalschnitt durch sämtliche Wirbelgelenke.

- cra* Lig. commune vertebrale ant.
cvp Lig. commune vertebrale post.
O Hinterhauptsbein.
Va Bauchwirbel.
Vc Halswirbel.
Vt Brustwirbel.
 * Lockeres, den Raum zwischen dem Lig. comm. vertebr. ant. u. der Beinbaut erfüllendes Bindegewebe.
 ** Hyalinischer Knorpelüberzug des Wirbelkörpers.

Fig. 3.

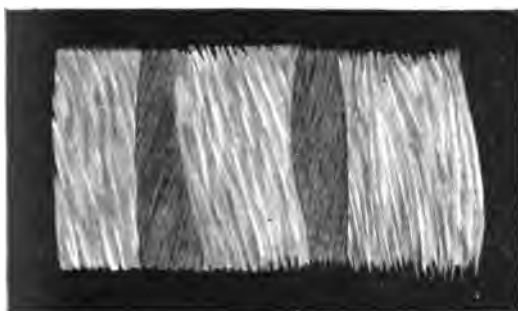


Fig. 4.

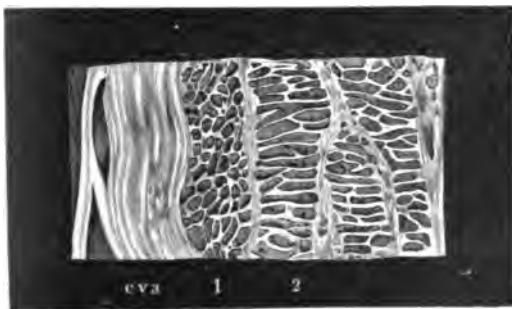


Fig. 2.

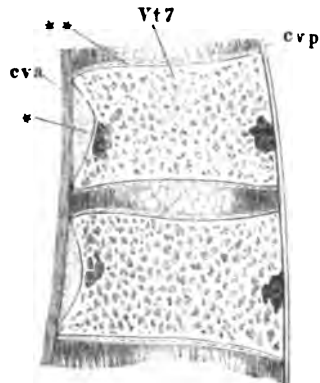


Fig. 1.

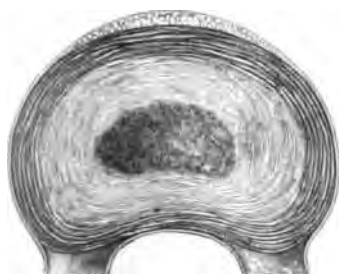
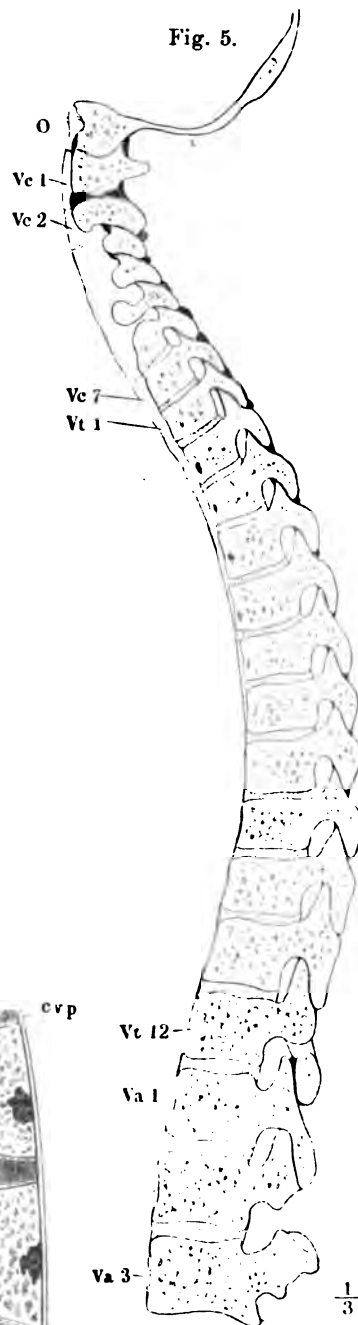


Fig. 5.



- Fig. 1. Horizontalschnitt der Wirbelsäule durch die Synchronrose des fünften und sechsten Brustwirbels.
- Fig. 2. Horizontalschnitt durch das Gelenk des letzten Brust- und ersten Bauchwirbels.
- Fig. 3. Horizontalschnitt durch das Gelenk des zweiten und dritten Bauchwirbels.
- Fig. 4. Horizontalschnitt der Wirbelsäule und Rippen durch die Synchronrose zwischen dem sechsten und siebenten Brustwirbel.
- Fig. 5. Verticalschnitt des Gelenks des Köpfchens der siebenten Rippe mit den Wirbelkörpern.
- Fig. 6. Halswirbel mit den Bändern, von vorn.
- Fig. 7. Brustwirbel und mediale Enden der Rippen mit den Bändern, fast Profil.

| | |
|------------|--|
| <i>Act</i> | Articulatio costo-transversalis. |
| <i>C</i> | Rippe. |
| <i>cci</i> | Lig. colli costae inf. |
| <i>ccs</i> | Lig. colli costae sup. |
| <i>ci</i> | Lig. capituli costae interarticulare. |
| <i>c/a</i> | Lig. costo-transversarium ant. |
| <i>cva</i> | Lig. commune vertebr. ant. |
| <i>cvr</i> | Lig. costo-vertebrale radiat. |
| <i>ic</i> | Lig. intercrurale. |
| <i>is</i> | Lig. interspinale. |
| <i>iv</i> | Lig. intervertebrale. |
| <i>Pai</i> | Proc. articularis inf. |
| <i>Pas</i> | Proc. articularis sup. |
| <i>Ps</i> | Proc. spinosus. |
| <i>Pt</i> | Proc. transversus. |
| <i>ss</i> | Lig. supraspinale. |
| <i>tci</i> | Lig. tuberculi costae inf. |
| <i>Va</i> | Bauchwirbel. |
| <i>Vt</i> | Brustwirbel. |
| <i>1</i> | Cutis. |
| <i>2</i> | Fetthaut. |
| <i>**</i> | Hyalinischer Knorpelüberzug des Wirbelkörpers. |

Fig. 1.

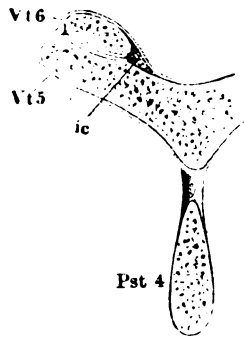


Fig. 3.

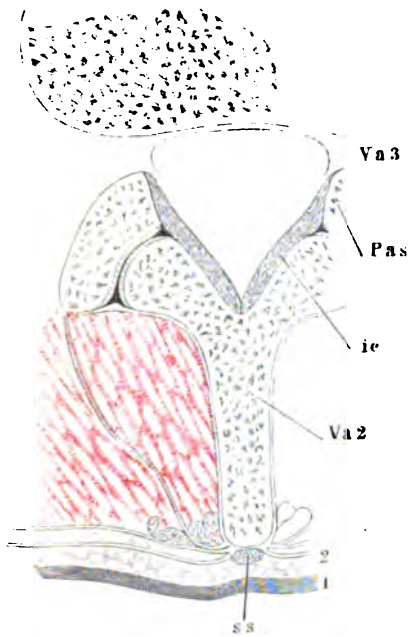


Fig. 5.



Fig. 6.

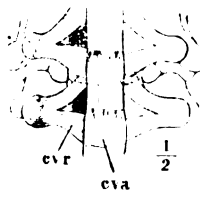


Fig. 4.

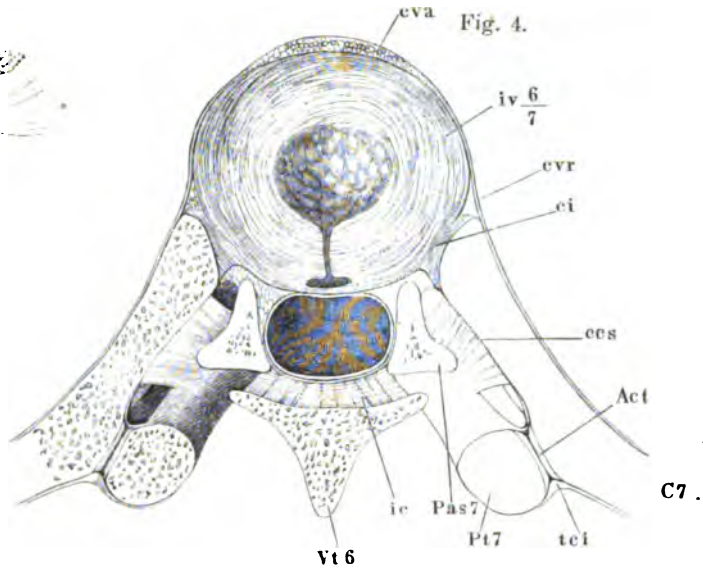


Fig. 2.

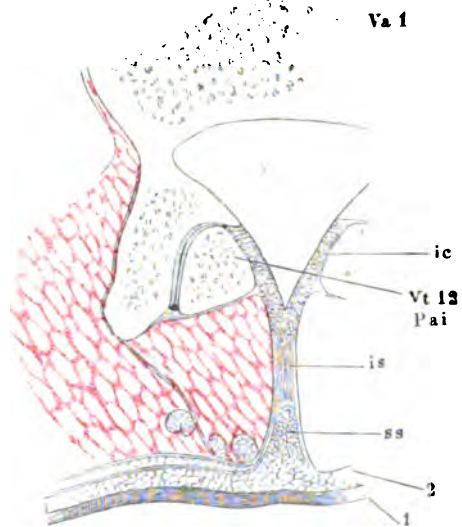
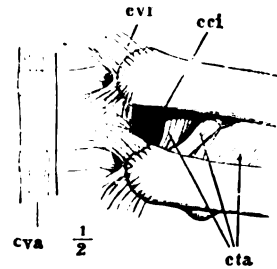


Fig. 7.



- Fig. 1. Brustwirbel mit der Rippe von der linken Seite um die transversale *Axe* aufwärts gedreht.
- Fig. 2. Brustwirbel und Rippe mit den Bändern, von hinten.
- Fig. 3. Bänder der Vorderseite der unteren Brust- und oberen Bauchwirbel.
- Fig. 4. Körper einiger Brustwirbel, von hinten; *Lig. comm. vertebr. post.*
- Fig. 5. Bogen einiger Halswirbel, von vorn, mit den *Ligg. intercruralia*.
- Fig. 6. Bogen einiger Brustwirbel, von vorn, mit den *Ligg. intercruralia*.
- Fig. 7. Horizontalschnitt des Halses in der Gegend des sechsten Halswirbels.
- Fig. 8. Halswirbel und Hinterhauptsbein mit dem *Lig. nuchae*, Profil.
- Fig. 9. Unterer Theil des Kreuzbeins und Steissbein mit den Bändern, von hinten.

| | |
|-------------|---|
| <i>C</i> | Rippe. |
| <i>cci</i> | <i>Lig. colli costae inf.</i> |
| <i>ctp</i> | <i>Lig. costo-transversarium post.</i> |
| <i>cva</i> | <i>Lig. commune vertebr. ant.</i> |
| <i>cvac</i> | <i>Lig. costo-vertebr. accessorium.</i> |
| <i>cvp</i> | <i>Lig. commune vertebr. post.</i> |
| <i>cvr</i> | <i>Lig. costo-vertebr. radiat.</i> |
| <i>cvr'</i> | Accessorisches Fascikel desselben. |
| <i>Fci</i> | Fossa costalis inf. |
| <i>Ip</i> | <i>M. iliopsoas.</i> |
| <i>lc</i> | <i>Lig. lumbocostale.</i> |
| <i>n</i> | <i>Lig. nuchae.</i> |
| <i>O</i> | Hinterhauptsbein. |
| <i>Pas</i> | <i>Proc. articularis sup.</i> |
| <i>Ps</i> | <i>Proc. spinosus.</i> |
| <i>Pt</i> | <i>Proc. transversus.</i> |
| <i>sa</i> | <i>Lig. sacrococcygeum articulare.</i> |
| <i>sl</i> | <i>Lig. sacrococcygeum laterale.</i> |
| <i>spp</i> | <i>Lig. sacrococcygeum posticum prof.</i> |
| <i>sps</i> | <i>Lig. sacrococcygeum posticum superficiale.</i> |
| <i>tci</i> | <i>Lig. tuberculi costae inf.</i> |
| <i>tcs</i> | <i>Lig. tuberculi costae sup.</i> |
| <i>tv</i> | <i>Lig. tuberositatis vertebr.</i> |
| <i>Va</i> | Bauchwirbel. |
| <i>Vc</i> | Halswirbel. |
| <i>Vt</i> | Brustwirbel. |
| † | Schnittflächen, wodurch die Körper und Bogen der Wirbel getrennt wurden. |

Bänder d. Wirbelsäule u. d. hintern Enden d. Rippen. 63

Fig. 3.

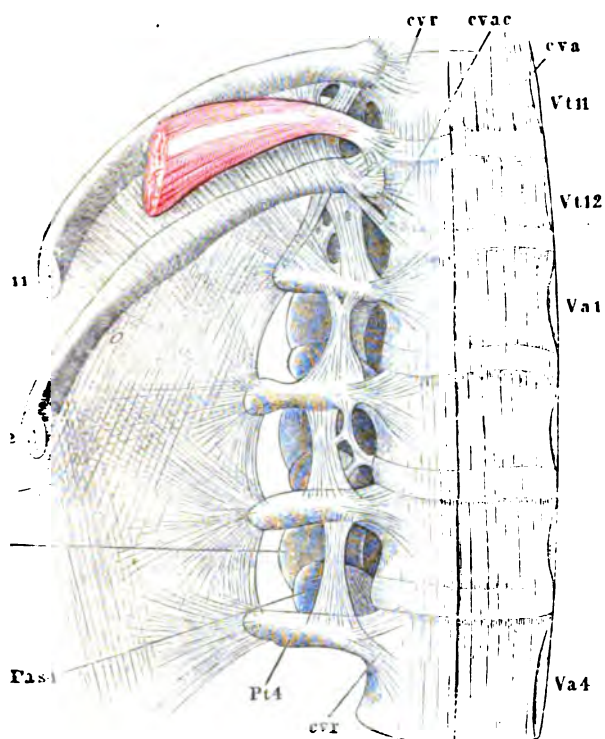


Fig. 7.



Fig. 1.

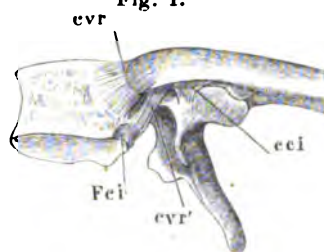


Fig. 5.



Fig. 8.

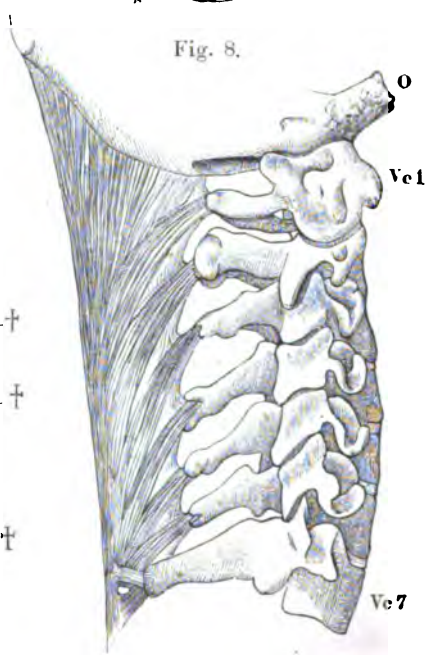


Fig. 2.

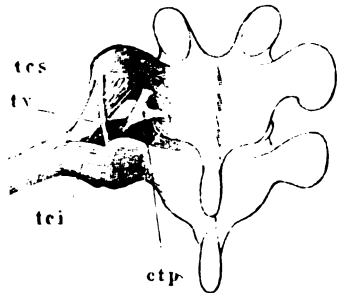


Fig. 4.

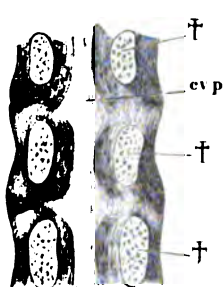


Fig. 9.

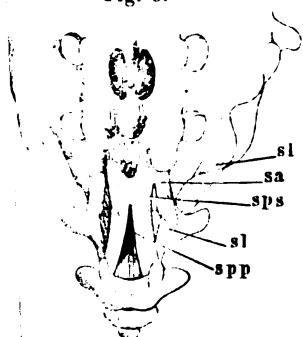
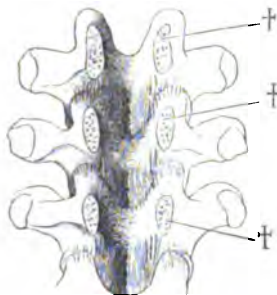


Fig. 6.



- Fig. 1. Medianschnitt der vorderen Wand der Wirbelhöhle durch den Körper des Hinterhauptsbeins und die oberen Halswirbel.
- Fig. 2. Ansicht der hinteren Fläche der vorderen Wand der Wirbelhöhle in der Gegend des Hinterhauptsbeins und der Drehwirbel. Die Schuppe des Hinterhaupts und die Wirbelbogen hinter den Gelenken abgesägt. Die Kapsel des Hinterhaupts- und Drehwirbelgelenks von hinten geöffnet; die letztere bis an den Ursprung vom Knochen weggeschnitten.
- Fig. 3. Vordere Wand des oberen Theils der Wirbelhöhle, von hinten gesehen. Die hintere Wand vermittelt eines durch das Hinterhaupts- und Drehwirbelgelenk geführten Frontalschnitts abgetrennt.
- Fig. 4. Horizontalschnitt des Atlas mit dem Zahn.
- Fig. 5. Horizontalschnitt des Hinterhaupts- und Zahngelenks.

| | |
|------------|--|
| <i>Aae</i> | Articulatio atlanto-epistrophica. |
| <i>Aao</i> | Articulatio atlanto-odontoidea. |
| <i>ad</i> | Lig. alare dentis. |
| <i>Aoa</i> | Articulatio occipito-atlantica. |
| <i>cri</i> | Crus inf. des Lig. cruciat. epistrophei. |
| <i>crs</i> | Crus sup. des Lig. cruciat. epistrophei. |
| <i>cra</i> | Lig. comm. vertebr. ant. |
| <i>cop</i> | Lig. comm. vertebr. post. |
| <i>D</i> | Zahn des Epistropheus (Durchschnitt). |
| <i>dm</i> | Dura mater. |
| <i>le</i> | Lig. latum epistrophei. |
| <i>O</i> | Hinterhauptsbein. |
| <i>oa</i> | Lig. obturator. anticum. |
| <i>Pc</i> | Proc. condyloideus des Hinterhauptsbeins. |
| <i>sd</i> | Lig. suspensorium dentis. |
| <i>t</i> | Lig. transversum atlantis. |
| <i>Vc</i> | Halswirbel. |
| 1 | Schleimbeutel des Lig. cruciat. |
| 2 | Hintere, vom Schleimbeutel bekleidete Fläche des Zahns. |
| * | Lockerer Bindegewebe vor dem Tuberc. atlant. |
| ** | Medianes Septum der Mm. recti capitis antt. |
| *** | Medianes Fascikel vom Lig. alare dentis zum Rand des Hinterhauptslochs. |
| † | Durchschnittsfläche der Wirbelbogen. |
| †† | Schnitttrand des Lig. lat. epistrophei, von welchem rechts ein Theil erhalten ist. |

Bänder der Drehwirbel und des Hinterhauptsbeins. 65

Fig. 2.

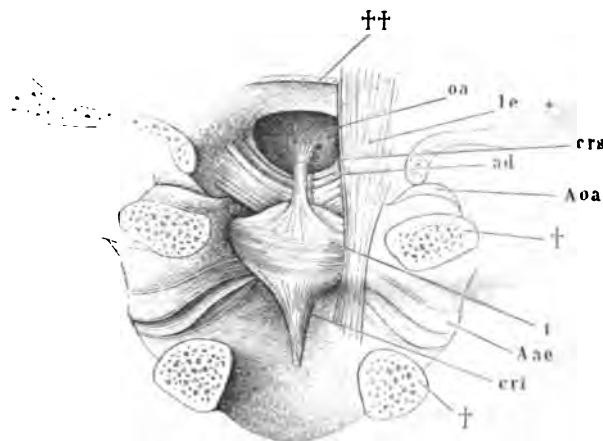


Fig. 1.

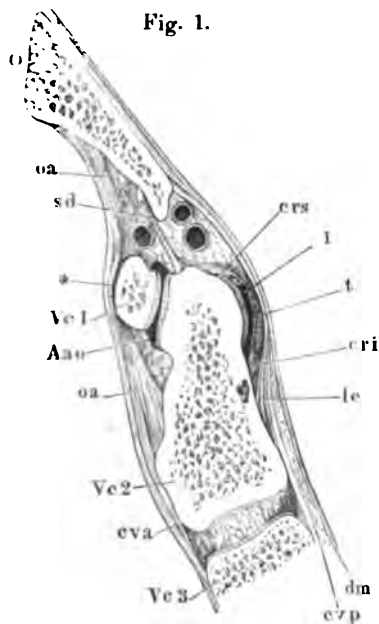


Fig. 3.

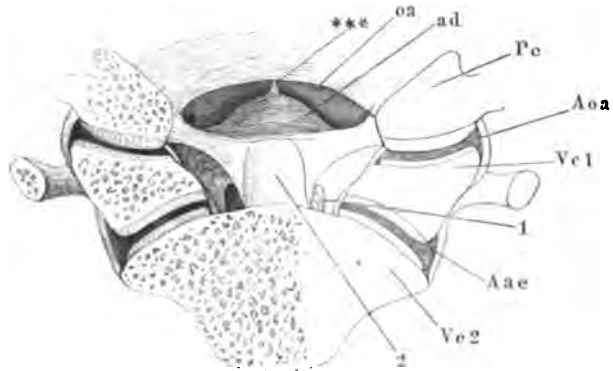


Fig. 4.

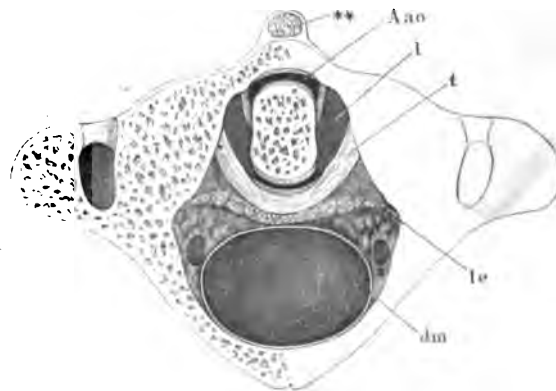


Fig. 5.

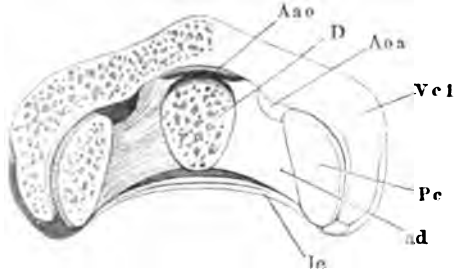
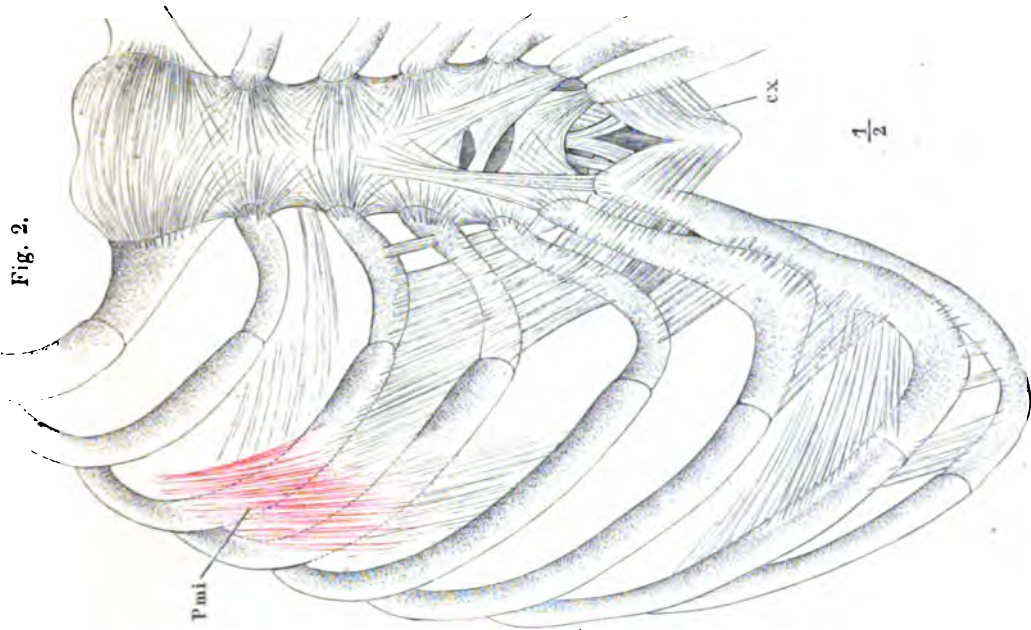
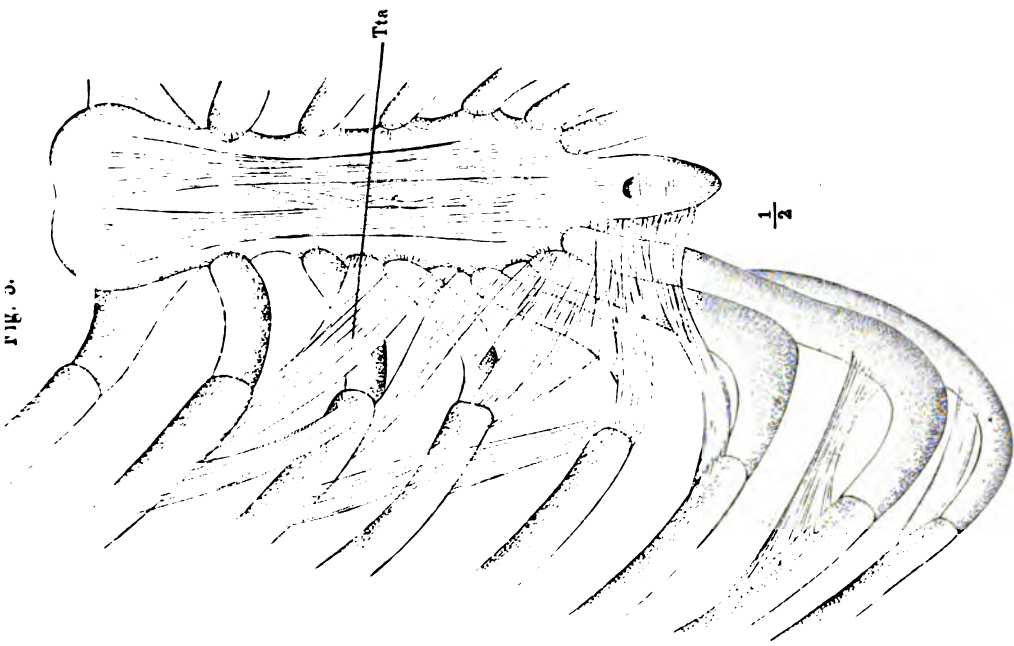


Fig. 1. Frontaldurchschnitt des Brustbeins und der Rippengelenke.

Fig. 2. Brustbein und Rippen mit den Ligg. sternocostalia, intercostalia extt. und costoxiphoidea.

Fig. 3. Brustbein und Rippen, von hinten. Ligg. intercostalia intt.

C Rippe.
cx Lig. costoxiphoideum.
Pmi M. pectoralis minor.
Tta M. transversus thoracis ant.



- Fig. 1. Linkes Kiefergelenk, von der lateralen Seite.
 Fig. 2. Sagittaldurchschnitt des linken Kiefergelenks, von der lateralen Seite, geschlossen. † Durchschnitt des Proc. coronoides.
 Fig. 3. Sagittaldurchschnitt des linken Kiefergelenks, von der lateralen Seite, Unterkiefer und Bandscheibe abwärts gezogen.
 Fig. 4. Sagittaldurchschnitt des linken Kiefergelenks, von der lateralen Seite, bei geöffnetem Munde.
 Fig. 5. Linkes Kiefergelenk, von der medialen Seite

| | |
|------------|--|
| <i>al</i> | Lig. accessorium laterale. |
| <i>am</i> | Lig. accessorium mediale. |
| <i>Cca</i> | Can. caroticus, durchschnitten. |
| <i>Frm</i> | Foramen mandibulare. |
| <i>Ll</i> | Laterale Lamelle des Gaumenflügels. |
| <i>Mae</i> | Knorpel des äusseren Gehörgangs. |
| <i>Nai</i> | N. alveolaris inf. |
| <i>Nl</i> | N. lingualis, abgeschnitten. |
| <i>Pe</i> | M. pterygoid. ext. |
| <i>Pe1</i> | M. pterygoid. ext., oberer Kopf. |
| <i>Pe2</i> | M. pterygoid. ext., unterer Kopf. |
| <i>Pi</i> | M. pterygoid. int. (an der Insertion durchschnitten und umgelegt). |
| <i>T</i> | M. temporalis. |
| <i>Ta</i> | Tuber articulare. |

Fig. 1.



Fig. 2.

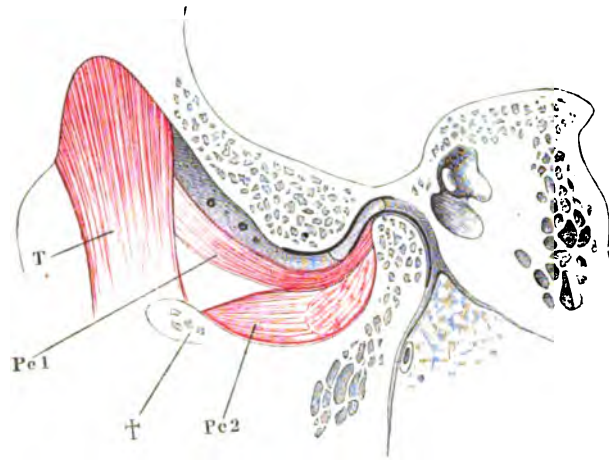


Fig. 3.

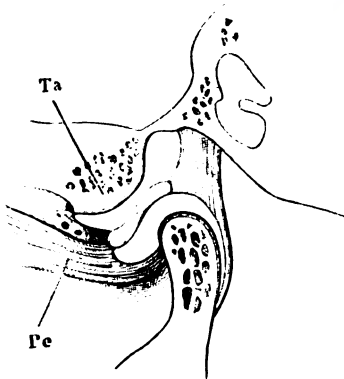


Fig. 5.

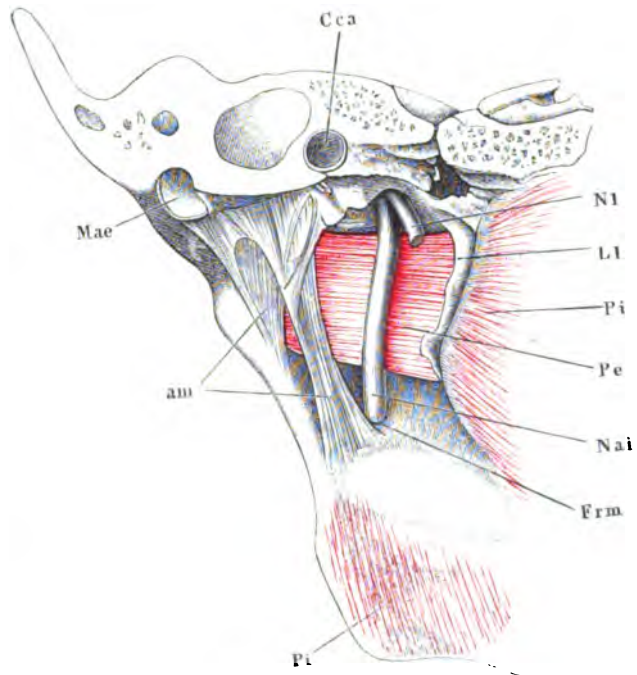
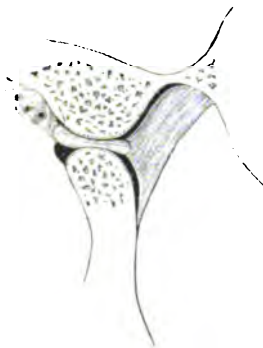


Fig. 4.



- Fig. 1. Schulterblatt, hintere Fläche, das Acromion abgesägt.
 Fig. 2. Frontaldurchschnitt des Sternoclaviculargelenks.
 Fig. 3. *A. B. C.* Frontaldurchschnitte verschiedener Acromialgelenke.
 Fig. 4. Sternoclaviculargelenk mit den Haftbändern, von vorn, das Schlüsselbein emporgehoben.
 Fig. 5. Schulterblatt, Schlüsselbein und Armbein in Verbindung, von vorn.
 Fig. 6. Schultergelenk, von vorn geöffnet, der Armbeinkopf herabgezogen.
 * Pfaune des Schulterblatts. ** Armbeinkopf.

| | |
|------------------------|--|
| <i>Aac</i> | Articulatio acromio - clavicularis. |
| <i>ac</i> | Lig. acromio - coracoideum. |
| <i>Al</i> | Ursprung des <i>M. anconeus longus</i> . |
| <i>B</i> | Sehne des langen Kopfs des <i>M. biceps brachii</i> . |
| <i>Bb</i> | Kurzer Kopf des <i>M. biceps brachii</i> . |
| <i>C</i> | Rippe. |
| <i>cca</i> | Lig. coraco - claviculare ant. |
| <i>ccl</i> | Lig. costo-claviculare. |
| <i>ccp</i> | Lig. coraco - claviculare post. |
| <i>ch</i> | Lig. coraco-humerale. |
| <i>icl</i> | Lig. interclaviculare. |
| <i>Pm¹</i> | Schlüsselbeinursprung des <i>M. pect. maj.</i> |
| <i>Pm²</i> | Brustbeinursprung des <i>M. pect. maj.</i> |
| <i>Pmi</i> | <i>M. pectoralis minor</i> . |
| <i>Sc</i> | <i>M. subclavius</i> . |
| <i>Scm¹</i> | Schlüsselbeinursprung des <i>M. sternocleidomastoideus</i> . |
| <i>Scm²</i> | Brustbeinursprung des <i>M. sternocleidomastoideus</i> . |
| <i>Sc</i> | Sehne des <i>M. subscapularis</i> . |
| <i>ti</i> | Lig. transv. scapulae propr. inferius. |
| <i>ts</i> | Lig. transv. scapulae propr. superius. |
| <i>l</i> | Bandscheibe des Sternoclaviculargelenks. |

Bänder d. Gürtels d. obern Extremität. Schultergelenk. 71

Fig. 1.

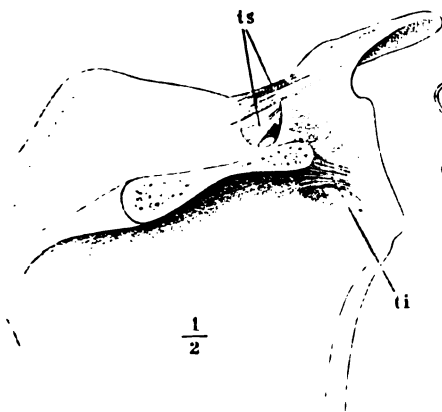


Fig. 2.

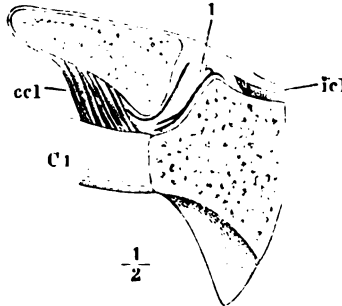


Fig. 3.

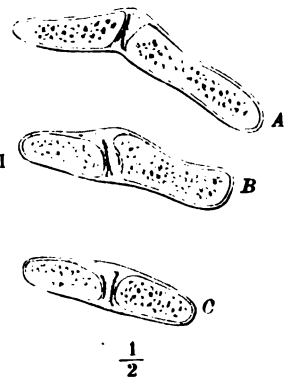


Fig. 6.

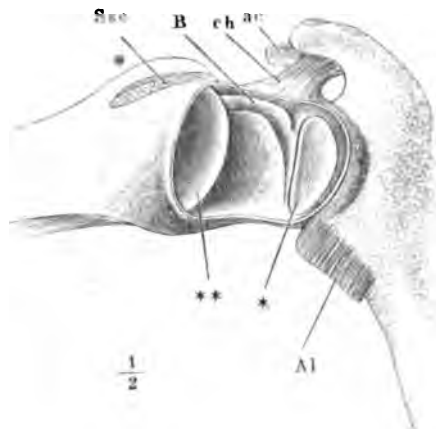


Fig. 4.

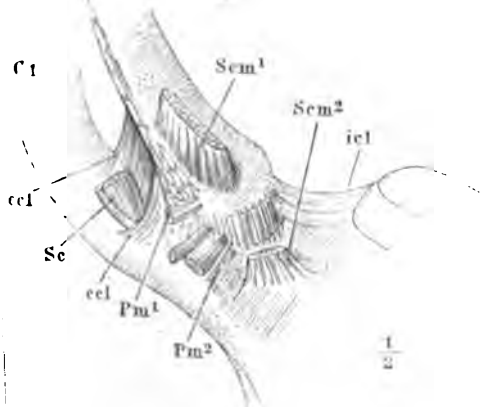
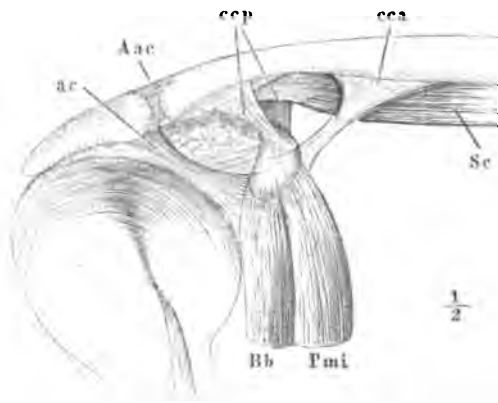


Fig. 5.



- Fig. 1. Horizontalschnitt des Schultergelenks durch die Mitte der Höhe der Pfanne, in ruhiger Haltung des Arms.
- Fig. 2. Horizontalschnitt des Schultergelenks durch die Mitte der Höhe der Pfanne, bei möglichster Rotation nach hinten.
- Fig. 3. Frontalschnitt des Schultergelenks durch das Tuberc. minus des Armbeins, bei ruhendem Arm. * Art. circumflexa humeri post. und N. axill. ** Spur der Synchondrose der Epiphyse des Armbeins.
- Fig. 4. Frontalschnitt des Schultergelenks durch das Tuberc. minus des Armbeins, bei horizontal ausgestrecktem Arm.
- Fig. 5. Schultergelenk, von vorn, mit aufgeblasenen Synovialtaschen. † Durchschnitt des Schlüsselbeins.
- Fig. 6. Schultergelenk, von hinten geöffnet; Mm. infraspinatus und teres minor durchschnitten, das laterale Ende zurückgeschlagen; Armbeinkopf entfernt. † Schnittfläche desselben. †† Schnittfläche des Acromion. * Pfanne des Schulterblatts. ** Eingang der Bursa synovial. subscapul. *** Vasa circumflexa humeri post. und N. axillaris.

-
- Ab* M. anconeus brevis.
Al M. anconeus longus.
ac Lig. acromio - coracoideum.
B Sehne des langen Kopfs des M. biceps brachii.
B¹ Ursprung derselben am Labrum glenoideum.
Bi Bursa synovialis intertubercularis.
Bss Bursa synovialis subscapularis.
D M. deltoideus.
Isp M. infraspinatus.
Lg Labrum glenoideum scapulae.
Pc Proc. coracoideus.
Scs M. subscapularis.
Ssp M. supraspinatus.
Tm M. teres minor.
Tmj M. teres major.
 1 u. 2 Wülste der Kapsel, zwischen welchen die Sehne des M. biceps liegt.
 3 Vorsprung, dem oberen Rande der Sehne des M. subscapularis entsprechend.
 4 Lig. glenoideo - brachiale inf.

Fig. 1.

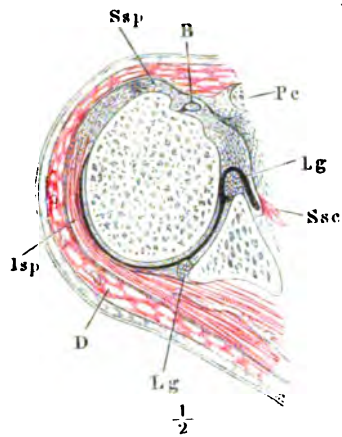
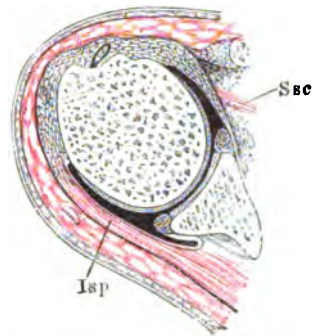


Fig. 2.



$\frac{1}{2}$

Fig. 6.

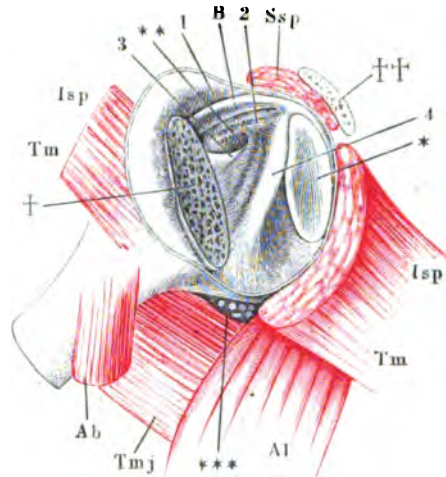


Fig. 4.

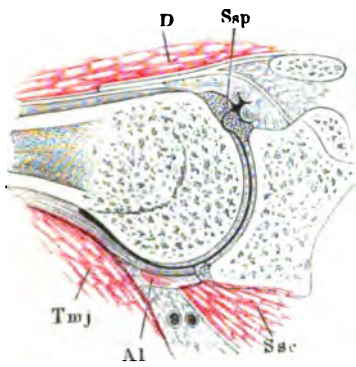


Fig. 5.

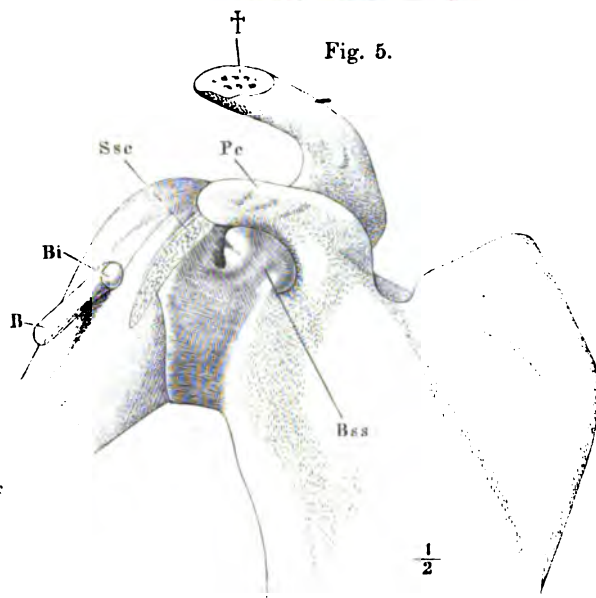
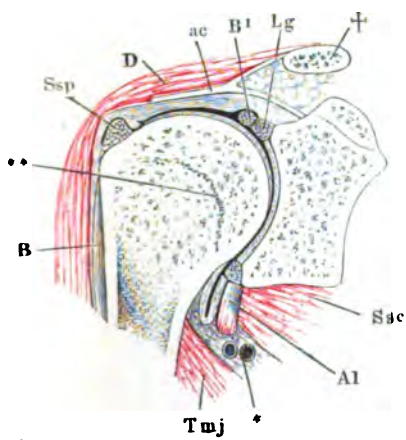


Fig. 3.



- Fig. 1. Sagittalschnitt des Ellenbogengelenks durch die Mitte der Trochlea, in Streckung. * Aeusserer Fettbelag der vorderen Kapselwand. ** Vordere Kapselwand. *** Fetthaltige Synovialfalte der vorderen Kapselwand.
- Fig. 2. Sagittalschnitt des Ellenbogengelenks, in Beugung.
- Fig. 3. Frontalschnitt des Ellenbogengelenks.
- Fig. 4. Ellenbogengelenk, von der medialen Seite.
- Fig. 5. Ellenbogengelenk, von hinten; M. anconeus int. der Länge nach durchschnitten und nach beiden Seiten zurückgeschlagen.
- Fig. 6. Ellenbogengelenk und Vorderarmknochen mit dem Lig. interosseum, von vorn. * Sackförmige Kapsel unter dem Lig. annulare radii. ** Querspalte, durch welche die Vasa interossea antt. auf die Rückseite treten.

-
- A* Sehne des M. extensor triceps.
- Ai* M. anconeus int.
- Aq* Ulnarinsertion des M. anconeus quartus.
- ar* Lig. annulare radii.
- B* Sehne des M. biceps brachii.
- Bi* Sehne des M. brachialis int.
- Br* M. brachioradialis.
- cht* Chorda transversalis.
- Edc* Ursprung des M. extens. dig. comm.,¹ aufwärts umgeschlagen.
- Nu* N. ulnaris.
- Reb* Ursprung des M. radialis ext. brevis, aufwärts umgeschlagen.
- Su* M. supinator.
- Su'Su''* Ursprungsschnen des M. supinator.
- Ui*¹ Der am medialen Epicondylus entspringende Kopf des M. ulnaris int., durchschnitten und zurückgeschlagen.
- Ui*² Ulnarursprung des M. ulnaris int.
- 1 Am medialen Rand des Olecranon sich inserirende Faserbündel der Ellenbogengelenkkapsel.
- 2 An der medialen Ecke des Proc. coronoid. befestigte Fasern.
- 3 Ueber den concaven medialen Rand der Fossa sigmoidea vom Olecranon zum Proc. coronoid. ziehende Fasern.
- 4 Schräge Faserbündel der vorderen Kapselwand.

Ellenbogengelenk. Haftbänder d. Unterarmknochen. 75

Fig. 1.

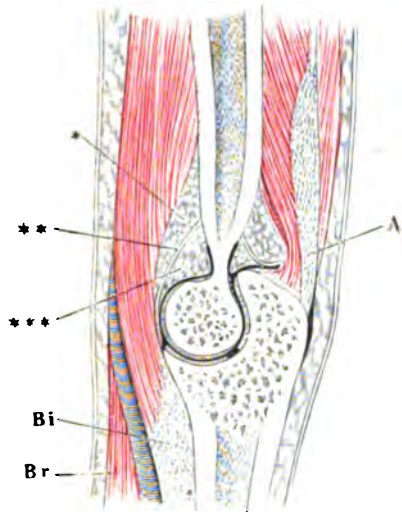


Fig. 2.

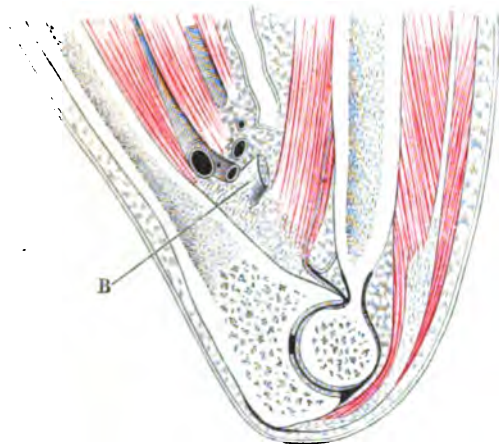


Fig. 3.

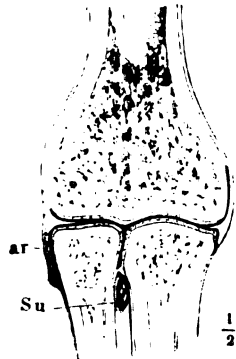


Fig. 5.

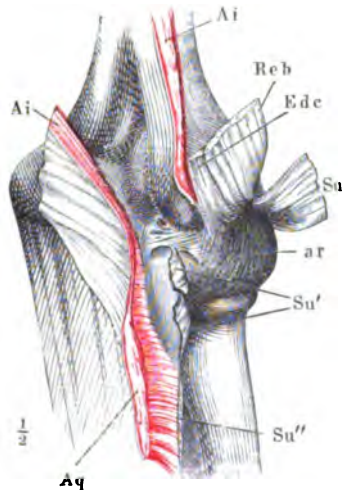


Fig. 4.

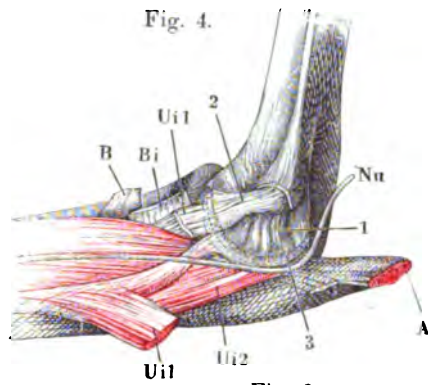


Fig. 6.



- Fig. 1. Sagittalschnitt des Handgelenks durch den Mittelfinger, in Streckung.
 Fig. 2. Sagittalschnitt des Handgelenks durch den Mittelfinger, in Volarflexion.
 Fig. 3. Sagittalschnitt des Handgelenks durch den Mittelfinger, in Dorsalflexion.
 Fig. 4. Frontalschnitt des Handgelenks. **, *** Befestigungsbänder der Bandscheibe.
 Fig. 5. Frontalschnitt des Daumenmetacarpalgelenks.
 Fig. 6. Sagittalschnitt des Daumenmetacarpalgelenks.
 Fig. 7. Fascie des Handgelenks, von der Rückseite.
 Fig. 8. Fascie des Handgelenks, von vorn. * Fasern des Lig. carpi comm., welche hinter der Sehne des M. ulnaris int. hergehen. ** Fasern, welche sich an diese Sehne ansetzen.
 Fig. 9. Fascie des Handgelenks, das oberflächliche Fascikel des ulnaren Theils des Lig. carpi comm. und die Sehne des M. ulnaris int. an der Insertion abgeschnitten. *, ** wie Fig. 8. † Lücke, durch welche der tiefe Zweig des N. ulnaris eindringt.
 Fig. 10. Fascie des Handgelenks, vom Ulnarrand. *, ** wie Fig. 8.
 Fig. 11. Haftbänder des Handgelenks. Rückseite. * Bündel vom Pyramiden- zum Hakenbein und zum fünften Mittelhandknochen. ** Ungewöhnliches oberflächliches Bündel.
 Fig. 12. Handgelenk, von vorn, das Lig. carpi volare propr. vertical durchschnitten und nach beiden Seiten zurückgeschlagen.

| | | | |
|------------|--|------------|--------------------------------------|
| <i>Apl</i> | Sehne des M. abduct. poll. long. | <i>Nu</i> | N. ulnaris. |
| <i>C</i> | Kopfbein. | <i>Pb</i> | M. palmaris br. |
| <i>cc</i> | Lig. carpi commune. <i>cc</i> ¹ Bündel von der perpendiculären Leiste des Radius zur Spitze d. Erbsenbeins; <i>cc</i> ² Bündel vom Proc. styloid. radii zum Erbsenbein und fünften Mittelhandknochen; <i>cc</i> ³ von der Leiste des Radius radialwärts verlaufende Bündel; <i>cc</i> ⁴ Insertion derselben an das Erbsenbein. | <i>ph</i> | Lig. pisohamatum. |
| <i>cm</i> | Carpometacarpalband. | <i>Pi</i> | Erbsenbein. |
| <i>Edc</i> | Sehne des M. extensor dig. comm. | <i>Pl</i> | Sehne des M. palmar. long. |
| <i>Epb</i> | Sehne des M. extensor poll. br. | <i>pm</i> | Lig. piso-metacarpeum. |
| <i>Epl</i> | Sehne des M. extensor poll. long. | <i>Pq</i> | M. pronator quadr. |
| <i>epl</i> | Leiste des Radius, welche die Rinne für die Sehne des M. ext. poll. long. begrenzt. | <i>Ps</i> | Proc. styloideus ulnae. |
| <i>Eqp</i> | Sehne des M. ext. dig. quinti propr. | <i>Py</i> | Pyramidenbein. |
| <i>hm</i> | Lig. hamometacarpeum. | <i>Reb</i> | Sehne des M. radialis ext. brevis. |
| <i>I</i> | M. interosseus int. | <i>Rel</i> | Sehne des M. radialis ext. long. |
| <i>ich</i> | Lig. inteross. capitato-hamatum. | <i>Ri</i> | Sehne des M. radialis int. |
| <i>ilp</i> | Lig. inteross. lunato-pyramidale. | <i>S</i> | Kahnbein. |
| <i>ils</i> | Lig. inteross. lunato-scaphoideum. | <i>Tr</i> | Trapezbein. |
| <i>L</i> | Mondbein. | <i>Trd</i> | Trapezoidbein. |
| <i>M</i> | Mittelhandknochen. | <i>U</i> | Haken des Hakenbeins. |
| | | <i>Ue</i> | Sehne des M. ulnaris ext. |
| | | <i>Ui</i> | M. ulnaris int. |
| | | <i>vp</i> | Lig. carpi volare propr. |
| | | <i>vpa</i> | Lig. carpi volare prof. arcuatum. |
| | | <i>vpr</i> | Lig. carpi volare prof. radiatum. |
| | | <i>vpt</i> | Lig. carpi volare prof. transversum. |
| | | <i>1</i> | Daumenballen. |
| | | <i>2</i> | Kleinfingerballen. |

Fig. 2.

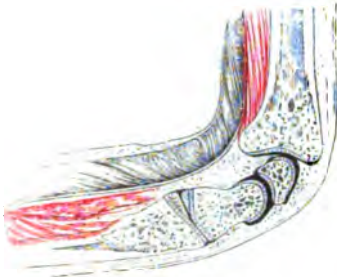


Fig. 3.

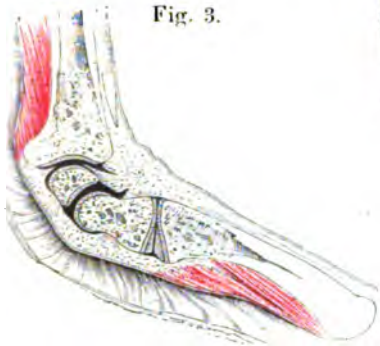


Fig. 1.

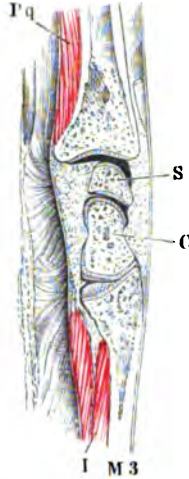
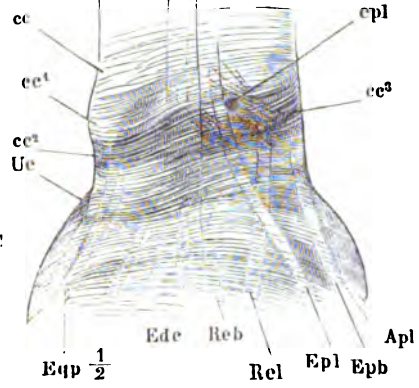


Fig. 7.



77

Fig. 5.

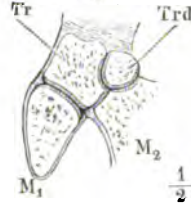


Fig. 4.

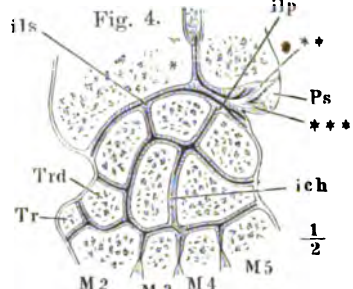


Fig. 8.

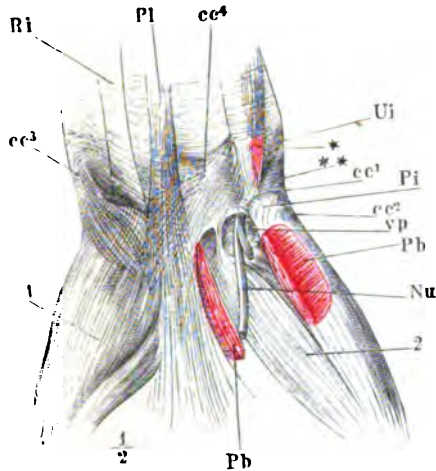


Fig. 6.

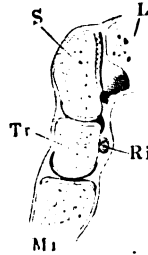


Fig. 12.

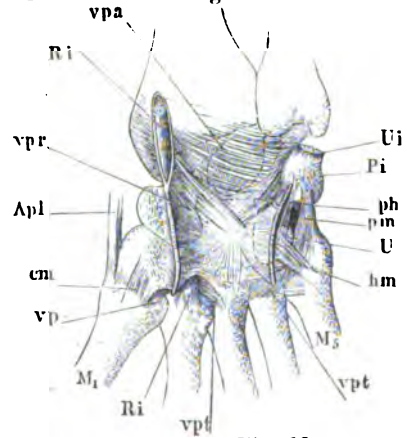


Fig. 11.

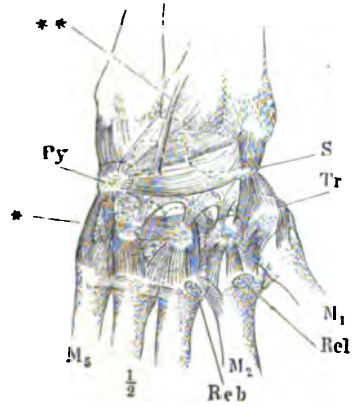


Fig. 9.

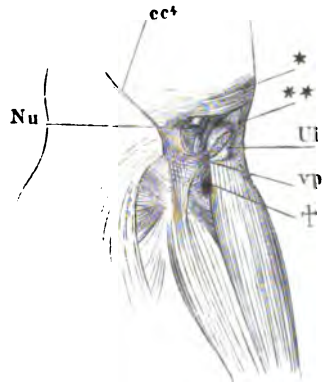
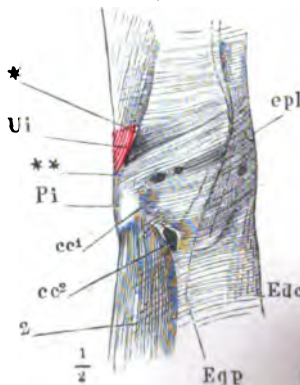


Fig. 10.



- Fig. 1. Horizontalschnitt des Handgelenks durch die Mitte des Erbsenbeins. Die Fächer, in welchen die Sehnen der Hand- und Fingermuskeln laufen, sind mit Ziffern bezeichnet: 1 M. ulnaris ext., 2 M. extensor propr. dig. quinti, 3 Mm. extens. digit. comm. und indicis propr., 4 Mm. radiales externi long. und brevis. 5 M. extensor poll. long. 6 Mm. abductor pollicis long. und extensor poll. br., 7 M. radialis int., 8 Mm. flexores digit. comm. sublimis und profundus und flexor pollicis long.
- Fig. 2. Horizontalschnitt des Handgelenks durch die Mitte des Hakenbeins. 1 Muskeln des Daumenballens. 2 Muskeln des Kleinfingerballens.
- Fig. 3. Horizontalschnitt der Hand durch die Fingercarpalgelenke. ** Vordere Kapselwand. *** Sagittale Scheidewände zur transversalen Faserschicht der Volaraponeurose. 2 Muskeln des Kleinfingerballens.
- Fig. 4. Sagittalschnitt des dritten Mittelhandknochen und Fingers, gestreckt. * Vinculum der Beugesehne. ** Tiefe Fascie des Handrückens.
- Fig. 5. Sagittalschnitt des dritten Mittelhandknochen und Fingers, gebogen.
- Fig. 6. Sagittalschnitt des Fingercarpalgelenks, von innen, das Köpfchen des Mittelhandknochen weggesehnitten. † Schnittfläche. * Lippe der Gelenkpfanne. ** Tiefe Volarfascie. *** Sagittale Scheidewand zur Volaraponeurose.
- Fig. 7. Fingercarpalgelenk, Profil.
- Fig. 8. Frontalschnitt der Fingergelenke.

| | | | |
|------------|--|------------|---------------------------------|
| <i>A</i> | Aponeurosis palmaris. | <i>M</i> | Mittelhandknochen. |
| <i>a</i> | Lig. accessorium. | <i>n</i> | Fingernerve. |
| <i>C</i> | Kopfbein. | <i>Nm</i> | N. medianus. |
| <i>cc</i> | Lig. carpi commune. | <i>Pb</i> | M. palmaris br. |
| <i>cd</i> | Lig. capituli (digiti) dorsale. | <i>Pi</i> | Erbsenbein. |
| <i>cv</i> | Lig. capituli (digiti) volare. | <i>Pl</i> | M. palmaris long. |
| <i>d</i> | Lig. dorsale. | <i>Pg</i> | Pyramidenbein. |
| <i>Edc</i> | Sehne des M. extensor digit. comm. | <i>r</i> | Vasa radialis. |
| <i>Edq</i> | Sehne des M. extensor digit. quinti. | <i>Reb</i> | Sehne des M. radialis ext. br. |
| <i>Eip</i> | Sehne des M. extensor indicis propr. | <i>Rel</i> | Sehne des M. radialis ext. long |
| <i>Epb</i> | Sehne des M. extensor pollicis br. | <i>Ri</i> | Sehne des M. radialis int. |
| <i>Epl</i> | Sehne des M. extensor pollicis long. | <i>S</i> | Kahnbein. |
| <i>Fdc</i> | Sehnen der Mm. flexores digitorum. | <i>Tr</i> | Trapezbein. |
| <i>Fdp</i> | Sehne des M. flexor digitorum profundus. | <i>Trd</i> | Trapezoidbein. |
| <i>Fds</i> | Sehne des M. flexor digitorum sublimis. | <i>u</i> | N. und Vasa ulnaria. |
| <i>Fpl</i> | Sehne des M. flexor pollicis longus. | <i>Ue</i> | Sehne des M. ulnaris ext. |
| <i>H</i> | Hakenbein. | <i>v</i> | Lig. vaginale. |
| <i>I</i> | M. interosseus. | <i>vp</i> | Lig. carpi volare propr. |
| <i>L</i> | (Knochen) Mondbein. | <i>vpr</i> | Lig. carpi volare prof. |
| <i>L</i> | (Muskel) M. lumbricalis. | | |

Fig. 1.

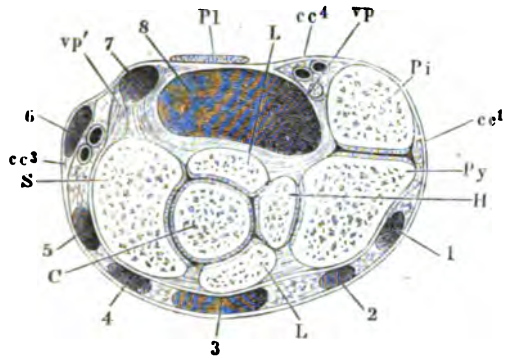


Fig. 8.



Fig. 7.

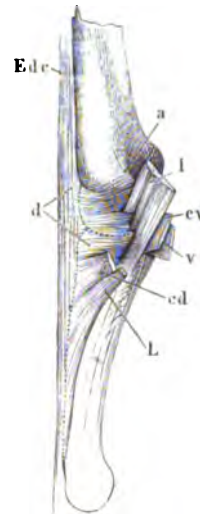


Fig. 3.

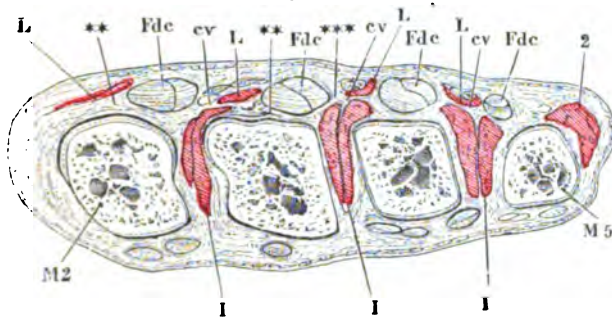


Fig. 4.

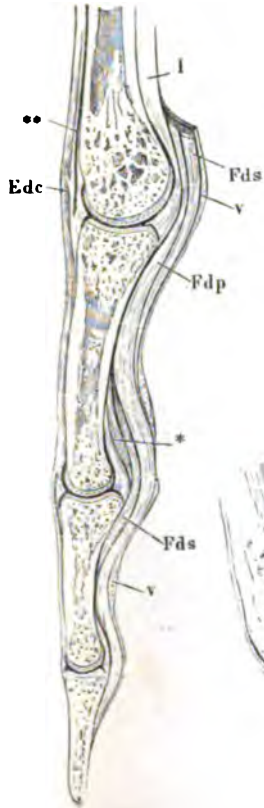


Fig. 2.

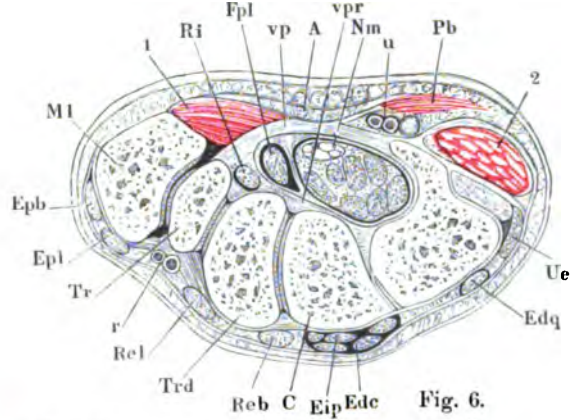


Fig. 5.

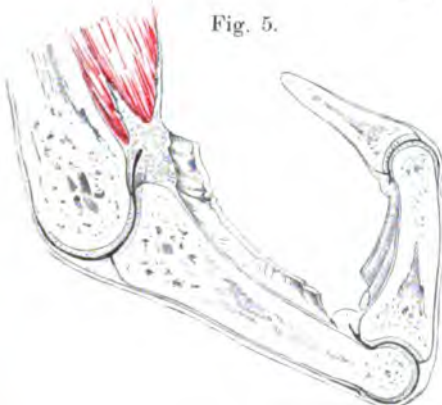
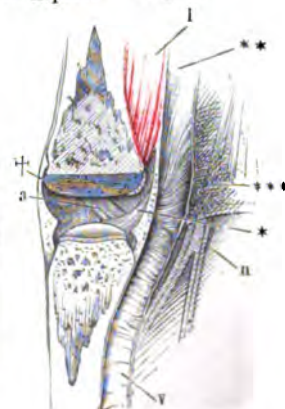


Fig. 6.



- Fig. 1. Durchschnitt des Iliosacralgelenks, parallel der Ebene des Beckeneingangs, durch den ersten Kreuzwirbel.
- Fig. 2. Durchschnitt des Iliosacralgelenks, durch den zweiten Kreuzwirbel.
- Fig. 3. Hintere Beckenwand, von vorn; Lig. iliolumbare. * Transversale, ** schräg lateralwärts absteigende, *** verticale Fasern desselben.
- Fig. 4. Seitenwand des Beckens, von aussen. Haftbänder zwischen Kreuz- und Hüftbein.
- Fig. 5. Vordere Beckenwand mit dem aufwärts gedrehten oberen Ende des Schenkelbeins und frei gelegtem Lig. obturatorium. * Bandstreifen aus dem Lig. obturatorium zur Kapsel.

| | |
|-------------|-----------------------------|
| <i>Afl</i> | M. adductor femoris long. |
| <i>Afm</i> | M. adductor femoris magnus. |
| <i>C</i> | M. coccygeus. |
| <i>Co</i> | Can. obturatorius. |
| <i>Cv</i> | Can. vertebralis. |
| <i>Gmi</i> | M. gluteus minimus. |
| <i>if</i> | Lig. iliofemorale. |
| <i>Ip</i> | M. iliopsoas. |
| <i>isa</i> | Lig. iliosacrale ant. |
| <i>isc</i> | Lig. ischiocapsulare. |
| <i>isi</i> | Lig. iliosacrale interosa. |
| <i>isp</i> | Lig. iliosacrale post. |
| <i>o</i> | Lig. obturatorium. |
| <i>Oe</i> | M. obturator ext. |
| <i>Oi</i> | M. obturator int. |
| <i>P</i> | M. pyriformis. |
| <i>Pc</i> | M. pectineus. |
| <i>pf</i> | Lig. pubofemorale. |
| <i>Qf</i> | M. quadrat. femoris. |
| <i>ssp</i> | Lig. sacrospinosum. |
| <i>st</i> | Lig. sacrotuberosum. |
| <i>Trm</i> | Trochanter minor. |
| <i>Trmj</i> | Trochanter major. |
| <i>Va</i> | Bauchwirbel. |

Bänder d. Gürtels d. unteren Extremitäten. Lig. obturatorium. 81
(Halbe Lebensgrösse.)

Fig. 1.

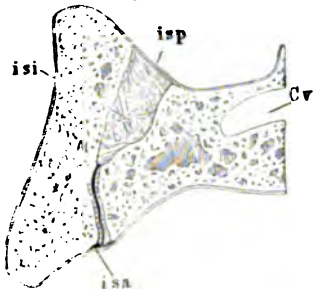


Fig. 2.



Fig. 3.

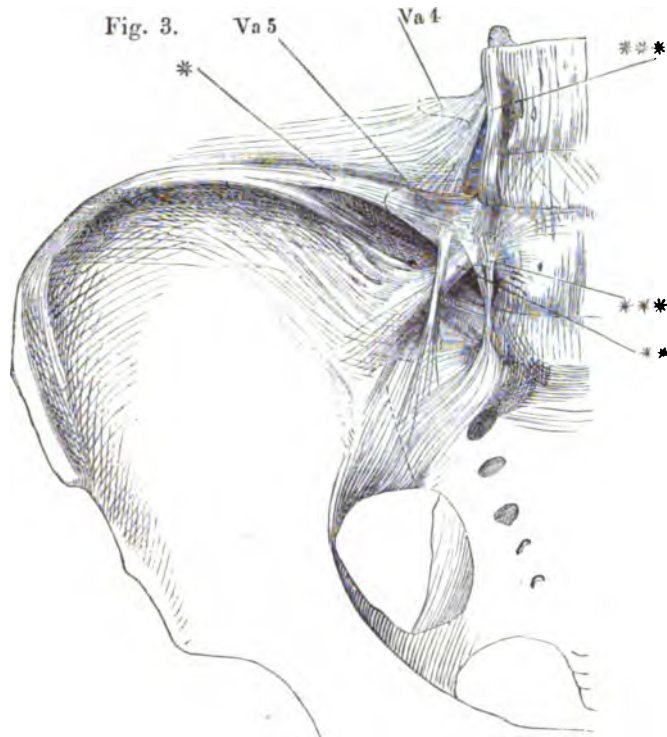


Fig. 4.

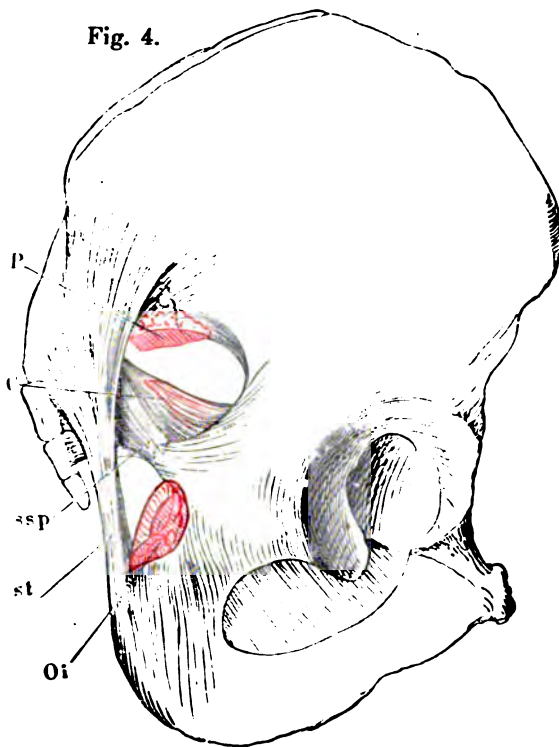
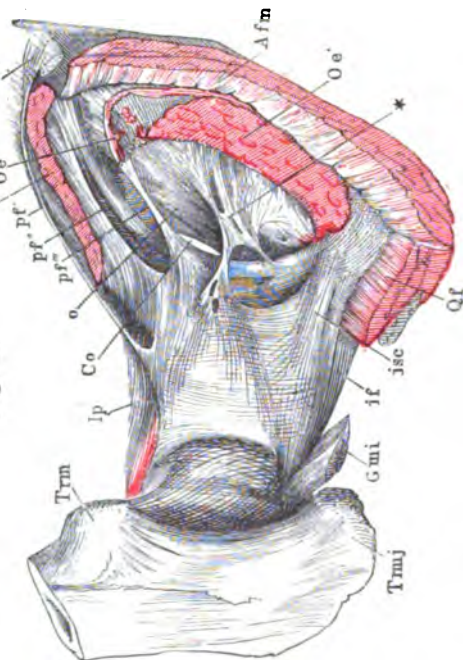


Fig. 5.



- Fig. 1. Hintere Beckenwand mit den Bändern, von hinten. * Fascie der langen Rückenmuskeln. ** Eingewebtes Bündel von der Spina iliaca post. sup. zum Proc. articul. spurius des dritten Kreuzwirbels.
- Fig. 2. Hintere Beckenwand; die Fascie der langen Rückenmuskeln ist nebst den Ursprüngen dieser Muskeln weggenommen, das Lig. sacrotuberosum bis auf Ursprung und Insertion entfernt.
- Fig. 3. Durchschnitt der Schambeinsynchondrose parallel der Ebene des Beckeneingangs.
- Fig. 4. Medianschnitt der Schambeinsynchondrose. Lig. transversum pelvis.
- Fig. 5. Mittlerer Theil der vordern Beckenwand, um die transversale Axe auf- und rückwärts gedreht. * Lig. transversum pelvis. ** Aeusseres Blatt der Fascie des C. cavernos. penis. *** Fascie der Adductoren des Schenkels.

-
- ap* Lig. arcuat. pubis.
Bfl Langer Kopf des M. biceps femoris.
C M. coccygeus.
Gm M. gluteus max. (am Ursprung abgeschnitten).
Gmi M. gluteus minimus.
Ic M. ischiocavernosus, Querschnitt.
il Lig. iliolumbale.
isp Lig. iliosacrale post.
Oae Medialer, *Oae'* lateraler Pfeiler des Leistenrings.
Oi M. obturator int., von der Fascie bedeckt; *Oi'* am Austritt aus der Incisura ischiad. min. durchschnitten; *Oi''* tiefer Kopf desselben (*Mm. gemelli*).
P M. pyriformis, am Austritt durchschnitten.
Pasp Proc. accessor. spur. des Kreuzbeins.
Ra Mediale Sehne des M. rectus abdom.
Sm M. semimembranosus.
ssp Lig. sacrospinus.
St M. semitendinosus.
st Lig. sacrotuberosum. *st'* Bündel desselben von der Spina iliaca post. sup. zu den Proc. accessor. spurii der untern Kreuzwirbel. *st''* Uebergang desselben in die Fascie des M. obturator int.
va Bauchwirbel.

| | | |
|---|---------------------------|-------------------|
| 1 | V. dorsalis penis. | } im Querschnitt. |
| 2 | Art. u. N. dorsales penis | |
| 3 | Corp. cavern. penis | |
| 4 | Uretra | |

Haftbänder zwischen Kreuz- u. Hüftbein. Schambeinsynchondrose. 83
(Halbe Lebensgrösse.)

Fig. 1.

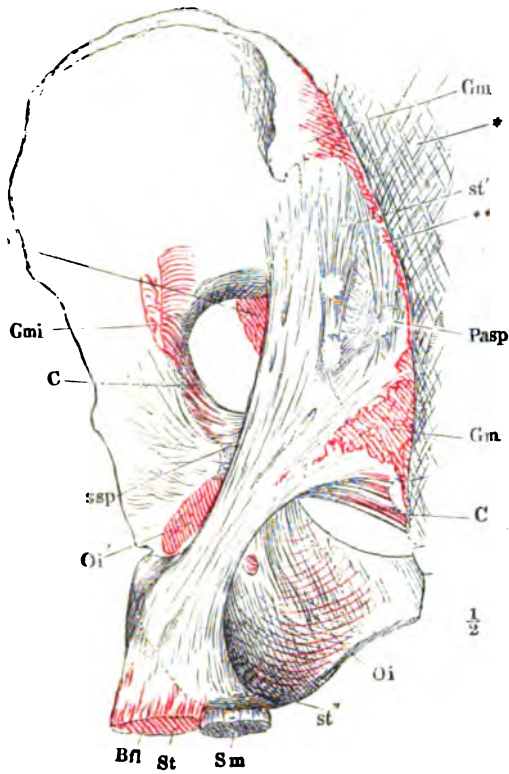


Fig. 2.

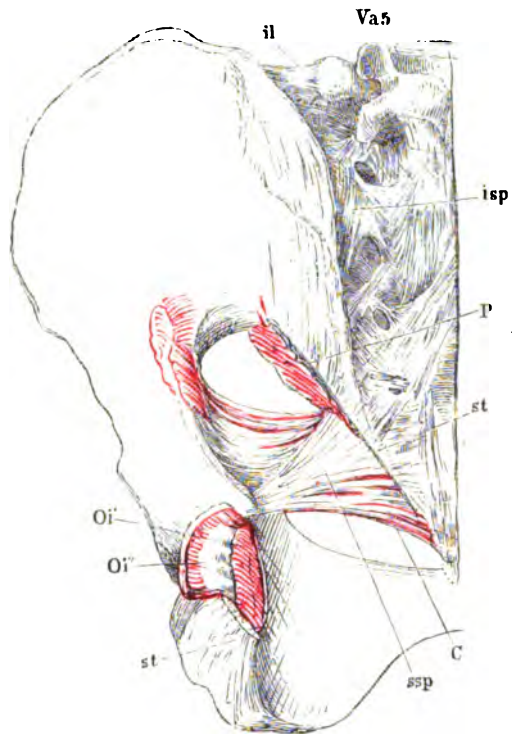


Fig. 3.

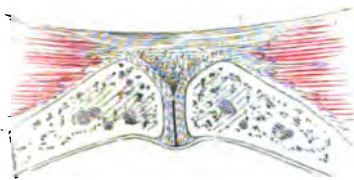


Fig. 5.

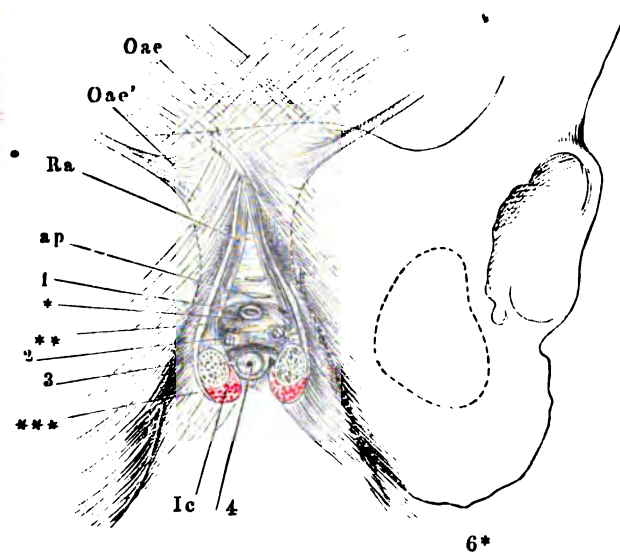
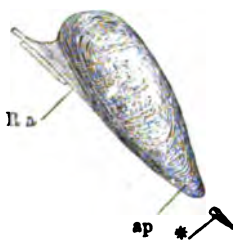
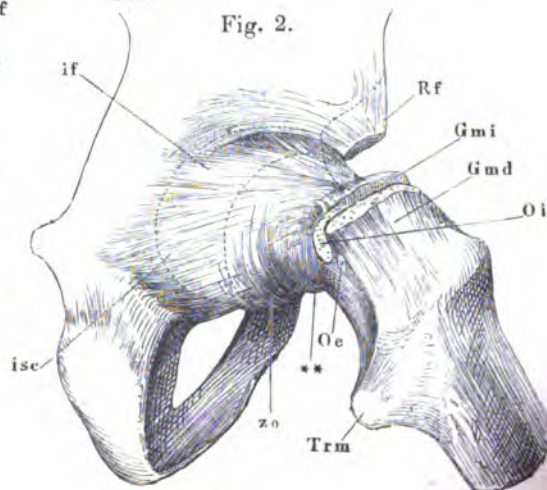
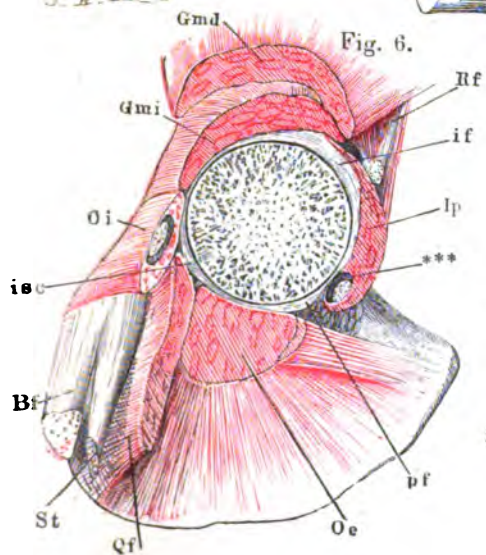
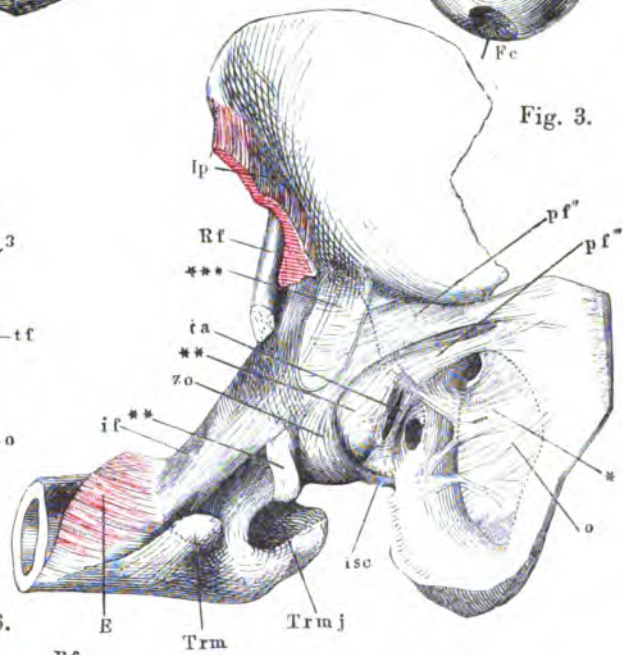
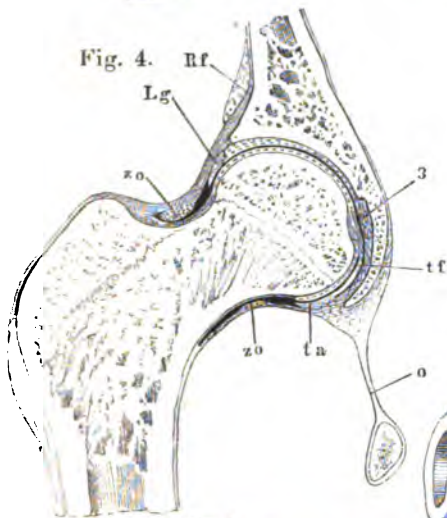
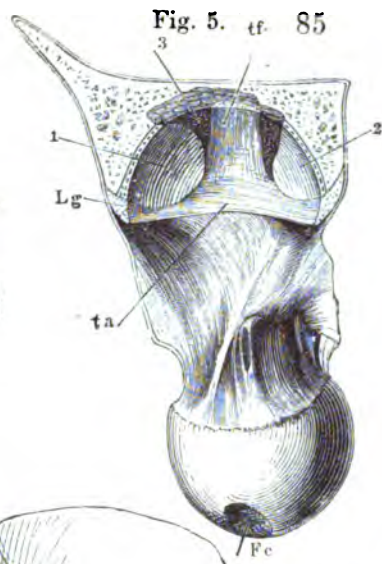
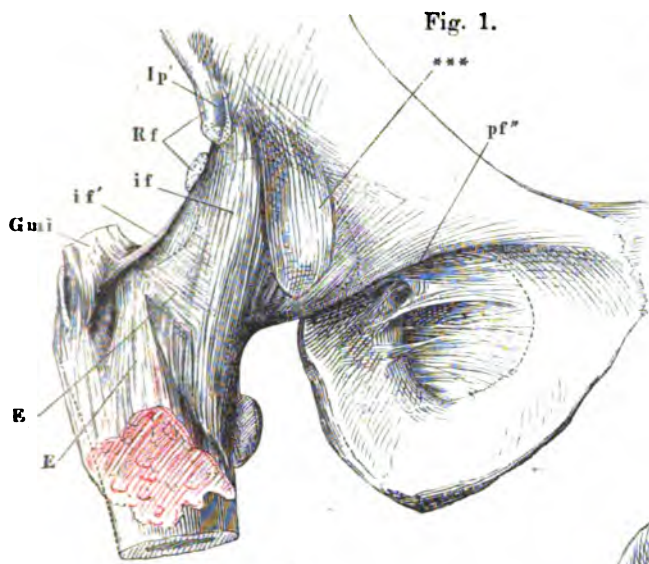


Fig. 4.



- Fig. 1. Hüftgelenk, von vorn.
 Fig. 2. Hüftgelenk, im Profil, Schenkelbein etwas gebeugt und einwärts rotirt.
 Fig. 3. Hüftbein um die verticale Axe etwas rückwärts, um die transversale aufwärts gedreht; Schenkelbein mit der vordern Fläche lateralabwärts gedreht und abducirt.
 Fig. 4. Frontalschnitt des Hüftgelenks, parallel den Fasern des Lig. teres.
 Fig. 5. Horizontalschnitt der Pfanne, untere Hälfte. Das Lig. teres an der Insertion in die Fossa capitis getrennt, der Schenkelkopf abwärts zurückgeschlagen.
 Fig. 6. Durchschnitt des Schenkelhalses und der Kapsel mit den dieselbe umgebenden Muskeln, parallel dem Pfannenrande und dicht unterhalb desselben.

-
- Bf* Ursprungssehne des *M. biceps fem.*
E *M. extensor quadriceps.*
Fc Fossa capitis (femoris).
Gmd *M. gluteus med.*
Gmi *M. gluteus minimus.*
if Lig. iliofemorale. *if'* Fasern desselben, welche in die Sehne des *M. gluteus minimus* übergehen.
Ip *M. iliopsoas.* *Ip'* Tiefer Kopf desselben.
isc Lig. ischiocapsulare.
Lg Labrum glenoid.
o Lig. obturator.
Oe *M. obturator ext.*
Oi *M. obturator int.*
pf Lig. pubofemorale, *pf'* Bündel a. d. Fascia pectinea, *pf''* von der Crista obturatoria, *pf'''* v. obern Schambeinast.
Qf *M. quadrat. femoris.*
Rf Ursprungssehne des *M. rectus fem.*
St Ursprungssehne des *M. semitendinosus.*
ta Lig. transvers. acetabuli.
tf Lig. teres femoris.
Trm Trochanter minor.
Trmj Trochanter major.
zo Zona orbicularis.
i Hinteres Ende des überknorpelten Theils der Pfanne.
2 Vorderes Ende des überknorpelten Theils der Pfanne.
8 Fettpolster der Fossa acetabuli.
*** Fasern vom Lig. obturatorium zur Hüftgelenkkapsel.
**** Dünne Stelle der untern Kapselwand.
***** Hintere Wand des Schleimbeutels des *M. iliopsoas.*



- Fig. 1. Oberes Ende der Tibia mit den Bandscheiben des Kniegelenks, von vorn.
 Fig. 2. Oberes Ende der Tibia mit den Bandscheiben des Kniegelenks, v. hinten.
 Fig. 3. Laterale Wand des Kniegelenks, von innen. *** Lateraler Rand der
 Öffnung, durch welche die Bursa synovialis poplitea mit dem Knie-
 gelenk communicirt.
 Fig. 4. Profil des Kniegelenks, der mediale Condylus des Schenkelbeins durch
 einen sagittalen Schnitt entfernt. Lig. cruciatum ant. Bei gestrecktem
 Knie.
 Fig. 5. Profil des Kniegelenks, bei gebogenem Knie.
 Fig. 6. Gestrecktes Kniegelenk, Mittelstellung zwischen Profil und hinterer An-
 sicht, der laterale Condylus des Schenkelbeins weggeschnitten.
 Fig. 7. Sagittalschnitt des gestreckten Knies durch den medialen Condylus. * Dem
 äussern Rande der Bandscheibe entsprechender Eindruck des Gelenk-
 knorpels des Schenkelbeins.
 Fig. 8. Frontalschnitt des gestreckten Knies vor der Fossa intercondyloidea des
 Schenkelbeins.
 Fig. 9. Frontalschnitt eines im rechten Winkel gebeugten Kniegelenks vor dem
 vordern Rande der Fossa intercondyloidea des Schenkelbeins.
 Fig. 10. Horizontalschnitt des gestreckten Kniegelenks durch die Mitte der Höhe
 der Patella.
 Fig. 11. Sagittalschnitt des gebeugten Knies durch den lateralen Condylus.
 Fig. 12. Mittlerer Sagittalschnitt des Kniegelenks in extremer Beugung.

| | |
|------------|--|
| <i>Atf</i> | Oberes Tibiofibulargelenk. |
| <i>Bp</i> | Bursa poplitea. |
| <i>Bsm</i> | Bursa synov. semimembranosa. |
| <i>Bsp</i> | Bursa synov. subpatellaris. |
| <i>ca</i> | Lig. cruciat. ant. |
| <i>cp</i> | Lig. cruciat. post. |
| <i>Lp</i> | Lig. der Plica synov. patellaris. |
| <i>Al</i> | Laterale Bandscheibe. |
| <i>Mm</i> | Mediale Bandscheibe. |
| <i>pi</i> | Lig. patellae inf. |
| <i>Po</i> | Sehne des M. popliteus, querdurchschnitten; <i>Po'</i> dieselbe, an der Insertion getrennt. |
| <i>Pp</i> | Plica synovial. patellaris. |
| <i>Sm</i> | Sehne des M. semimembranosus. |

Kniegelenk. (Halbe Lebensgrösse.)

87

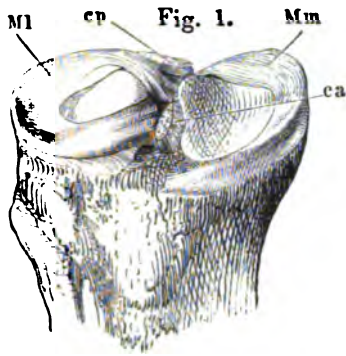


Fig. 1.

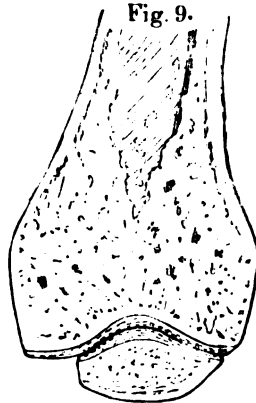


Fig. 9.

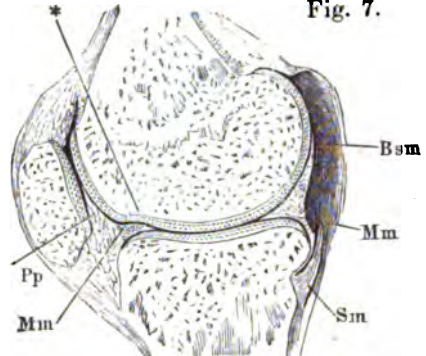


Fig. 7.



Fig. 4.

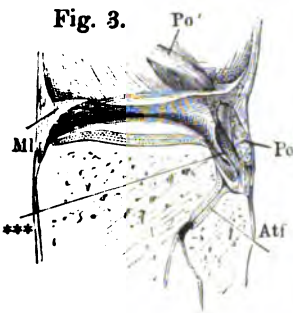


Fig. 3.



Fig. 6.

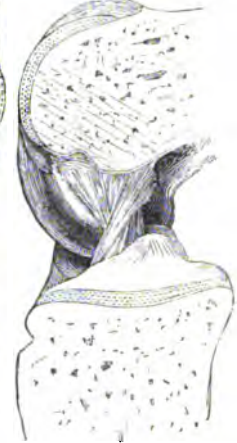


Fig. 5.

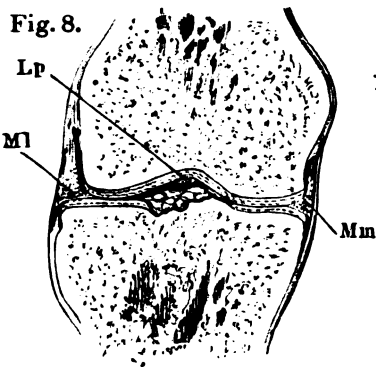


Fig. 8.

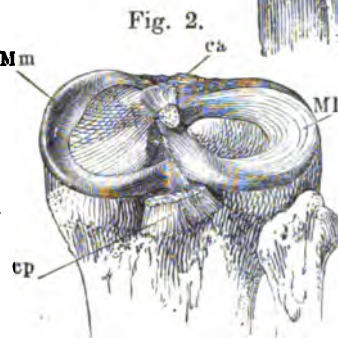


Fig. 2.

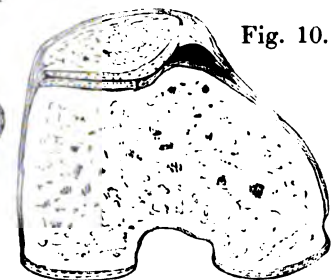


Fig. 10.

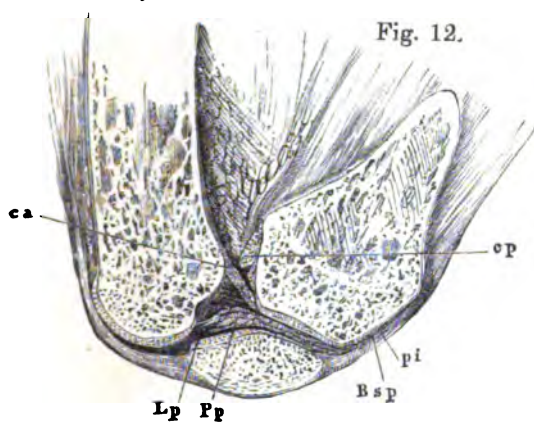


Fig. 12.

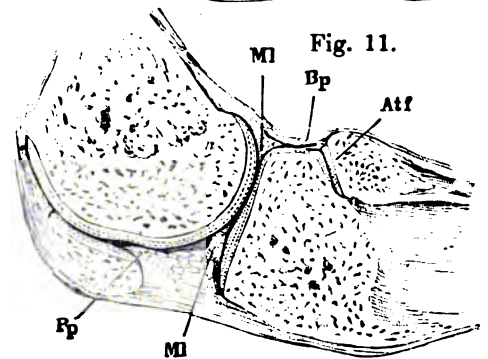


Fig. 11.

Fig. 1. Laterale Wand der Kniegelenkkapsel. Die Fascie und der M. extensor quadriceps durchschnitten und nach aussen umgelegt.

Fig. 2. Mediale Wand der Kniegelenkkapsel. Die Fascie mit der Sehne des M. sartorius durchschnitten und nach vorn zurückgeschlagen, ebenso die Sehnen der Mm. gracilis und semitendinosus.

Fig. 3. Mittlerer Sagittalschnitt des gestreckten Kniegelenks.

Fig. 4. Hintere Wand der Kniegelenkkapsel.

-
- al* Lig. accessorium laterale; *al'* vorwärts umbiegende, in die Bandscheibe übergehende Fasern desselben.
- Afm* Insertion des M. adductor magnus, *Afm'* Insertion seiner Sehne am medialen Epicondylus.
- amb* Lig. accessor. mediale breve.
- aml* Lig. accessor. mediale long.
- Bf* Insertionssehne des M. biceps femoris.
- Bfb* M. biceps fem. kurzer Kopf.
- Bp* Bursa synov. poplitea.
- Bsc* Falte, die den Eingang in die Bursa subcruralis andeutet.
- Bsm* Bursa synovial. semimembranosa.
- Bsp* Bursa synovial. subpatellaris.
- ca* Lig. cruciat. ant.
- cp* Lig. cruciat. post.
- E* Sehne des M. extensor quadriceps.
- F* Insertion der Schenkelfascie an die Tibia.
- F'* Bündel derselben, die sich vor der Patella kreuzen.
- Fi* Fascia intermuscul. lat.
- Gal* Lateraler Kopf des M. gastrocnemius.
- Gam* Medialer Kopf des M. gastrocnemius.
- Gr* Sehne des M. gracilis.
- K* Kniegelenkkapsel.
- Lp* Ligament der Plica synov. patell.
- Np* N. peroneus.
- pa* Lig. poplit. arcuat.
- Pel* M. peroneus long.
- pi* Lig. poplit. inf.
- Pla* Ursprung des M. plantaris.
- pm* Lig. patellare mediale.
- Po* M. popliteus.
- po* Lig. poplit. obliquum.
- Pp* Plica synov. patellaris.
- R* Retinaculum lig. poplitei arcuati.
- S* M. soleus.
- Ser* M. subcruralis.
- Sm* M. semimembranosus. *Sm'* Vorderer, *Sm''* mittlerer Zipfel seiner Insertionssehne.
- St* M. semitendinosus.
- tg* Lig. transversum genu.
- V* M. vastus.
- Vm* Medialer Kopf des M. vastus.
- ** Subcutaner Schleimbeutel der Patella.
- *** Fettpolster d. Vorderfläche d. Schenkelbeins.
- **** Lücke, durch welche die Vasa cruralia in die Fossa poplitea treten.

Fig. 1.

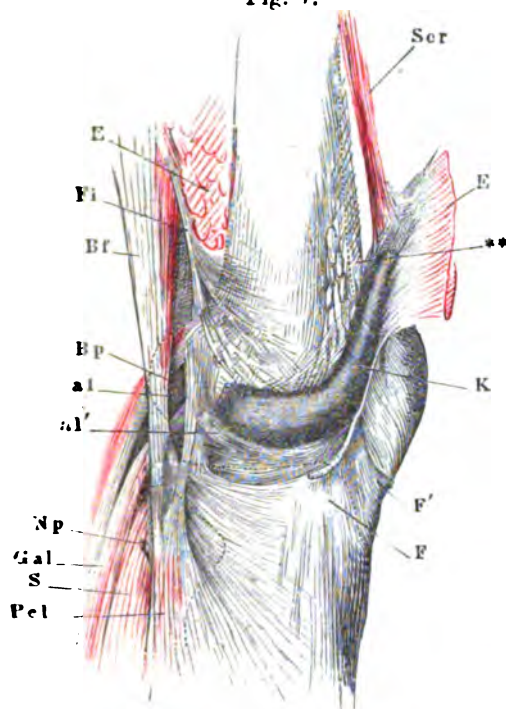


Fig. 3.

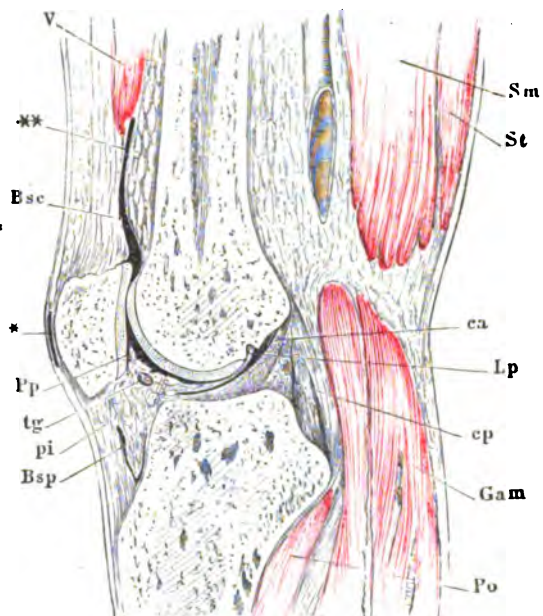


Fig. 2.

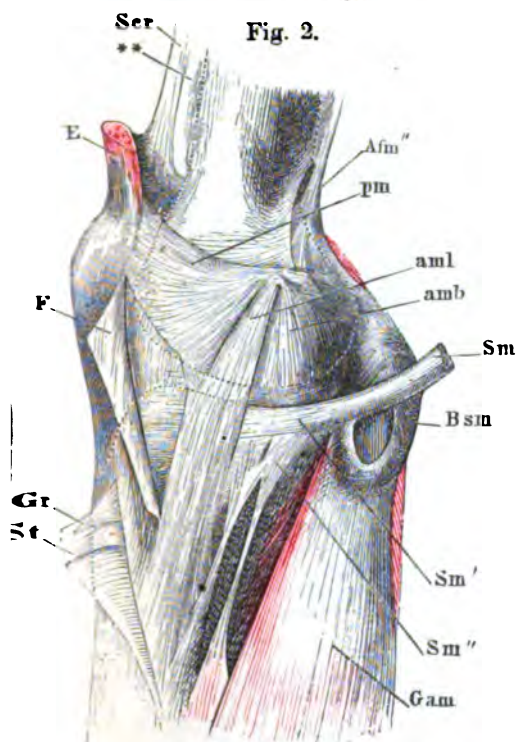
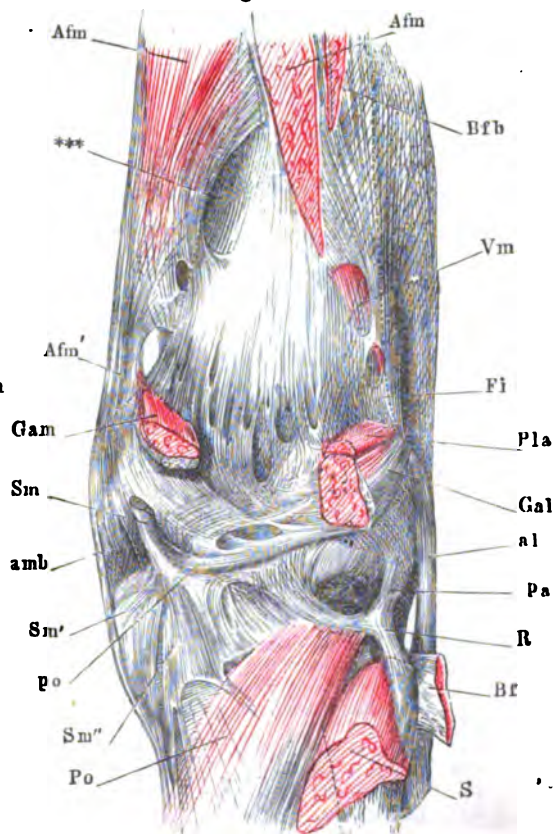


Fig. 4.



90 Tafel LI. Kniegelenk. Oberes Tibiofibulargelenk. Fussgelenke.

- Fig. 1. Vordere Wand des Kniegelenks, von hinten. Die Tibia vor der *Eminentia intercondyloidea* frontal durchschnitten, d. Schenkelbein entfernt.
 Fig. 2. Oberes Ende des Unterschenkels, laterale Fläche. Bänder des obern Tibiofibulargelenks. * Beugemuskeln, durch die Lücke des Lig. inteross. durchscheinend. ** Gesonderte Faserbündel zwischen Tibia u. Fibula.
 Fig. 3. Knöchelgelenkpfanne, die Kapsel durch einen horizontalen Schnitt geöffnet. * Synovialfalte.
 Fig. 4. Frontalschnitt des Knöchel- und vordern Sprungbeingelenks. * Hinteres Sprungbeingelenk, von vorn geöffnet.

Fig. 1.

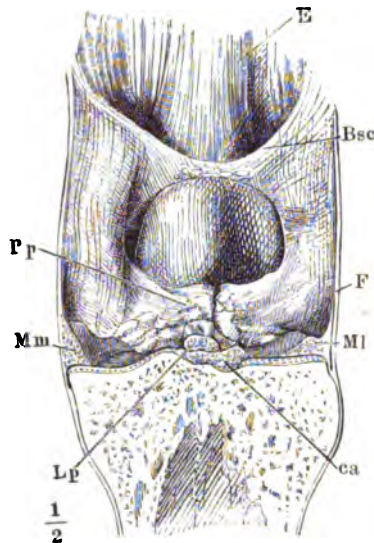


Fig. 2.

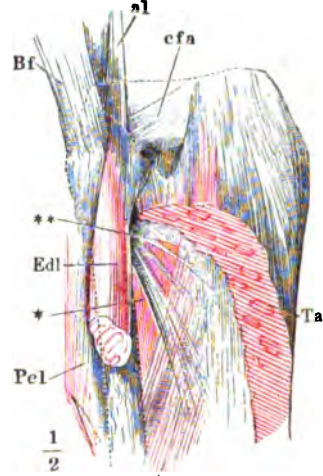


Fig. 3.

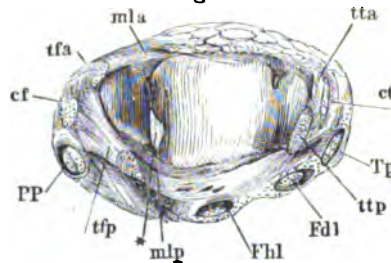
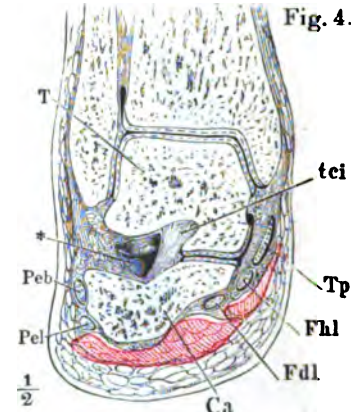


Fig. 4.

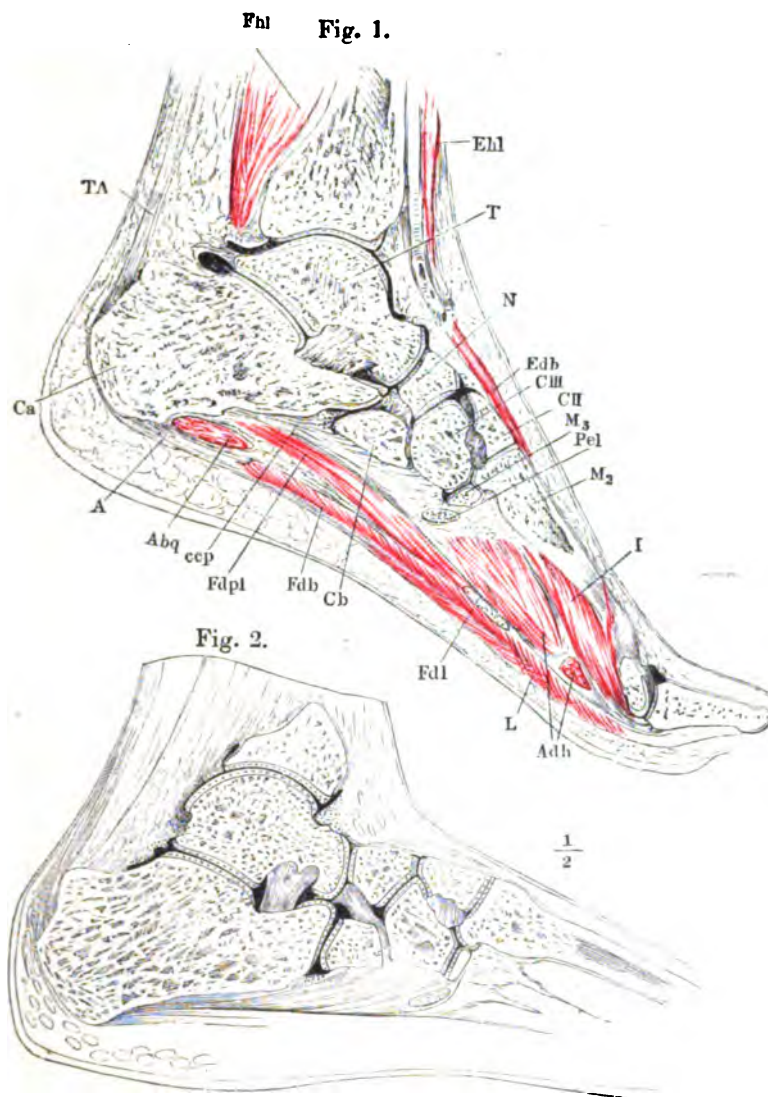


al Lig. accessor. laterale des Kniegelenks.
Bf Sehne des *M. biceps femoris*.
Bsc Bursa synov. subcruralis.
Ca Fersenbein.
ca Lig. cruciat. ant.
cf Lig. calcaneo-fibulare.
cfa Lig. capituli fibulae ant.
ct Lig. calcaneo-tibiale.
E Sehne des *M. extensor cruris*.
Edl *M. extensor digit. comm. longus*.
F Fascie.
Fdl *M. flexor digit. comm. long.*
Fhl *M. flexor hallucis long.*
Lp Ligament der Plica synov. patellaris.
Ml Laterale Bandscheibe des Kniegelenks.

mfa Lig. malleoli laterale ant.
mlp Lig. malleoli laterale post.
Mm Mediale Bandscheibe des Kniegelenks.
Peb *M. peron. brevis*.
Pel *M. peron. longus*.
PP Sehnen der *Mm. peronei*.
Pp Plica synov. patellaris.
T Sprungbein.
Ta *M. tibialis ant.*
tci Lig. tibio-calc. inteross.
tfa Lig. talo-fibulare ant.
tfp Lig. talo-fib. post.
Tp Sehne des *M. tibial. post.*
tta Lig. talo-tibiale ant.
ttp Lig. talo-tibiale post.

Fig. 1. Sagittalschnitt des Knöchelgelenks und Fusses durch den zweiten Mittelfussknochen, in Plantarflexion.

Fig. 2. Sagittalschnitt des Knöchelgelenks und Fusses durch den zweiten Mittelfussknochen, in Dorsalflexion.



A Aponeurosis plantaris.
Abq M. abductor dig. quinti.
Adh M. adductor hallucis.
C Keilbein.
Ca Fersenbein.
Cb Würfelbein.
ccp Lig. calcaneo-cuboid. plantare.
Edb M. extensor digit. comm. brevis.
Ehl M. extensor hallucis long.
Fdb M. flexor digit. comm. brevis.

Fdl M. flexor digit. comm. longus.
Fdpl Plantarer Kopf desselben.
I M. interosseus.
L M. lumbricalis.
M Mittelfussknochen.
N Schiffbein.
Pel M. peron. longus.
T Sprungbein.
TA Achillessehne.

- Fig. 1. Kopf des hintern und Pfanne des vordern Sprungbeingelenks. 1 Facies art. medialis post. des Fersenbeins. 2' Facies art. medialis ant. des Fersenbeins. 2'' Lig. tibio-calcaneo-naviculare. 2''' Bandscheibe dieses Ligaments. 3 Gelenkfläche des Schiffbeins.
- Fig. 2. Durchschnitt der Fusswurzel, vom medialen Rande aus in einer lateral-abwärts geneigten Ebene. Laterales Segment, von unten.
- Fig. 3. Verticaler Durchschnitt des vordern Sprungbeingelenks parallel der Längsaxe des Fusses durch den Mittelfussknochen der grossen Zehe. * Hinteres Sprungbeingelenk.
- Fig. 4. Knöchelgelenk, von hinten geöffnet.
- Fig. 5. Knöchelgelenk, von vorn geöffnet, der Fuss im vordern Sprungbein- und Würfelbeingelenk exarticulirt.
- Fig. 6. Hinteres Sprungbeingelenk, bei lateral gerichteter Fussspitze genau frontal durchschnitten. Vorderes Segment.
- Fig. 7. Vorderes Sprungbeingelenk, bei lateral gerichteter Fussspitze frontal durchschnitten. Hinteres Segment. * Knöchelgelenk, von vorn geöffnet.

| | |
|-------------|--|
| <i>A</i> | Aponeurosis plantaris. |
| <i>Abh</i> | M. abductor hallucis. |
| <i>Abq</i> | M. abductor dig. quinti. |
| <i>C</i> | Keilbein. |
| <i>Cb</i> | Würfelbein. |
| <i>ccd</i> | Lig. calcaneo-cuboid. dorsale. |
| <i>cf</i> | Lig. calcaneo-fibulare. |
| <i>cnd</i> | Lig. calcaneo-naviculare dors. |
| <i>ct</i> | Lig. calcaneo-tibiale. |
| <i>Edb</i> | M. extensor dig. comm. brev. |
| <i>Edl</i> | M. extensor dig. comm. long. |
| <i>F</i> | Tiefe Fascie der hintern Fläche des Unterschenkels |
| <i>Fdb</i> | M. flexor digit. comm. brevis. |
| <i>Fdl</i> | M. flexor dig. comm. long. Sehne. |
| <i>Fdpl</i> | Plantarer Kopf des M. flex. digit. long. |
| <i>Fhl</i> | M. flexor hall. long. Sehne. |
| <i>mla</i> | Lig. malleoli lateralis ant. |
| <i>mlp</i> | Lig. malleoli lateralis post. |
| <i>M</i> | Mittelfussknochen. |
| <i>N</i> | Schiffbein. |
| <i>Pebr</i> | M. peroneus br. Sehne. |
| <i>Pel</i> | M. peroneus long. Sehne. |
| <i>PP</i> | Sehnen der Mm. peronei. |
| <i>Su</i> | Sustentaculum tali. |
| <i>tci</i> | Lig. talo-calcaneum interosseum. |
| <i>icl</i> | Lig. talo-calcaneum laterale. |
| <i>tcn</i> | Lig. tibio-calcaneo-naviculare. <i>tcn*</i> Bandscheibe desselb. |
| <i>tcp</i> | Lig. talo-calcaneum post. |
| <i>tfa</i> | Lig. talo-fibulare ant. |
| <i>tfp</i> | Lig. talo-fibulare post. |
| <i>Tp</i> | M. tibialis post. |
| <i>tta</i> | Lig. talo-tibiale ant. |
| <i>ttp</i> | Lig. talo-tibiale post. |

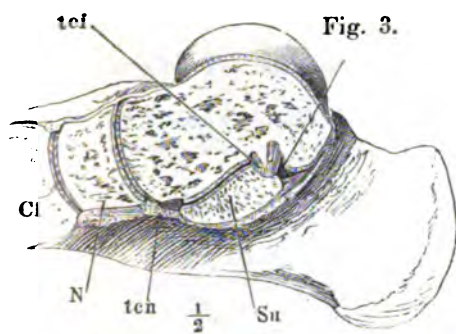


Fig. 1.

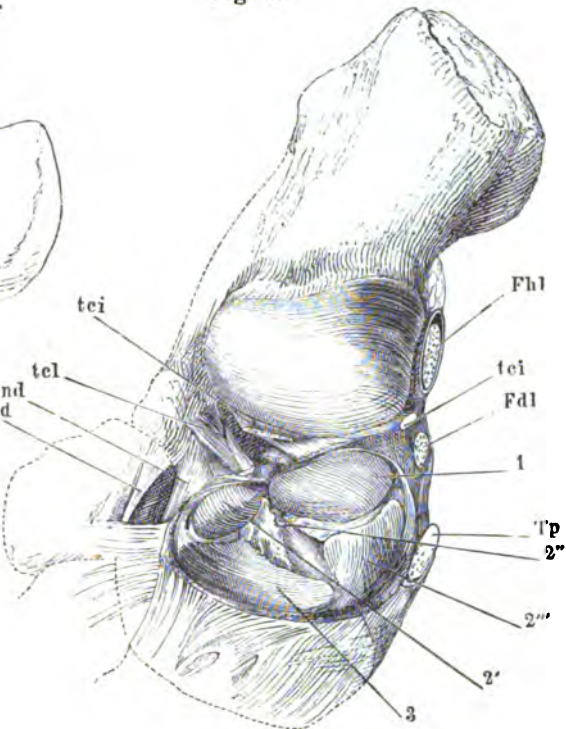


Fig. 4.

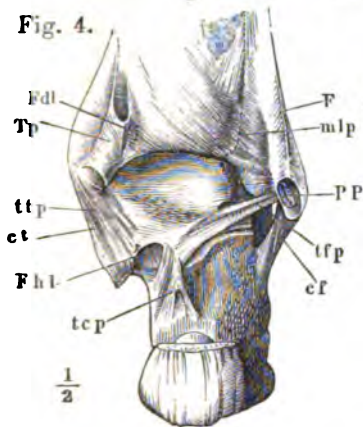


Fig. 5.

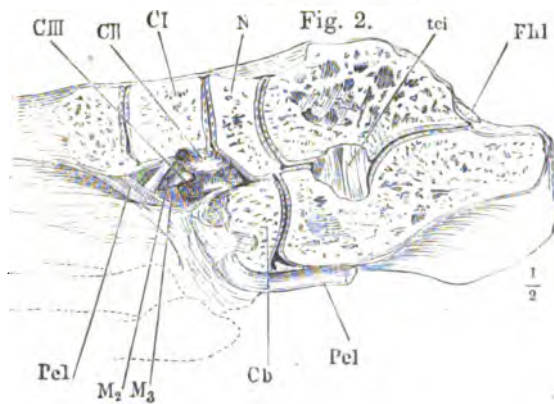
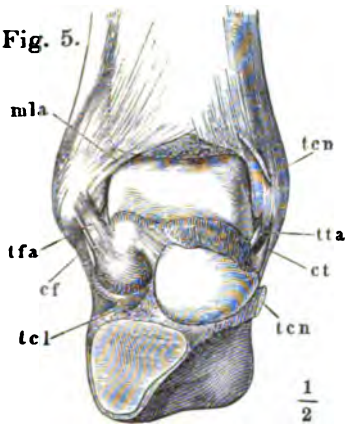


Fig. 6.

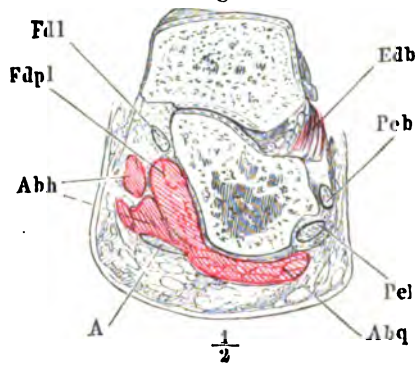
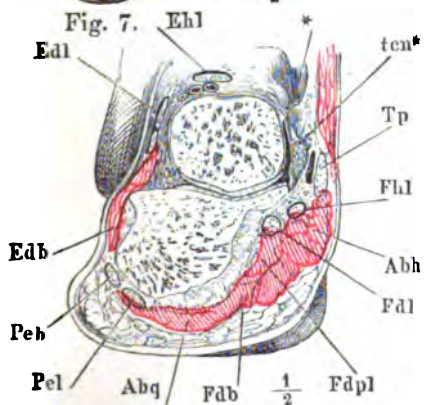


Fig. 7.



- Fig. 1. Bänder der Rückenfläche des Fusses.
 Fig. 2. Bänder der Rückenfläche des Fusses, tiefere Schichte. † Schnittfläche des oberflächl. Lig. naviculari-cuboideum.
 Fig. 3. Plantarfläche des Fusses nach Entfernung der oberflächl. Muskelschichten. * Verbindung der Sehne des *M. tibialis posticus* mit der Aponeurosis plantaris.
 Fig. 4. Plantarfläche des Fusses nach Entfernung der oberflächlichen Schichte des Lig. calcaneo-cuboid. plantare und der mit demselben zusammenhängenden Muskeln. Die Sehne des *M. peron. long.* ist aus ihrer Scheide herausgenommen und dicht an der Insertion abgeschnitten.
 Fig. 5. Plantarfläche des Fusses, auch die mittlere Schichte des Lig. calcaneo-cuboid. ist entfernt.

-
- Abh* *M. abductor hallucis.*
Abq *M. abductor dig. quinti.*
cbnp Lig. cuboideo-naviculare plantare.
ccd Lig. calcaneo-cuboid. dorsale.
ccp Lig. calcaneo-cuboid. plant., oberflächliche, *ccp'* mittlere, *ccp''* tiefste Schichte.
cnd Lig. calcaneo-naviculare dorsale.
cnp Lig. calcaneo-naviculare plantare.
Fdl *M. flexor digitor. longus.* Rinne für die Sehne desselben.
Fdpl *M. flexor digitor. longus, plantarer Kopf.*
Fhb *M. flexor hall. brevis.*
Fhl Sehne des *M. flexor hall. long.*
mla Lig. malleoli later. ant.
Peb Sehne des *M. peron. brev.*
Pel Sehne des *M. peron. long.*
Ta Sehne des *M. tibialis ant.*
tbn Lig. tibio-naviculare.
Tc Tuber ossis cuboidei.
tcl Lig. talo-calcaneum laterale.
tcn Lig. tibio-calcaneo-naviculare, vordere Bündel zur Tuberosität des Schiffbeins; *tcn'* von der Spitze des medialen Knöchels abwärts, *tcn''* vom hintern obern Rande d. Schiffbeins rückwärts verlaufende, zur Bandscheibe des Ligaments zusammentretende Fasern.
tn Lig. talo-naviculare.
Tp *M. tibial. post. Sehne.*
ttl Lig. tarsum transvers. later.
ttm Lig. tarsum transvers. mediale.

Fig. 1.

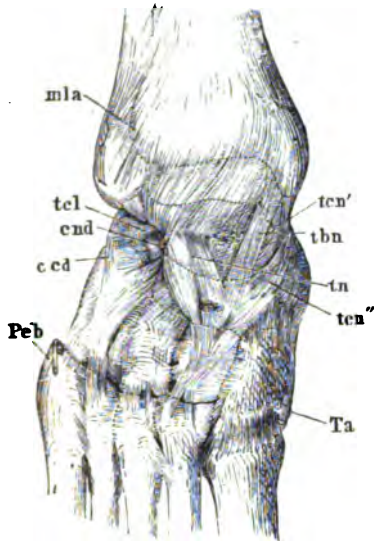


Fig. 2.



Fig. 5.

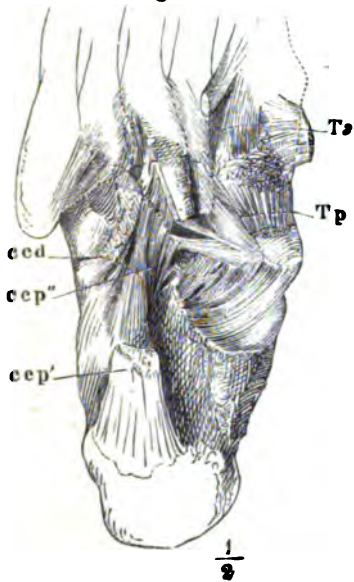


Fig. 3.

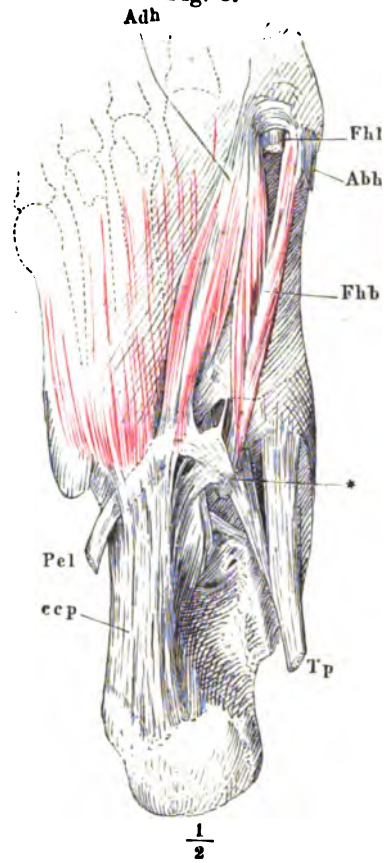


Fig. 4.

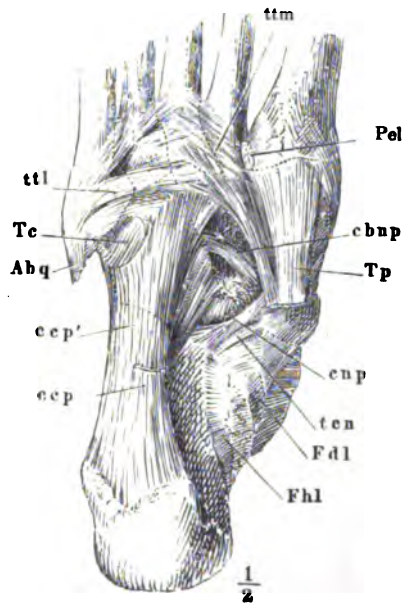


Fig. 1. Bänder der Fussgelenke, von der medialen Seite.

Fig. 2. Bänder der Fussgelenke, laterale Seite. * Accessorisches Bündel des Lig. calcaneo-fibulare an das Sprungbein.

Fig. 3. Frontalschnitt des Fusses durch die Keilbeine.

Fig. 4. Senkrechter Durchschnitt, der Längsaxe des Fusses parallel, durch ein Zehentarsalgelenk, Plantarflexion. * Untere Kapselwand.

Fig. 5. Derselbe Durchschnitt, Dorsalflexion.

Fig. 1.

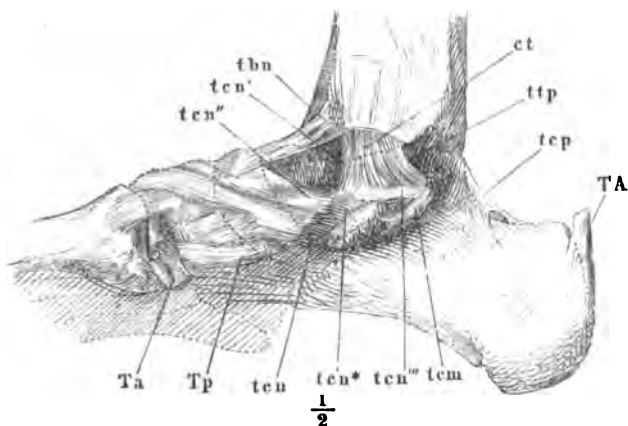


Fig. 5.

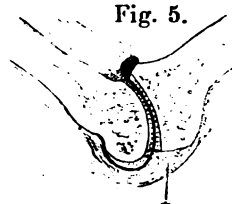


Fig. 4.

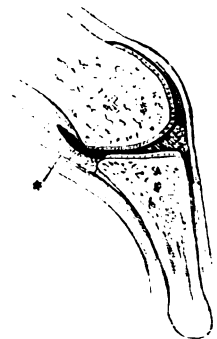


Fig. 2.

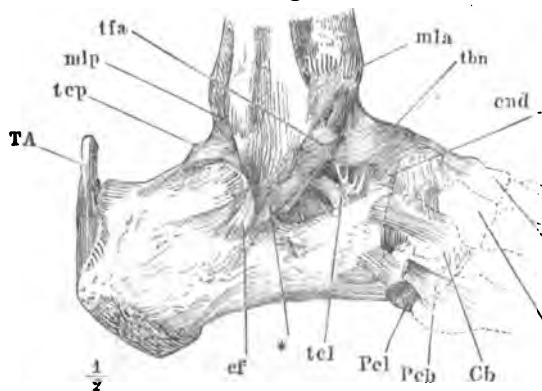
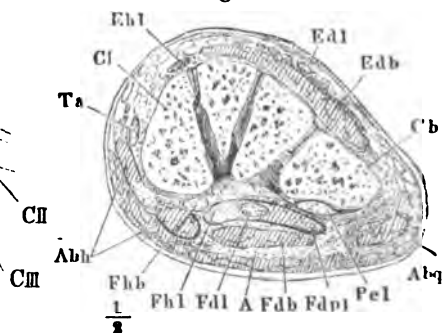


Fig. 3.



A Aponeurosis plantaris.
Abh M. abductor hallucis.
Abq M. abductor dig. quinti.
C Keilbein.
Cb Würfelbein.
cf Lig. calcaneo-fibulare.
end Lig. calcaneo-naviculare dorsale.
ct Lig. calcaneo-tibiale.
Edb M. extensor dig. brevis.
Edl M. extensor dig. long.
Fhl M. extensor hallucis long.
Fdb M. flexor digit. brevis.
Fdl M. flexor digit. long.
Fdpl M. flexor digit. long., plantarer Kopf.
Fhb M. flexor hallucis brevis.
Fhl M. flexor hallucis longus.
mla Lig. malleoli lateralis ant.
 " g. malleoli lateralis post.
 peroneus brevis.

Pel M. peroneus long.
TA Achillessehne.
Ta M. tibialis ant.
tbn Lig. tibio-naviculare.
tcl Lig. talo-calcaneum laterale.
tem Lig. talo-calcaneum mediale.
ten Lig. tibio-calcaneo-naviculare, vorderes Bündel zur Tuberosität des Schiffbeins.
ten' von der Spitze des medialen Knöchels abwärts, *ten''* vom hinteren obern Rande des Schiffbeins rückwärts, *ten'''* vom Rande der Rinne des M. flexor hall. long., vorwärts verlaufende, zur Bandscheibe des Ligaments (*ten**) zusammentretende Fasern.
tcp Lig. talo-calcaneum posticum.
tfa Lig. talo-fibulare anticum.
Tp M. tibialis post.
ttp Lig. talo-tibiale post.

III.

· MYOLOGISCHER THEIL.

Oberflächliche Rückenmuskeln. Erste Schichte. Der hintere Theil des M. deltoideus ist abgeschnitten.

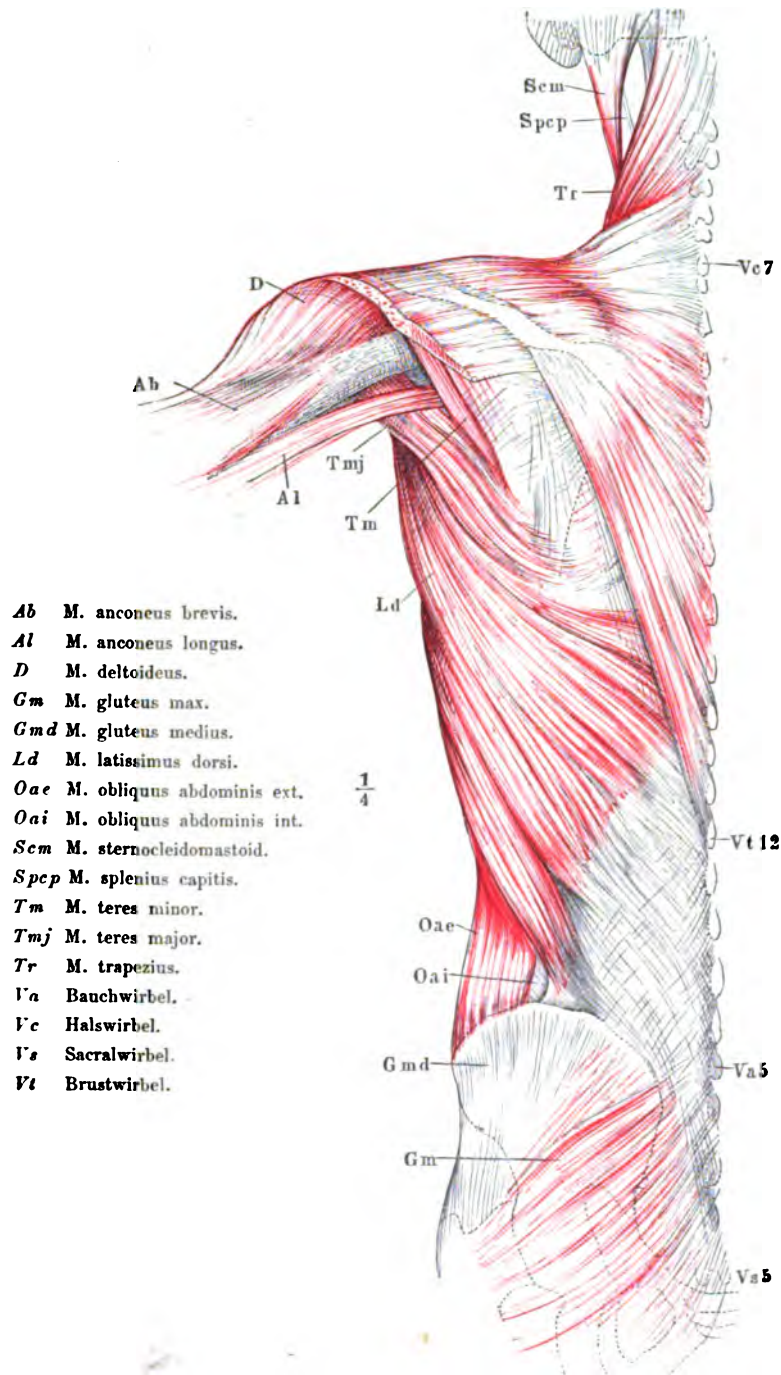
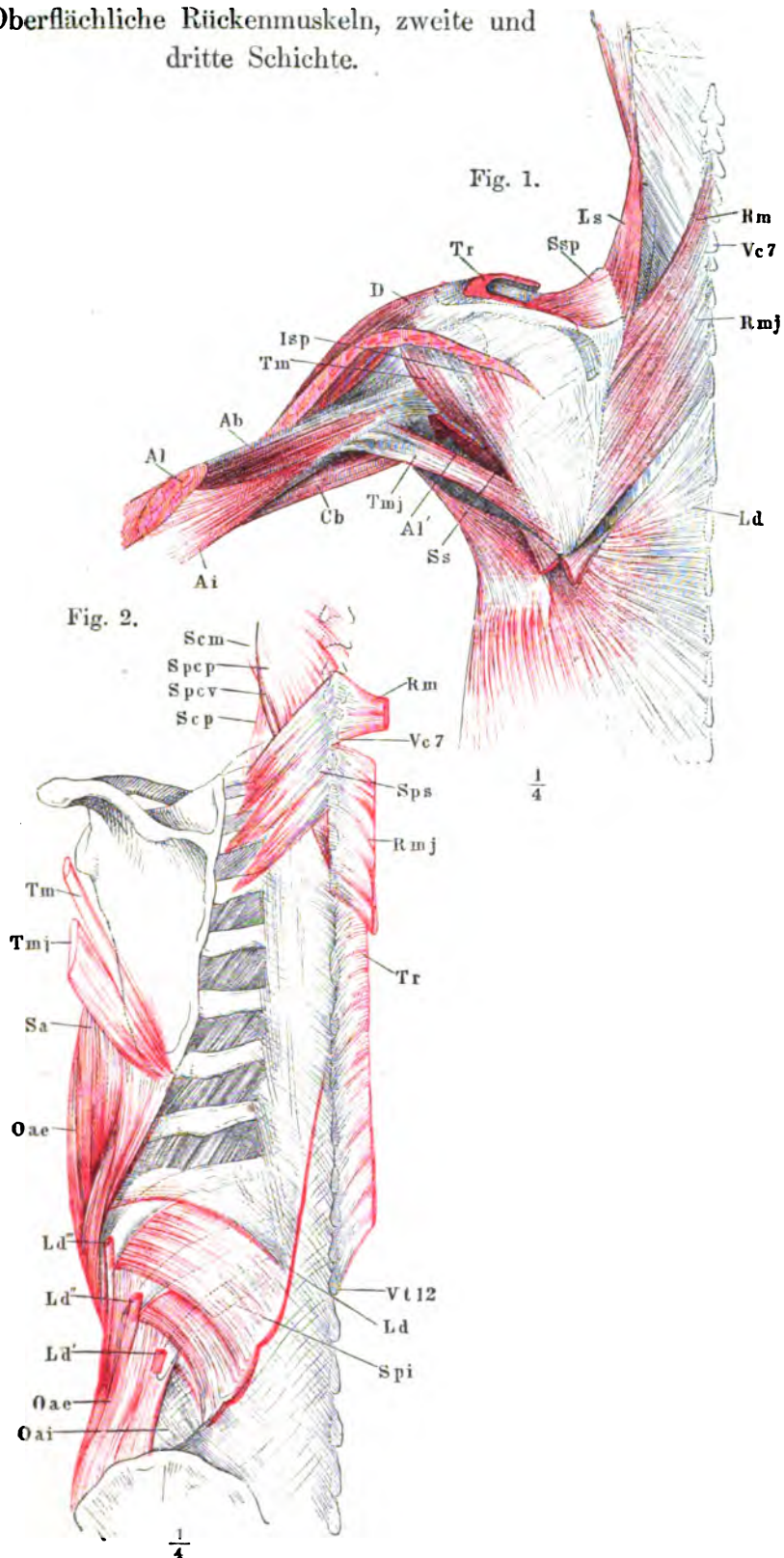


Fig. 1. Zweite Schichte der oberflächlichen Rückenmuskeln. *M. trapezius* bis auf die Insertion am Schultergürtel abgeschnitten. Vom *M. deltoideus* ein Stück ausgeschnitten. *M. latissimus dorsi* hinter der Spitze des Schulterblatts eine kurze Strecke vertical gespalten und die Ränder der Spalte nach unten umgeschlagen. Der Arm gehoben und stark vorwärts rotirt. Vom *M. anconeus long.* ist ein Stück, welches den *M. teres major* von hinten her deckt, entfernt.

Fig. 2. Dritte Schichte der oberflächlichen Rückenmuskeln. *Mm. trapezius* und *rhomboidei* am Ursprunge abgeschnitten und zurückgeschlagen. Die Rücken- und Rippenursprünge des *M. latiss. dorsi* ebenfalls am Ursprunge, *M. teres maj.* und *minor* an der Insertion abgeschnitten.

| | |
|-------------|--|
| <i>Ab</i> | <i>M. anconeus brevis.</i> |
| <i>Ai</i> | <i>M. anconeus internus.</i> |
| <i>Al</i> | <i>M. anconeus longus. Al'</i> Ursprung desselben. |
| <i>Cb</i> | <i>M. coracobrachialis.</i> |
| <i>D</i> | <i>M. deltoideus.</i> |
| <i>Isp</i> | <i>M. infraspinatus.</i> |
| <i>Ld</i> | <i>M. latissimus dorsi, Ursprung v. d. Fascia lumbodorsalis; Ld', Ld'', Ld'''</i> Rippenursprünge. |
| <i>Ls</i> | <i>M. levator scapulae.</i> |
| <i>Oac</i> | <i>M. obliquus abdominis ext.</i> |
| <i>Oai</i> | <i>M. obliquus abdominis int.</i> |
| <i>Rm</i> | <i>M. rhomboideus min.</i> |
| <i>Rmj</i> | <i>M. rhomboideus maj.</i> |
| <i>Sa</i> | <i>M. serratus ant.</i> |
| <i>Scm</i> | <i>M. sternocleidomastoid.</i> |
| <i>Scp</i> | <i>M. scalenus post.</i> |
| <i>Spcp</i> | <i>M. splenius capitis.</i> |
| <i>Spcv</i> | <i>M. splenius cervicis.</i> |
| <i>Sp i</i> | <i>M. serrat. post. inf.</i> |
| <i>Sp s</i> | <i>M. serrat. post. sup.</i> |
| <i>Ss</i> | <i>M. subscapularis.</i> |
| <i>Ssp</i> | <i>M. supraspinat.</i> |
| <i>Tm</i> | <i>M. teres minor.</i> |
| <i>Tmj</i> | <i>M. teres major.</i> |
| <i>Tr</i> | <i>M. trapezius.</i> |
| <i>Vc</i> | Halswirbel. |
| <i>Vt</i> | Brustwirbel. |



- Fig. 1. Vierte Schichte der Rückenmuskeln. Mm. trapezius, latiss. dorsi und rhomboidei wie in Tafel LVII, Fig. 2. M. serrat. post. sup. durchschnitten und nach beiden Seiten zurückgeschlagen.
- Fig. 2. Dieselben Muskeln. Profilsansicht.
- Fig. 3. Tiefe Rückenmuskeln, unterer Theil. M. iliocostalis lumborum quer durchschnitten, das obere Ende lateralwärts umgelegt.
- Fig. 4. Tiefe Rückenmuskeln; oberer Theil. M. iliocostalis cervicis, lateralwärts umgelegt.
- Fig. 5. Doppelte Insertionsfascikel des M. longissimus an den Bauchwirbeln, durch Entfernung des M. iliocostalis lumborum und der oberflächlichen Muskelmasse des Longissimus freigelegt.

| | |
|-------------|---|
| <i>Fld</i> | Fascia lumbodorsalis, zurückgeschlagen. |
| <i>Icc</i> | M. iliocostalis cervicis. |
| <i>Icd</i> | M. iliocostalis dorsi. |
| <i>Icl</i> | M. iliocostalis lumborum. |
| <i>Ld</i> | M. latissimus dorsi. |
| <i>Lgcp</i> | M. longiss. capitis (<i>trachelomastoideus</i>). |
| <i>Lgcv</i> | M. longiss. cervicis (<i>transversal. cerv.</i>). |
| <i>Lgd</i> | M. longiss. dorsi. |
| <i>Ls</i> | M. levator scapulae. |
| <i>Mf</i> | M. multifidus. |
| <i>Oae</i> | M. obliquus abdom. ext. |
| <i>Rm</i> | M. rhomboid. min. |
| <i>Rmj</i> | M. rhomboid. maj. |
| <i>Scm</i> | M. sternocleidomastoideus. |
| <i>Scmd</i> | M. scalenus medius. |
| <i>Sep</i> | M. scalenus post. |
| <i>Scs</i> | M. sacrospinalis. <i>Scs*</i> medialer, <i>Scs**</i> lateraler Theil desselben. |
| <i>Spcp</i> | M. splenius capitis. |
| <i>Spcv</i> | M. splenius cervicis. |
| <i>Sp s</i> | M. serratus post. sup. |
| <i>Sscp</i> | M. semispinalis capitis (<i>biventer</i> u. <i>complexus</i>). |
| <i>Tr</i> | M. trapezius. |
| <i>Va</i> | Bauchwirbel. |
| <i>Vc</i> | Halswirbel. |
| <i>Vt</i> | Brustwirbel. |

Oberflächl. Rückenmuskeln, vierte Schichte. Tiefe Rückenmuskeln. 103

Fig. 1.

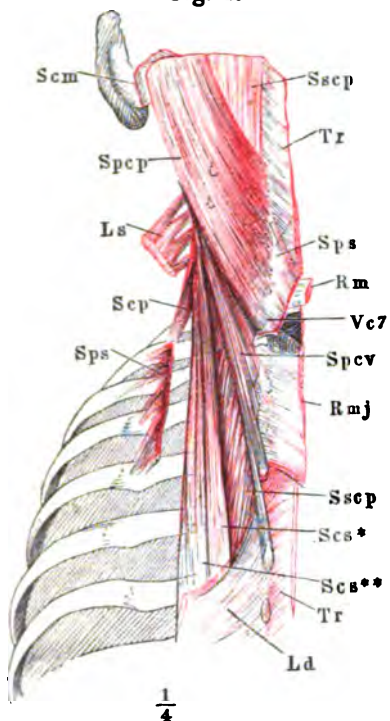


Fig. 2.

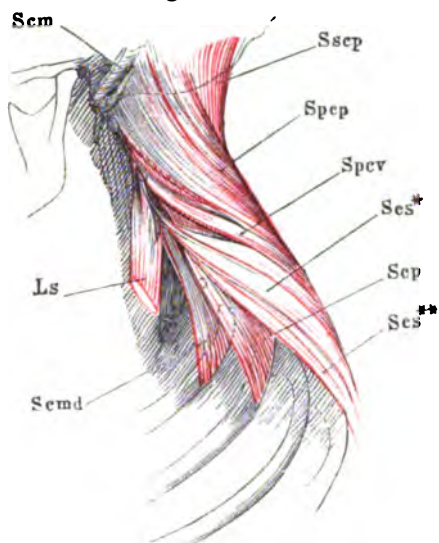


Fig. 3.

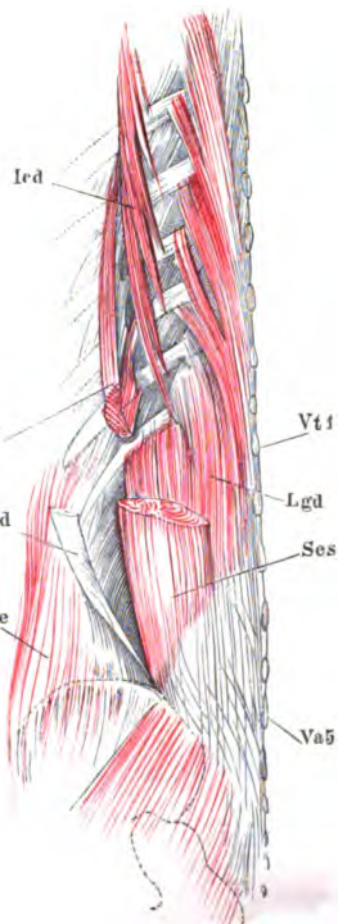


Fig. 4.

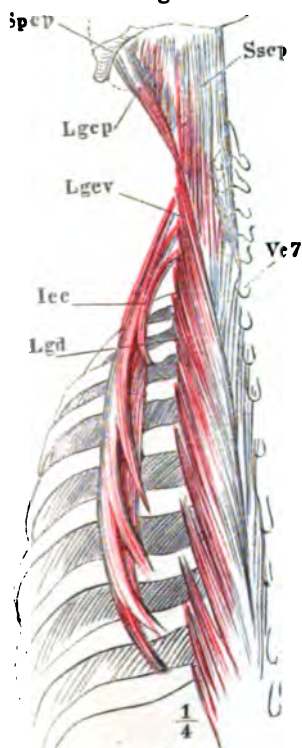


Fig. 5.

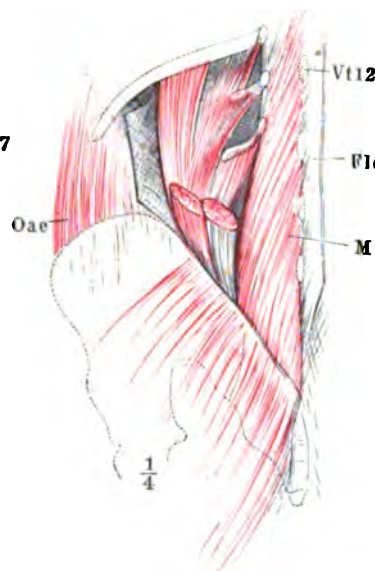
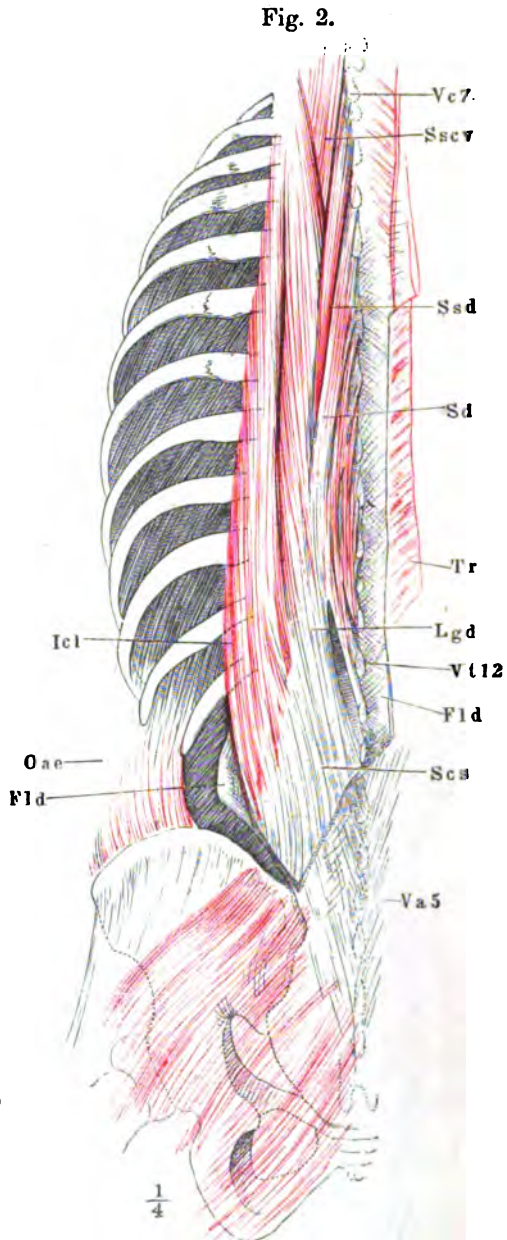
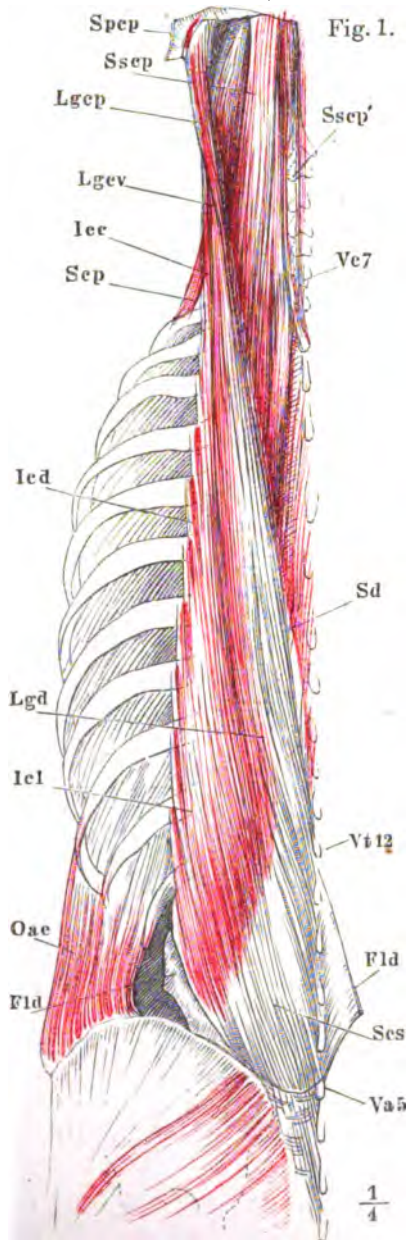


Fig. 1. Tiefe Rückenmuskeln; der untere Theil der Fascia lumbodorsalis vertical gespalten und nach beiden Seiten zurückgeschlagen. — Fig. 2. Dieselben. Fascia lumbodorsalis, wie in Fig. 1. *M. longissimus dorsi* seitwärts abgelenkt, um die Zacken des *M. spinalis dorsi* sichtbar zu machen.



Fld Fascia lumbodorsalis.
Icc *M. iliocostalis cervicis*.
Icd *M. iliocostalis dorsi*.
Icl *M. iliocostalis lumborum*.
Lgep *M. longiss. capitis*.
Lgev *M. longiss. cervicis*.

Lgd *M. longiss. dorsi*.
Oae *M. obliquus abdom. ext.*
Scp *M. scalenus post.*
Scs *M. sacrospinalis*.
Sd *M. spinalis dorsi*.
Ssep *M. splenius capitis*.
Ssep' *M. semispinalis capitis*.

Sscv *M. semispinalis cervicis*.
Ssd *M. semispinalis dorsi*.
Tr *M. trapezius*.
Va Bauchwirbel.
Vc Halswirbel.
Vt Brustwirbel.

Tafel LX. Rückenmuskeln. (1/4 natürl. Grösse.) 105

Fig. 1. Tiefe Rückenmuskeln. M. longissimus lateralwärts umgelegt. M. spinalis dorsi am Ursprung auf der Sehne des M. longissimus dorsi abgeschnitten.

Fig. 2. Tiefe Rückenmuskeln. M. iliocostalis medianwärts umgelegt, um dessen Rippen und Halswirbel-Insertionen zu zeigen.

Fig. 1.

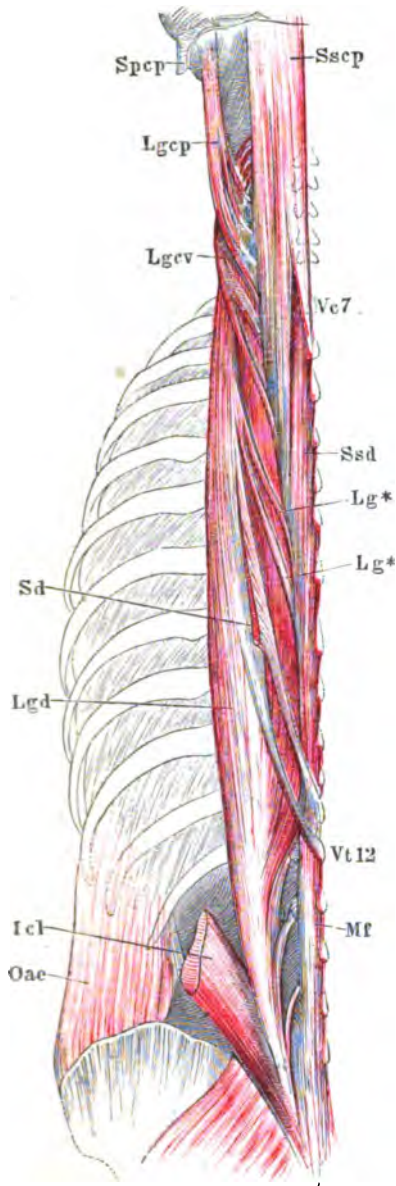
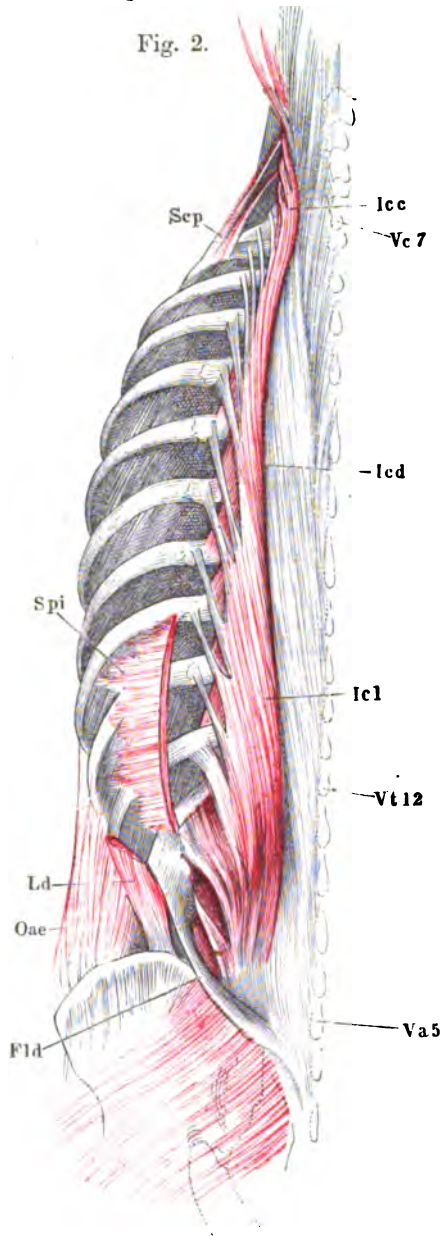


Fig. 2.



L'd Fascia lumbodorsalis.

cc M. iliocostalis cervicis.

Icd M. iliocostalis dorsi.

Icl M. iliocostalis lumborum.

Ld M. latiss. dorsi.

*Lg** Accessorische Ursprünge des M. longissimus.

Lgcp M. longiss. capitis.

Lgecv M. longiss. cervicis.

Lgd M. longiss. dorsi.

Mf M. multifidus.

Oae M. obliquus abdom. ext.

Scp M. scalenus posticus.

Sd M. spinalis dorsi.

Spcp M. splenius capitis, Insertion.

Spi M. serratus post. inf.

Sscp M. semispinalis capitis.

Ssd M. semispinalis dorsi.

Va Bauchwirbel.

Vc Halswirbel.

Vt Brustwirbel.

Tiefe Rückenmuskeln nach Wegnahme des *M. sacrospinalis*. *M. semispinalis capitis* in der Nähe der Insertion quer durchschnitten und lateralwärts umgelegt.

- Fld* Fascia lumbodorsalis.
Itpl *M. intertransversarius post. lateralis* (d. Bauchwirbel).
Itpm *M. intertransversarius post. medialis* (d. Bauchwirbel).
Lcb *M. levator costae brevis*.
Lcl *M. levator costae long.*
Lgd *M. longissimus dorsi*.
Mf *M. multifidus*.
Oae *M. obliquus abd. ext.*
Scv *M. spinalis cervicis*.
Ssep *M. semispinalis capitis*.
Sscv *M. semispinalis cervicis*.
Ssd *M. semispinalis dorsi*.
Vc Halswirbel.
Vt Brustwirbel.

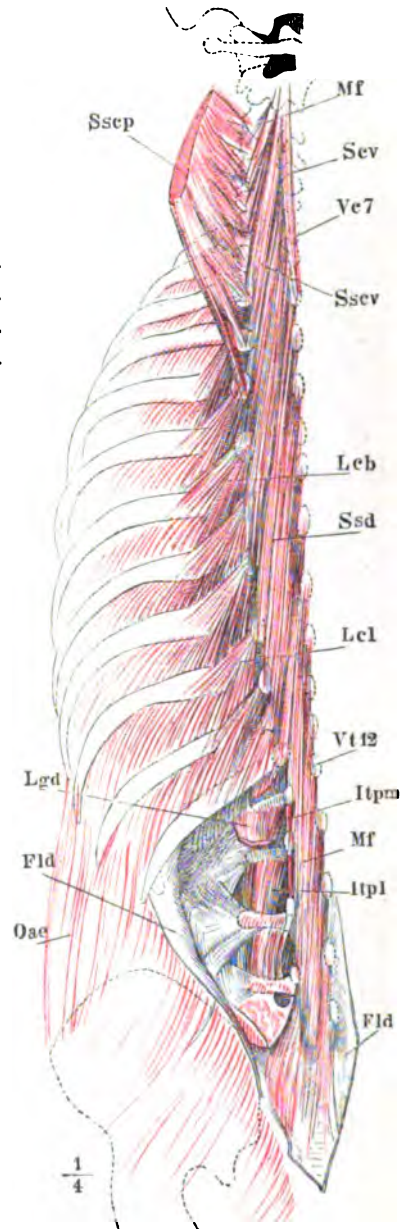


Fig. 1. Tiefste Schichte des M. transversospinalis.

Fig. 2. Tiefe Rücken- und Nackenmuskeln, nach Entfernung der Mm. sacrospinalis und semispinalis.

Fig. 1.

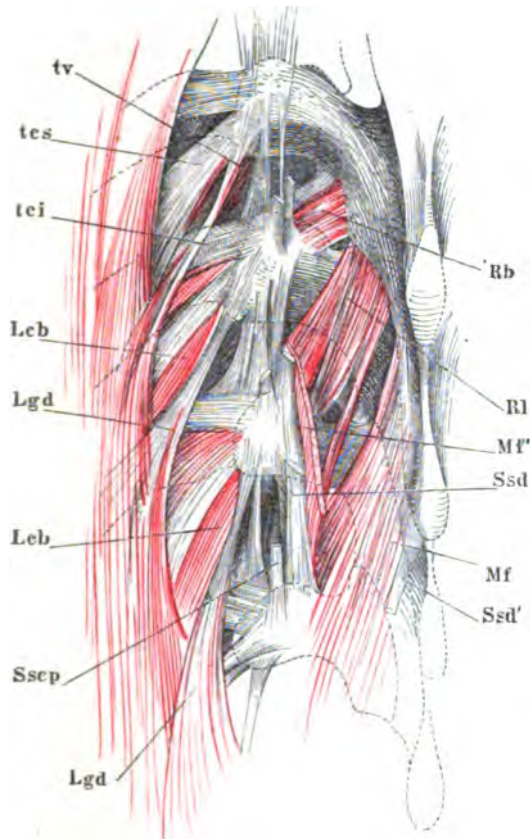
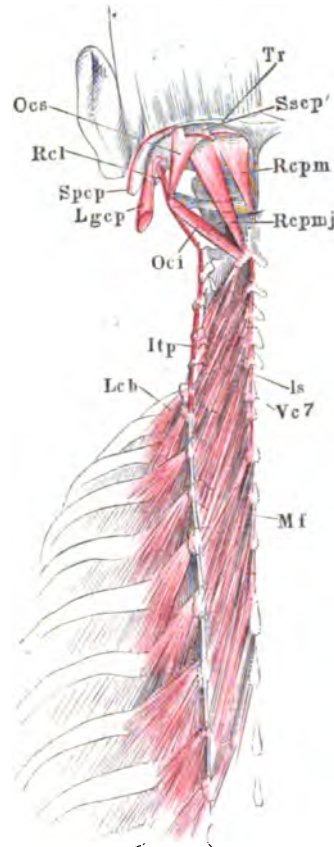


Fig. 2.



$\frac{1}{2}$

- | | |
|---|--|
| <i>Is</i> M. interspinalis. | <i>Rcpmj</i> M. rectus capitis posterior maj. |
| <i>Itp</i> M. intertransversarius post. (der Halswirbel). | <i>Rl</i> M. rotator dorsi long. |
| <i>Lcb</i> M. levator costae brevis. | <i>Scv</i> M. spinalis cervicis. |
| <i>Lgcp</i> M. longissimus capitis. | <i>Spcp</i> M. splenius capitis. |
| <i>Lgd</i> M. longissimus dorsi. | <i>Sscp</i> M. semispinalis capitis, Ursprung. <i>Sscp'</i> derselbe, Insertion. |
| <i>Mf</i> M. multifidus. <i>Mf'</i> Abgeschnittener Ursprung desselben. | <i>Ssd</i> M. semispinalis dorsi. <i>Ssd'</i> Insertionssehne desselben. |
| <i>Oci</i> M. obliquus capitis inf. | <i>tei</i> Lig. tuberculi costae inf. |
| <i>Ocs</i> M. obliquus capitis sup. | <i>tes</i> Lig. tuberculi costae sup. |
| <i>Rb</i> M. rotator dorsi brevis. | <i>Tr</i> Ursprung des M. trapezius. |
| <i>Rcl</i> M. rectus capitis lateralis. | <i>tv</i> Lig. tuberositatum vertebr. |
| <i>Rcpm</i> M. rectus capitis posterior minor. | <i>Vc</i> Halswirbel. |

- Fig. 1. Vordere Bauchwand von vorn, *M. obliquus abd. externus*. Samenstrang am Austritt aus der Bauchwand, Penis an der Wurzel abgeschnitten.
- Fig. 2. Bauchwand von vorn, das vordere Blatt der Scheide des *M. rectus abd.* durch einen Verticalschnitt geöffnet und nach beiden Seiten zurückgeschlagen.
- Fig. 3. Vordere Bauchwand, hintere Fläche, nach Entfernung des Peritoneum. Der Samenstrang beim Eintritt in die Bauchwand abgeschnitten, die Harnblase über dem untern Ende abgeschnitten und zurückgeschlagen.

-
- A* Adminiculum lineae albae.
- Ci* Unterer Schenkel des Leistenrings.
- Cs* Oberer Schenkel des Leistenrings.
- Ffi* Fibræ intercolumnares.
- il* Lig. inguinale int. laterale.
- im* Lig. inguinale int. mediale.
- Ld* *M. latissimus dorsi*.
- Lsp* Lig. suspensorium penis mediale.
- Oac* *M. obliquus abdominis ext.*
- Pmj** Fascikel des *M. pectoralis maj.*, welches in die Sehne des *M. obliquus abd. ext.* übergeht.
- Ps* Plica semilunaris fasciae transversalis.
- Py* *M. pyramidalis*.
- Ra* *M. rectus abdominis*. *Ra*¹ Laterale, *Ra*² Mediale Sehne desselben.
- Sa* *M. serrat. ant.*
- Vra* Vorderes Blatt der Scheide des *M. rectus*.
- 1 Samenstrang.
- 2 Ursprung des Arcus tendineus der Beckenfascie (*Lig. puboprostaticum*).
- 3 Blase.
- * Den Hintergrund des Leistenrings umkleidende Portion des Lig. Gimbernati (*Lig. Gimbernati reflexum m.*)
- † Schnitttrand, an welchem der obere Schenkel des Leistenrings abgetrennt ist.

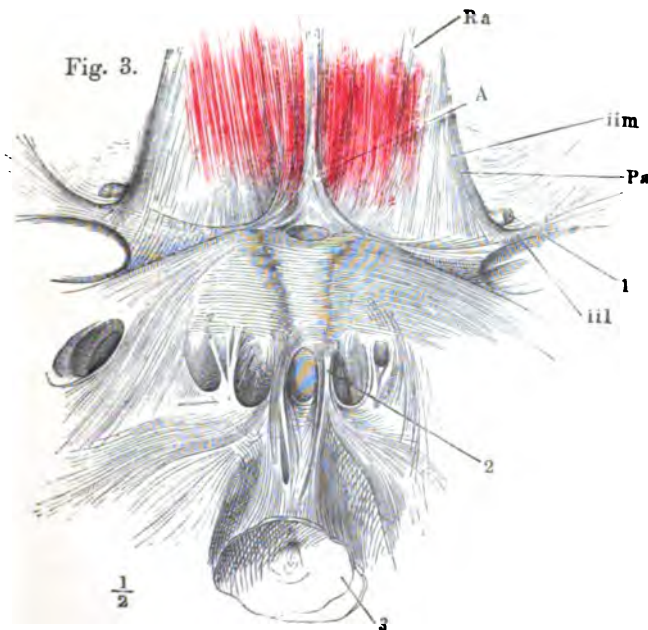
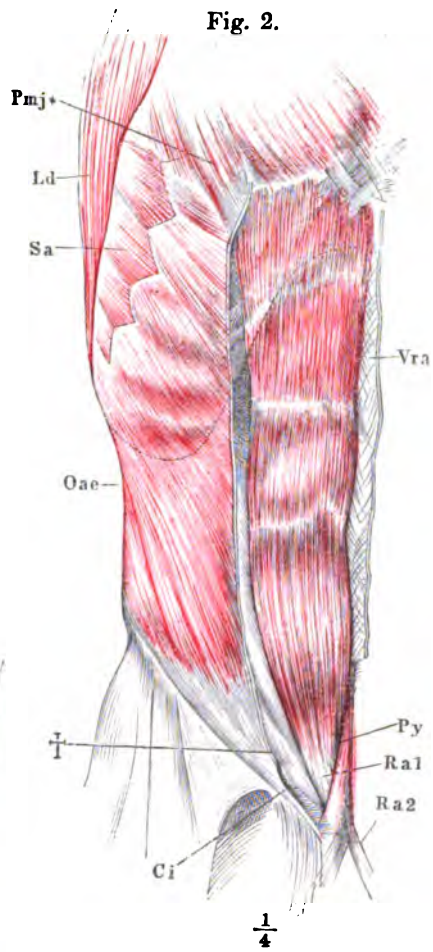
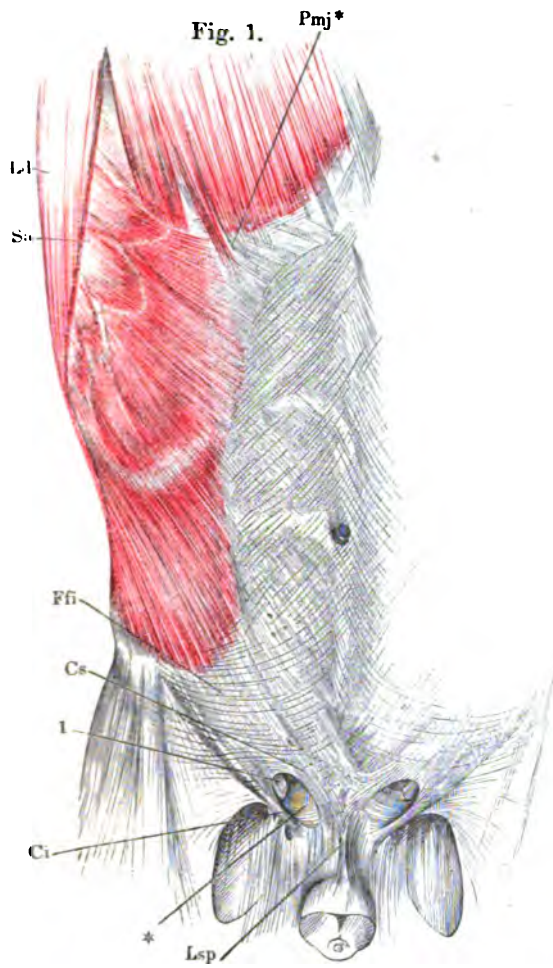


Fig. 1. Bauchwand im Profil. *M. obliquus abdominis ext.*

Fig. 2. Bauchwand im Profil. Der *M. obliq. abd. ext.* dicht unter den Rippenursprüngen, über dem Beckenursprunge und am Schenkelbogen abgeschnitten; der Beckenursprung nach unten umgeschlagen. *M. obliquus abdominis int.*

Fig. 3. Unterer Theil der vordern Bauchwand mit dem obern Theile des sanft gebeugten und auswärts gerollten Schenkels. Die oberflächliche Schenkelfascie über dem *M. sartorius* der Länge nach eingeschnitten und nach beiden Seiten zurückgeschlagen. Die Fascie des *M. iliopsoas* schräg eingeschnitten, um die Faserung dieses Muskels und den *N. cruralis* sichtbar zu machen. Die tiefe Schenkelfascie vom Ursprung des *M. pectineus* an abgeschnitten.

-
- | | |
|------------|--|
| <i>Ac</i> | <i>Arcus cruralis (Lig. Pouparti).</i> |
| <i>Afl</i> | <i>M. adductor fem. long.</i> |
| <i>Afm</i> | <i>M. adductor fem. magnus.</i> |
| <i>Ci</i> | Unterer Schenkel des Leistenrings. |
| <i>Cs</i> | Oberer Schenkel des Leistenrings. |
| <i>Fld</i> | <i>Fascia lumbodorsalis.</i> |
| <i>G</i> | <i>Lig. Gimbernati.</i> |
| <i>Ie</i> | <i>M. intercostalis ext.</i> |
| <i>ie</i> | <i>Lig. inguinale ext.</i> |
| <i>Ii</i> | <i>M. intercostalis int.</i> |
| <i>Ip</i> | <i>M. iliopsoas.</i> |
| <i>Ld</i> | <i>M. latissimus dorsi.</i> |
| <i>Nc</i> | <i>N. cruralis.</i> |
| <i>Ncl</i> | <i>N. cutaneus lateralis (N. cut. ext.).</i> |
| <i>Oae</i> | <i>M. obliquus abdom. ext. Oae*</i> Zacke desselben vom <i>Lig. lumbodorsale. Oae†</i> Schnitttrand des <i>M. obliq. abdom. ext.</i> längs der Verbindung mit dem <i>M. obliq. abd. int.</i> |
| <i>Pe</i> | <i>M. pectineus.</i> |
| <i>Pmj</i> | <i>M. pectoralis major.</i> |
| <i>Sa</i> | <i>M. serratus ant.</i> |
| <i>Sar</i> | <i>M. sartorius.</i> |
| <i>1</i> | Samenstrang. |
| * | Lateraler Rand der Scheide des <i>M. rectus.</i> |
| ** | Knorpelstreif und <i>Inscriptio tendinea</i> des <i>M. obliq. abd. int.</i> in der Flucht der elften Rippe. |

Fig. 1.

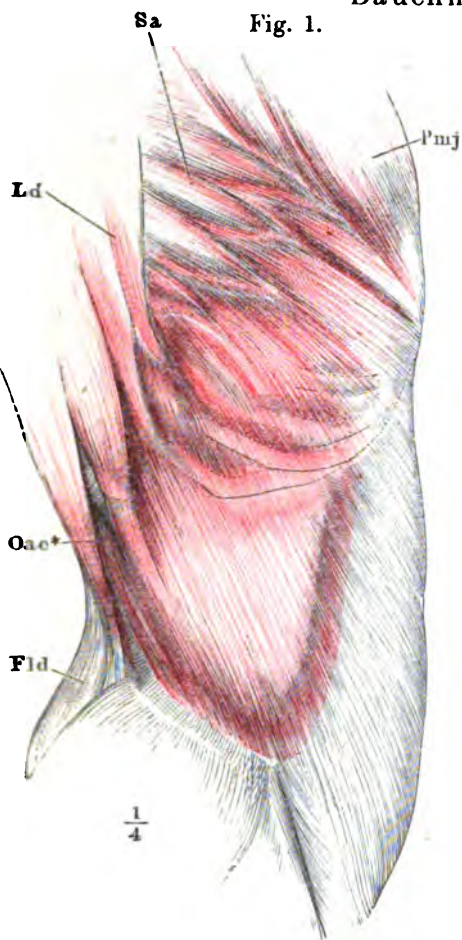


Fig. 2.

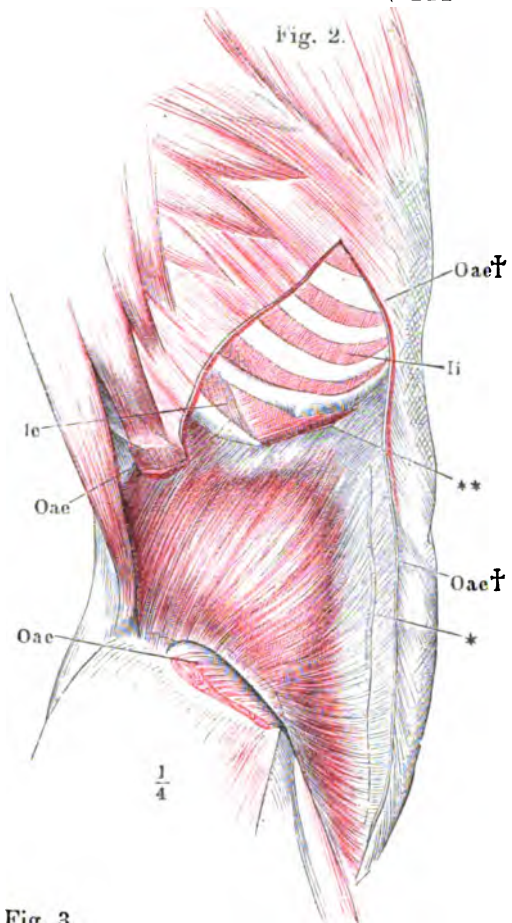
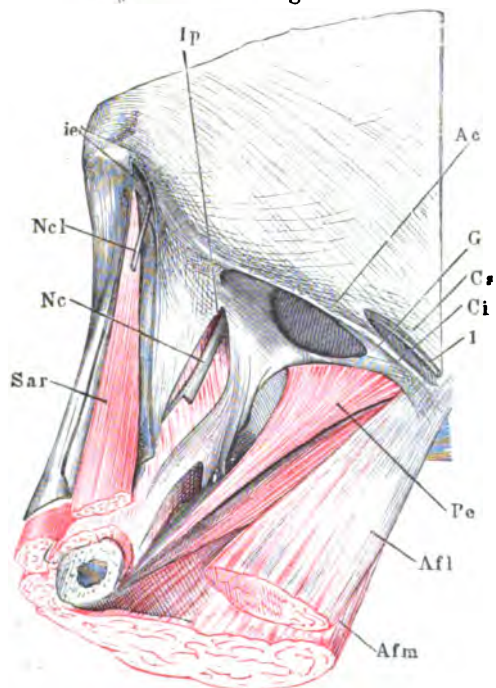


Fig. 3.



- Fig. 1. Bauchwand von vorn. *M. obliquus abdom. ext.* durchschnitten und dicht an den Rippenursprüngen weggenommen. *M. obliq. abdom. int.*
- Fig. 2. Bauchwand von vorn. *M. obliquus abdom. ext.* und *int.* bis auf die herabgeschlagenen Beckenursprünge entfernt. Die Scheide des *M. rectus abd.* durch einen Verticalschnitt geöffnet. Der mediale Theil des vordern Blattes, mit den Spuren der Verwachsungsstellen des *M. rectus abd.* an den *Inscriptiones tendineae*, zurückgeschlagen. *M. rectus abd.* bis auf Ursprung und Insertion ausgeschnitten. *M. transversus abd.*
- Fig. 3. Horizontalschnitt der Bauchwand durch den Körper des dritten Bauchwirbels.
- Fig. 4. Sagittalschnitt der Bauchwände und des Oberschenkels durch das Hüftgelenk. Laterale Schnittfläche.

| | |
|------------|---|
| <i>Cp</i> | Schenkelkopf. |
| <i>Crm</i> | <i>M. cremaster.</i> |
| <i>Ffs</i> | Oberflächl. Blatt der Schenkelfascie. |
| <i>Fil</i> | <i>Fascia iliaca.</i> |
| <i>Fld</i> | <i>Fascia lumbodorsalis.</i> |
| <i>Fs</i> | <i>Fascia superficialis.</i> <i>Fs'</i> Befestigung derselben längs der Leistenfurche. |
| <i>Ft</i> | <i>Fascia transversalis.</i> |
| <i>Ie</i> | <i>M. intercostalis ext.</i> |
| <i>ie</i> | <i>Lig. inguinale ext.</i> |
| <i>Ii</i> | <i>M. intercostal. int.</i> |
| <i>Ip</i> | <i>M. iliopsoas.</i> <i>Ip'</i> Sehne desselben. |
| <i>lc</i> | <i>Lig. lumbocostale.</i> |
| <i>Ld</i> | <i>M. latiss. dorsi.</i> |
| <i>Oae</i> | <i>M. obliquus abdom. ext.</i> <i>Oae'</i> Tiefe Zacke, <i>Oae''</i> Sehne, <i>Oae†</i> Schnitttrand des <i>M. obliq. abd. ext.</i> |
| <i>Oai</i> | <i>M. obliq. abdom. int.</i> |
| <i>Ql</i> | <i>M. quadrat. lumborum.</i> |
| <i>Ra</i> | <i>M. rectus abdom.</i> |
| <i>Rf</i> | <i>M. rectus femoris.</i> |
| <i>Sar</i> | <i>M. sartorius.</i> |
| <i>Ta</i> | <i>M. transv. abd.</i> |
| <i>Tta</i> | <i>M. transv. thoracis ant. (triangularis sterni).</i> |
| <i>Va</i> | Bauchwirbel. |
| <i>Vra</i> | Vorderes Blatt d. Scheide d. <i>M. rectus abd.</i> |
| <i>Vrp</i> | Hinteres Blatt d. Scheide d. <i>M. rectus abd.</i> |
| 1 | Samenstrang. |
| 2 | <i>A. epigastrica.</i> |
| * | Lateraler Rand d. Scheide des <i>M. rectus.</i> |
| " " | Knorpelstreif u. <i>Inscriptio tendinea</i> d. <i>M. obliq. abd. int.</i> in d. Flucht d. elften Rippe. |

Fig. 1.

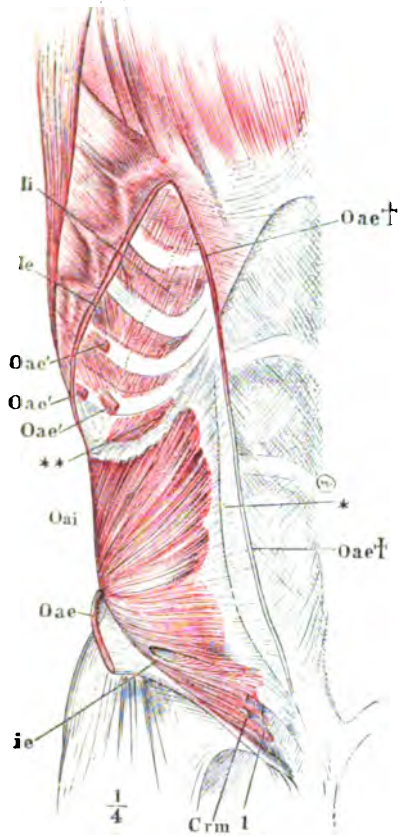


Fig. 2.

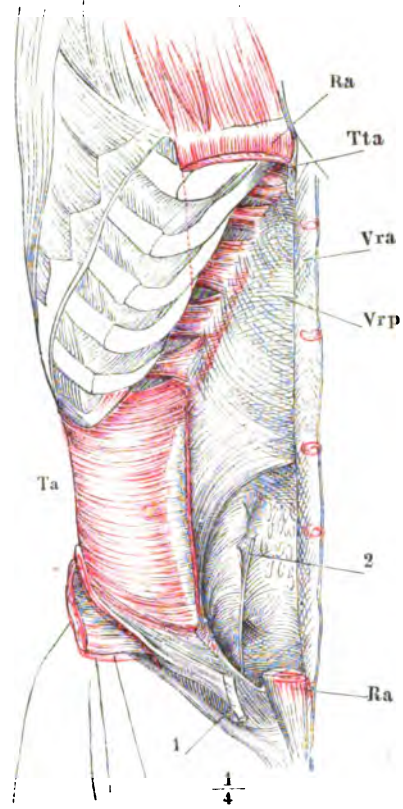


Fig. 3.

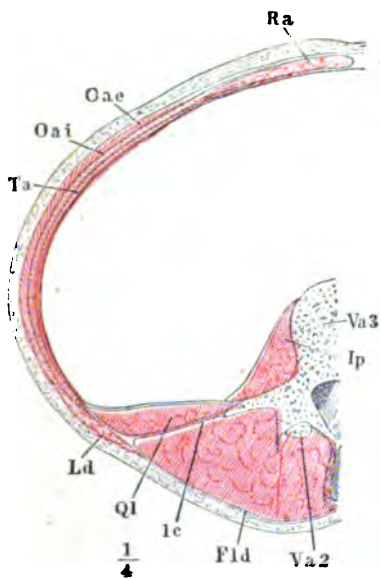
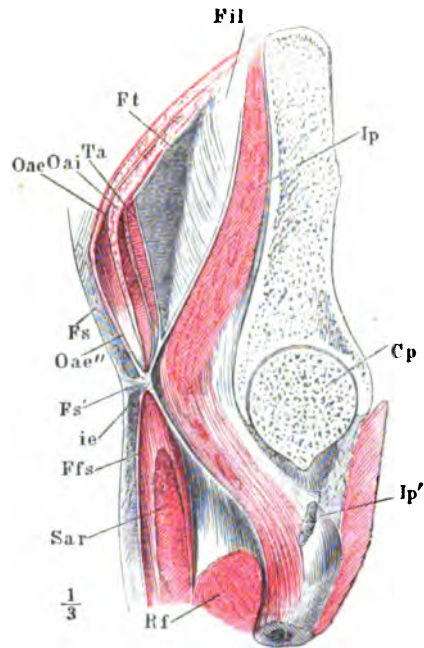


Fig. 4.



- Fig. 1. Vordere Brustwand, von der hintern Fläche, das Zwerchfell transversal durchschnitten und aufwärts geschlagen.
- Fig. 2. Sagittalschnitt der Brust- und Bauchhöhle und des Zwerchfells durch den Rand der zweiten Rippe rechterseits. 1 Lunge. 2 Leber. 3 Niere.
- Fig. 3. Zwerchfell von unten. 1 Hiatus aorticus. 2 Hiatus oesophageus. 3 For. venae cavae.

C Rippe.

Ta M. transv. abdominis.

Tta M. transv. thorac. ant. (*triangularis sterni*).

ip M. iliopsoas.

Ql M. quadrat. lumborum.

Fig. 1.

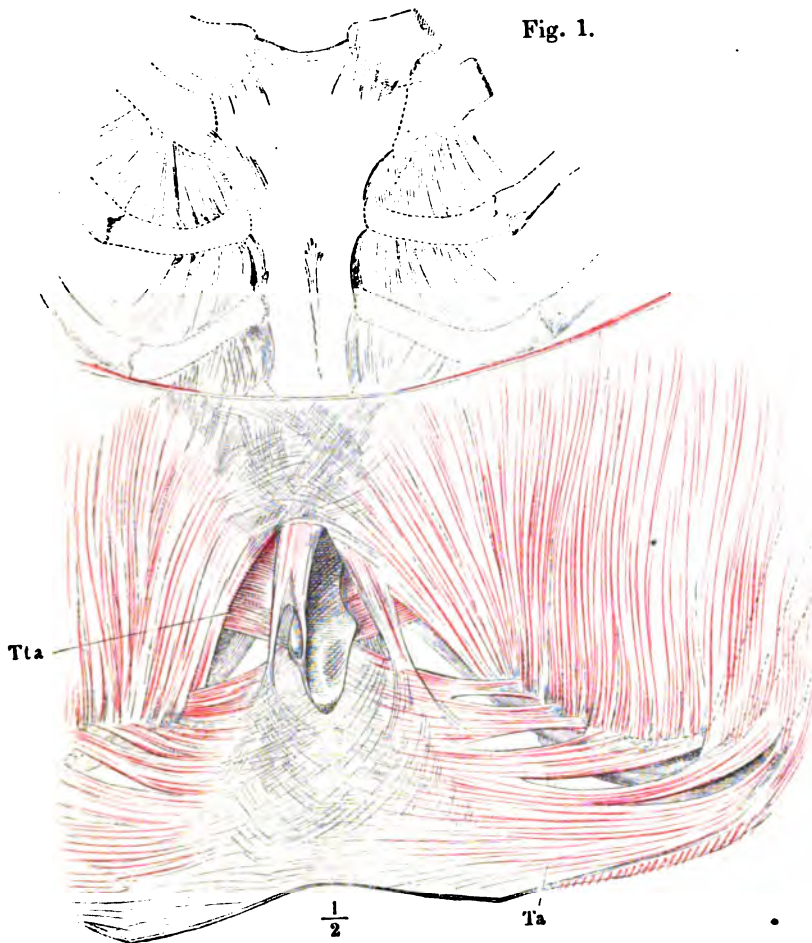


Fig. 2.

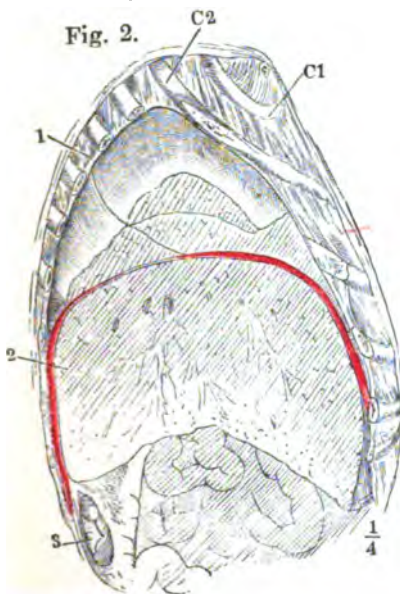


Fig. 3.

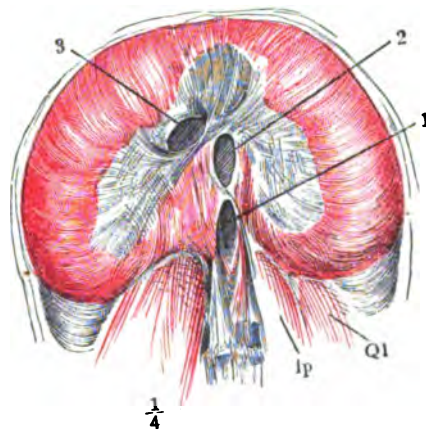


Fig. 1. Frontalschnitt der Brust- und Bauchhöhle und des Zwerchfells an der Spitze der zwölften Rippe. 1 Trachea, an der Theilungsstelle geöffnet. 2, 3 rechte und linke Lunge. 4 Hintere Wand des Pericardium mit den einmündenden Lungenvenen. 5 V. cava inf. 6 Oesophagus. 7 Magen, geöffnet. 8 Leber. 9 Milz im Durchschnitt. 10 Duodenum. 11, 11 Durchschnitte des Colon transvers. 12, 12 Durchschnitte einer Windung des Colon sinistr.

Fig. 2. Vertebraltheil des Zwerchfells; *a*, *b* linke und rechte mediale Zacke; *c*, *d* rechte laterale Zacke; *e*, *f* Costaltheil, durch dessen Zacken die Pleura (*) sichtbar wird. 1 Hiatus aorticus. 2 Hiatus oesophageus. 3 For. venae cavae.

C Rippe.

Ip, *Ip* Ursprungszacken des medialen Kopfs des
M. iliopsoas.

Psm M. psoas minor.

Ql M. quadrat. lumb.

Ta M. transversus abdominis.

Va Bauchwirbel.

- Fig. 1. Oberflächliche Brustmuskeln, Profilansicht.
 Fig. 2. *M. pectoralis major*, von vorn.
 Fig. 3. Vordere Brustwand, nach Entfernung der vordern Hälfte des *M. deltoideus* und des *M. pectoralis maj.*
 Fig. 4. Schulterblatt mit den an demselben haftenden Muskeln, von vorn.

-
- Aac* Articulatio acromio-clavicularis.
ac Lig. acromio-claviculare.
Bl Sehne des langen Kopfs des *M. biceps brachii*.
D *M. deltoideus*.
Ld *M. latissimus dorsi*.
Ls *M. levator scapulae*, Insertion.
Oae *M. obliquus abdominis ext.*
Oh *M. omohyoideus*, Ursprung.
Pc Processus coracoideus des Schulterblatts.
Pm *M. pectoralis minor*.
Pmj *M. pectoralis major*. *Pmj*¹ Clavicularportion. *Pmj*² oberflächliche, *Pmj*³ tiefe Schichte der Sternocostalportion. *Pmj** Zacke desselben, welche sich mit dem *M. obliquus abdominis ext.* verbindet.
Rm *M. rhomboideus minor*, Insertion.
Rmj *M. rhomboideus major*, Insertion.
Sa *M. serratus anticus*, *Sa*¹ obere, *Sa*² mittlere, *Sa*³ untere Abtheilung.
Sc *M. subclavius*.
Scm *M. sternocleidomastoideus*.
Ss *M. subscapularis*.
Tmj *M. teres major*, Ursprung.
Tr *M. trapezius*.
ts Ligamentum transversum scapulae proprium superius.
 1 Bündel der Armgefäße und Nerven.
 * Gemeinsamer Ursprung des kurzen Kopfs des *M. biceps brachii* und des *M. coracobrachialis*.

Fig. 2.

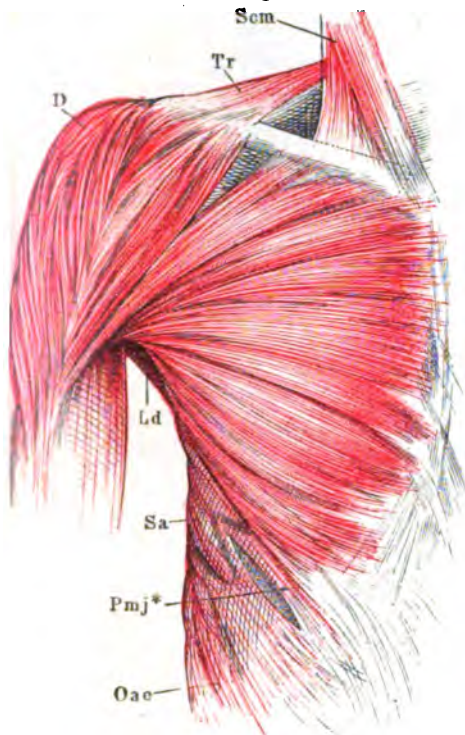


Fig. 1.

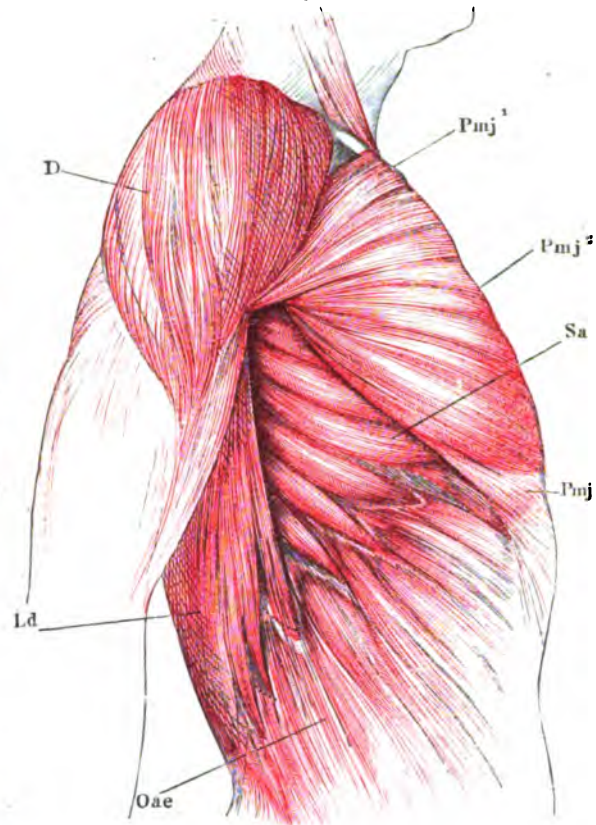


Fig. 3.

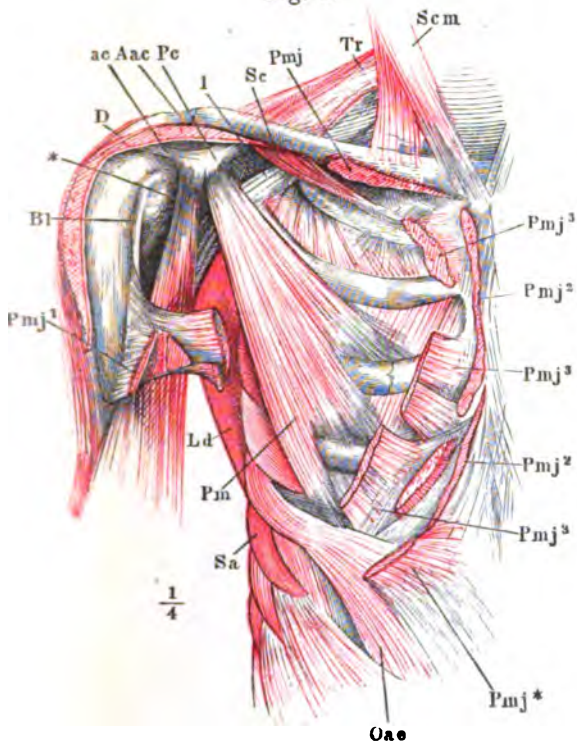
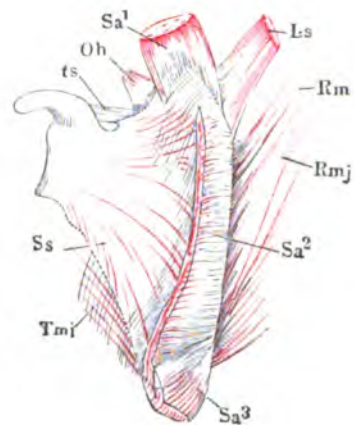


Fig. 4.



- Fig. 1. Vordere Brustwand, fast Profil. *M. serratus anticus*. Der *M. pectoralis major* ist völlig u. *M. pectoralis minor* bis auf die Ursprünge entfernt. Das Schlüsselbein ist durchsägt und das laterale Schnittende (*C*†) mit dem Schulterblatt seitwärts umgestülpt; die Rippenzacken des *M. latissimus dorsi* dicht am Ursprünge abgeschnitten.
- Fig. 2. Hintere Brustwand, von innen, nach Entfernung der Pleura. *M. transversus thoracis posterior*.
- Fig. 3. Vordere Brustwand, von innen. *M. transversus thoracis ant.*
- Fig. 4. (Nach Piragoff.) Horizontalschnitt des Brustkorbs in der Nähe des unteren Randes des vierten Brustwirbelkörpers.

C Schlüsselbein.

*C*³, *C*⁴, *C*⁵ Dritte bis fünfte Rippe, Querschnitt.

Dp Zwerchfell, an den Ursprüngen von den Rippen und von der Sehne des *M. transversus abdominis* abgeschnitten.

I Intercostalmuskeln, im Querschnitt.

Ie *M. intercostalis externus*.

Ii *M. intercostalis internus*.

Isp *M. infra-spinatus*.

Ld *M. latissimus dorsi*.

Ls *M. levator scapulae*.

Oae *M. obliquus abdominis ext.*

Oh *M. omohyoideus*.

Pm *M. pectoralis minor*. *Pm** Tiefe Zacke desselben.

Pmj *M. pectoralis major*.

Ql *M. quadratus lumborum*.

S Brustbein, Querschnitt.

S' Schulterblatt, Querschnitt.

Sa *M. serratus anticus*.

Scm *M. sternocleidomastoideus*.

Ss *M. subscapularis*.

Ssp *M. supraspinatus*.

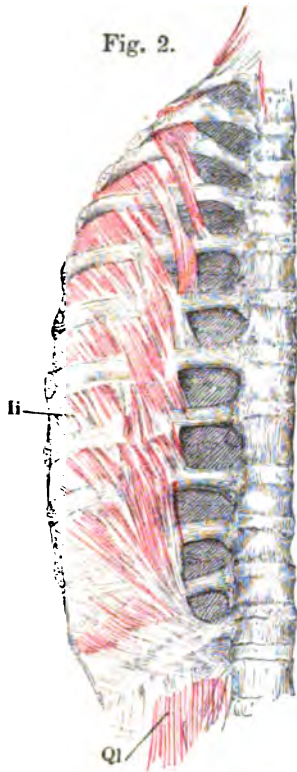
Ta *M. transversus abdominis*.

Tmj *M. teres major*.

ts Ligament. transversum scapulae propr. superius.

Vt Brustwirbel.

Fig. 2.



Oberflächl. u. tiefe
Brustmuskeln.

Fig. 1.

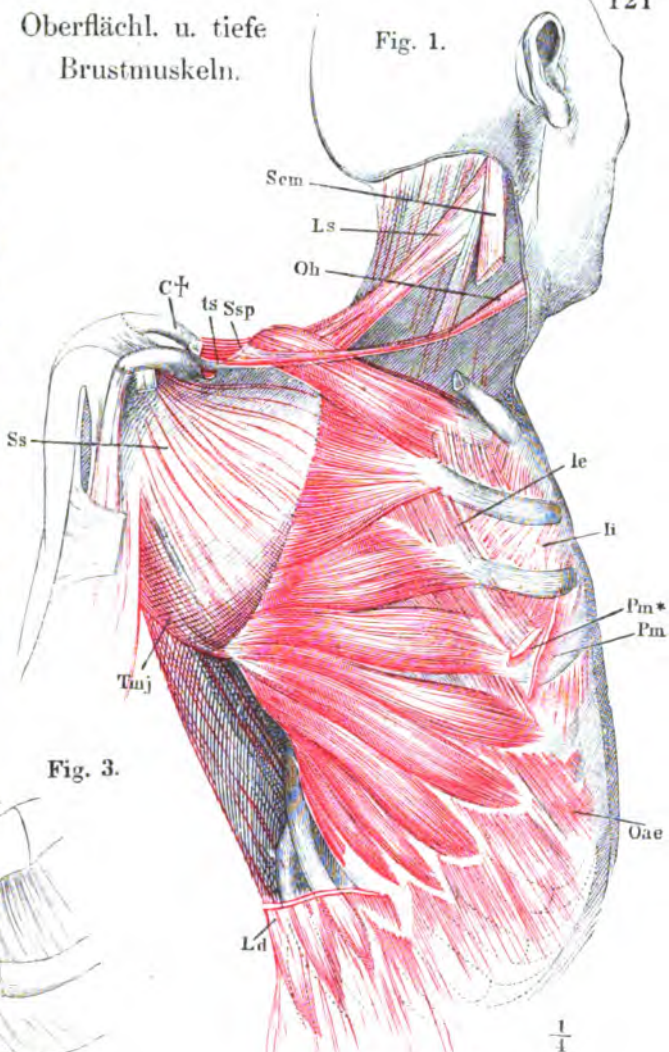


Fig. 3.

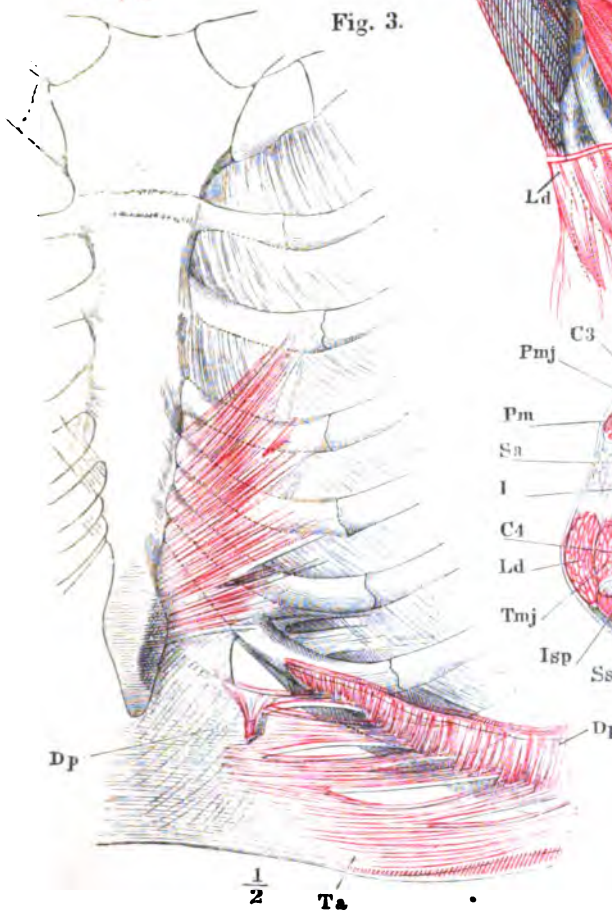
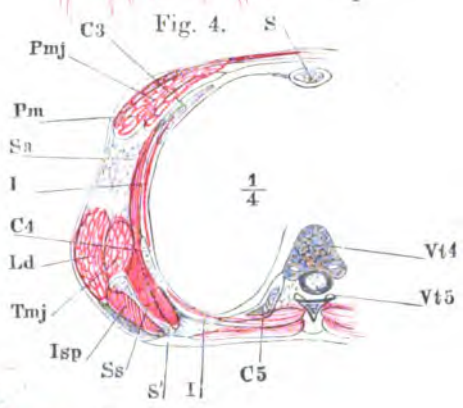


Fig. 4.



$\frac{1}{2}$

Ta

Fig. 1. *M. subcutaneus colli*, von vorn. — Fig. 2. Medianschnitt d. Unterkiefergegend.

Bm² Vorderer Bauch des *M. biverter mandib. (digastricus maxillae inferioris)*.

Gg *M. genioglossus*.

Gh *M. geniohyoideus*.

h Zungenbein.

Mh *M. mylohyoideus*.

R *M. risorius*.

Sec *M. subcutaneus colli*.

Scm *M. sternocleidomastoideus*.

Stnh *M. sternohyoideus*.

Trm *M. triangularis (menti)*. *Trm'* Vereinigung desselben mit d. gleichnamigen Muskel d. andern Seite unter d. Kinn.

Z *M. zygomaticus (z. major)*.

1 Kehlkopf.

* Bursa mucosa subhyoidea.

Fig. 1.

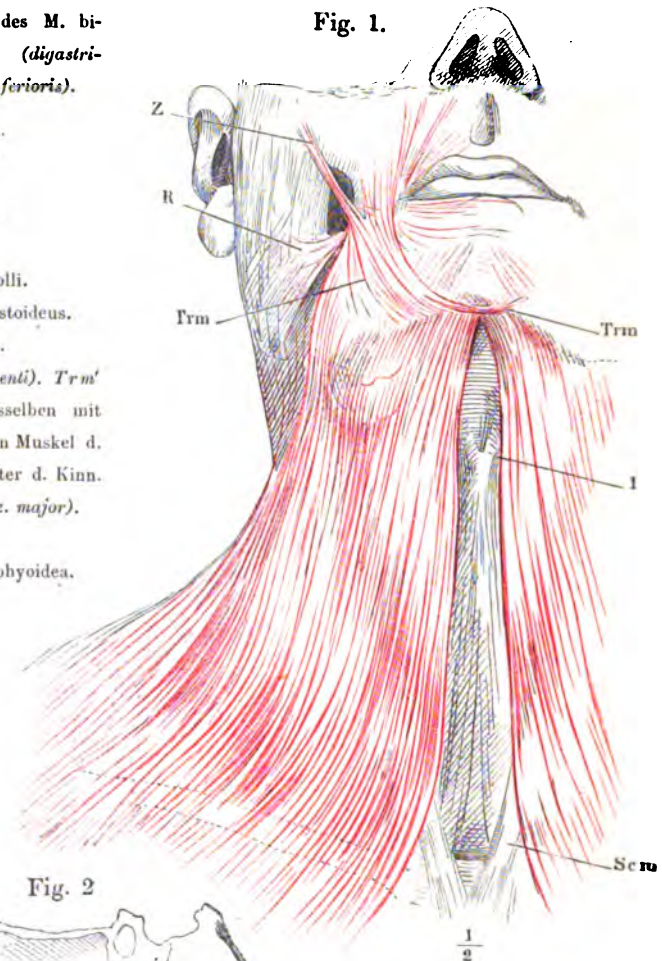


Fig. 2

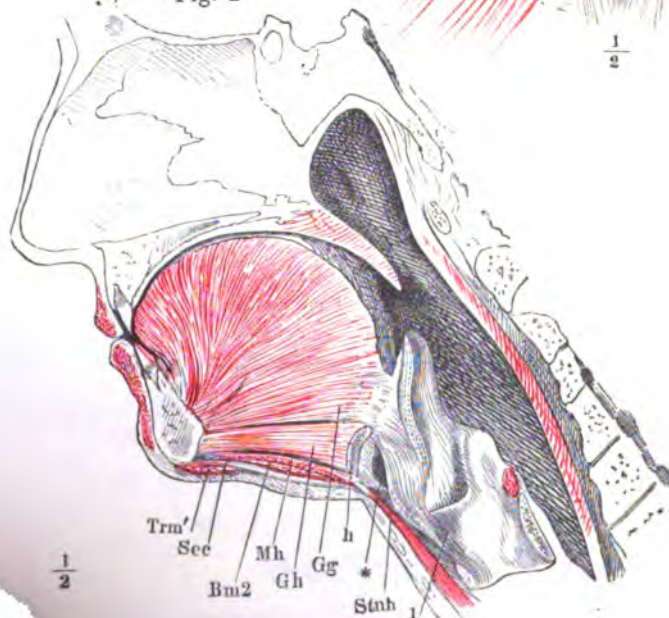
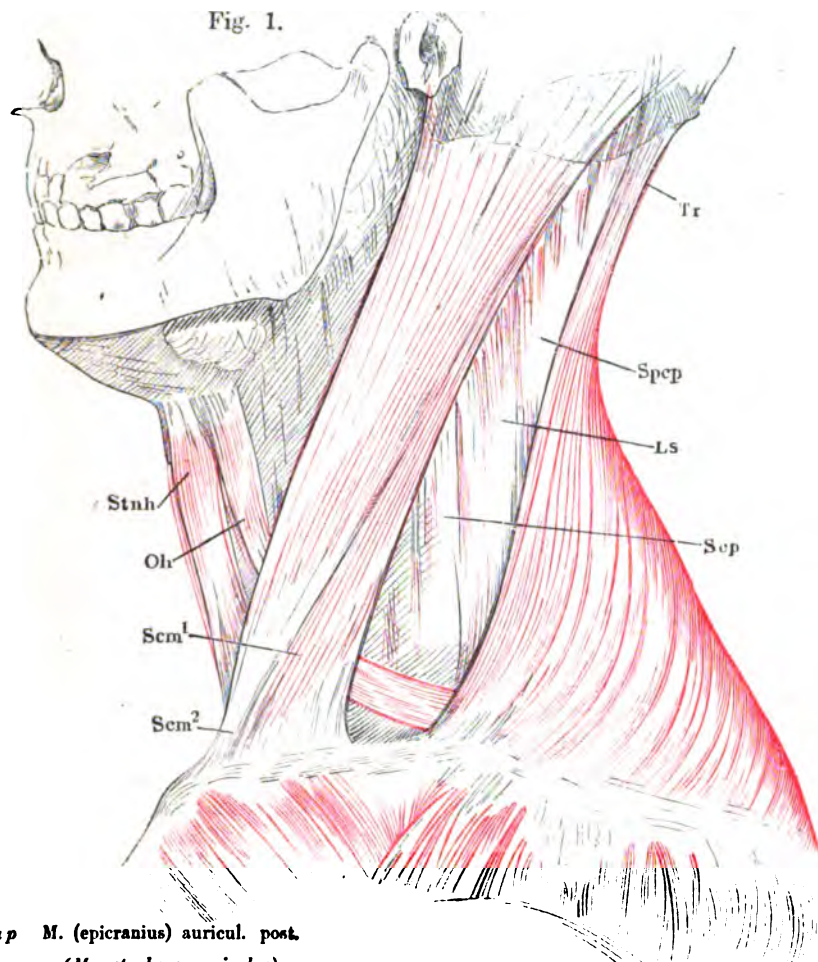


Fig. 1. Hals im Profil, nach Entfernung des *M. subcutaneus colli*.

Fig. 2. (Nach F. E. Schulze.) Verbindung des *M. transversus nuchae* mit der Sehne des *M. sternocleidomastoideus*.

Fig. 1.



Eap *M. (epicranius) auricul. post.*
(*M. retrahens auriculae*).

Eo *M. (epicranius) occipitalis.*

Ls *M. levator scapulae.*

Oh *M. omohyoideus.*

Poe Protuberantia occipitalis externa.

Scm *M. sternocleidomastoideus.*
Scm¹ Schlüsselbein-, *Scm²* Brustbeinursprung desselb.

Scp *M. scalenus post.*

Spcp *M. splenius capitis.*

Stnh *M. sternohyoideus.*

Tn *M. transversus nuchae.*

Tr *M. trapezius.*

Fig. 2.

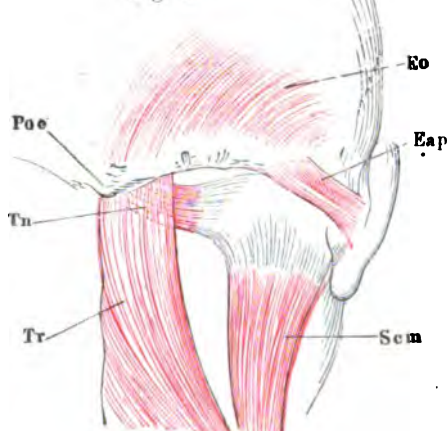


Fig. 1. Hals- und Unterkiefergegend, von vorn. Der rechte *M. subcutaneus colli* an der Insertion, der *M. sternocleidomastoideus* derselben Seite am Ursprung abgeschnitten und entfernt.

Fig. 2. Dieselbe Ansicht. Nächst den *Mm. subcutaneus colli* und *sternocleidomastoideus* ist rechterseits noch der vordere Bauch des *M. biventer*, der *M. sternohyoideus* und der grösste Theil des *M. omohyoideus* entfernt. Aus dem *M. trapezius* ist ein Stück ausgeschnitten. Die Halsgefässe ebenfalls weggenommen.

| | |
|------------------------|---|
| <i>Bm</i> ¹ | Hinterer, <i>Bm</i> ² vorderer Bauch des <i>M. biventer mandibulae</i> . |
| <i>h</i> | Zungenbein. |
| <i>Mh</i> | <i>M. mylohyoideus</i> . |
| <i>Oh</i> | <i>M. omohyoideus</i> . |
| <i>Sc</i> | <i>M. subcutaneus colli</i> . |
| <i>Scm</i> | <i>M. sternocleidomastoideus</i> . |
| <i>Stlh</i> | <i>M. stylohyoideus</i> . |
| <i>Stnh</i> | <i>M. sternohyoideus</i> . |
| <i>Stt</i> | <i>M. sternothyreoideus</i> . |
| <i>Th</i> | <i>M. thyreochoideus</i> . |
| <i>Tr</i> | <i>M. trapezius</i> . |
| 1 | Kehlkopf. |
| 2 | Glandula thyroidea. |
| 3 | Halsgefässstämme. |
| 4 | Cart. cricoidea. |
| 5 | <i>M. cricothyreoideus</i> . |
| 6 | Schlundkopfmuskeln. |
| * | Tiefe laterale Halsmuskeln. |
| ** | Tiefe mediale Halsmuskeln. |

Fig. 1.

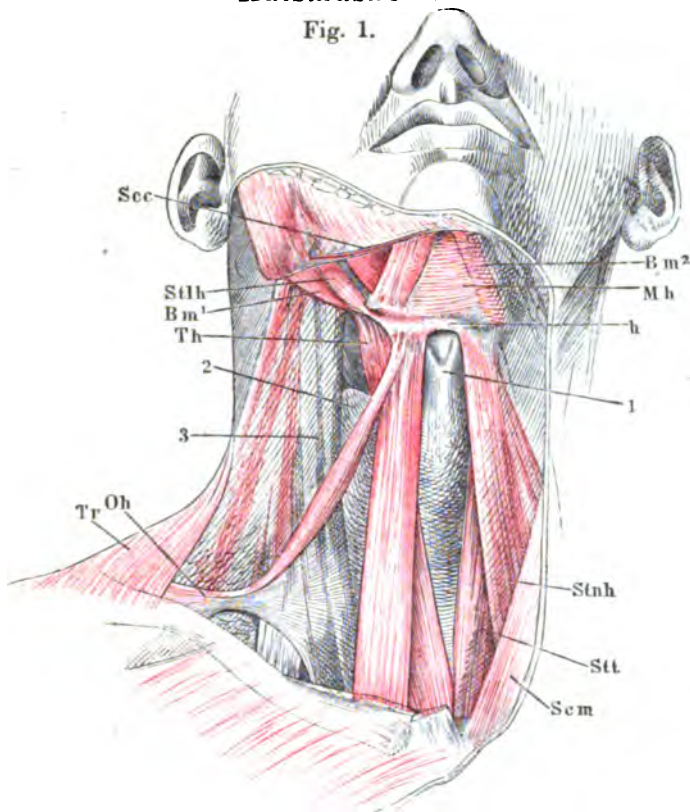


Fig. 2.

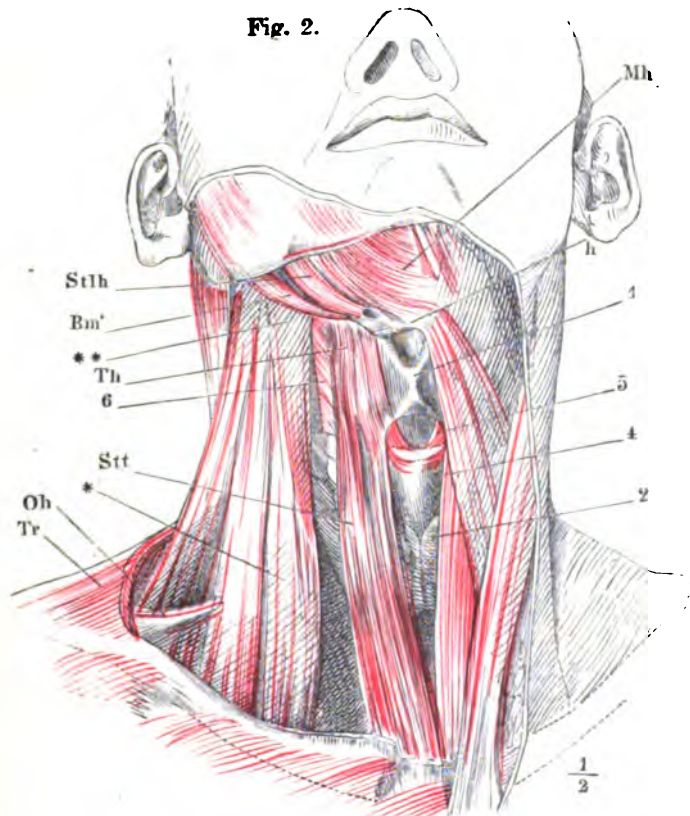


Fig. 1. Profilsansicht des Halses nach Entfernung der Mm. subcutan. colli u. sternocleidomast. Der vordere Bauch des M. biventer mandib. vor d. Zwischensehne abgeschnitten.

Fig. 2. Submaxillargegend. M. mylohyoideus durchschnitten u. nach beiden Seiten zurückgeschlagen.

Fig. 3. Submaxillargegend. M. geniohyoideus am Ursprunge u. an der Insertion abgeschnitten. M. hyoglossus durchschnitten.

Fig. 4. Frontalschnitt d. untern Kopfhälfte hinter d. letzten Backzahn.

Fig. 1.

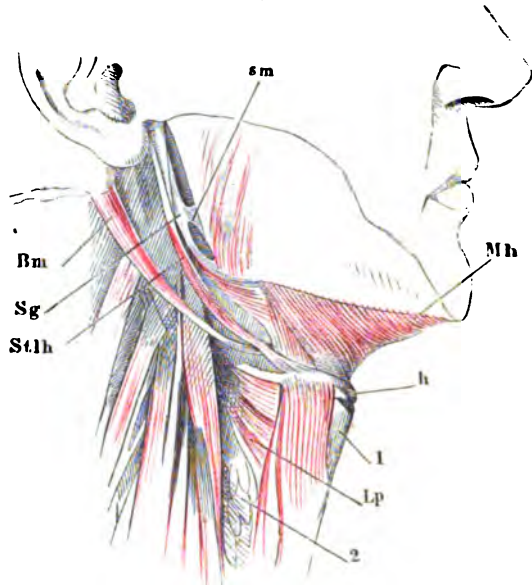


Fig. 2.

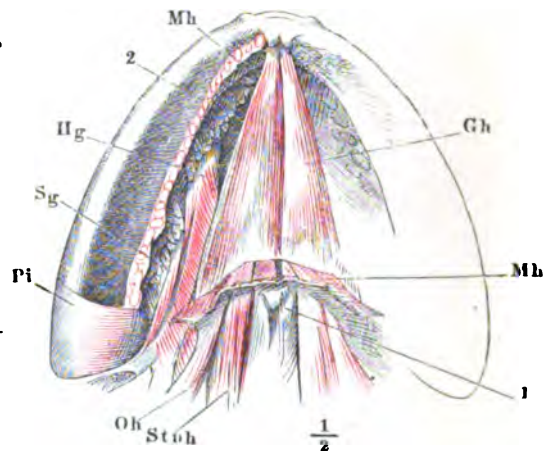
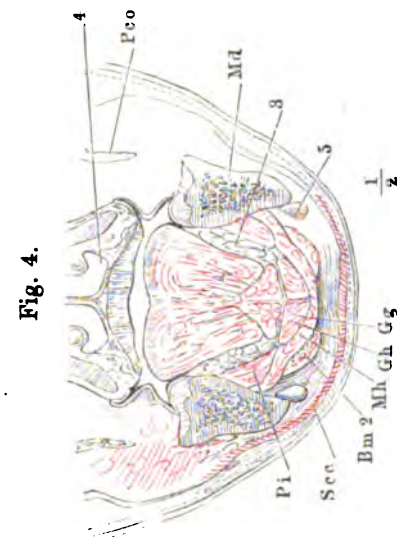
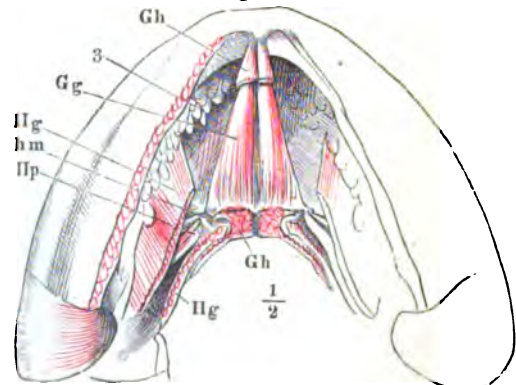


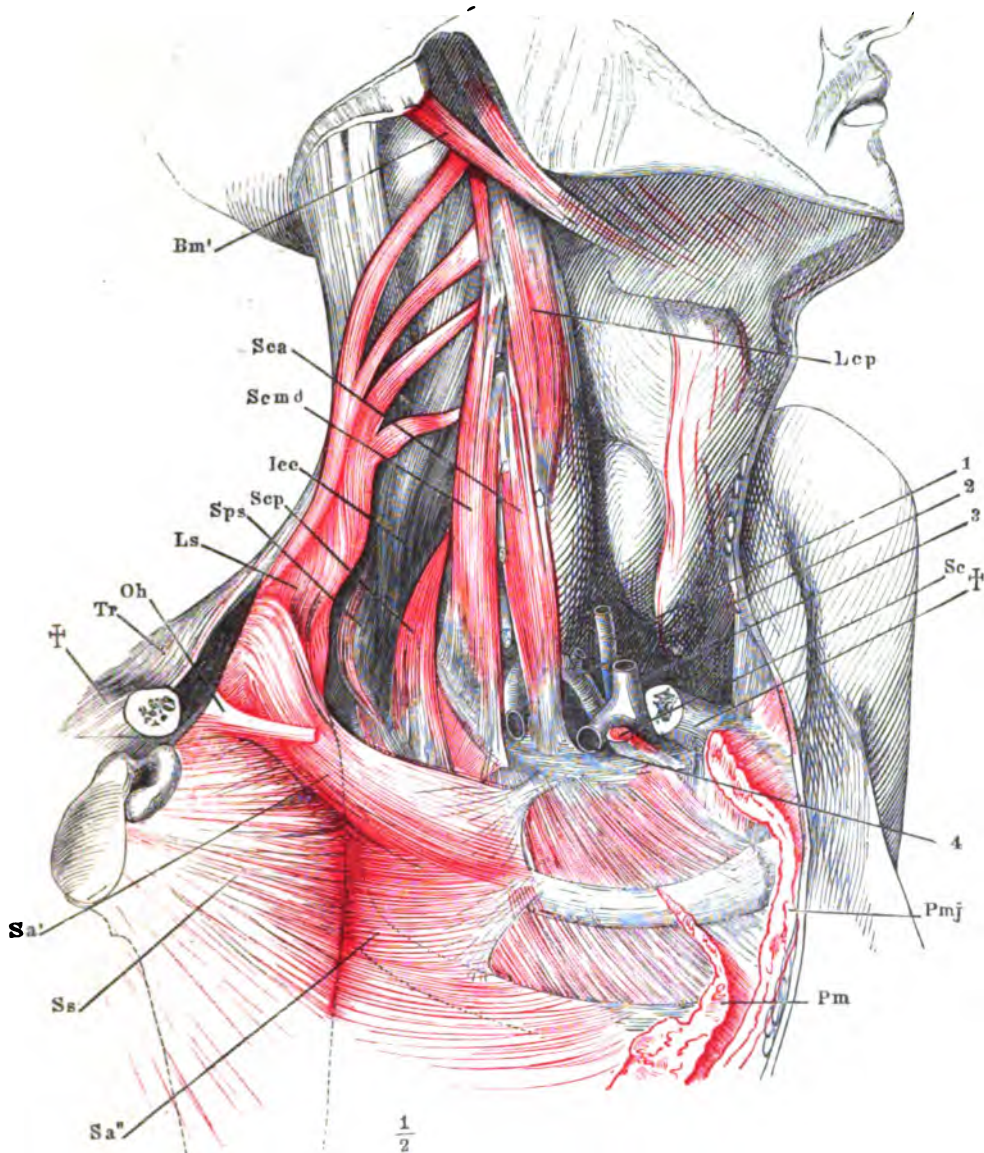
Fig. 3.



- Bm** M. biventer mandibulae. **Bm²** Vorderer Bauch desselben.
Gg M. geniohyoideus.
Gh M. geniohyoideus.
h Zungenbein.
hm Kleines Horn des Zungenbeins.
Hg M. hyoglossus.
Hp M. hyopharyngeus.
Lp M. laryngopharyngeus.
Md Unterkiefer.
Mh M. mylohyoideus.
Oh M. omohyoideus.
Pco Proc. coron. des Unterkiefers.
Pi M. pterygoideus int.
Scc M. subcutaneus colli.
Sg M. styloglossus.
sm Lig. stylomyloideum.
Stlh M. stylohyoideus.
Stnh M. sternohyoideus.
1 Kehlkopf.
2 Glandula thyroidea.
3 Glandula sublingualis.
4 Lymphat. submaxillaris.

Tafel LXXIV. Hintere laterale Halsmuskeln. 127

Hals, fast Profil. Mm. sternocleidomastoideus und splenius capitis sind an der Insertion abgeschnitten, das Schlüsselbein theilweise ausgesägt; die Stümpfe desselben (††) weit auseinandergezogen u. d. Schulterblatt lateralwärts umgelegt.



Bm' M. biventer mandibulae, hinterer Bauch.
Icc M. iliocostalis cervicis (*cervicalis ascendens*).
Lcp M. longus capitis (*rect. cap. ant. maj.*).
Ls M. levator scapulae.
Oh M. omohyoideus, am Ursprung abgeschnitten.
Pm M. pectoralis minor, am Urspr. abgeschn.
Pmj M. pectoralis major, am Urspr. abgeschn.
Sa' Obere, **Sa''** mittlere Portion des M. serratus anticus.
Sc M. subclavius, am Ursprung abgeschnitten.

Sea M. scalenus anticus.
Scmd M. scalenus medius.
Scp M. scalenus posticus.
Sps M. serratus post. sup.
Ss M. subscapularis.
Tr M. trapezius.
1 A. carotis.
2 A. subclavia.
3 V. jugularis int.
4 V. subclavia.

Fig. 1. Lange hintere mediale Halsmuskeln.

Fig. 2. Kurze hintere mediale Halsmuskeln.

Fig. 3. (Nach Nuhn.) Horizontalschnitt des Halses durch den vierten Halswirbel, untere Schnittfläche.

| | |
|-------------|--|
| <i>Icc</i> | <i>M. iliocostalis cervicis (cervicalis adscendens).</i> |
| <i>Ia</i> | <i>M. interspinalis.</i> |
| <i>Ita</i> | <i>M. intertransversarius ant.</i> |
| <i>Itp</i> | <i>M. intertransversarius post.</i> |
| <i>L</i> | Mediale tiefe Halsmuskeln. |
| <i>La</i> | <i>M. longus atlantis (Theil des M. longus colli).</i> |
| <i>Lc</i> | <i>M. longus colli.</i> |
| <i>Lgcp</i> | <i>M. longissimus capitis (trachelomastoideus).</i> |
| <i>Lgcø</i> | <i>M. longissimus cervicis (transversalis cervicis).</i> |
| <i>La</i> | <i>M. levator scapulae.</i> |
| <i>Mf</i> | <i>M. multifidus.</i> |
| <i>N</i> | Cervicalnervestamm. |
| <i>n</i> | Lig. nuchae. |
| <i>Oh</i> | <i>M. omohyoideus.</i> |
| <i>Rca</i> | <i>M. rect. capitis anterior (r. c. a. minor).</i> |
| <i>Rcl</i> | <i>M. rect. capitis lateralis.</i> |
| <i>Scø</i> | <i>M. subcutaneus colli.</i> |
| <i>Scm</i> | <i>M. sternocleidomastoideus.</i> |
| <i>Scp</i> | <i>M. scalenus post.</i> |
| <i>Scø</i> | <i>M. spinalis cervicis.</i> |
| <i>Spcp</i> | <i>M. splenius capitis.</i> |
| <i>Spcr</i> | <i>M. splenius cervicis.</i> |
| <i>Sscp</i> | <i>M. semispinalis capitis (biventer u. complexus).</i> |
| <i>Sscø</i> | <i>M. semispinalis cervicis.</i> |
| <i>Stnh</i> | <i>M. sternohyoideus.</i> |
| <i>Stt</i> | <i>M. sternothyroideus.</i> |
| <i>Tr</i> | <i>M. trapezius.</i> |
| <i>Vc</i> | Halswirbel. |
| 1 | Cart. thyreoidea. 1' Cart. arytaenoidea. |
| 2 | Oesophagus. |
| 3 | Vasa vertebralia. |
| 4 | N. cervicalis IV. |
| 5 | Venae vertebrales. |
| 6 | Rückenmark. |
| 7 | V. mediana colli. |
| 8 | Schlundmuskeln. |
| 9 | Gland. thyreoidea. |
| 10 | Vena thyreoidea sup. |
| 11 | Art. thyreoidea sup. |
| 12 | R. descendens N. hypoglossi. |
| 13 | A. carotis communis. |
| 14 | V. jugularis int. |
| 15 | N. vagus. |
| 16 | Ganglion cervicale sup. |
| 17 | V. jugularis ext. |
| 18 | Vasa cervicalia proff. |

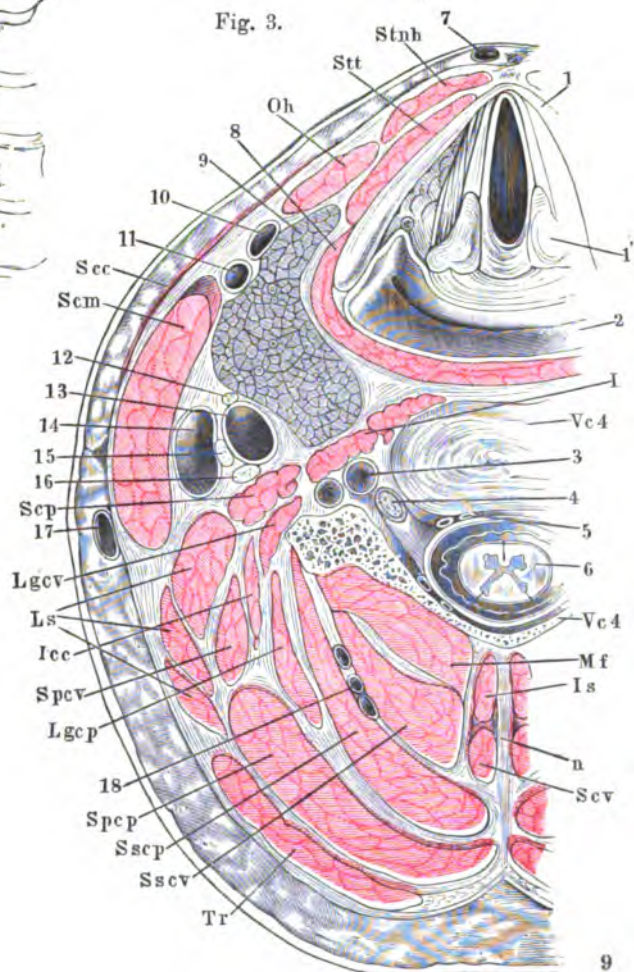
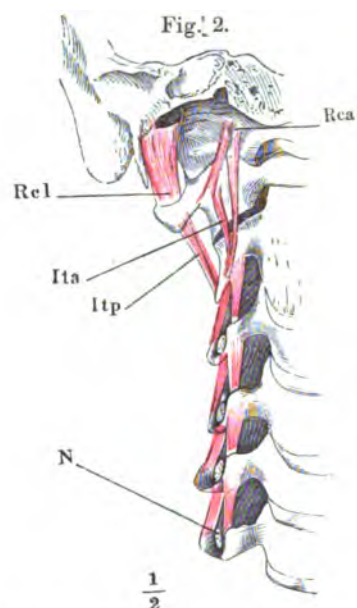
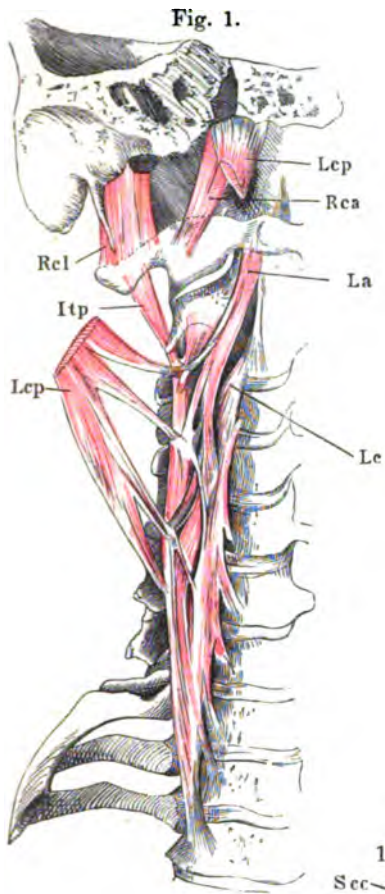
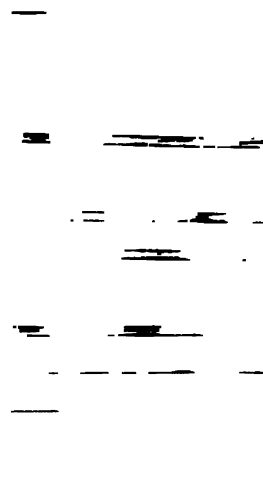


Fig. 1. Salt

Fig. 2. Fr

Fig. 3. I



-
-
-



Fig. 1.

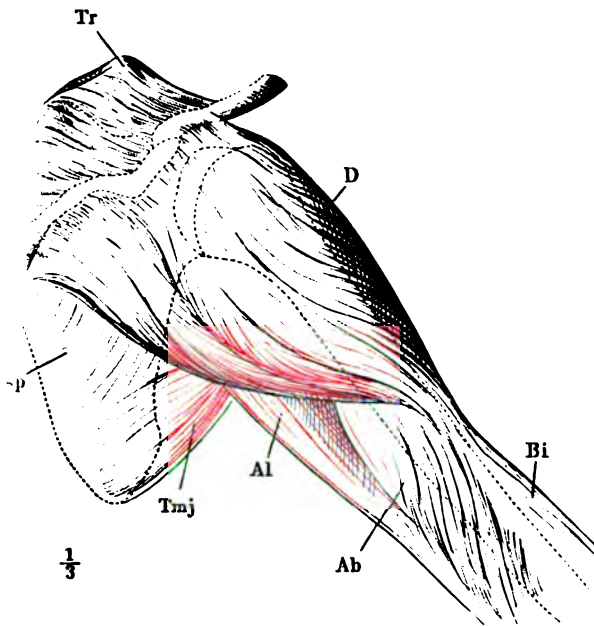


Fig. 2.

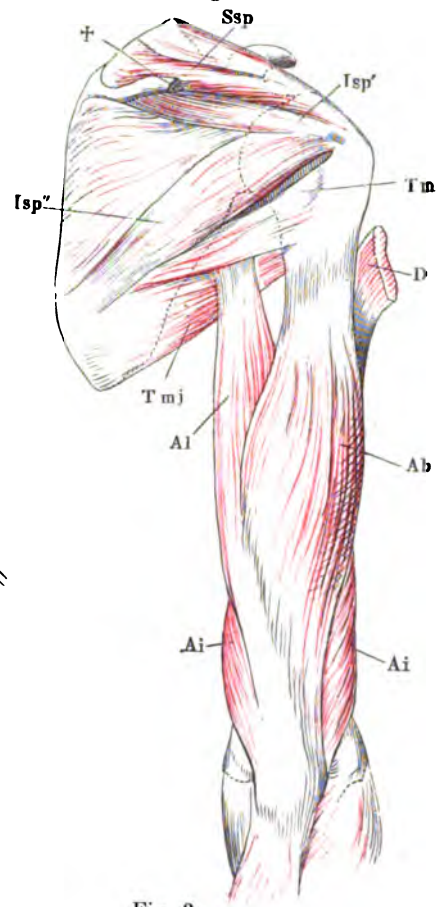


Fig. 4.

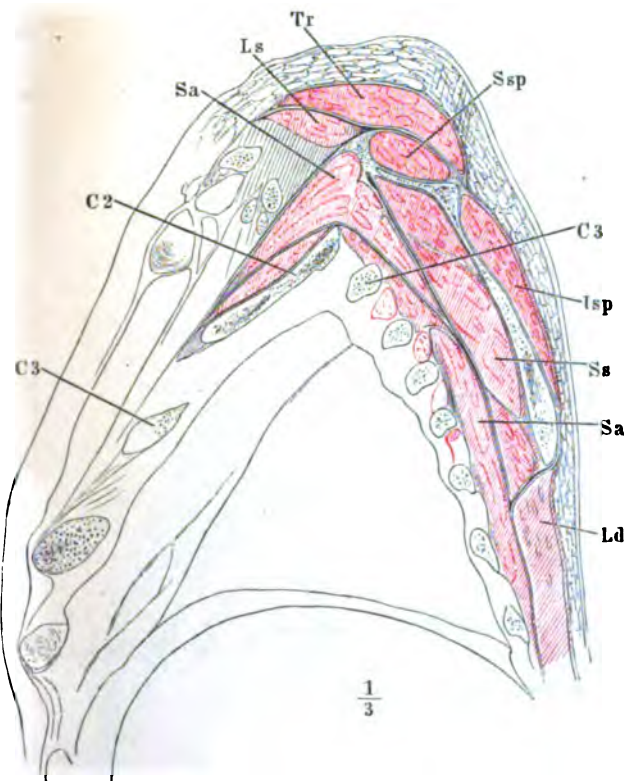
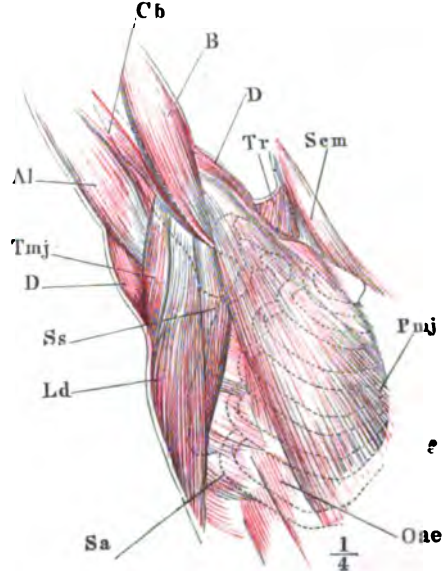


Fig. 3.



- Fig. 1. Schultergegend von hinten, mit ausgelöstem und zurückgelegtem Schlüsselbein bei etwas erhobenem Arm.
- Fig. 2. Schulter und Arm von hinten, nach Entfernung des *M. trapezius* und des *M. deltoideus* bis auf die Insertion. † Schulterkamm, das Acromion abgesägt.
- Fig. 3. Musculatur der Schulter- und Brustgegend bei erhobenem Arm.
- Fig. 4. Sagittalschnitt der Schulter und des Rumpfs durch die höchste Wölbung der zweiten Rippe. Mediale Schnittfläche.

| | |
|------------|--|
| <i>Ab</i> | <i>M. anconeus brevis (ancon. ext.).</i> |
| <i>Ai</i> | <i>M. anconeus internus.</i> |
| <i>Al</i> | <i>M. anconeus longus.</i> |
| <i>B</i> | <i>M. biceps brachii.</i> |
| <i>Bi</i> | <i>M. brachialis int.</i> |
| <i>C</i> | Rippe. |
| <i>Cb</i> | <i>M. coracobrachialis.</i> |
| <i>D</i> | <i>M. deltoideus.</i> |
| <i>Isp</i> | <i>M. infraspinatus. Isp' Obere, Isp'' untere Portion.</i> |
| <i>Ld</i> | <i>M. latissimus dorsi.</i> |
| <i>Le</i> | <i>M. levator scapulae.</i> |
| <i>Oae</i> | <i>M. obliquus abdominis ext.</i> |
| <i>Pmj</i> | <i>M. pectoralis major.</i> |
| <i>Sa</i> | <i>M. serratus anticus.</i> |
| <i>Scm</i> | <i>M. sternocleidomastoideus.</i> |
| <i>Se</i> | <i>M. subscapularis.</i> |
| <i>Ssp</i> | <i>M. supraspinatus.</i> |
| <i>Tm</i> | <i>M. teres minor.</i> |
| <i>Tmj</i> | <i>M. teres major.</i> |
| <i>Tr</i> | <i>M. trapezius.</i> |

Muskeln der Schulter und des Halses

Fig. 1.

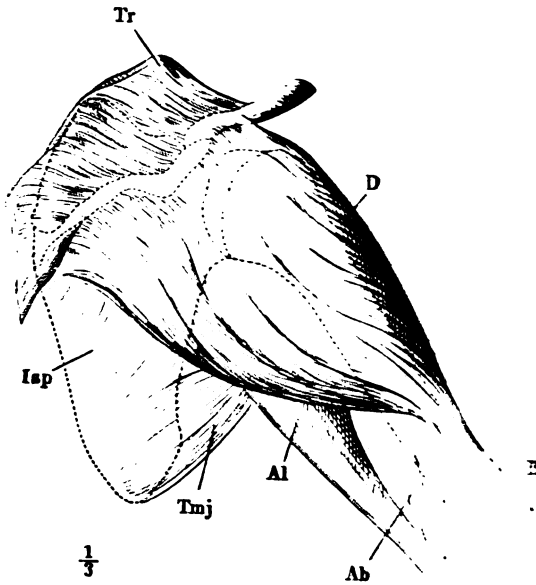


Fig. 2.

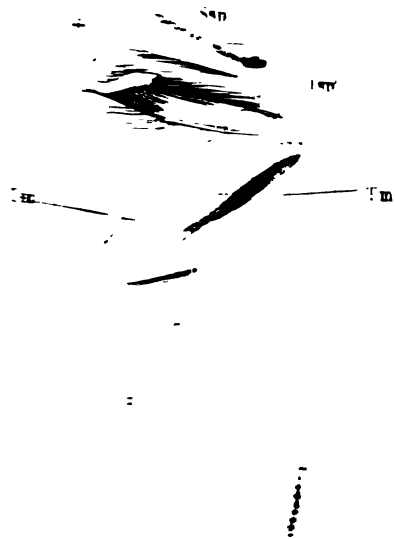
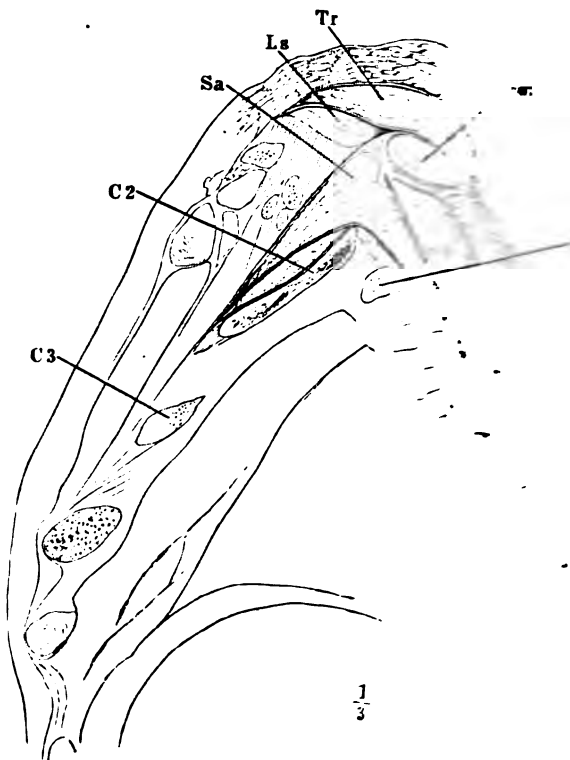


Fig. 4.



- Fig. 1. Schulterblatt, vom Rumpf gelöst, von vorn, nach Entfernung der Fascia subscapularis.
- Fig. 2. Schulterblatt und Oberarm von vorn, mit dem exarticulirten Schlüsselbein. Mm. pectoralis major und minor und latissimus dorsi an der Insertion, M. deltoideus am Ursprung abgeschnitten. * N. cutaneus lateralis, an der Austrittsstelle aus dem M. coracobrachialis abgeschnitten. † Oberflächliche Muskelmasse der Beugeseite des Unterarms, abgeschnitten.
- Fig. 3. Schulterblatt und Oberarm von vorn; die Sehne des langen Kopfs des M. biceps brachii aus dem Sulcus intertubercularis hervorgezogen und abgeschnitten; der kurze Kopf des M. biceps abgeschnitten und medianwärts umgelegt. * Sehnenbogen, der dem M. coracobrachialis zur Insertion dient.
- Fig. 4. Oberarm, exarticulirt, laterale Fläche.

| | |
|------------|--|
| <i>Ab</i> | M. anconeus brevis. |
| <i>ac</i> | Lig. acromio - coracoideum. |
| <i>Ai</i> | M. anconeus int. |
| <i>Al</i> | M. anconeus long. |
| <i>Aq</i> | M. anconeus quartus. |
| <i>B'</i> | Tiefe, <i>B''</i> oberflächliche Insertionssehne des M. biceps brachii. |
| <i>Bb</i> | Kurzer Kopf des M. biceps. |
| <i>Bi</i> | M. brachialis int. |
| <i>Bl</i> | Langer Kopf des M. biceps. |
| <i>Br</i> | M. brachioradialis (<i>supinator long.</i>). |
| <i>Bss</i> | Bursa synovialis subscapularis. |
| <i>Cb</i> | M. coracobrachialis. |
| <i>D</i> | M. deltoideus. |
| <i>imm</i> | Lig. intermusculare mediale. |
| <i>Ld</i> | M. latissimus dorsi. |
| <i>Nr</i> | N. radialis. <i>Nr'</i> Hautast desselben. |
| <i>Pm</i> | M. pectoralis minor. |
| <i>Pmj</i> | M. pectoralis major. |
| <i>Rel</i> | M. radialis ext. long. (<i>extensor carpi rad.</i> <i>long.</i>). |
| <i>Ss</i> | M. subscapularis. |
| <i>Ssp</i> | M. supraspinatus. |
| <i>Su</i> | M. supinator (<i>supin. brevis</i>). |
| <i>Tmj</i> | M. teres major. |
| <i>ts</i> | Lig. transversum scapulae propr. sup. |

Fig. 1.

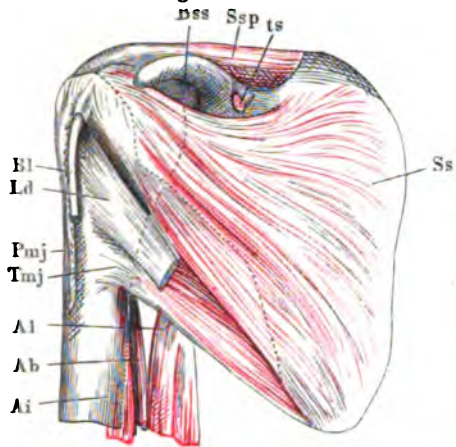


Fig. 2.

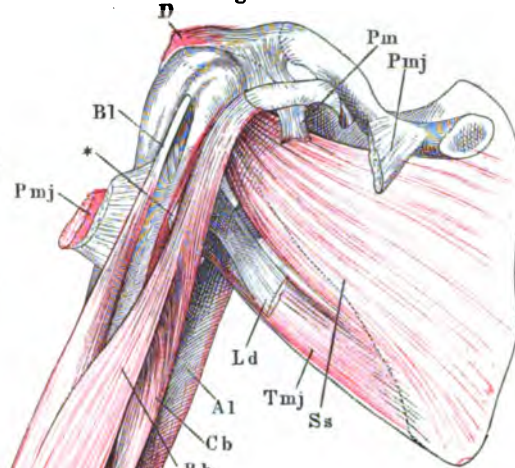


Fig. 4.

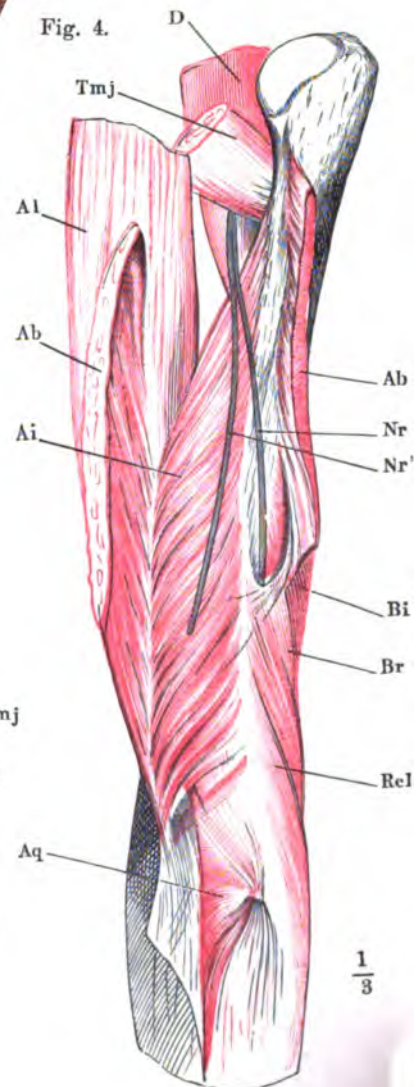
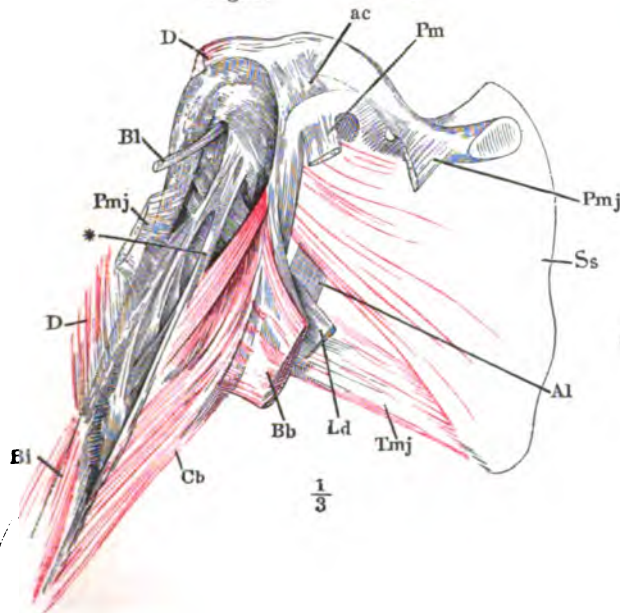


Fig. 3.



- Fig. 1. Profilsansicht der Brust und des vorwärts erhobenen Arms.
- Fig. 2. Sagittalschnitt der linken Schulter durch den Armbeinkopf, mediale Schnittfläche. Schlüsselbein und Acromion in der Nähe ihrer Articulation durchschnitten. * Durchschnitt der Armgefäße und Nerven.
- Fig. 3. Ober- und Unterarm von vorn, der Oberarm oberhalb der Insertion der *Mm. deltoideus* und *pectoralis major* vom Rumpf getrennt. *M. biceps* entfernt. * Sehnenbogen, unter welchem der *N. radialis* auf die Vorderfläche gelangt.

-
- A* Acromion.
- Ab* *M. anconeus brevis*.
- Ai* *M. anconeus internus*.
- Al* *M. anconeus longus*. *Al'* Ursprung desselben von der Sehne des *M. latissimus dorsi*.
- B* Tiefe Insertionssehne des *M. biceps*.
- Bb* Kurzer Kopf des *M. biceps*.
- BC* Gemeinschaftlicher Ursprung des *M. coracobrachialis* und des kurzen Kopfs des *M. biceps*.
- Bi* *M. brachialis internus*.
- Bl* Langer Kopf des *M. biceps*.
- Br* *M. brachioradialis*.
- Cb* *M. coracobrachialis*.
- Cl* Schlüsselbein.
- D* *M. deltoideus*.
- Edc* *M. extensor digit. comm.*
- F* Oberflächlicher, *F'* tiefer Kopf der oberflächlichen Beugemuskelmasse.
- Fpl* *M. flexor pollicis long.* *Fpl'* Accessorischer Kopf desselb. aus der oberflächlichen Beugemuskelmasse. *Fpl''* Desgleichen von der Sehne des *M. brachialis int.*
- Isp* *M. infraspinatus*.
- Ld* *M. latissimus dorsi*.
- Pmj* *M. pectoralis major*.
- Pt* *M. pronator teres*.
- Reb* *M. radialis externus (extensor carpi rad.) brevis*.
- Rel* *M. radialis ext. longus*.
- Ss* *M. subscapularis*.
- Ssp* *M. supraspinatus*.
- Su* *M. supinator*.
- Tm* *M. teres minor*.
- Tmj* *M. teres major*.
- Tr* *M. trapezius*.

Fig. 1.

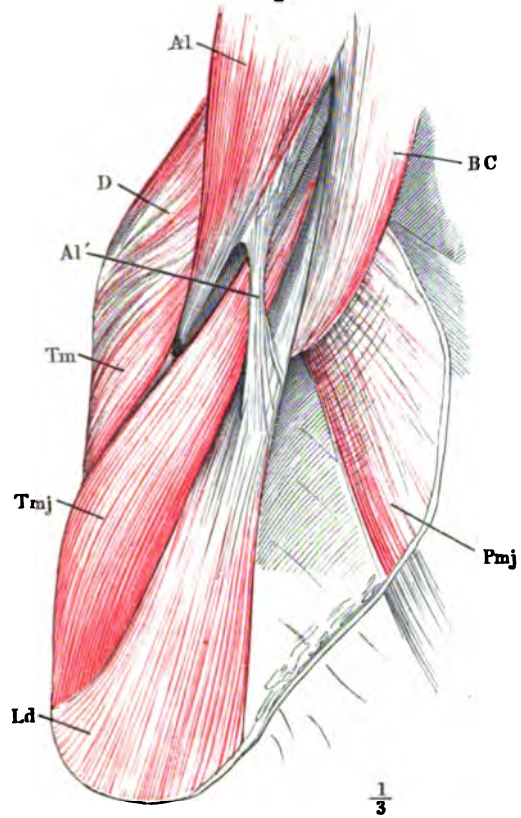


Fig. 2.

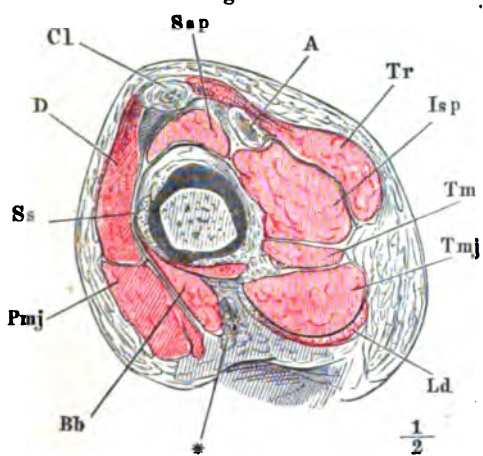
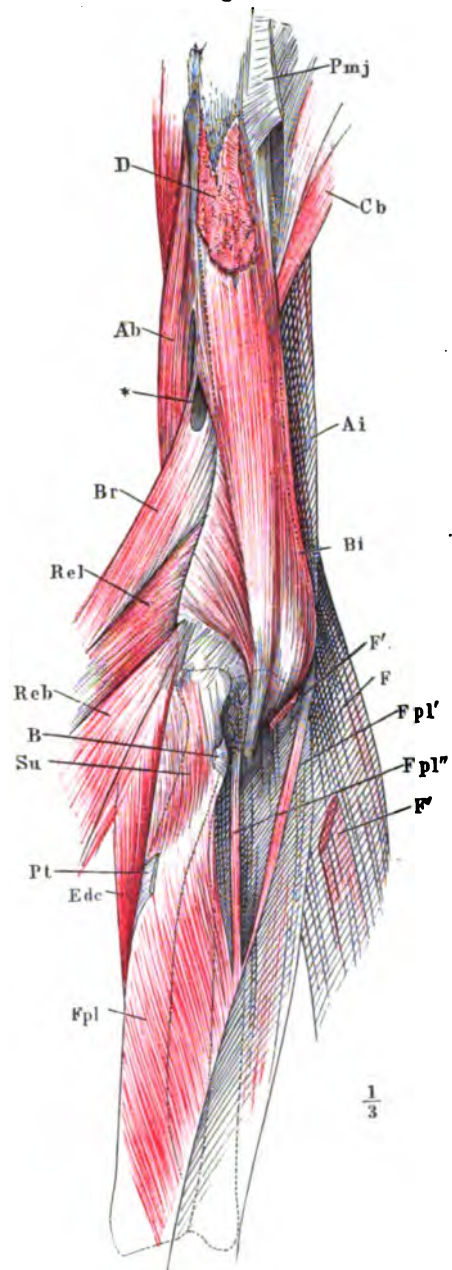


Fig. 3.



- Fig. 1. Oberflächliche Muskeln der Vorderseite des Unterarms, erste Schichte.
- Fig. 2. Oberflächliche Muskeln der Vorderseite des Unterarms, zweite und dritte Schichte. *Mm. pronator teres, radialis int. und palmaris long.* zum Theil ausgeschnitten. * Ursprungsmasse der oberflächl. Beugemuskeln.
- Fig. 3. Tiefe Muskeln der Vorderseite des Unterarms, erste Schichte, die oberflächlichen Muskeln am Handgelenk abgeschnitten und umgelegt. Der Armbeinkopf des *M. ulnaris int.* durchschnitten.
- Fig. 4. Unteres Ende des Unterarms von vorn. Die Beugemuskeln entfernt. *M. flexor poll. long.* abgeschnitten und zur Seite gelegt. *M. pronator quadratus* am Ursprung und an der Insertion abgeschnitten.

-
- B* *M. biceps.*
- Bi* *M. brachialis int.*
- Br* *M. brachioradialis.*
- F'* Oberflächlicher, *F''* tiefer Ursprung der oberflächlichen Beugemuskelmasse.
- Fdp²—Fdp⁵* *M. flexor digit. comm. profundus.*
- Fds²—Fds⁵* *M. flexor digit. comm. sublimis.*
- Fpl* *M. flexor pollicis long.* *Fpl'* Accessorischer Kopf desselben aus der oberflächlichen Beugemuskelmasse.
- L* *M. lumbricalis.*
- Pb* *M. palmaris brevis.*
- Pl* *M. palmaris longus.*
- Pq* *M. pronator quadratus.*
- Pt* *M. pronator teres.* *Pt'* Insertionssehne desselben
- Ri* *M. radialis int. (flexor carpi radialis).*
- R R* Radialmuskeln.
- Ui* *M. ulnaris int. (flexor carpi ulnaris).*

Fig. 1.

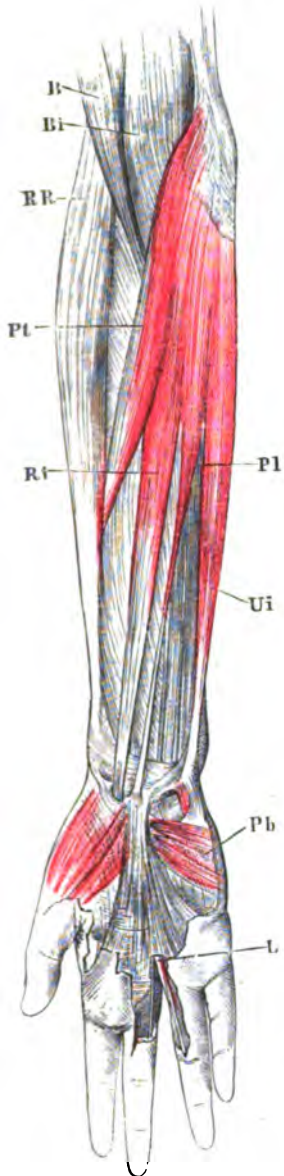
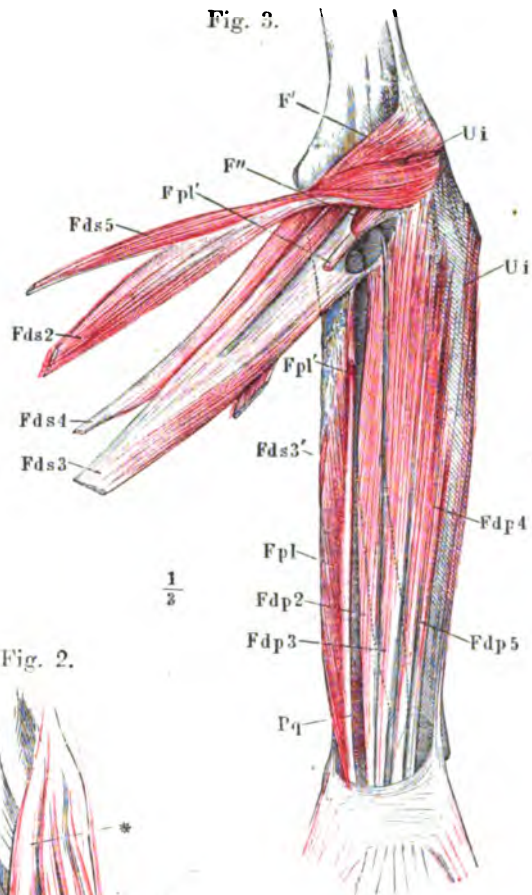
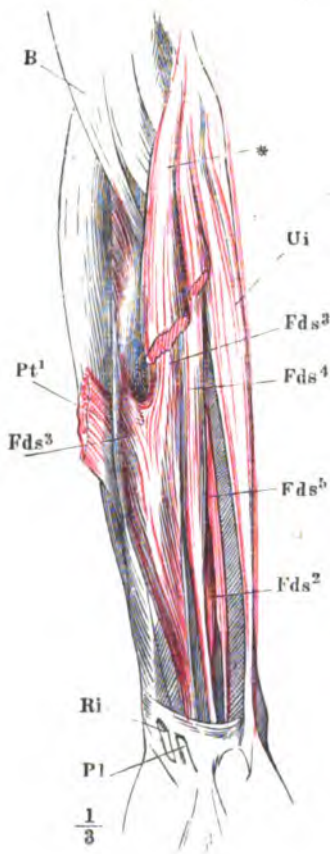


Fig. 3.



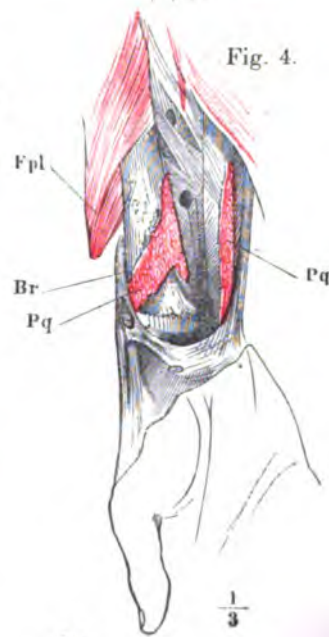
$\frac{1}{2}$

Fig. 2.



$\frac{1}{3}$

Fig. 4.



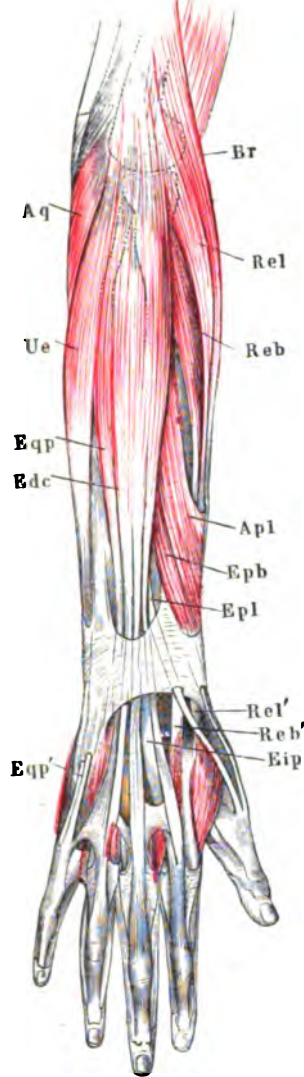
$\frac{1}{3}$

Fig. 1. Muskeln der Radial- und Rückseite des Unterarms, oberflächliche Schichte.

Fig. 2. Arm von vorn, der Unterarm in Pronation, die Mm. brachioradialis und rad. ext. long. am Ursprung abgeschnitten. M. rad. ext. brev. von der Insertionssehne getrennt und zurückgeschlagen.

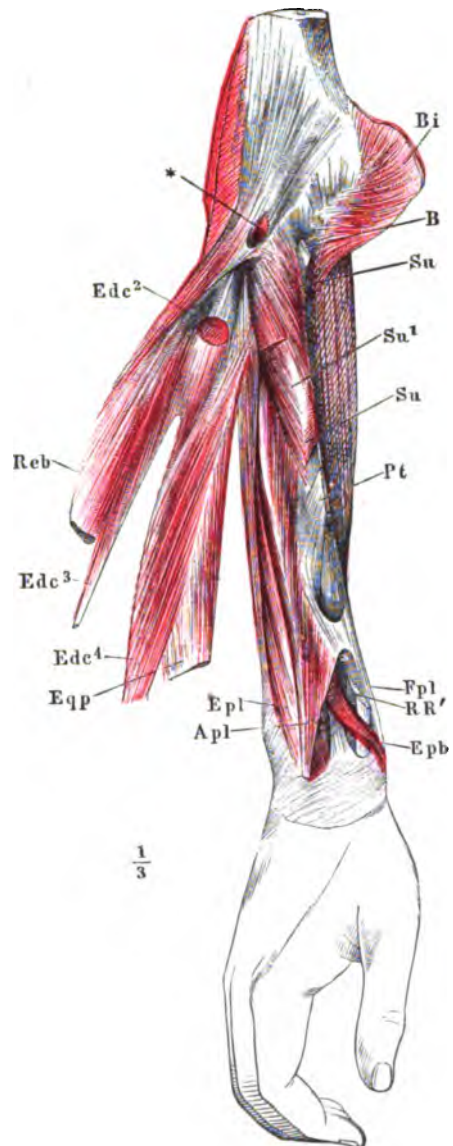
-
- Ap^l* M. abductor pollicis longus.
Aq M. anconeus quartus.
B Insertionssehne des M. biceps.
Bi M. brachialis int., zurückgeschlagen.
Br M. brachioradialis.
Edc²—Edc⁴ M. extensor digitorum communis.
Eip M. extensor indicis proprius.
Epb M. extensor pollicis brevis.
Epl M. extensor pollicis longus.
Eqp M. extensor digiti quinti proprius. *Eqp'* Sehne desselben.
Fpl M. flexor pollicis longus.
Pt M. pronator teres.
RR Ursprung der Radialmuskeln. *RR'* Sehnen derselben.
Reb M. radialis ext. brevis. *Reb'* Sehne desselben.
Rel M. radialis ext. longus. *Rel'* Sehne desselben.
Su M. supinator. *Su'* Tiefe Schichte desselben.
Ue M. ulnaris externus (*extensor carpi ulnaris*).
 * Sehnenbogen über dem R. prof. N. radialis und den Vasa
 recurrentia rad.

Fig. 1.



$\frac{1}{3}$

Fig. 2.



$\frac{1}{3}$

- Fig. 1. Muskeln der Rückseite des Unterarms, tiefe Schichte.
 Fig. 2. Ellenbogengelenk und *M. supinator* nach Entfernung der Muskeln der Vorderfläche, von vorn, in Supination. Ulna durchsägt, um das obere Ende vom Radius abziehen.
 Fig. 3. Ellenbogengelenk und *M. supinator* in Pronation.
 Fig. 4. Horizontalschnitt der Unterarmknochen und des *M. supinator* durch die Tuberosität des Radius. Pronation.
 Fig. 5. Horizontalschnitt des Unterarms unter dem Ellenbogengelenk.

-
- A* Insertionssehne des *M. anconeus*.
Ap l *M. abductor pollicis longus*.
Aq *M. anconeus quartus*.
B Insertionssehne des *M. biceps*.
Bi *M. brachialis int.*
Br *M. brachioradialis*.
Ede *M. extensor digit. comm.*
Eip *M. extensor indicis propr.*
Epb *M. extensor pollicis brevis*.
Epl *M. extensor pollicis longus*.
Fdp *M. flexor digitorum profundus*.
Fds *M. flexor digitorum sublimis*.
Pl *M. palmaris longus*.
Pt *M. pronator teres*.
R Radius.
R R Ursprung der Radialmuskeln.
Rel *M. radialis ext. brevis*.
Rel *M. radialis ext. longus*.
Ri *M. radialis int.*
Su *M. supinator*.
U Ulna.
Ue *M. ulnaris ext.*
Ui *M. ulnaris int.*
 * Ursprünge der Beugemuskeln.
 ** Schleimbeutel unter der Insertionssehne des
 M. biceps, geöffnet.
 1 *N. radialis superfic.*
 2 *N. medianus*.
 3 *N. u. Vasa interossea*.
 4 *N. ulnaris*.
 5 *N. radialis profund.*

Fig. 1.

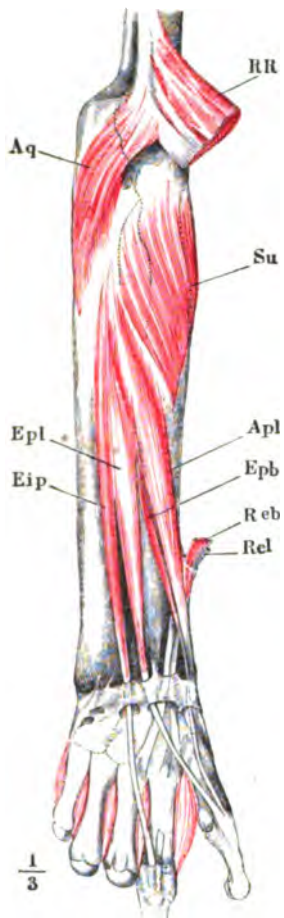


Fig. 2.

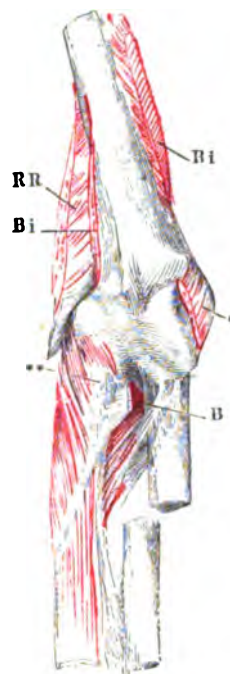


Fig. 3.

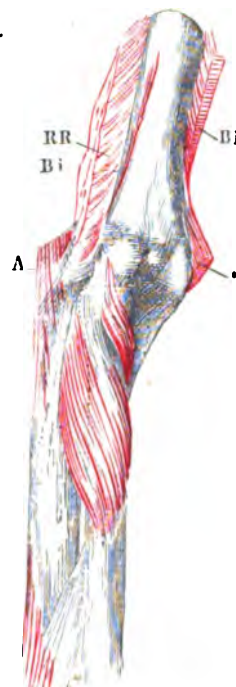
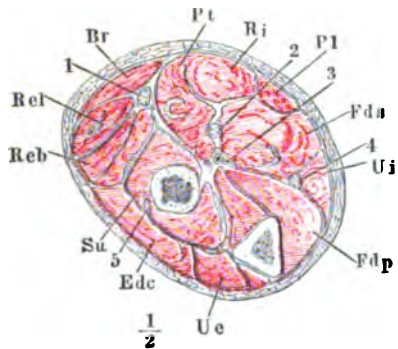


Fig. 4.



Fig. 5.

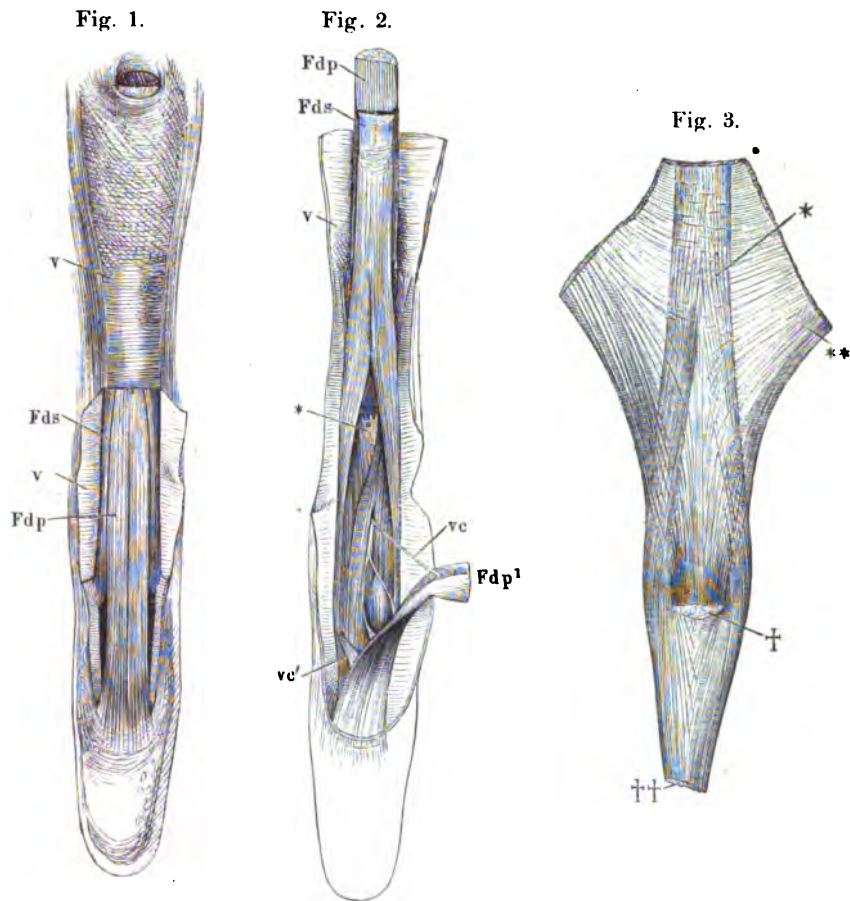


150 Tafel LXXXVI. — Sehnen der Fingerbeuger und Strecker.

Fig. 1. Vorderfläche eines Fingers mit den Sehnen der *Mm. flexores digit. subl. und prof.* in natürlicher Lage, das *Lig. vaginale* der Grundphalange geschlossen, der Mittel- und Endphalange durch einen Verticalschnitt geöffnet und nach beiden Seiten zurückgeschlagen.

Fig. 2. Das *Lig. vaginale* in der ganzen Länge geöffnet und zurückgeschlagen; aus der Sehne des *Flex. dig. prof.* ist ein Stück ausgeschnitten und das untere Ende umgeschlagen. * Bändchen zwischen den convergirenden Schenkeln der Sehne des *M. flexor digit. subl.*

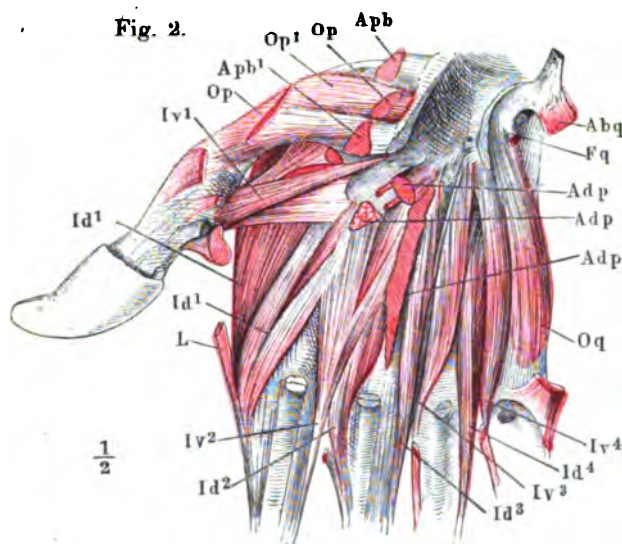
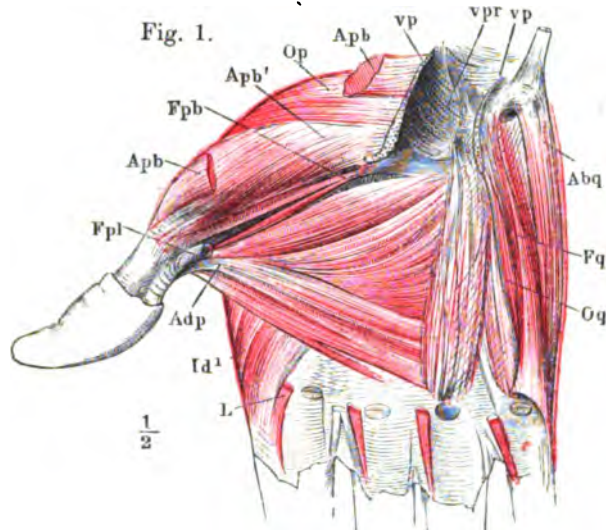
Fig. 3. Strecksehne des Fingers von vorn. * Anheftung an das Fingercarpalgelenk. ** Sehnenausbreitung der *Mm. lumbricales* und *interossei* nebst den *Ligg. dorsalia*. † Strecksehne der Mittelphalange, †† Strecksehne der Endphalange, an der Insertion abgeschnitten.



- Fds* Sehne des *M. flexor dig. sublimis*.
Fdp Sehne des *M. flexor dig. profund.* *Fdp'* Zurückgeschlagenes unteres Ende derselben.
I *M. interosseus*.
v *Ligam. vaginale*.
vc *Vinculum* der Beugesehne der Mittelphalange. *vc'* *Vinculum* der Endphalange.

Fig. 1. Tiefe Muskeln der Hohlhand. Lig. carpi volare proprium durchschnitten und auseinandergelegt.

Fig. 2. Tiefe Muskeln der Hohlhand. Die Mm. abductor pollicis brevis, flexor poll. brevis, abductor pollicis, abductor und flexor brevis digiti quinti und die oberflächliche Portion des M. opponens pollicis bis auf Ursprung und Ende abgeschnitten.



- | | |
|--|--|
| <i>Abq</i> M. abductor digiti quinti. | <i>Iv</i> M. interosseus volaris. |
| <i>Adp</i> M. adductor pollicis. | <i>L</i> M. lumbricalis. |
| <i>Apb</i> M. abductor pollicis brevis, oberflächlicher, <i>Apb'</i> tiefer Bauch. | <i>Op</i> M. opponens pollicis, oberflächliche, <i>Op'</i> tiefe Schichte. |
| <i>Fpb</i> M. flexor pollicis brevis. | <i>Oq</i> M. opponens digiti quinti. |
| <i>Fpl</i> Sehne des M. flexor pollicis longus. | <i>vp</i> Lig. volare proprium. |
| <i>Fq</i> M. flexor digiti quinti. | <i>vp</i> Lig. volare profundum. |
| <i>Id</i> M. interosseus dorsalis. | |

Fig. 1. Fascie der obern Extremität, von vorn.

Fig. 2. Fascie der obern Extremität, von hinten.

| | |
|------------|--|
| <i>A</i> | Art. brachialis. |
| <i>A'</i> | Art. radialis. |
| <i>Apl</i> | M. abductor pollicis longus. |
| <i>B''</i> | Oberflächliche Sehne des M. biceps. |
| <i>Br</i> | M. brachioradialis. |
| <i>cc</i> | Lig. carpi commune. |
| <i>Epb</i> | M. extensor pollicis brevis. |
| <i>im</i> | Lig. intermusculare mediale. |
| <i>Nm</i> | N. medianus. |
| <i>Nu</i> | N. ulnaris. |
| <i>Pl</i> | M. palmaris longus. |
| <i>Pt</i> | M. pronator teres. |
| <i>R</i> | Radialmuskeln. |
| <i>Ri</i> | M. radialis int. |
| <i>Ue</i> | M. ulnaris ext. |
| <i>Ui</i> | M. ulnaris int. |
| * | Fossa infraclavicularis. |
| ** | Eintrittsstelle der V. basilica. |
| *** | Austrittsstelle des N. cutaneus lateralis. |
| † | Austrittsstelle des Hautastes des N. radialis. |
| †† | Bursa subcutanea olecrani. |

Fig. 2.

Fig. 1.

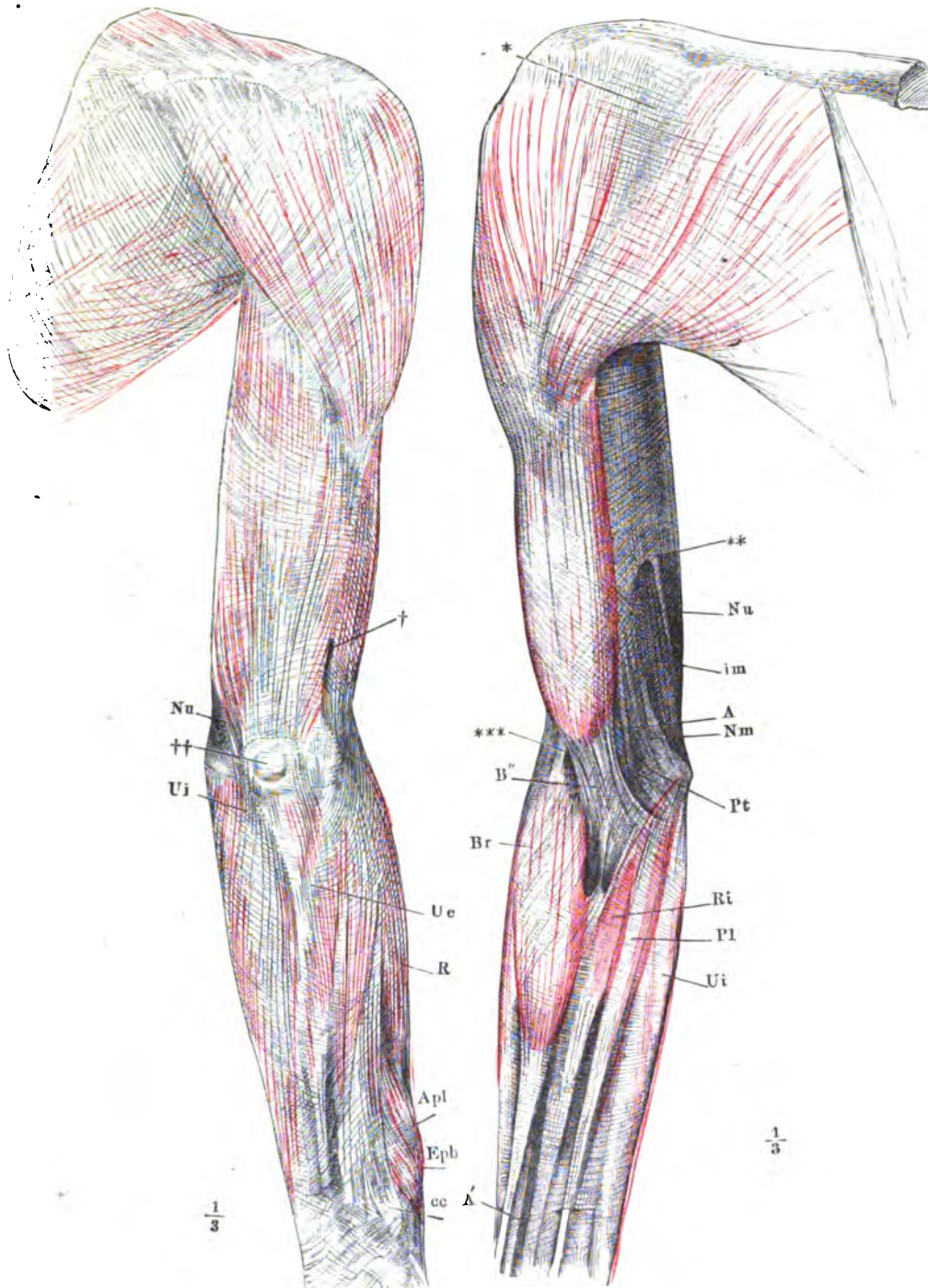


Fig. 1. Innere Hüft- und oberflächliche Schenkelmuskeln, von vorn.

Fig. 2. Innere Hüftmuskeln, von vorn. Der mediale Bauch des *M. iliopsoas* ausgeschnitten, die lateralen Ursprünge desselben lateralwärts umgelegt.

Fig. 3. *M. rectus femoris*, von vorn, mit auseinander gezogenen Fasern.

-
- Afl* *M. adductor femoris longus.*
Afm *M. adductor femoris magnus.*
C Rippe.
Dp Vertebralzacke des Zwerchfells.
Gr *M. gracilis.*
*Ip*¹ Medialer Kopf des *M. iliopsoas* (*M. psoas major*). *Ip*² Lateraler Kopf des *M. iliopsoas* (*M. iliacus internus*). *Ip*³ Ursprünge desselben am Iliosacralgelenk.
Pe *M. pectineus.*
Ql *M. quadratus lumborum.*
Rf *M. rectus femoris.*
Sar *M. sartorius.*
Tf *M. tensor fasciae.*
Va Bauchwirbel.
Vl *M. vastus lateralis*, *Vl'* dessen oberflächlichste Lage.
Vm *M. vastus medialis.*

Fig. 1.

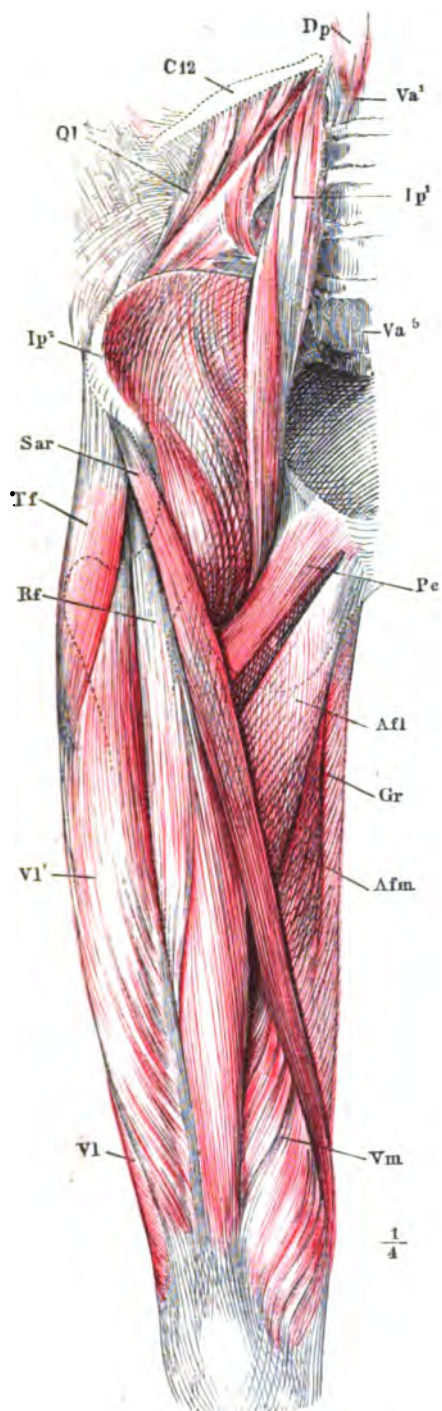


Fig. 2.

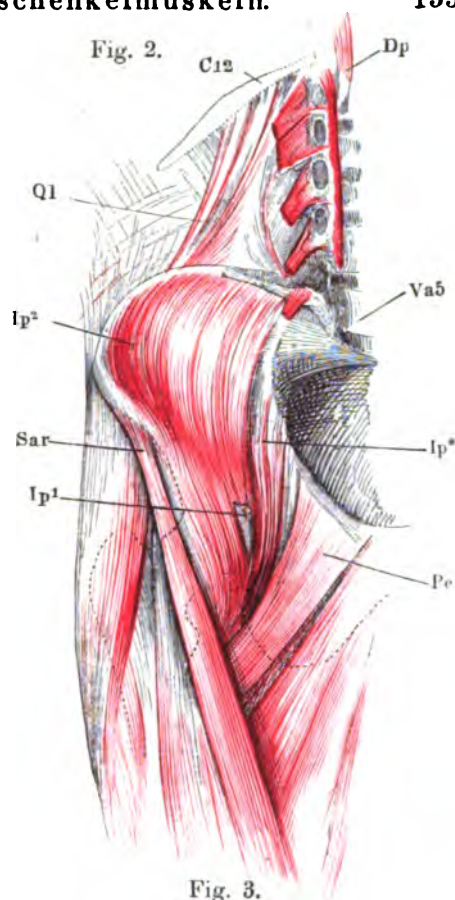


Fig. 3.



Fig. 1. *M. gluteus maximus*, von hinten. * Fascie des *M. gluteus medius*. —
 Fig. 2. Aeussere Hüftmuskeln, nach Entfernung des *M. gluteus maximus*, welcher
 dicht am Ursprung abgeschnitten und mit dem untern Ende lateralwärts umge-
 legt ist. — Fig. 3. Aeussere Hüftmuskeln, *M. glut. max.* bis auf die Insertionssehne
 am Knochen entfernt, *M. glut. med.* bis auf Ursprung und Insertion ausgeschnitten.
Mm. pyriformis, quadrat. femoris und *obturator int.* am Austritt aus dem Becken
 durchschritten.

Fig. 1.

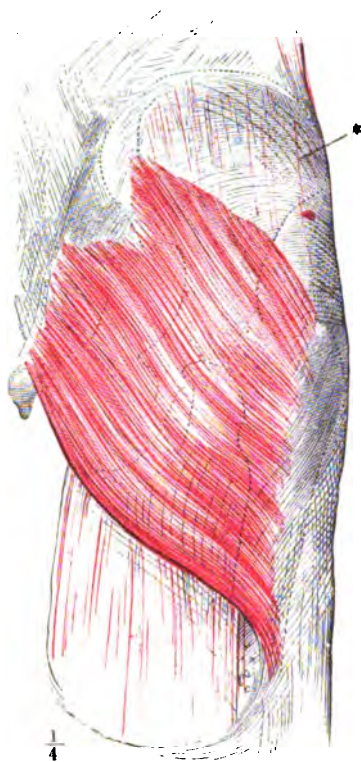


Fig. 2.

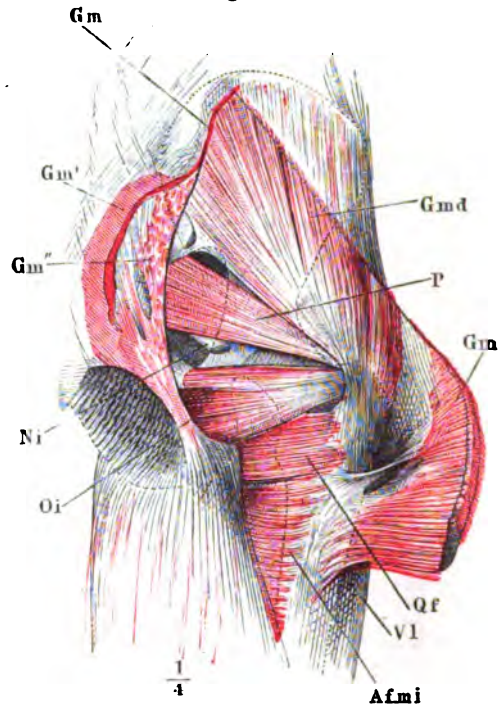
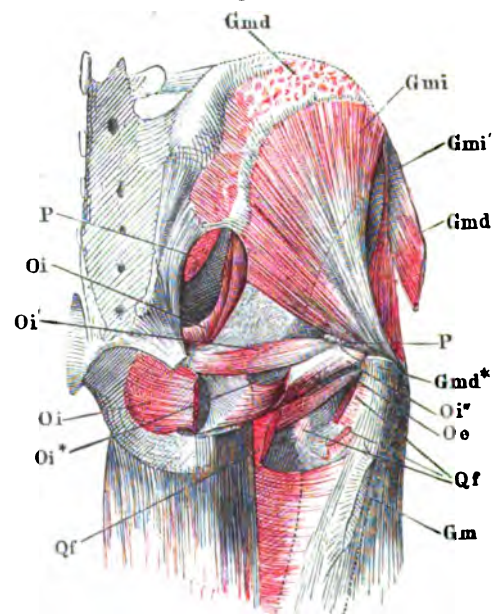


Fig. 3.



Afmi *M. adductor femoris minimus.*

Gm *M. gluteus maximus*, *Gm'* oberflächliche,
Gm'' tiefe Ursprünge.

Gmd *M. gluteus medius*, *Gmd** Insertionssehne
 desselben.

Gmi *M. gluteus minimus*, *Gmi'* Ursprung des-
 selben von der Spina iliaca ant. sup.

Ni *N. ischiadicus.*

Oe *M. obturator ext.*

Oi *M. obturator int.* innerer Kopf, *Oi** Sehne
 des innern Kopfes, *Oi'*, *Oi''* desselben
 äusserer Kopf (*Mm. gemelli*).

P *M. pyriformis.*

Qf *M. quadrat. femoris.*

V *eralia.

Fig. 1. Mediale Fläche des Oberschenkels. *M. vastus medialis* am Ursprung abgeschnitten und seitwärts zurückgeschlagen.

Fig. 2. Laterale Fläche des Oberschenkels. *M. vastus lateralis* durch- und theilweise ausgeschnitten, das Insertionsende nach vorn, die oberflächliche Portion nach hinten umgeschlagen, die tiefern Schichten am Ursprung abgetrennt.

Fig. 1.

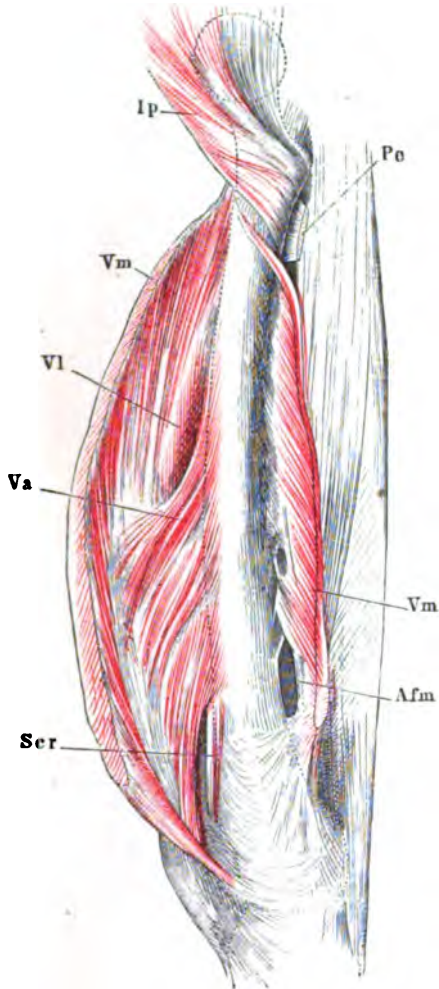
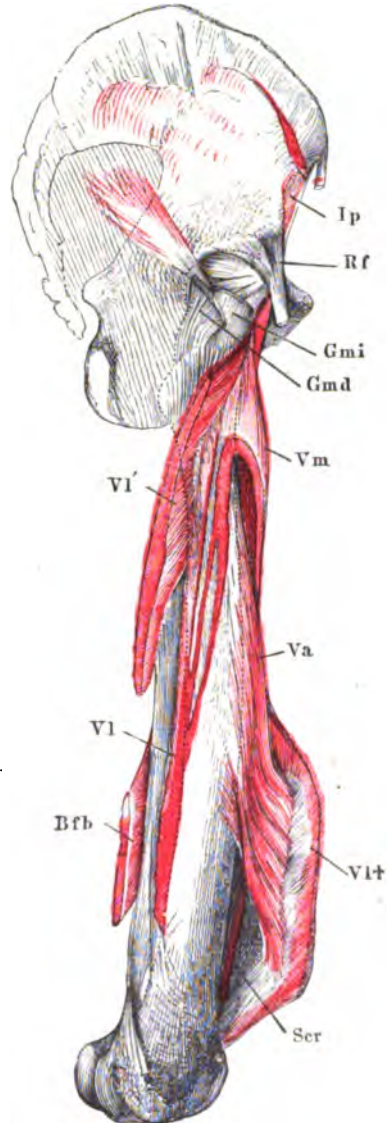


Fig. 2.



$\frac{1}{4}$

Afm *M. adductor femoris magnus.*
Bfb *M. biceps femoris, kurzer Kopf.*
Gmd Insertionssehne des *M. gluteus medius.*
Gmi Insertionssehne des *M. gluteus minimus.*
Ip *M. iliopsoas.*
Pe Insertionssehne des *M. pectineus.*

Rf Ursprungssehne des *M. rectus femoris.*
Ser *M. suberuralis.*
Va *M. vastus anterior (M. cruralis).*
Vl *M. vastus lateralis, Vl'* Oberflächliche Portion, *Vl†* Sehne derselben.
Vm *M. vastus medialis.*

Fig. 1. Muskeln der hintern Fläche des Oberschenkels.

Fig. 2. Hintere Fläche des Oberschenkels. Mm. semitendinosus, semimembranosus und der lange Kopf des M. biceps femoris am Ursprung abgeschnitten. Insertionen der Mm. adductores femoris.

-
- Afm* M. adductor femoris magnus.
Afmi M. adductor femoris minimus.
Bfb M. biceps femoris, kurzer Kopf.
Bfl M. biceps femoris, langer Kopf, *Bfl'* unteres Ende desselben.
Gr M. gracilis.
Gm Insertion des M. gluteus maximus.
Oi' M. obturator int., äusserer Kopf.
Qf M. quadratus femoris.
Sar M. sartorius.
Sm M. semimembranosus.
St M. semitendinosus.
Vl' M. vastus lateralis, oberflächlicher Kopf.
 * Sehnenbogen, unter welchem die Vasa cruralia auf die Rückseite treten.

Fig. 1.

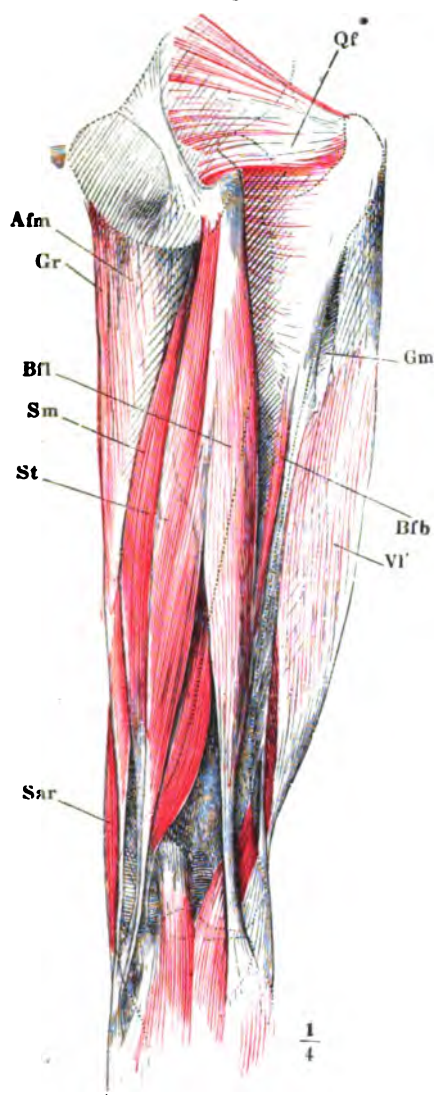


Fig. 2.

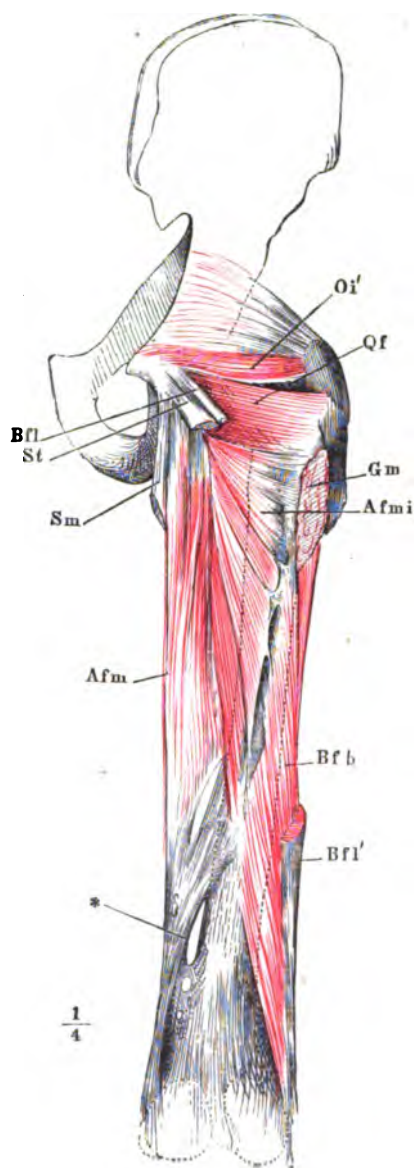


Fig. 1. Adductoren des Oberschenkels, von vorn.

Fig. 2. Mediale Fläche des Knies. Insertion der *Mm. sartorius, gracilis, semitendinosus* und *semimembranosus*.

Fig. 3. Horizontalschnitt des Oberschenkels über der Mitte.

-
- Afb* *M. adductor femoris brevis*, Ursprung. *Afb†* Insertion.
Afl *M. adductor femoris longus*. *Afl'* Ursprung. *Afl†* Insertion.
Afm *M. adductor femoris magnus*.
Afmi *M. adductor femoris minimus*, Ursprung. *Afmi†* Insertion.
Bfb *M. biceps femoris brevis*.
Bfl *M. biceps femoris longus*.
Gmd *M. gluteus medius*.
Gmi *M. gluteus minimus*.
Gr *M. gracilis*, *Gr'* Ursprung desselben.
Ip *M. iliopsoas*, in der Fossa iliaca durchschnitten, *Ip†* Insertionssehne desselben.
Oe *M. obturator externus*.
Pe *M. pectineus*, oberflächlicher, *Pe'* tiefer Ursprung, *Pe†* Insertion.
Qf *M. quadratus femoris*.
Rf *M. rectus femoris*, *Rf'* Ursprungssehne desselben.
Sar *M. sartorius*, *Sar'* Ursprungssehne desselben.
Sm *M. semimembranosus*.
St *M. semitendinosus*.
Tf *M. tensor fasciae*, Ursprung.
Va *M. vastus anterior*.
Vl *M. vastus lateralis*, *Vl'* dessen oberflächliche Schichte.
Vm *M. vastus medialis*.
1 Vasa cruralia und N. saphenus major.
2 N. ischiadicus.

Fig. 1.

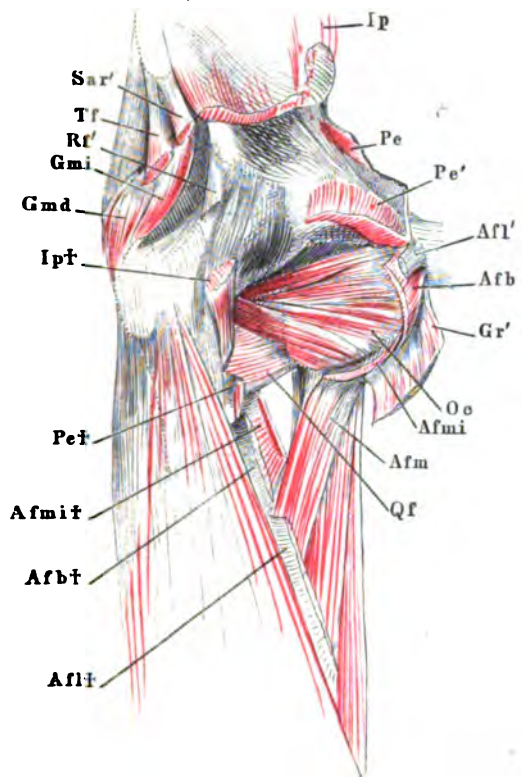


Fig. 2.

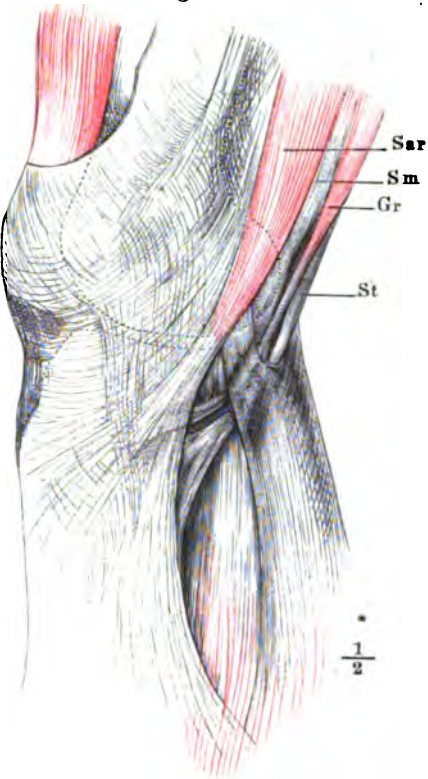


Fig. 3.

